Правительство Российской Федерации
Федеральное государственное бюджетное образовательное учреждение
высшего образования
«САНКТ-ПЕТЕРБУРГСКИЙ ГОСУДАРСТВЕННЫЙ УНИВЕРСИТЕТ»
(СПбГУ)

УДК: 551.1/.4
Рег. № 125071608660-8

УТВЕРЖДАЮ
И.о. проректора по научной работе
_____Е.В. Лебедева
«29» октября 2025 г.

ОТЧЕТ
ПО ГОСУДАРСТВЕННОМУ КОНТРАКТУ № 1.2.9/2025/СПбГУ
от 26.05.2025 г.

ВЫПОЛНЕНИЕ АНАЛИТИЧЕСКИХ ИССЛЕДОВАНИЙ ГЛИНИСТЫХ МИНЕРАЛОВ ИЗ ОБРАЗЦОВ ПО БЕРИНГОВУ МОРЮ
(заключительный)

Руководитель работ
директор ресурсного центра
«Рентгенодифракционные методы
исследования» Научного парка
канд.геол.-минерал.наук _____ О. С. Грунский

Санкт-Петербург 2025

СПИСОК ИСПОЛНИТЕЛЕЙ

Руководитель, Директор РЦ «Рентгено-дифракционные методы исследования», к.г.-м.н.	24.10.25 подпись, дата	О.С. Грунский (все разделы)
Исполнители: Зам. директора РЦ «Рентгенодифракционные методы исследования», к.г.-м.н.	24.10.2025 подпись, дата	Н.В. Платонова (все разделы)
Специалист РЦ «Рентгенодифракционные методы исследования»	24.10.2025 подпись, дата	Ю.А. Буравлева (все разделы)

РЕФЕРАТ

Отчет 122 с., 37 рис., 1 табл., 3 источн., 1 прил.

РЕНТГЕНОВСКАЯ ДИФРАКЦИЯ, ФАЗОВЫЙ АНАЛИЗ, ДОННЫЕ ОСАДКИ, МИНЕРАЛЫ, ГЛИНИСТАЯ ФРАКЦИЯ

Объекты исследования: образцы донных отложений Берингова моря, содержащие глинистые минералы.

Цель работы: выполнение качественного фазового анализа донных отложений, содержащих глинистые минералы в воздушно-сухом состоянии и в насыщенном этиленгликолем состоянии – 34 образца. Работы выполнены в рамках создания современной геологической основы масштаба 1:1 000 000 западной части шельфа Охотского моря как геолого-картографической информационной основы Федерального уровня, обеспечивающей формирование единого информационного пространства в сфере недропользования.

Результаты работы: Исследовано 34 образца глинистых минералов, предоставленных заказчиком. Для каждого образца выполнено:

- подготовка ориентированных образцов глинистой фракции;
- проведение рентгенофазовых измерений - съемка в воздушно-сухом, насыщенном этиленгликолем и прокаленном при 550^{o}C состояниях;
- определение минеральных фаз;
- вычисление площадей и интенсивностей (высот) пиков, соответствующих минеральным фазам, по результатам съемок в воздушно-сухом и насыщенном этиленгликолем состояниях.

СОДЕРЖАНИЕ

Перечень сокращений и обозначений……. 5

Введение……. 6

1 Методика проведения исследований…… 7

2 Фазовый состав образцов……..…… 8

Заключение……..... 52

Список использованных источников…….. 53

Приложение А. Дифракционные данные воздушно-сухих и насыщенных этиленгликолем ориентированных образцов……. 54

ПЕРЕЧЕНЬ СОКРАЩЕНИЙ И ОБОЗНАЧЕНИЙ

В настоящем отчете применяют следующие сокращения и обозначения:

PDF-2 (PowderDiffractionFile, International Centre for Diffraction Data) – база порошковых дифракционных данных Международного Центра дифракционных данных

PDXL2 – программный комплекс для обработки рентгенодифракционных порошковых данных

ВВЕДЕНИЕ

Основание проведения работ для выполнения аналитических исследований глинистых минералов из образцов по Берингову морю:

Выписка из перечня объектов региональных геолого-геофизических и геолого-съемочных работ по геологическому изучению недр и воспроизводству минерально-сырьевой базы, финансируемых за счет субсидии на финансовое обеспечение выполнения государственных заданий Федерального агентства по недропользованию на 2025 год и плановый период 2026 и 2027 годов, утвержденный приказом Федерального агентства по недропользованию от 23.12.2024 г. № 855.

Государственное задание Федерального агентства по недропользованию от 27 марта 2025 г. № 049-00005-25-01 на 2025 год и на плановый период 2026 и 2027 годов.

Выполнен комплекс работ по рентгенофазовому анализу глинистых минералов в донных отложениях Берингова моря – в рамках создания современной геологической основы масштаба 1:1 000 000 западной части шельфа Охотского моря как геолого-картографической информационной основы Федерального уровня, обеспечивающей формирование единого информационного пространства в сфере недропользования.

Комплекс работ включал качественный фазовый анализ смесей, содержащих глинистые минералы в воздушно-сухом состоянии и в насыщенном этиленгликолем состоянии - 34 образца. В том числе:

- подготовка ориентированных образцов глинистой фракции;

- проведение рентгенофазовых измерений - съемка в воздушно-сухом, насыщенном этиленгликолем и прокаленном при 550^{o}C состояниях;

- определение минеральных фаз;

- вычисление площадей и интенсивностей (высот) пиков, соответствующих минеральным фазам, по результатам съемок в воздушно-сухом и насыщенном этиленгликолем состояниях.

1 Методика проведения исследований

Рентгендифракционные исследования проводились на порошковом дифрактометре MiniFlexII (Rigaku), излучение рентгеновской трубки - $CoK\alpha_{1+2}$, длины волн $\lambda_{CoK\alpha1}$ = 1.78900 Å и $\lambda_{CoK\alpha2}$ = 1.79283 Å, режим работы трубки 30 кВ / 15мА, позиционно-чувствительный детектор, геометрия на отражение, схема фокусировки Брегг-Брентано, скорость вращения образца 20 оборотов в минуту, T = 25°C, атмосфера – воздух.

Рентгендифракционные исследования проводились в несколько этапов:

- съемка обзорной дифрактограммы (диапазон углов отражения $2\theta = 3\text{-}80^{o}$, низкофоновая кювета из монокристаллического кремния) стандартно приготовленного образца [1] для определения валового фазового состава;

- съемка дифрактограммы воздушно-сухого (ориентированного) образца (диапазон углов $2\theta = 3\text{-}40^{o}$) для диагностики фазового состава глинистой фракции [2, 3]. Порошок образца заливался дистилированной водой, перемешивался, отстаивался. После осаждения более тяжелой фракции взвесь легкой (глинистой) фракции высаживалась на стеклянную подложку и высушивалась;

- съемка дифрактограммы воздушно-сухого образца, насыщеннного этиленгликолем (диапазон углов $2\theta = 3\text{-}40^{o}$) для диагностики смектитов и смешнослойных образований в составе глинистой фракции. По окончании съемки воздушно-сухого образца образец насыщался этиленгликолем;

- съемка дифрактограммы воздушно-сухого отожженного образца (диапазон углов $2\theta = 3\text{-}40^{o}$) для диагностики фазового состава глинистой фракции (смектитов, каолинита, хлорита). Воздушно-сухой образец приготавливался аналогично п. 2, после чего образец отжигали в муфельной печи при температуре 550°C в течение 3.5 часов.

2 Фазовый состав образцов

Идентификация фаз проводилась в программном комплексе PDXL2 (Rigaku) с использованием базы порошковых дифракционных данных PDF-2 (PowderDiffractionFile, International Centre for Diffraction Data, 2020) и литературных данных [2, 3]. Фазовый состав образцов представлен в таблице 1.

2.1 По результатам обработки обзорных дифрактограмм установлено, что во всех образцах содержится рентгеноаморфная фаза – примерно 20-40 вес.%. Рентгеноаморфная фаза диагностируется по поднятию фона в области углов 2θ=20-35° на обзорных дифрактограммах (рисунки 1-3).

2.2 По результатам обработки обзорных дифрактограмм (рисунки 1-3) и дифрактограмм ориентированных образцов (рисунки 4-37) установлено, что во всех образцах содержатся кварц, полевые шпаты, хлорит, слюда (мусковит), амфибол, предположительно цеолиты, смектит и/или смешанослойные образования, в ряде образцов содержатся каолинит, галит, кальцит, фатерит и серпентин. Диагностика хлорита и мусковита описана в пунктах 3.5 и 3.6 соответственно.

Цеолиты. На дифрактограммах практически всех образцов присутствует дифракционный максимум с *d*≈9.4-9.5Å. Предположительно он отнесен к цеолиту - ломонтиту. Также на дифрактограммах всех образцов присутствует дифракционный максимум с *d*≈8.94-9.02Å, предположительно он отнесен к цеолиту - гейделлиту. Дифракционный максимум с *d*≈11.3-11.4Å присутствует на дифрактограммах образцов ПМК-2406Б, ПМК-2407Б, ПМК-2410Б, ПМК-2411Б, ПМК-2415Б, ПМК-2421Б, ПМК-2401Т_2-5, ПМК-2401Т_10-15, ПМК-2401Т_15-18, ПМК-2401Т_22-24, ПМК-2401Т_26-29, он, предположительно, отнесен к цеолиту - эрионите. Без дополнительных методов исследования более точная идентификация цеолитов невозможна.

В большинстве образцов в незначительном количестве присутствует *галит* (*d*=2.82-2.84Å).

Кальцит (*d*=3.03-3.04Å) присутствует в образцах ПМК-2401Б, ПМК-2402Б, ПМК-2404Б, ПМК-2406Б, ПМК-2407Б, ПМК-2408Б, ПМК-2410Б, ПМК-2411Б, ПМК-2415Б, ПМК-2417Б, ПМК-2418Б, ПМК-2420Б, ПМК-2421Б, ПМК-2401Т_2-5, ПМК-2401Т_10-15, ПМК-2401Т_15-18, ПМК-2401Т_22-24, ПМК-2401Т_26-29, ПМК-2420Т_7-10.

Фатерит (*d*=3.57Å и *d*=2.72Å) присутствует в образцах ПМК-2401Б, ПМК-2402Б, ПМК-2403Б, ПМК-2410Б, ПМК-2401Т_2-5, ПМК-2401Т_10-15, ПМК-2401Т_15-18, ПМК-2401Т_22-24, ПМК-2401Т_26-29, ПМК-2401Т_32-35, ПМК-2401Т_40-42,

ПМК-2401Т_43-45, ПМК-2401Т_56-59, ПМК-2401Т_70-73, ПМК-2401Т_83-86, ПМК-2401Т_89-92, ПМК-2401Т_98-102.

Однозначно *каолинит* диагностируется, причем в незначительном количестве, только в образцах, в которых отсутствует фатерит - ПМК-2404Б, ПМК-2406Б, ПМК-2407Б, ПМК-2408Б, ПМК-2411Б, ПМК-2415Б, ПМК-2417Б, ПМК-2418Б, ПМК-2420Б, ПМК-2421Б, ПМК-2423Б, ПМК-2424Б, ПМК-2426Б, ПМК-2420Т_7-10, ПМК-2420Т_28-31, ПМК-2420Т_78-81, ПМК-2420Т_160-163. Диагностика каолинита описана в пункте 2.3.4. В образцах ПМК-2401Б, ПМК-2402Б, ПМК-2403Б, ПМК-2410Б, ПМК-2401Т_2-5, ПМК-2401Т_10-15, ПМК-2401Т_15-18, ПМК-2401Т_22-24, ПМК-2401Т_26-29, ПМК-2401Т_32-35, ПМК-2401Т_40-42, ПМК-2401Т_43-45, ПМК-2401Т_56-59, ПМК-2401Т_70-73, ПМК-2401Т_83-86, ПМК-2401Т_89-92, ПМК-2401Т_98-102 однозначно говорить о присутствии *каолинита* нельзя. Это связано с тем, что на один из диагностических максимумов каолинита (дифрактограммы ориентированных образцов) - 0 0 2 с *d*=3.56-3.58Å – накладывается интенсивный дифракционный максимум фатерита с *d*=3.57Å, при этом диагностический максимум каолинита 0 0 1 с *d*≈7.13Å наложен на диагностический максимумов хлорита *d*≈7.06Å.

В образце ПМК-2401Т_10-15 присутствует предположительно *серпентин d*=7.35Å (рисунок 2).

Смектит и смешанослойные образования. По результатам обработки дифрактограмм ориентированных образцов (воздушно-сухих, насыщенных этиленгликолем и отожженных при 550ºС) установлено, что в образцах ПМК-2406Б, ПМК-2407Б, ПМК-2411Б, ПМК-2417Б, ПМК-2418Б, ПМК-2420Б, ПМК-2420Т_160-163 присутствует *смектит.* Диагностика смектита описана в пункте 2.3.1.

В образцах ПМК-2408Б, ПМК-2421Б, ПМК-2420Т_7-10, ПМК-2420Т_28-31, ПМК-2420Т_78-81 идентифицируется смешанослойное образование типа *иллит-смектит (смектит)*. Диагностика иллит-смектита опасана в пункте 2.3.2.

В образце ПМК-2404Б установлено присутствие как *смектита*, так и смешанослойного образования типа *хлорит-смектит*. Диагностика хлорит-смектита описана в пункте 2.3.3.

В образцах ПМК-2401Б, ПМК-2402Б, ПМК-2403Б, ПМК-2410Б, ПМК-2415Б, ПМК-2423Б, ПМК-2424Б, ПМК-2426Б, ПМК-2401Т_2-5, ПМК-2401Т_10-15, ПМК-2401Т_15-18, ПМК-2401Т_22-24, ПМК-2401Т_26-29, ПМК-2401Т_32-35, ПМК-2401Т_40-42, ПМК-2401Т_43-45, ПМК-2401Т_56-59, ПМК-2401Т_70-73, ПМК-2401Т_83-86, ПМК-2401Т_89-92, ПМК-2401Т_98-102 установлено присутствие двух смешанослойных образований – *иллит-смектит* и *хлорит-смектит*.

2.3 Сравнение результатов обработки дифрактограмм воздушно-сухих, насыщенных этиленгликолем и отожженных при 550ºС ориентированных образцов (рисунки 4-37) подтвердило наличие в составе глинистой фракции исследованных образцов хлорита, слюды, каолинита, смектита и смешанослойных образований. Дифракционные данные воздушно-сухих и насыщенных этиленгликолем ориентированных образцов представлены в Приложении А.

2.3.1 **Смектит** в образцах (рисунки 7-9, 12, 14-16, 37) диагностируется

- по положению дифракционного максимума 00*l* *d* = 12.8-14.8Å на дифрактограмме воздушно-сухого ориентированного образца (широкий, «размытый» дифракционный максимум);

- по сдвигу дифракционного максимума 00*l* *d* = 12.8-14.8Å в область меньших углов 2θ (*d* = 16.5-16.8Å, острый, интенсивный дифракционный максимум) и появлению серии целочисленных отражений 00*l* (*d*=8.40-8.42 и *d*=5.6Å) после насыщения образца этиленгликолем;

- по смещению дифракционного максимума 00*l* *d* = 12.8-14.8Å в область бóльших углов 2θ (*d*=9.89-9.98 Å) после отжига образца при 550ºС.

2.3.2 **Иллит-смектит** в образцах (рисунки 4-6, 10, 11, 13, 17-36) диагностируется

- по положению дифракционного максимума 00*l* *d* = 12.7-16.0Å на дифрактограмме воздушно-сухого ориентированного образца (широкий, «размытый» дифракционный максимум);

- по сдвигу дифракционного максимума 00*l* *d* = 12.7-16.0Å в область меньших углов 2θ (*d* = 16.4-16.8Å, острый, интенсивный дифракционный максимум) и *отсутствию* серии целочисленных отражений 00*l* после насыщения образца этиленгликолем;

- по смещению дифракционного максимума 00*l* *d* = 12.7-16.0Å в область бóльших углов 2θ (*d*=9.90-9.98 Å) после отжига образца при 550ºС.

2.3.3 **Хлорит-смектит** в образцах (4-7, 11, 13, 18-33) диагностируется

- по положению дифракционного максимума 00*l* *d* = 12.7-16.0Å на дифрактограмме воздушно-сухого ориентированного образца (широкий, «размытый» дифракционный максимум);

- по сдвигу дифракционного максимума 00*l* *d* = 12.7-16.0Å в область меньших углов 2θ (*d* = 16.4-16.8Å, острый, интенсивный дифракционный максимум) и *отсутствию* серии целочисленных отражений 00*l* после насыщения образца этиленгликолем;

- по смещению дифракционного максимума 00*l* *d* = 12.7-16.0Å в область бóльших углов 2θ (*d* ≈ 12.0-12.8 Å) после отжига образца при 550ºС (широкий дифракционный максимум слабой интенсивности).

2.3.4 **Каолинит** в образцах (рисунки 4-37) диагностируется по наличию дифракционных максимумов 00*l* *d*=7.1-7.2Å и *d*=3.55-3.58Å, как на дифрактограммах воздушно-сухих образцов, так и на дифрактограммах образцов, насыщенных этиленгликолем, и исчезновению дифракционных максимумов после отжига образцов при 550°C (рисунки).

2.3.5 **Хлорит** в образцах (рисунки 4-37) диагностируется по наличию дифракционных максимумов 00*l* *d* = 14.0-14.4Å, *d* = 7.04-7.12Å, *d* = 4.70-4.74Å и *d* = 3.52-3.55Å, как на дифрактограммах воздушно-сухих образцов, так и на дифрактограммах образцов, насыщенных этиленгликолем. После отжига образцов при 550°C интенсивность дифракционного максимума 00*l* *d* ≈=14.0-14.Å либо остается прежней, либо увеличивается; а сам дифракционный максимум 00*l* *d* ≈=14.0-14.Å незначительно смещается в область меньших углов 2θ. Интенсивности дифракционных максимумов 00*l* *d* = 7.04-7.12Å, *d* = 4.70-4.74Å и *d* = 3.52-3.55Å сильно уменьшаются, иногда до исчезновения (рисунки 2-27).

2.3.6 **Мусковит** в образцах (рисунки 4-37) диагностируется по наличию дифракционных максимумов 00*l* (*d* = 9.9-10.1Å, *d* = 4.97-5.0Å и *d* = 3.32-3.33Å) как на дифрактограммах воздушно-сухих образцов, так и на дифрактограммах образцов после насыщения этиленгликолем и после отжига при 550°C. Также мусковит легко определяется при обработке обзорных дифрактограмм в программе PDXL2 (Rigaku).

Таблица 1 – Фазовый состав образцов

	ПМК-2401Б	ПМК-2402Б	ПМК-2403Б	ПМК-2404Б	ПМК-2406Б	ПМК-2407Б	ПМК-2408Б	ПМК-2410Б	ПМК-2411Б	ПМК-2415Б	ПМК-2417Б	ПМК-2418Б	ПМК-2420Б	ПМК-2421Б
Кварц	+	+	+	+	+	+	+	+	+	+	+	+	+	+
Хлорит	+	+	+	+	+	+	+	+	+	+	+	+	+	+
Каолинит	+−*	+−	+−	+	+	+	+	+−	+	+	+	+	+	+
Слюда (мусковит)	+	+	+	+	следы	следы	+	+	+	следы	следы	+	+	+
Полевые шпаты	+	+	+	+	+	+	+	+	+	+	+	+	+	+
Кальцит	+	+	−	+	+	+	следы	+	+	+	+	+	+	+
Фатерит	+	+	+	−	−	−	−	+	−	−	−	−	−	−
Галит	следы	следы	следы	следы	следы	+	−	+	следы	−	+	следы	следы	+
Амфибол	+	+	+	следы	следы	следы	+	+	следы	+	+	+	следы	+
Смектит	−	−	−	+	+	+	−	−	+	−	+	+	+	−
Смешанослойное образование иллит-смектит	+	+	+	−	−	−	+	+	−	+	−	−	−	+
Смешанослойное образование хлорит-смектит	+	+	+	+	−	−	−	+	−	+	−	−	−	−
Цеолит - ломонтит, предположительно	+	+	+	+	+	+	+	следы	следы	+	следы	следы	следы	+
Цеолит - эрионит, предположительно	−	−	−	−	+	+	−	+	+	следы	−	−	−	+
Цеолит - гейделлит, предположительно	+	+	+	+	+	+	+	+	+	+	+	+	+	+
Рентгеноаморфная фаза	+	+	+	+	+	+	+	+	+	+	+	+	+	+

* каолинит однозначно не диагностируется

Продолжение таблицы 1

	ПМК-2423Б	ПМК-2424Б	ПМК-2426Б	ПМК2401Т 2-5	ПМК2401Т 10-15	ПМК2401Т 15-18	ПМК2401Т 22-24	ПМК2401Т 26-29	ПМК2401Т 32-35	ПМК2401Т 40-42
Кварц	+	+	+	+	+	+	+	+	+	+
Хлорит	+	+	+	+	+	+	+	+	+	+
Каолинит	+	+	+	+ –	+ –	+ –	+ –	+ –	+ –	+ –
Слюда (мусковит)	+	+	+	+	+	+	+	+	+	+
Полевые шпаты	+	+	+	+	+	+	+	+	+	+
Кальцит	–	–	–	+	+	+	+	+	–	+
Фатерит	–	–	–	+	+	+	+	+	+	+
Галит	следы	следы	следы	+	+	+	+	+	+	+
Амфибол	+	+	+	+	+	+	+	+	+	+
Смектит	–	–	–	–	–	–	–	–	–	–
Смешанослойное образование иллит-смектит	+	+	+	+	+	+	+	+	+	+
Смешанослойное образование хлорит-смектит	+	+	+	+	+	+	+	+	+	+
Цеолит - ломонтит, предположительно	+	+	+	+	следы	следы	следы	следы	следы	следы
Цеолит - эрионит, предположительно	–	–	–	+	+	+	+	+	–	–
Цеолит - гейделлит, предположительно	+	+	+	+	+	+	+	+	+	+
Рентгеноаморфная фаза	+	+	+	+	+	+	+	+	+	+

Продолжение таблицы 1

	ПМК2401Т 43-45	ПМК2401Т 56-59	ПМК2401Т 70-73	ПМК2401Т 83-86	ПМК2401Т 89-92	ПМК2401Т 98-102	ПМК2420Т 7-10	ПМК2420Т 28-31	ПМК2420Т 78-81	ПМК2420Т 160-163
Кварц	+	+	+	+	+	+	+	+	+	+
Хлорит	+	+	+	+	+	+	+	+	+	+
Каолинит	+ –	+ –	+ –	+ –	+ –	+ –	+	+	+	+
Слюда (мусковит)	+	+	+	+	+	+	+	+	+	+
Полевые шпаты	+	+	+	+	+	+	+	+	+	+
Кальцит	–	–	–	–	–	–	+	–	–	–
Фатерит	+	+	+	+	+	+	–	–	–	–
Галит	+	+	+	+	+	+	–	–	–	–
Амфибол	+	+	+	+	+	+	следы	следы	+	следы
Смектит	–	–	–	–	–	–	–	–	–	+
Смешанослойное образование иллит-смектит	+	+	+	+	+	+	+	+	+	–
Смешанослойное образование хлорит-смектит	+	+	+	+	+	+	–	–	–	–
Цеолит - ломонтит, предположительно	следы	следы	следы	следы	следы	следы	следы	следы	следы	следы
Цеолит - эрионит, предположительно	–	–	–	–	–	–	–	–	–	–
Цеолит - гейделлит, предположительно	+	+	+	+	+	+	+	+	+	+
Рентгеноаморфная фаза	+	+	+	+	+	+	+	+	+	+

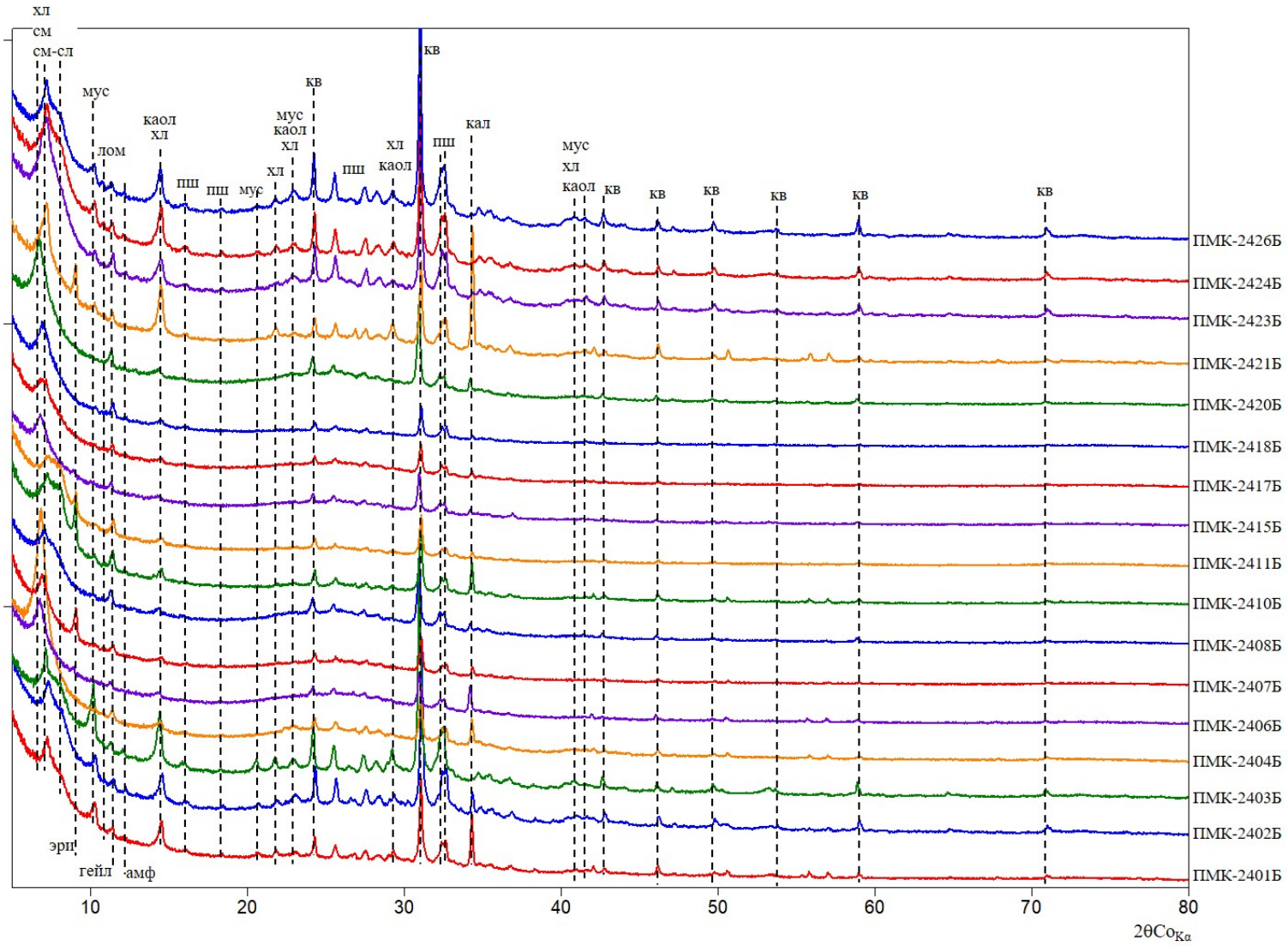

Рисунок 1 – Результаты фазового анализа образцов ПМК-2401Б–ПМК-2426Б (обзорные дифрактограммы). Отмечены основные диагностические дифракционные максимумы минералов (хл – хлорит, мус – мусковит, амф – амфибол, каол – каолинит, пш – полевые шпаты, кв – кварц, кал - кальцит, эр – эрионит, гейл – гейландит, лом – ломонтит, см – смектит, см-сл – смешанослойное образование)

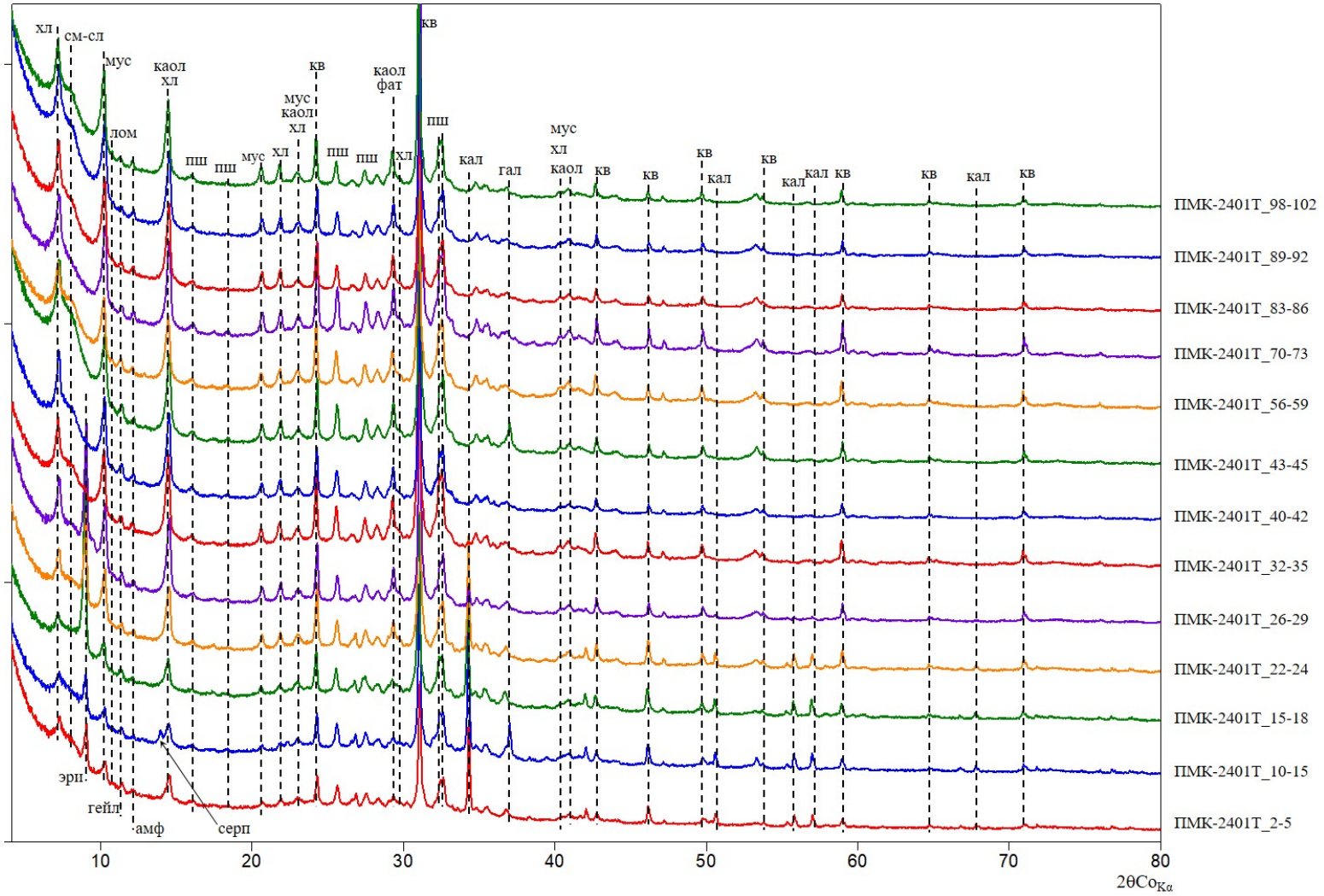

Рисунок 2 – Результаты фазового анализа образцов ПМК-2401Т (обзорные дифрактограммы). Отмечены основные диагностические дифракционные максимумы минералов (хл – хлорит, мус – мусковит, амф – амфибол, каол – каолинит, пш – полевые шпаты, кв – кварц, кал - кальцит, фат – фатерит, эр – эрионит, гейл – гейландит, лом – ломонтит, серп – серпентин, гал – галит, см-сл – смешанослойное образование)

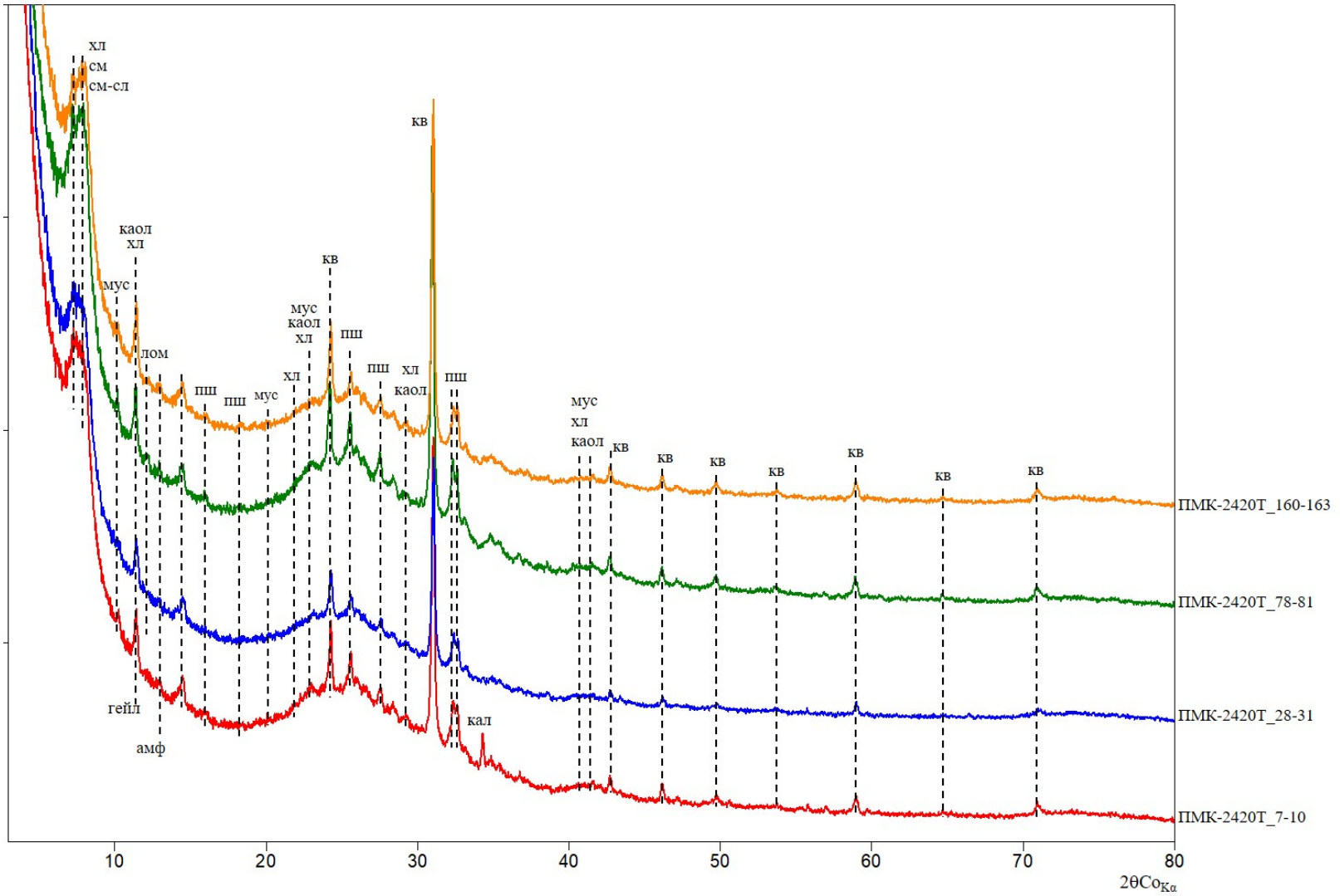

Рисунок 3 – Результаты фазового анализа образцов ПМК-2420Т (обзорные дифрактограммы). Отмечены основные диагностические дифракционные максимумы минералов (хл – хлорит, мус – мусковит, амф – амфибол, каол – каолинит, пш – полевые шпаты, кв – кварц, кал - кальцит, гейл – гейландит, лом – ломонтит, см – смектит, см-сл – смешанослойное образование)

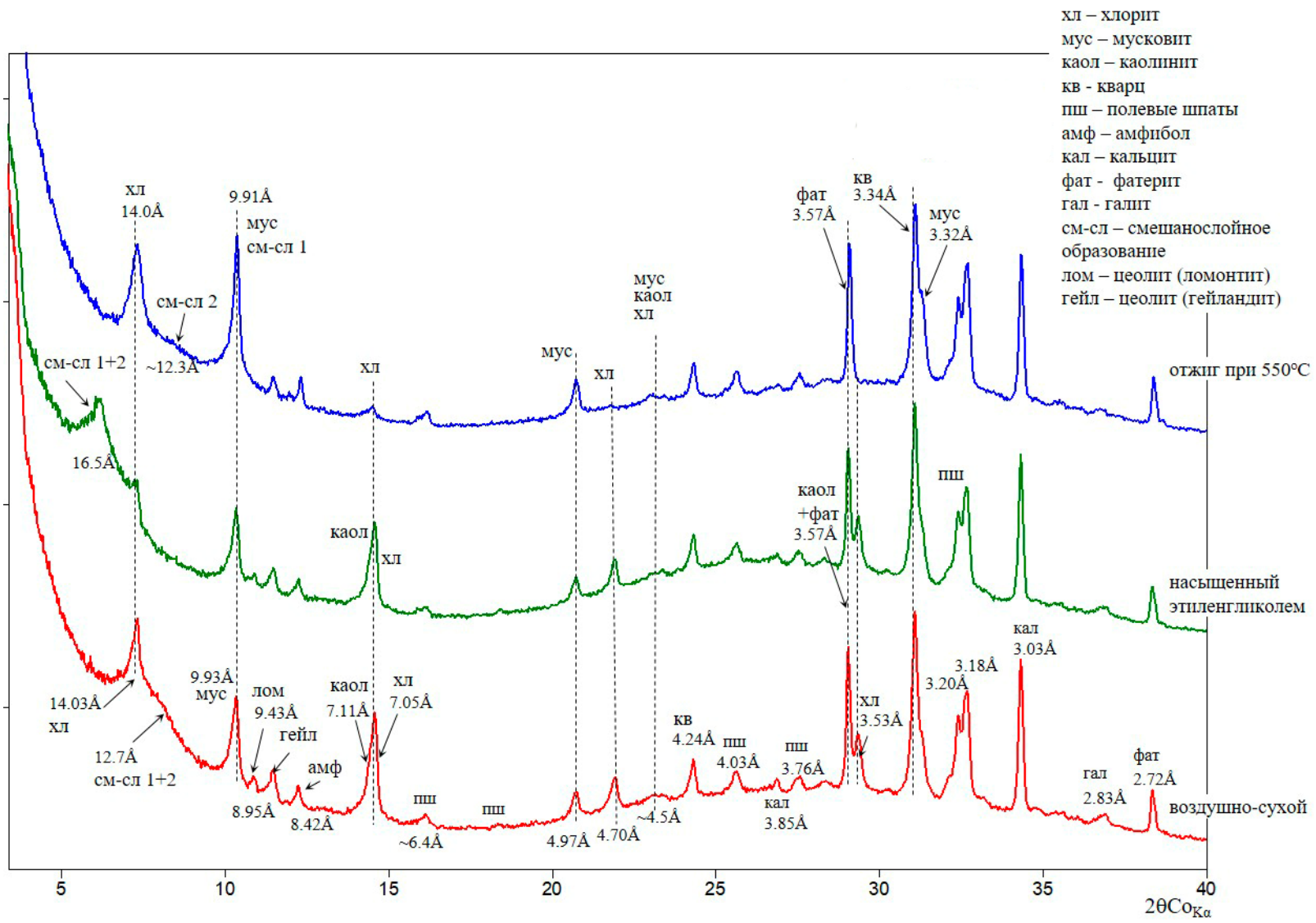

Рисунок 4 – Результаты фазового анализа образца ПМК-2401Б. Отмечены основные диагностические дифракционные максимумы минералов

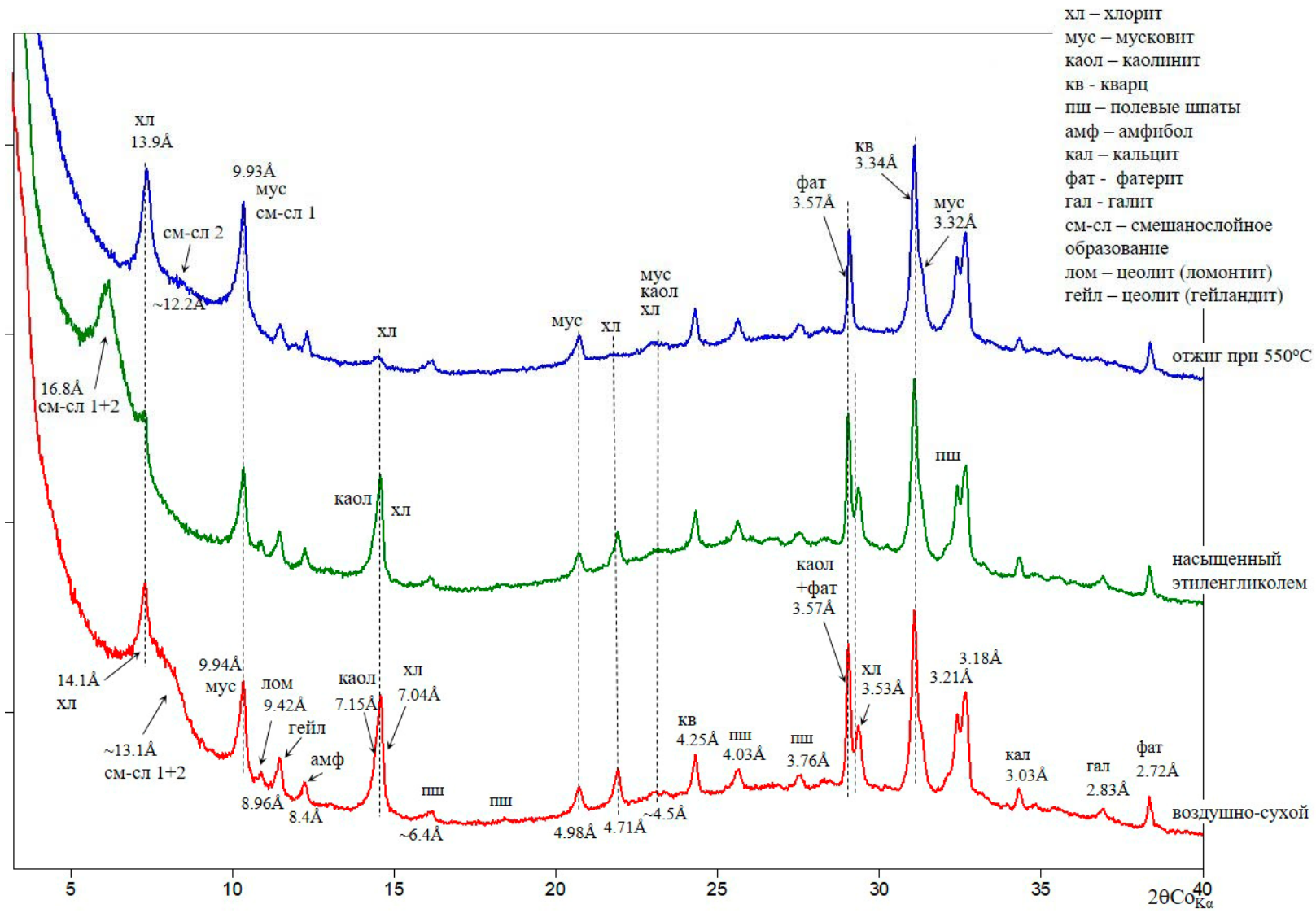

Рисунок 5 – Результаты фазового анализа образца ПМК-2402Б. Отмечены основные диагностические дифракционные максимумы минералов

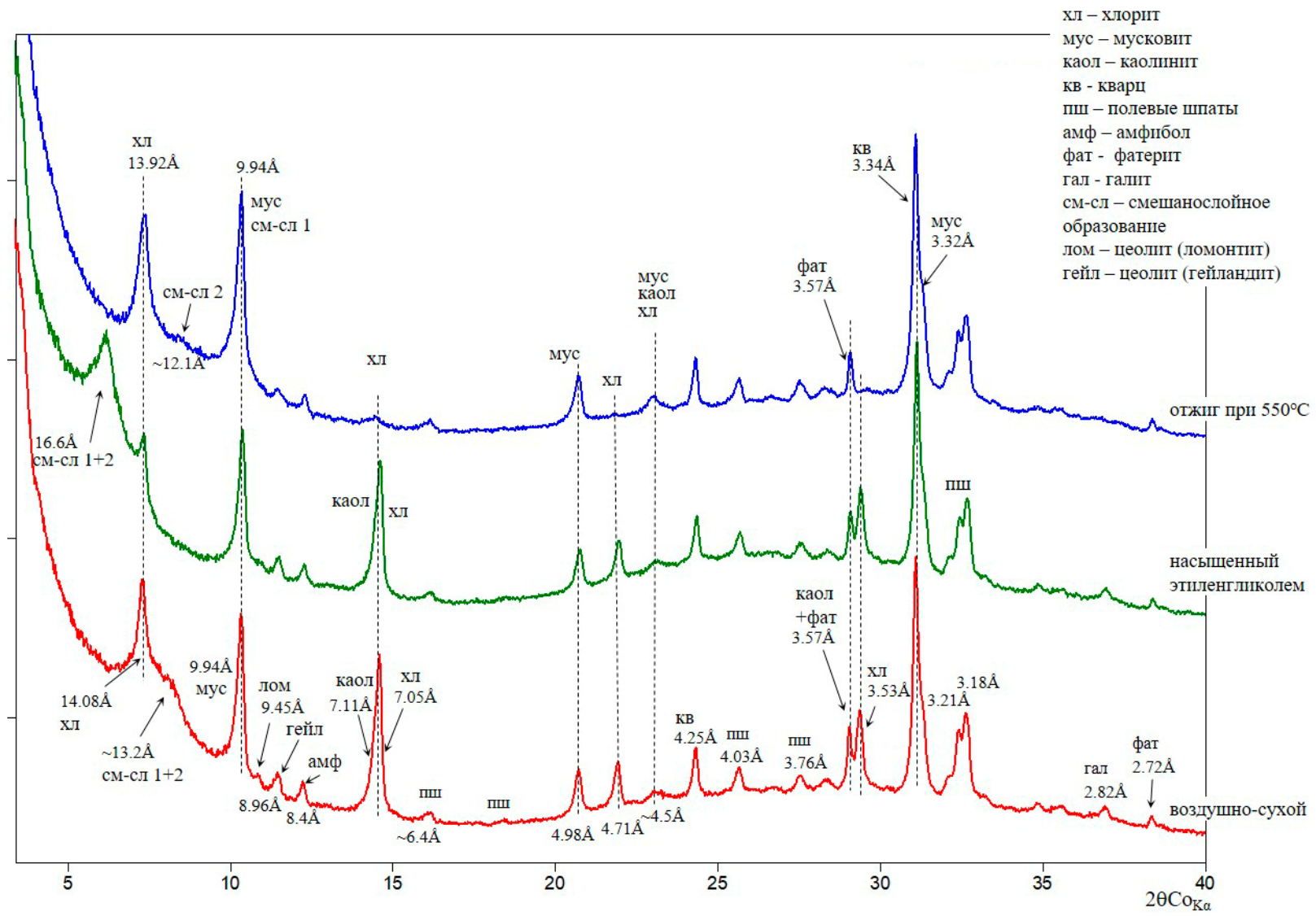

Рисунок 6 – Результаты фазового анализа образца ПМК-2403Б. Отмечены основные диагностические дифракционные максимумы минералов

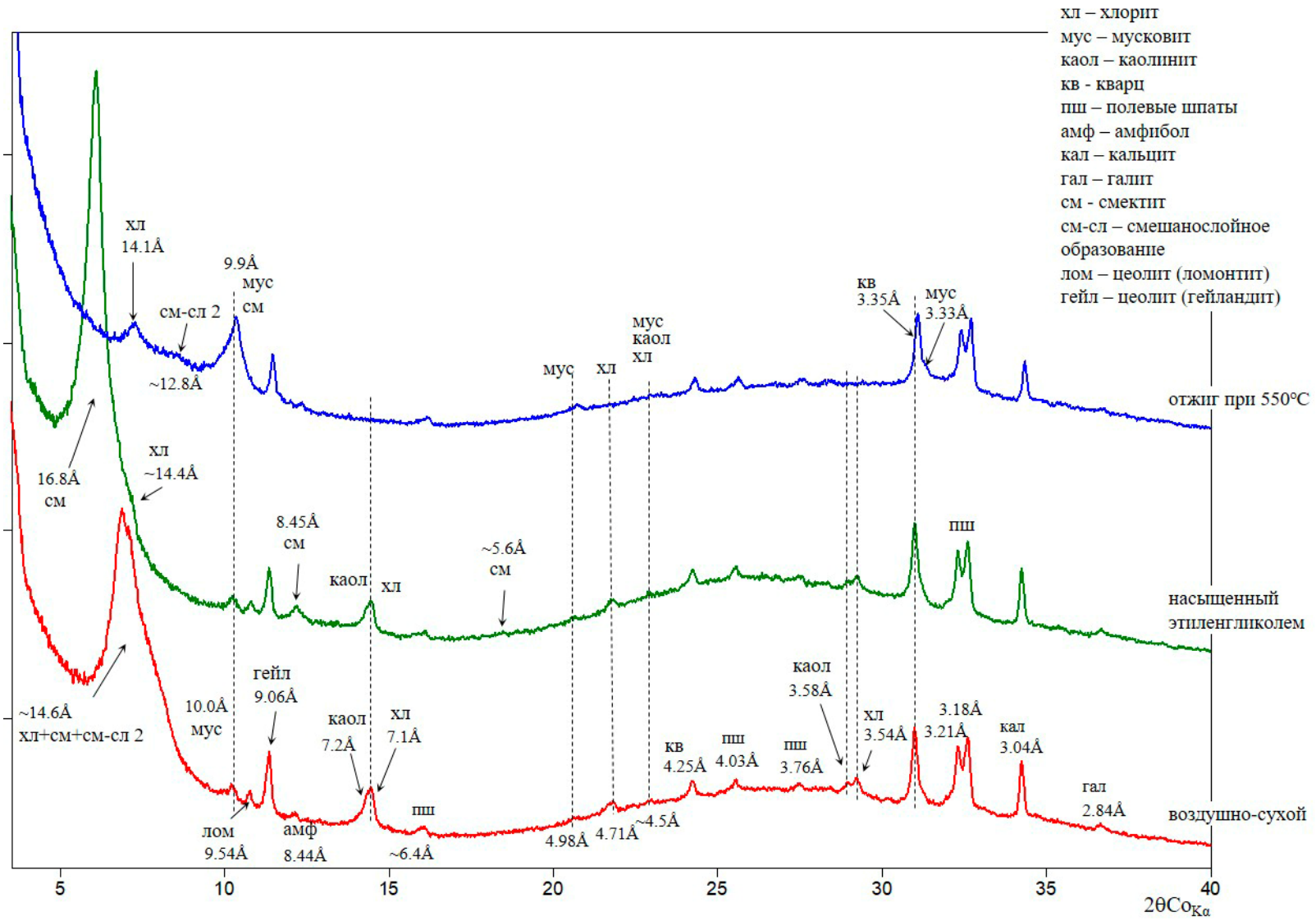

Рисунок 7 – Результаты фазового анализа образца ПМК-2404Б. Отмечены основные диагностические дифракционные максимумы минералов

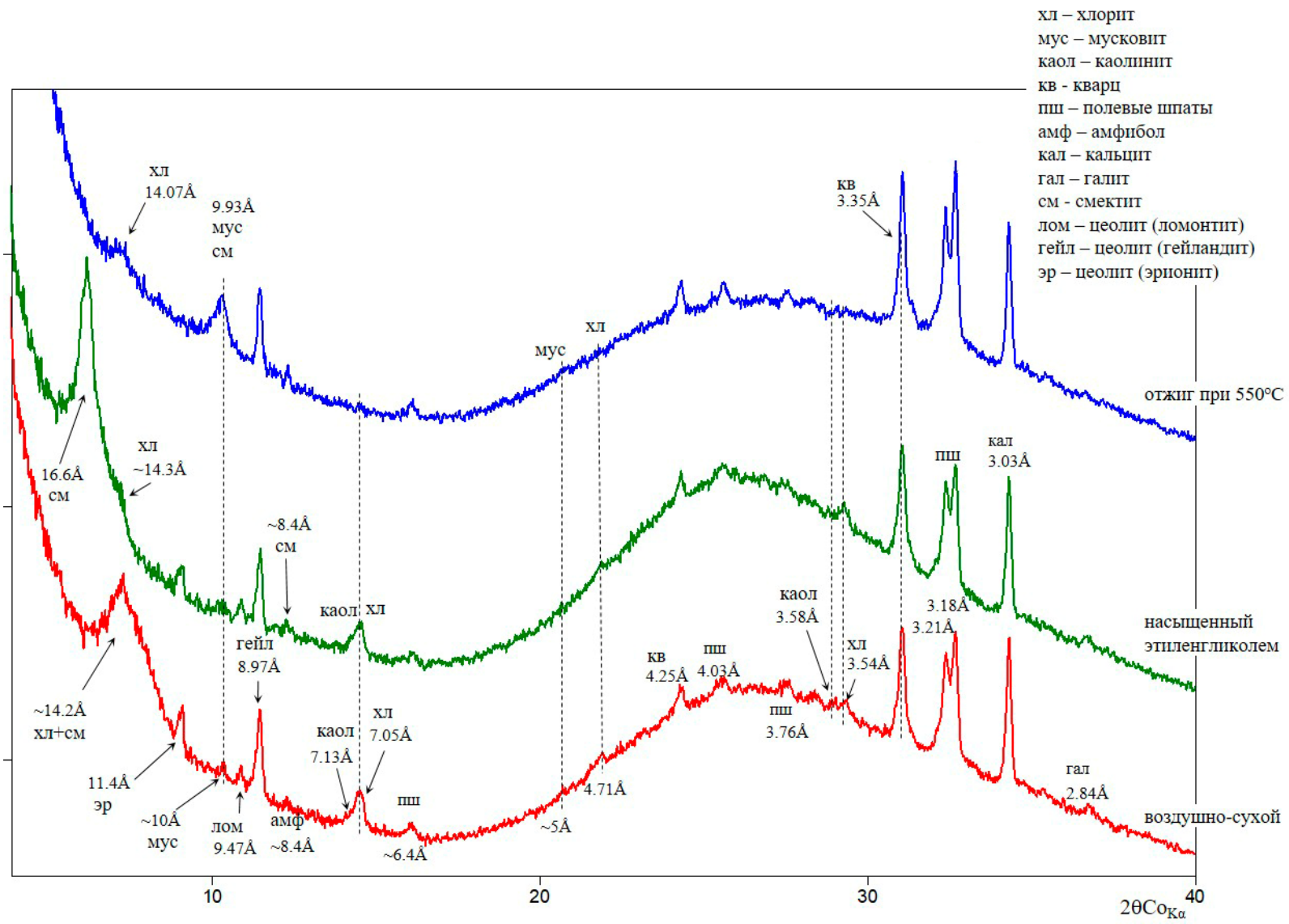

Рисунок 8 – Результаты фазового анализа образца ПМК-2406Б. Отмечены основные диагностические дифракционные максимумы минералов

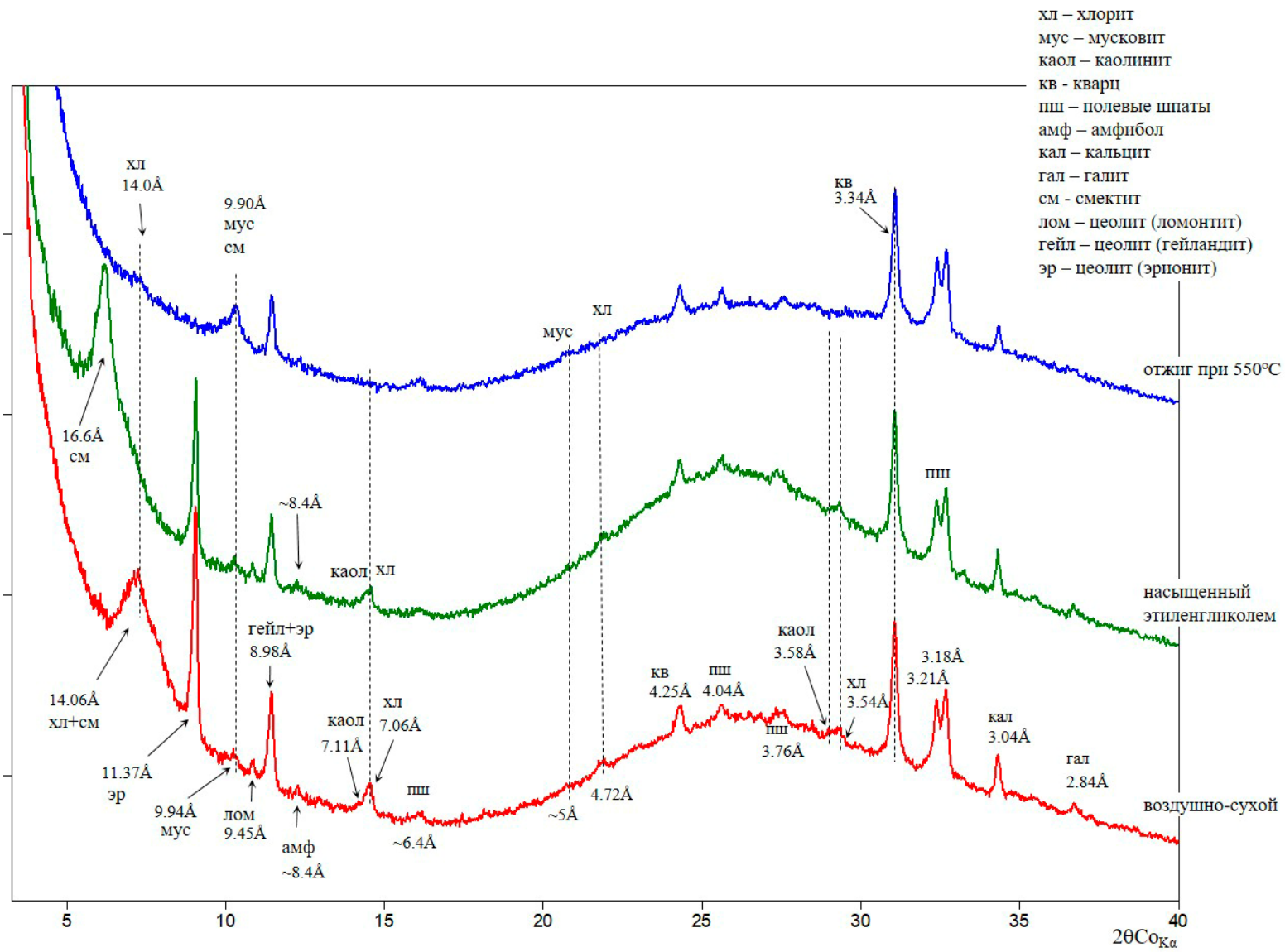

Рисунок 9 – Результаты фазового анализа образца ПМК-2407Б. Отмечены основные диагностические дифракционные максимумы минералов

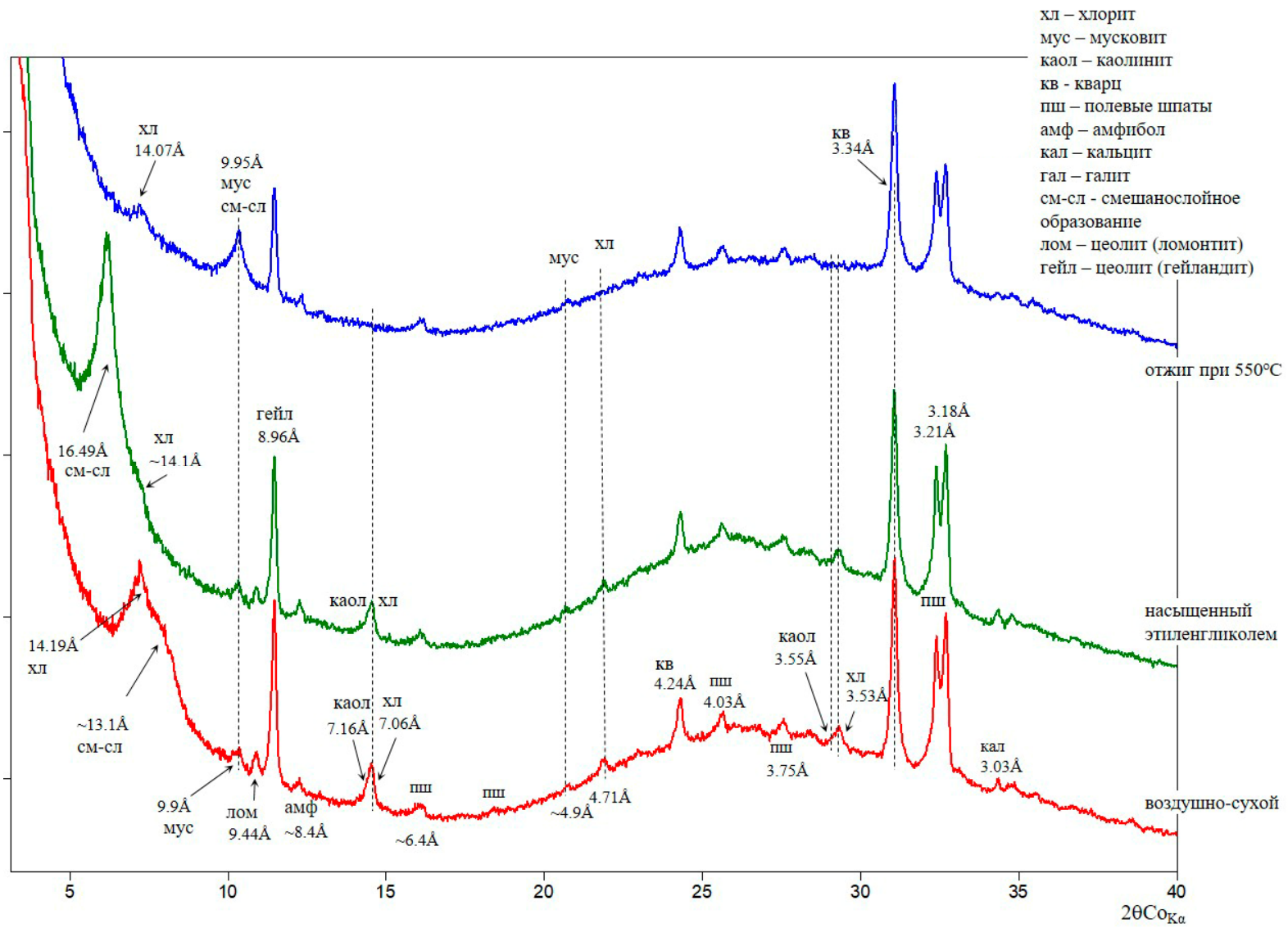

Рисунок 10 – Результаты фазового анализа образца ПМК-2408Б. Отмечены основные диагностические дифракционные максимумы минералов

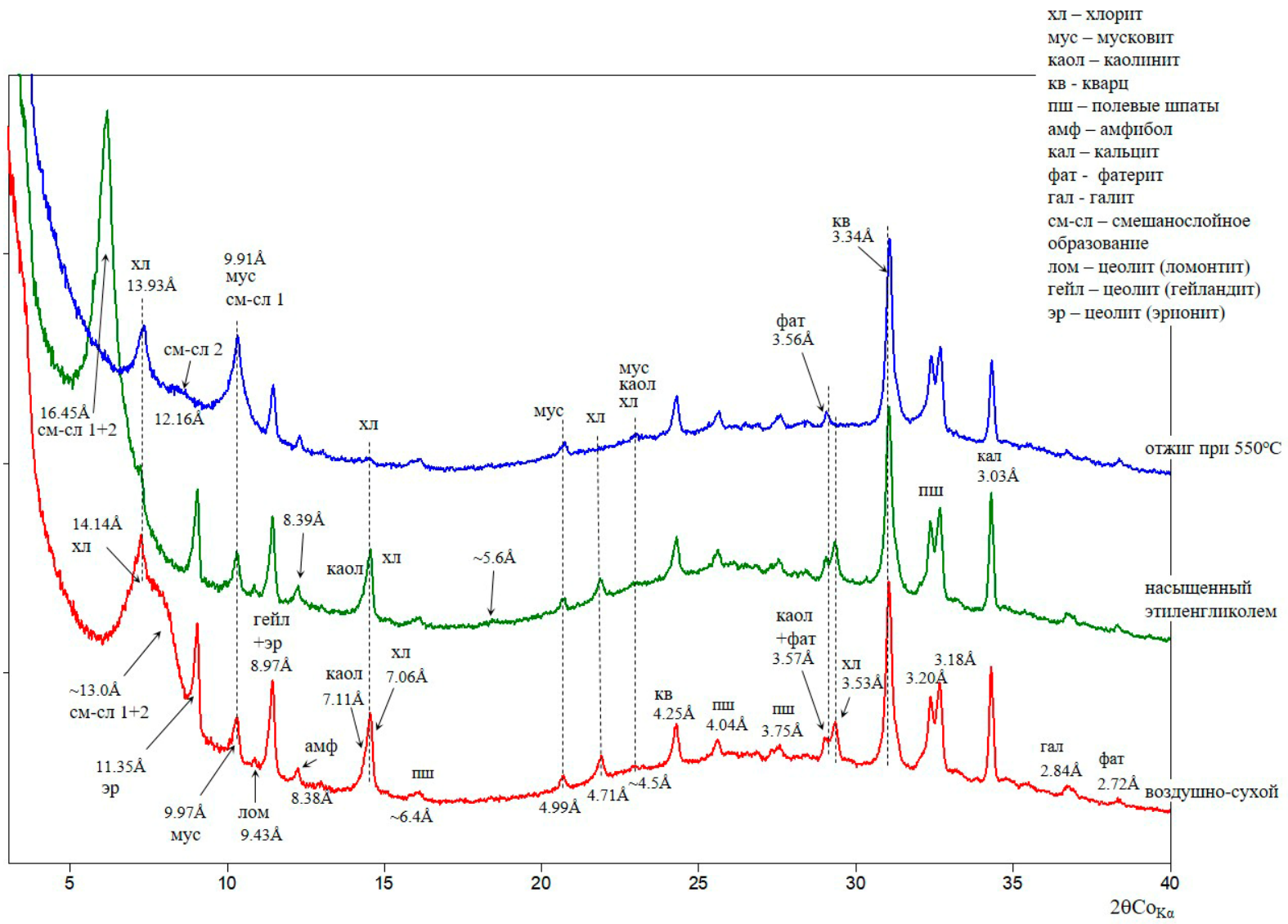

Рисунок 11 – Результаты фазового анализа образца ПМК-2410Б. Отмечены основные диагностические дифракционные максимумы минералов

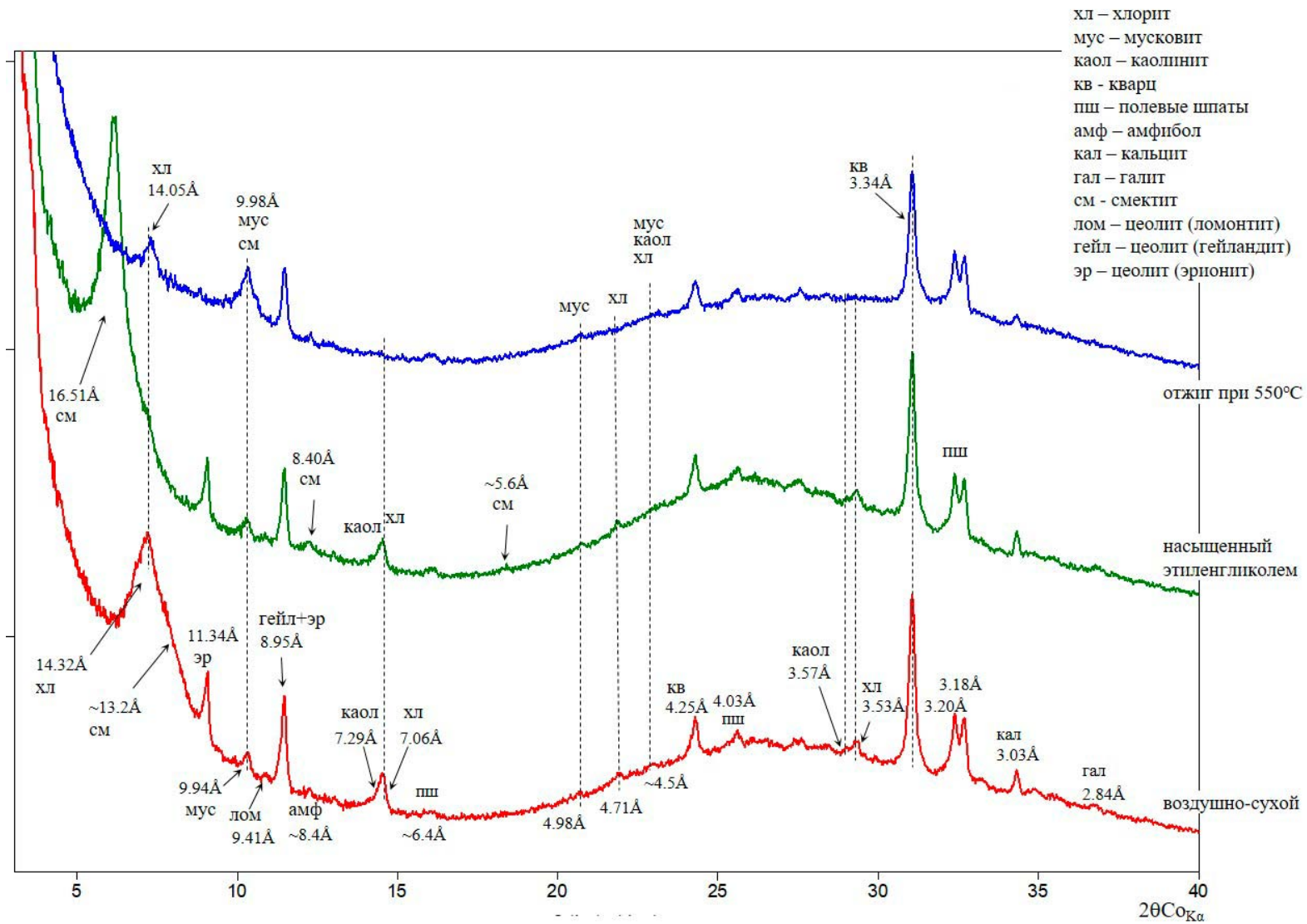

Рисунок 12 – Результаты фазового анализа образца ПМК-2411Б. Отмечены основные диагностические дифракционные максимумы минералов

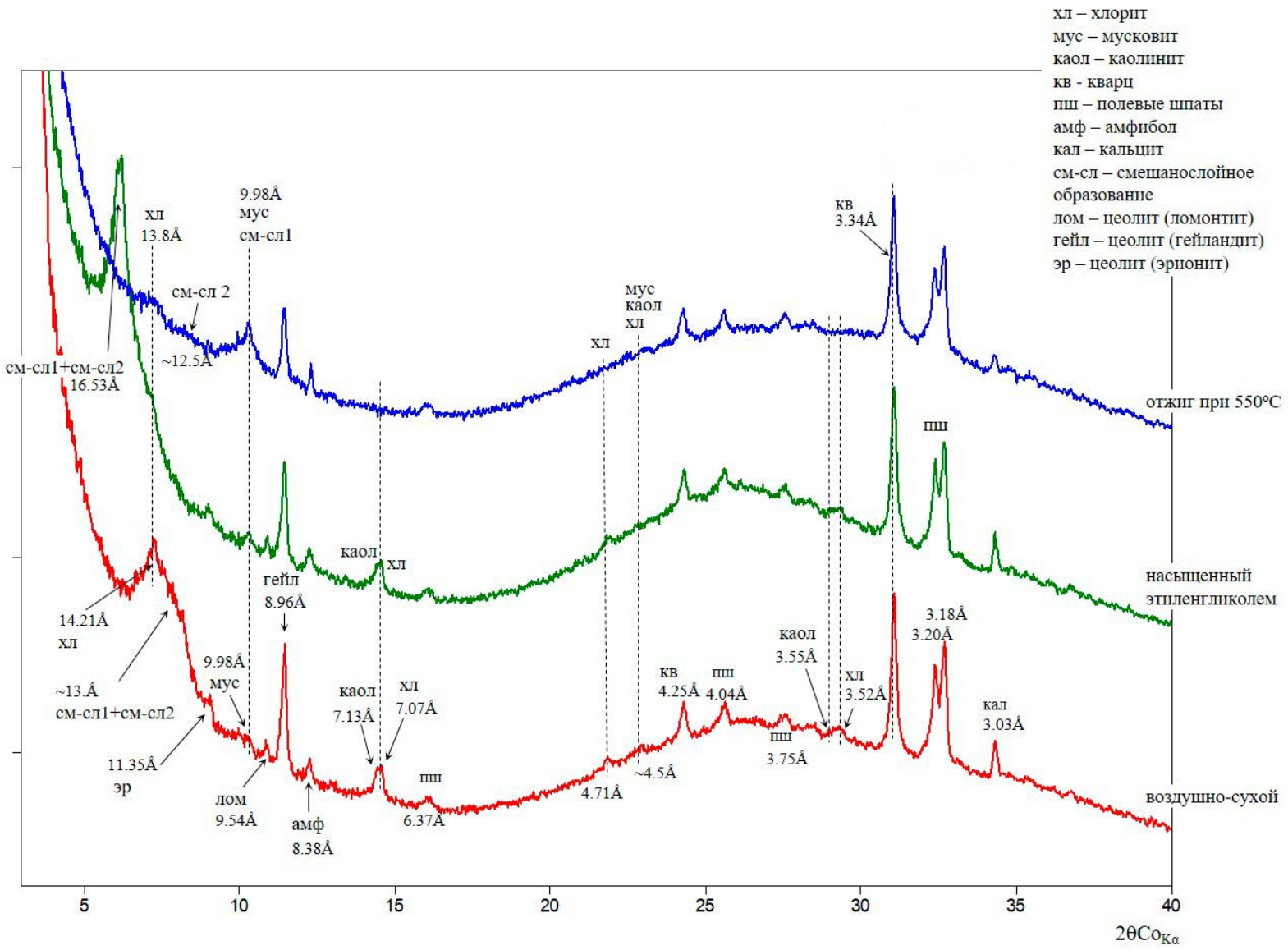

Рисунок 13 – Результаты фазового анализа образца ПМК-2415Б. Отмечены основные диагностические дифракционные максимумы минералов

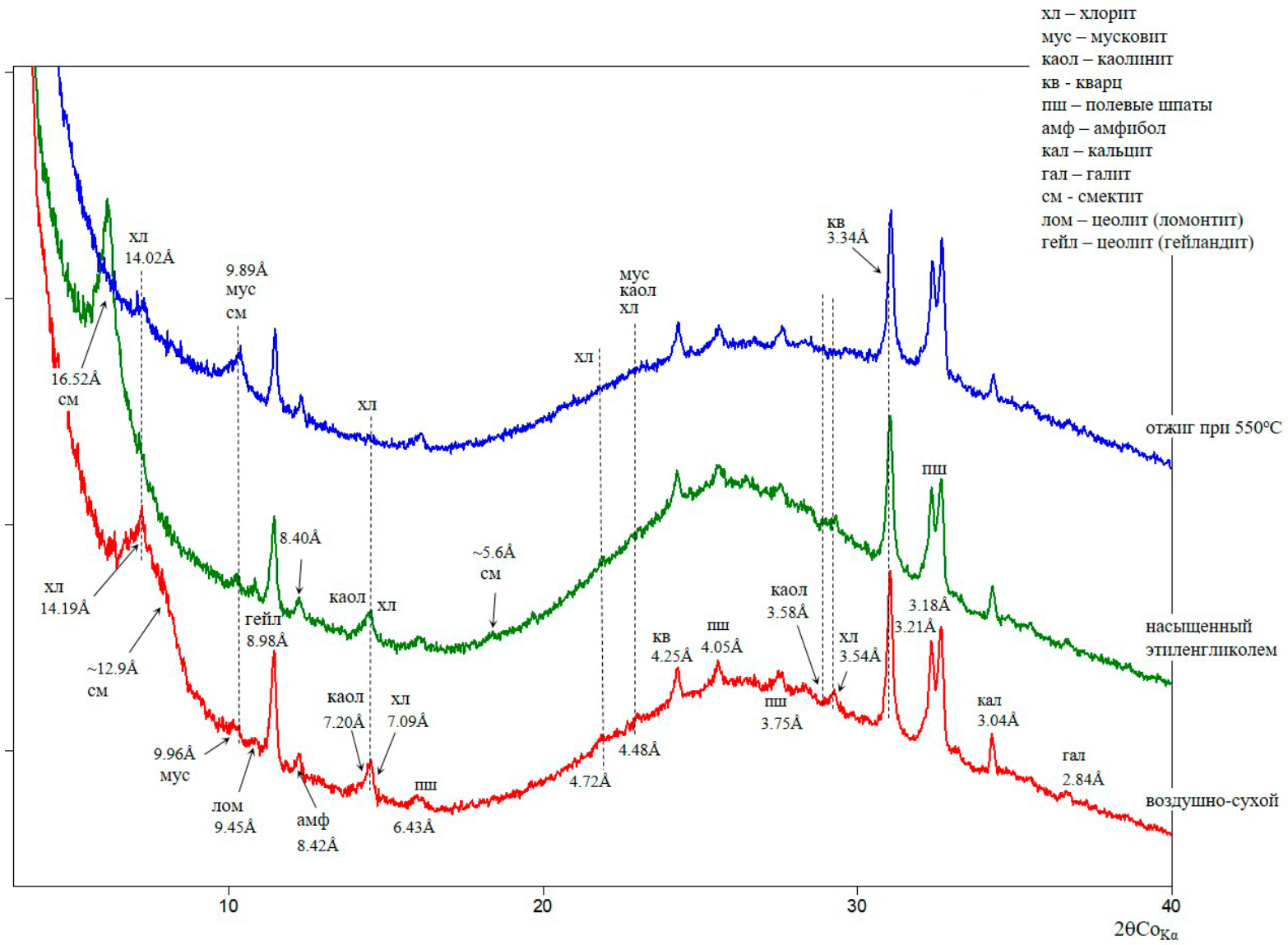

Рисунок 14 – Результаты фазового анализа образца ПМК-2417Б. Отмечены основные диагностические дифракционные максимумы минералов

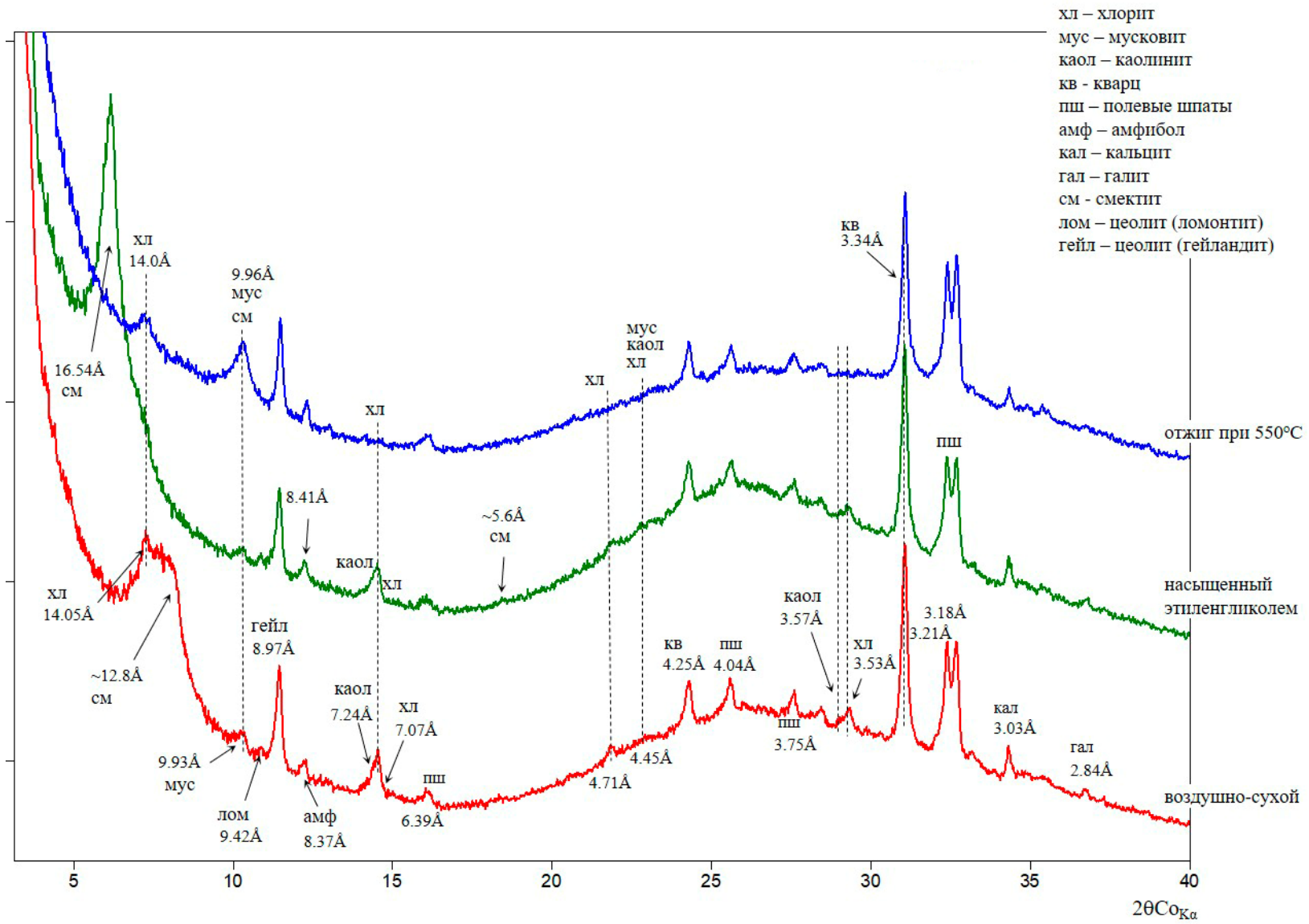

Рисунок 15 – Результаты фазового анализа образца ПМК-2418Б. Отмечены основные диагностические дифракционные максимумы минералов

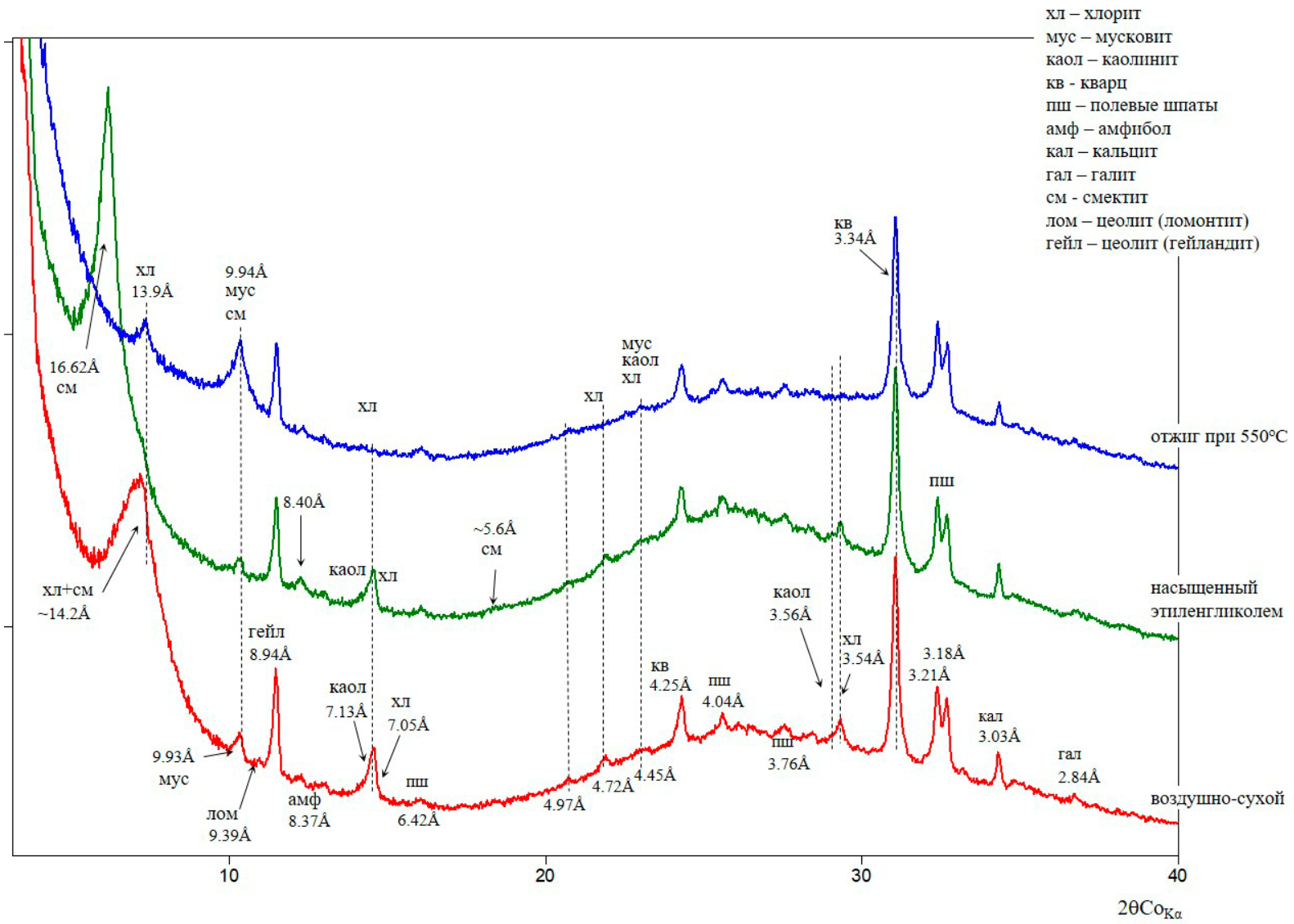

Рисунок 16 – Результаты фазового анализа образца ПМК-2420Б. Отмечены основные диагностические дифракционные максимумы минералов

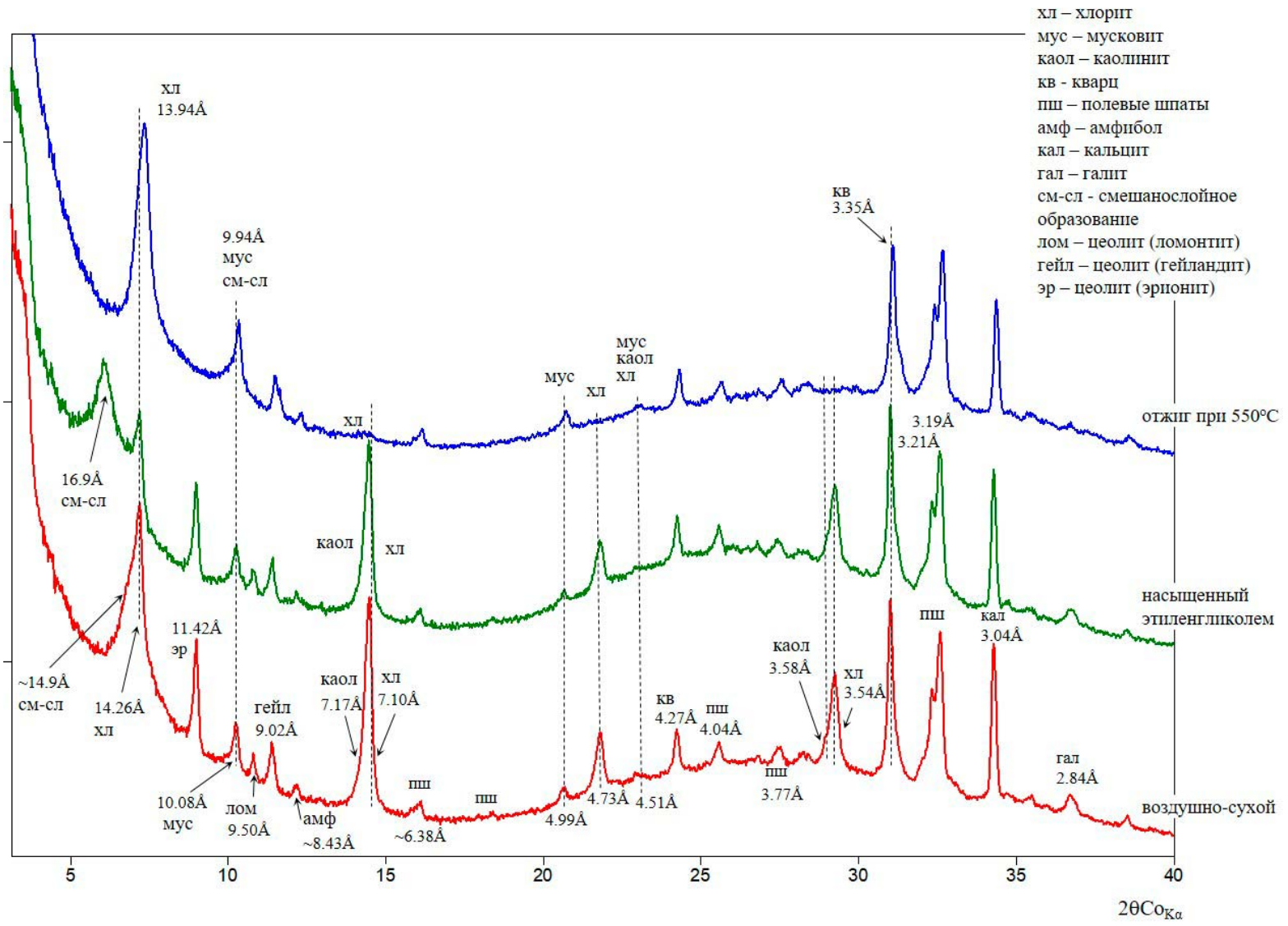

Рисунок 17 – Результаты фазового анализа образца ПМК-2421Б. Отмечены основные диагностические дифракционные максимумы минералов

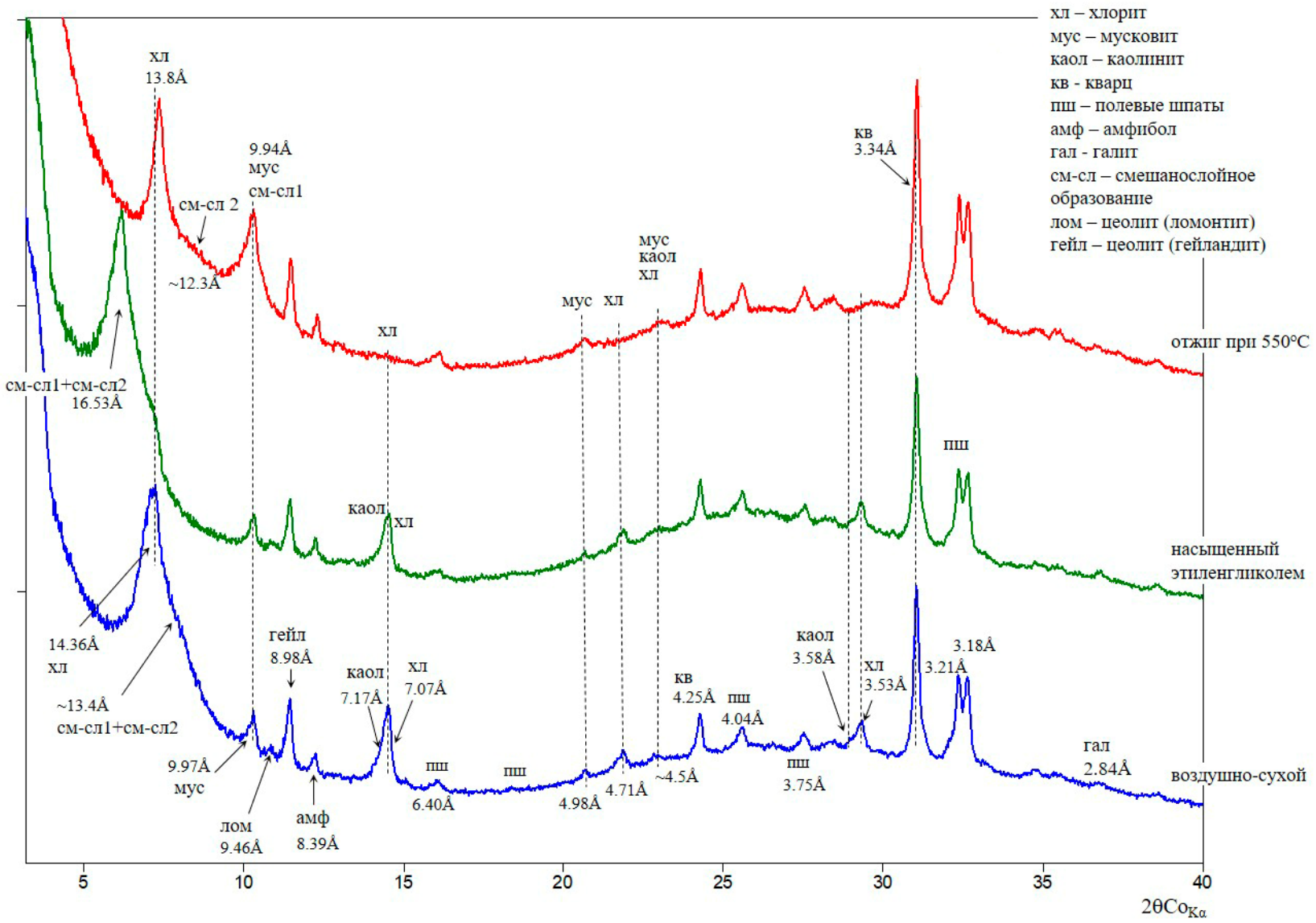

Рисунок 18 – Результаты фазового анализа образца ПМК-2423Б. Отмечены основные диагностические дифракционные максимумы минералов

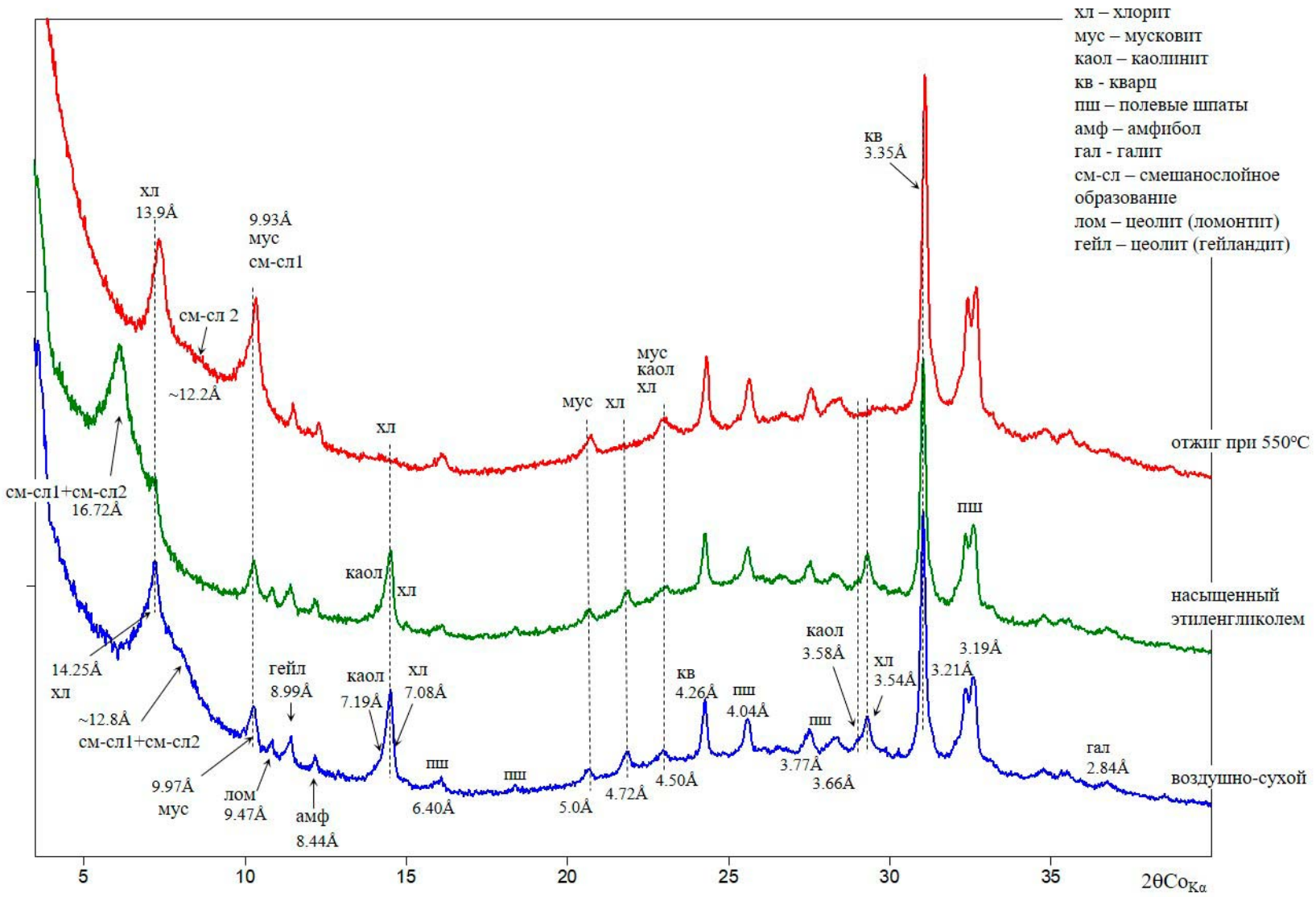

Рисунок 19 – Результаты фазового анализа образца ПМК-2424Б. Отмечены основные диагностические дифракционные максимумы минералов

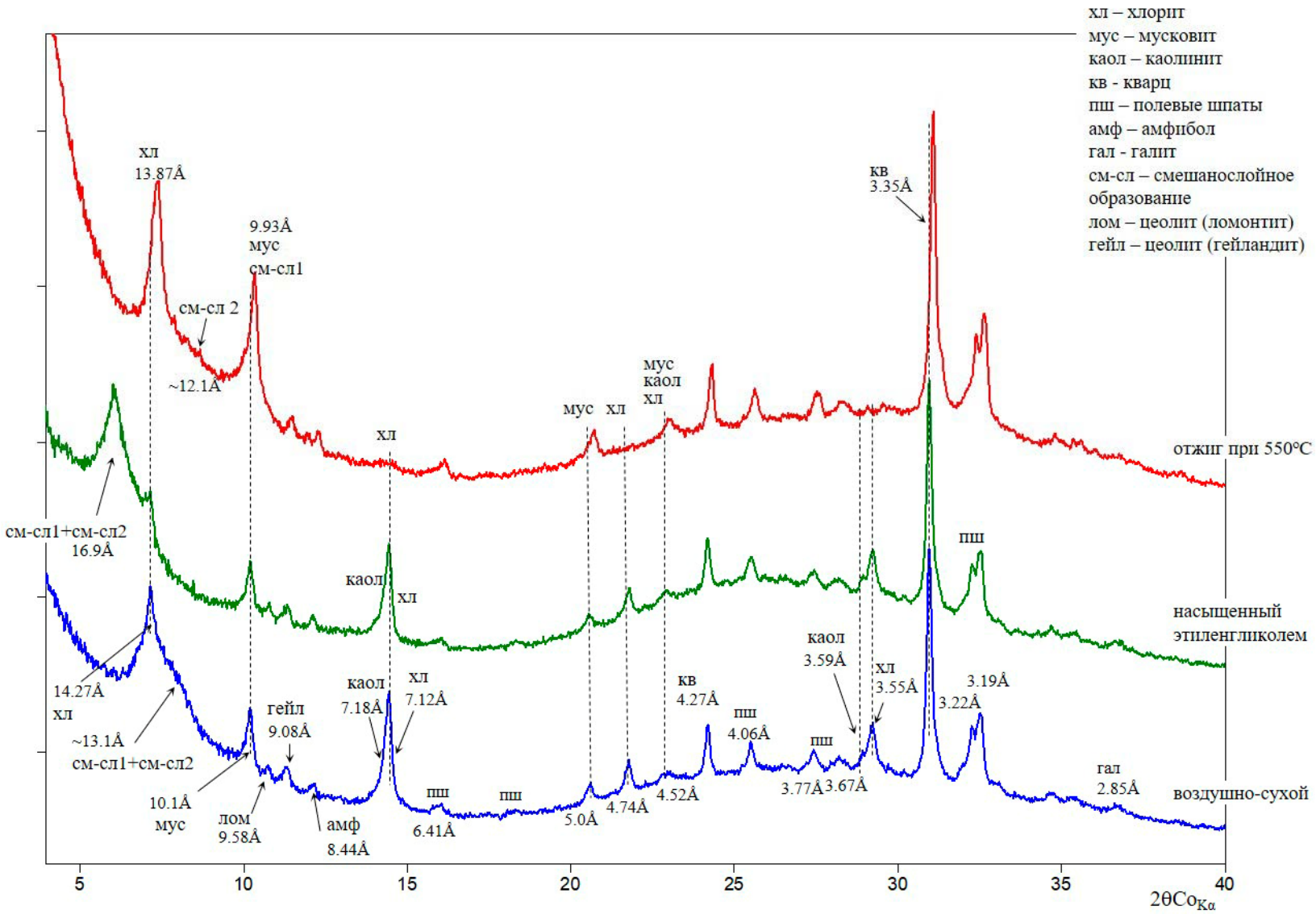

Рисунок 20 – Результаты фазового анализа образца ПМК-2426Б. Отмечены основные диагностические дифракционные максимумы минералов

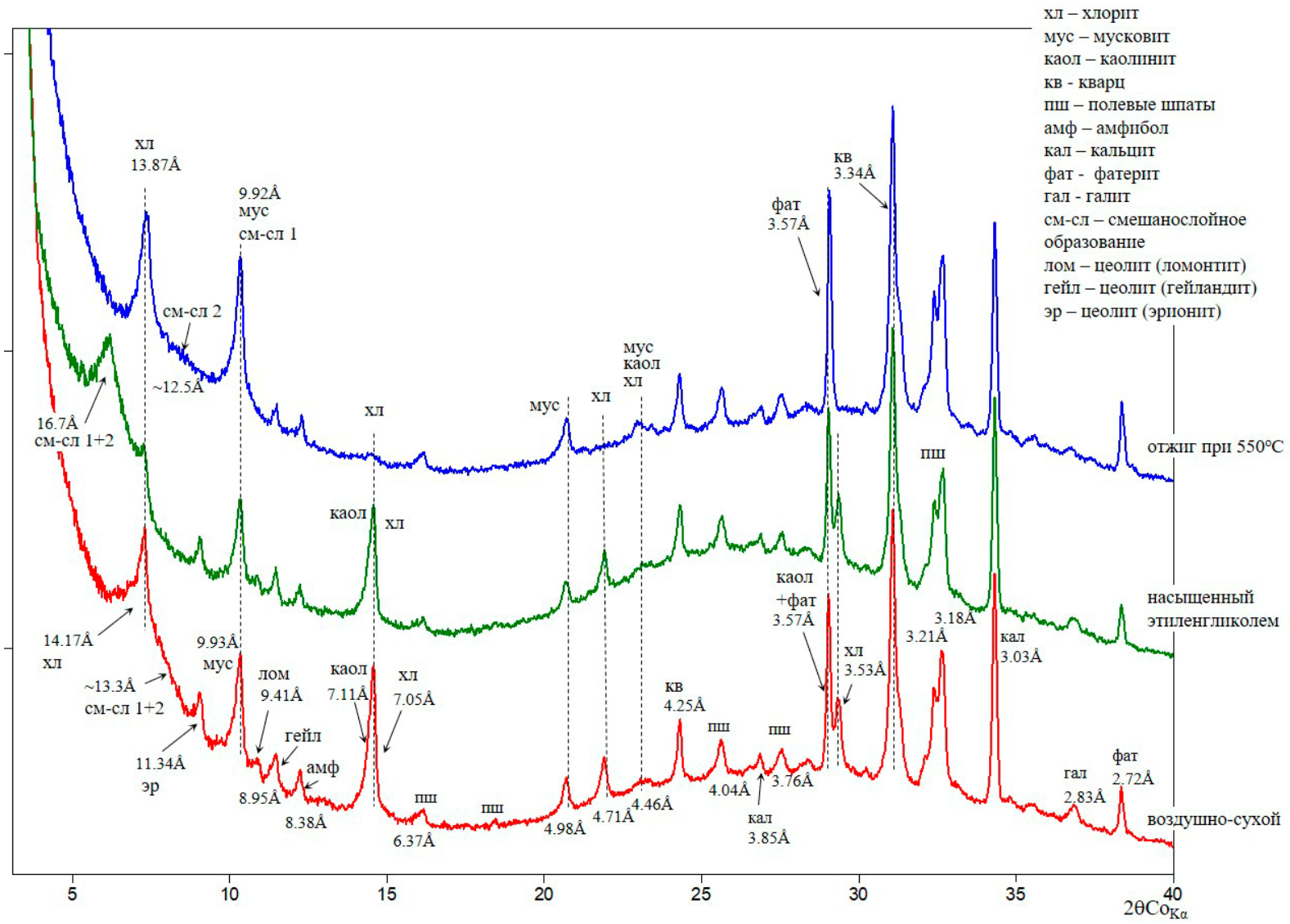

Рисунок 21 – Результаты фазового анализа образца ПМК-2401Т_2-5. Отмечены основные диагностические дифракционные максимумы минералов

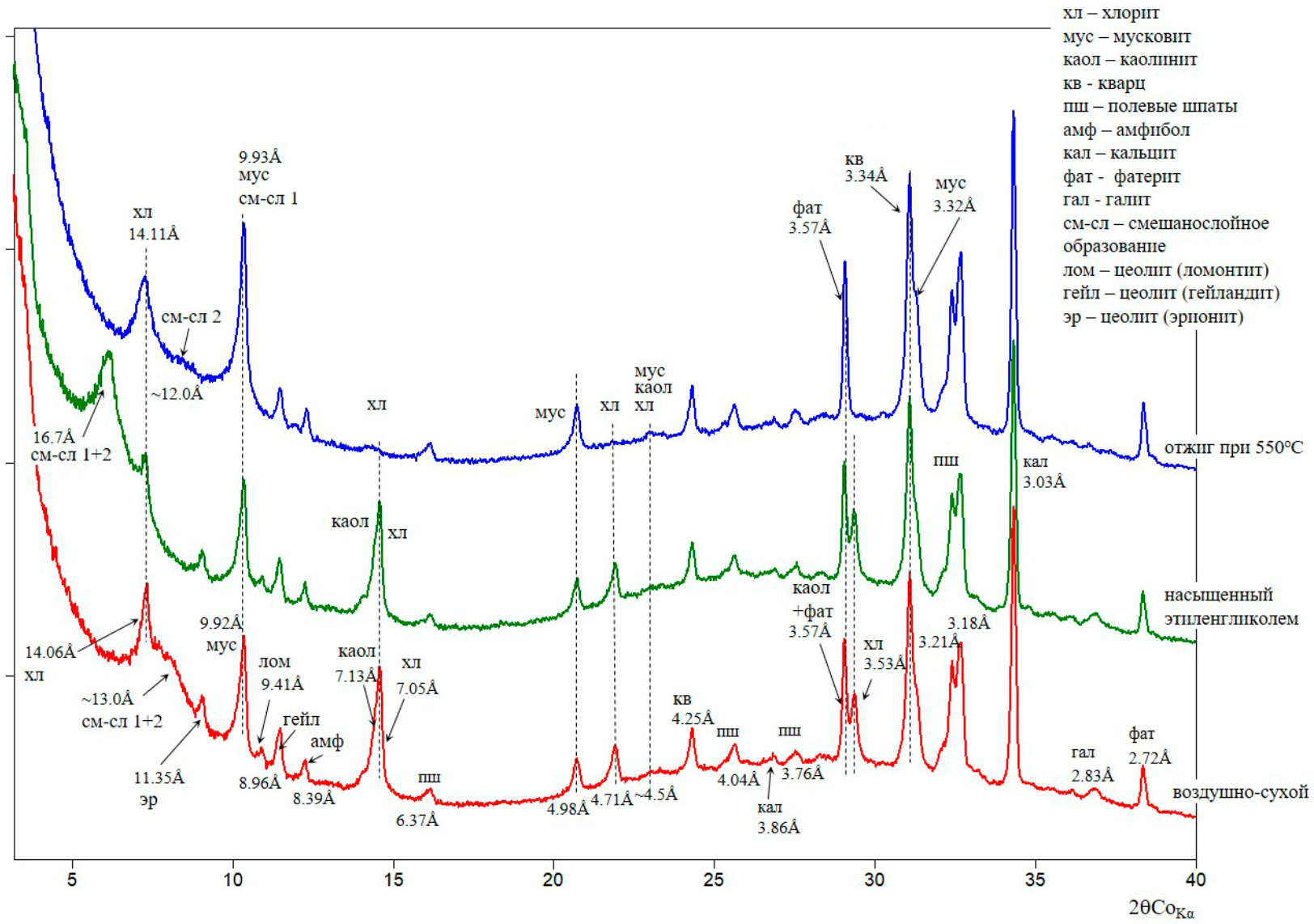

Рисунок 22 – Результаты фазового анализа образца ПМК-2401Т_10-15. Отмечены основные диагностические дифракционные максимумы минералов

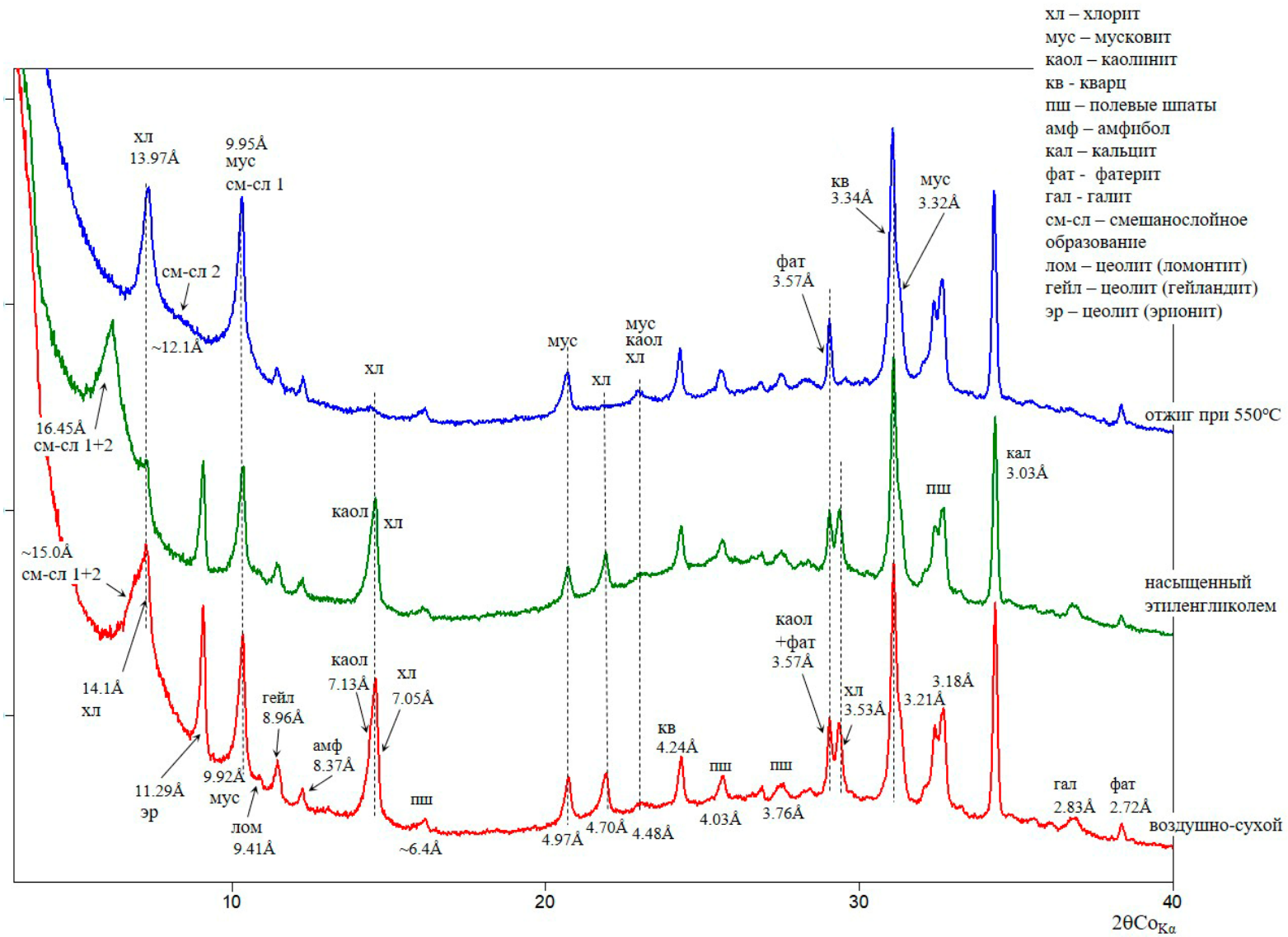

Рисунок 23 – Результаты фазового анализа образца ПМК-2401Т_15-18. Отмечены основные диагностические дифракционные максимумы минералов

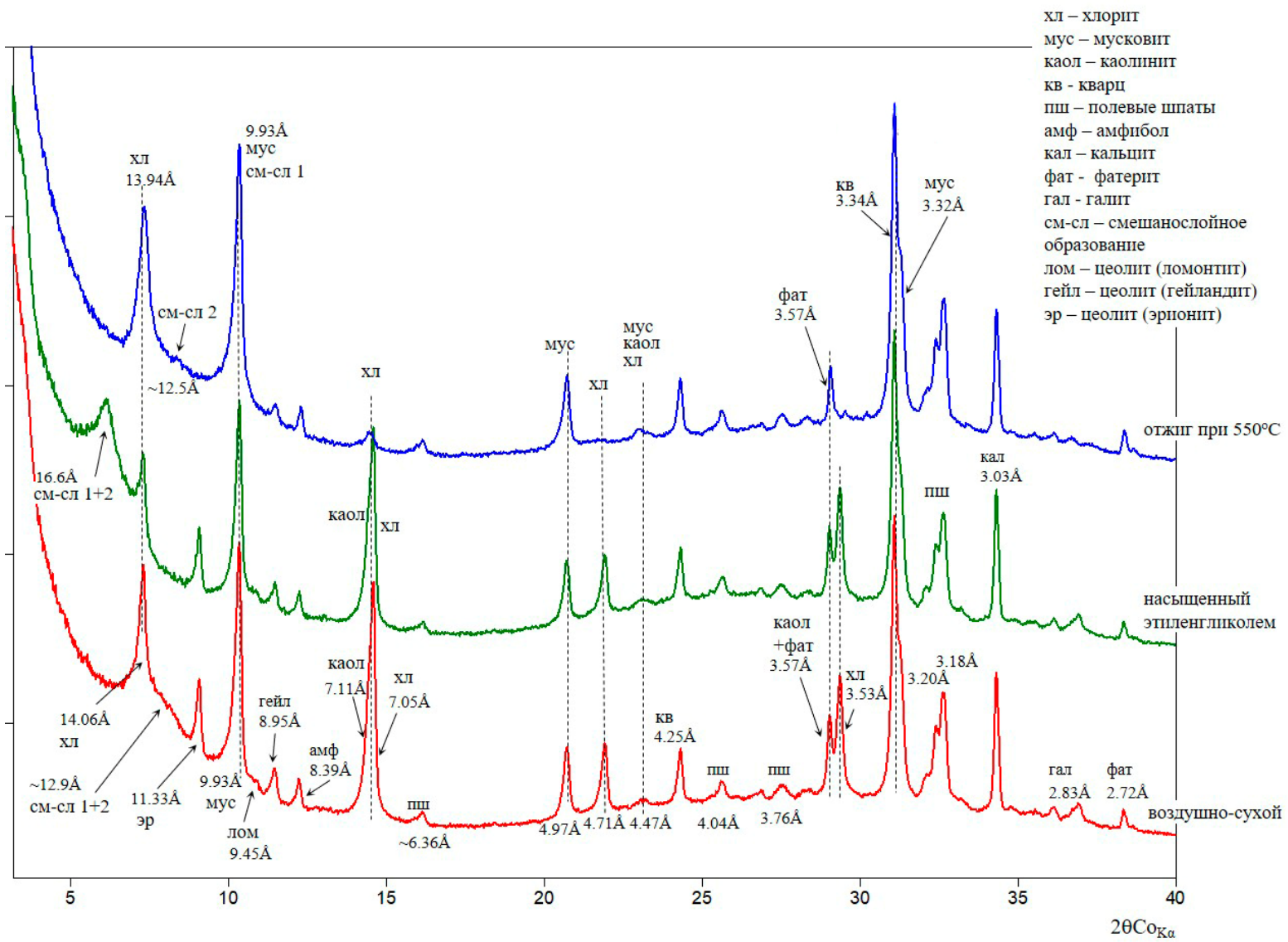

Рисунок 24 – Результаты фазового анализа образца ПМК-2401Т_22-24. Отмечены основные диагностические дифракционные максимумы минералов

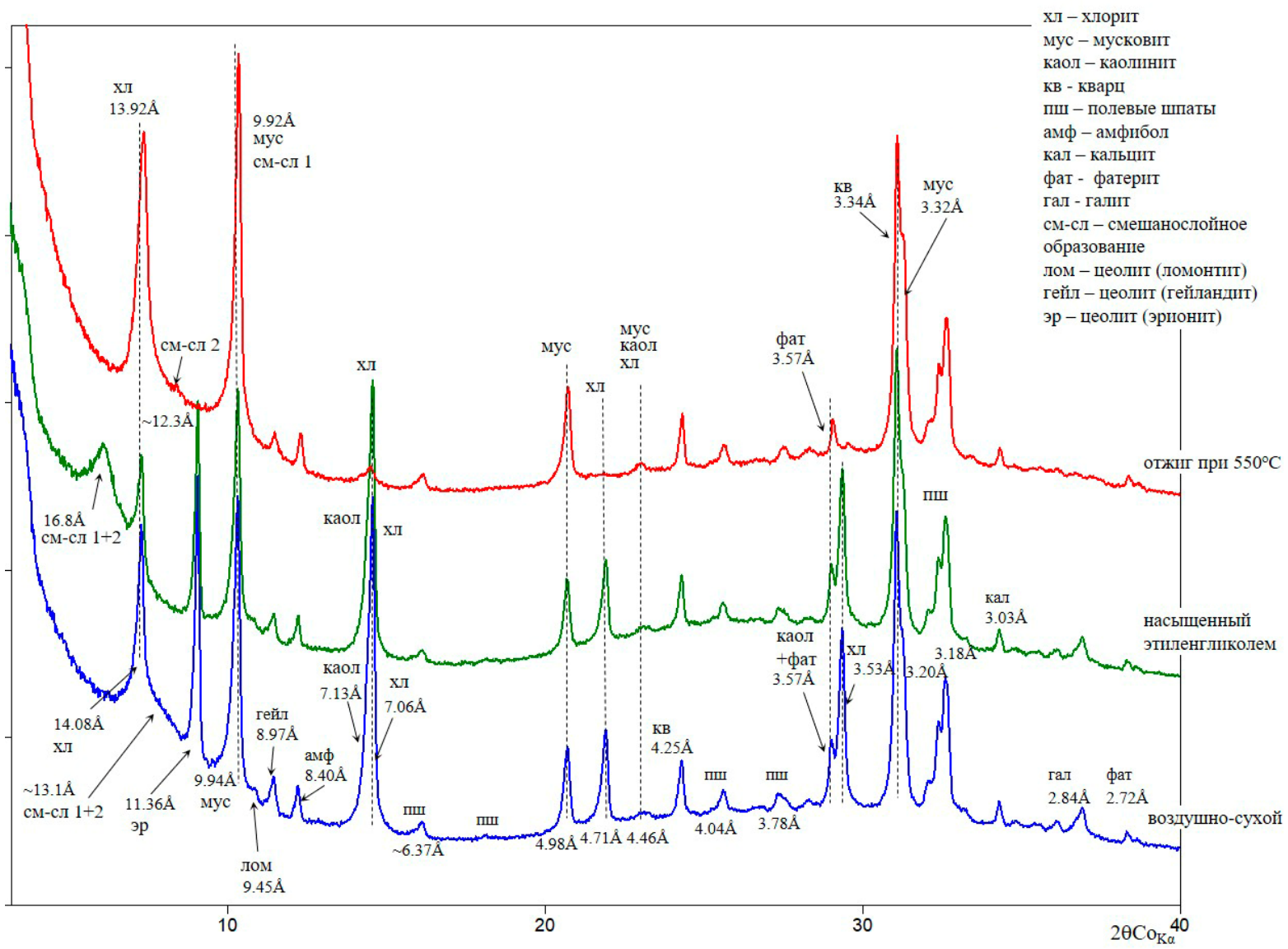

Рисунок 25 – Результаты фазового анализа образца ПМК-2401Т_26-29. Отмечены основные диагностические дифракционные максимумы минералов

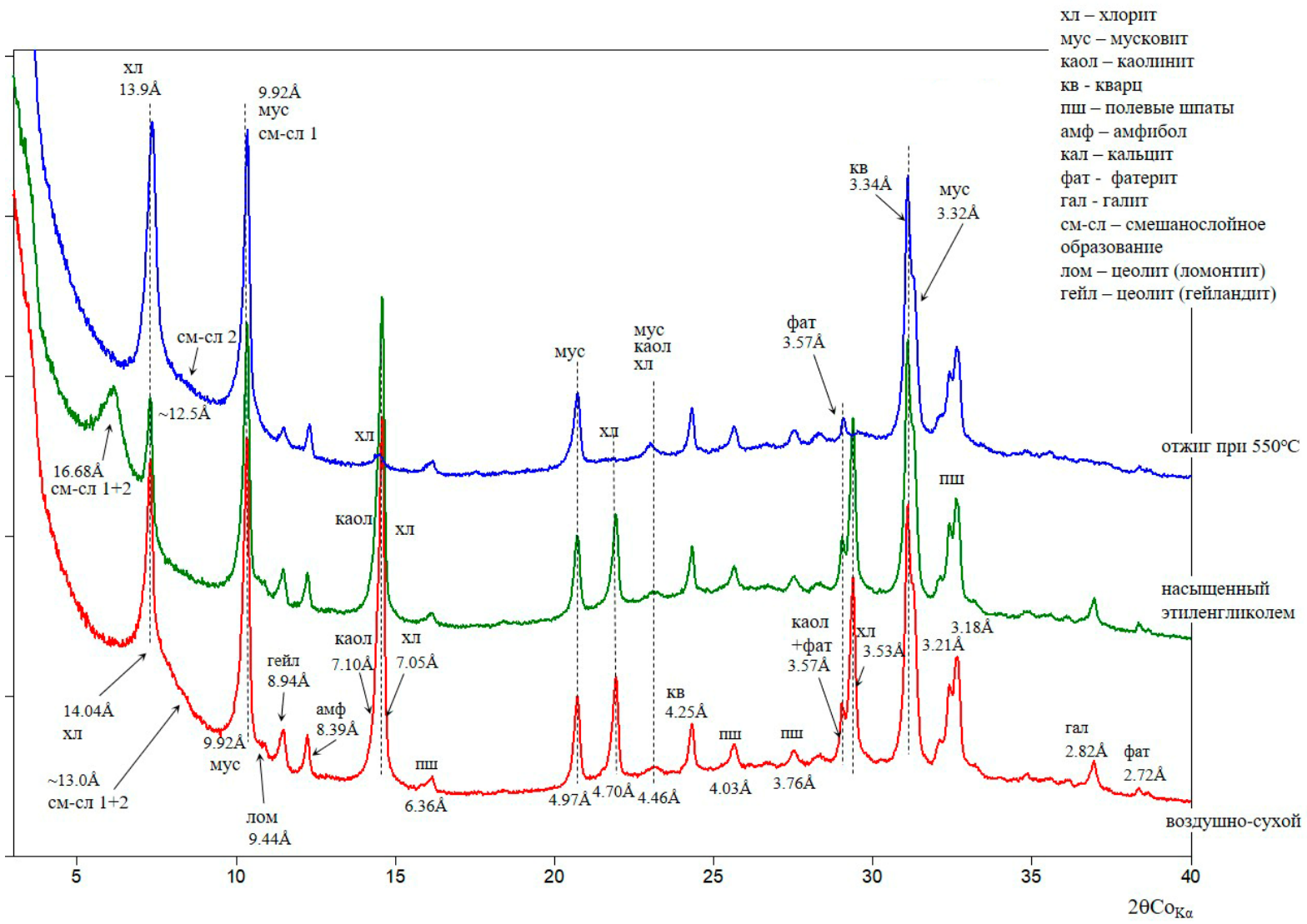

Рисунок 26 – Результаты фазового анализа образца ПМК-2401Т_32-35. Отмечены основные диагностические дифракционные максимумы минералов

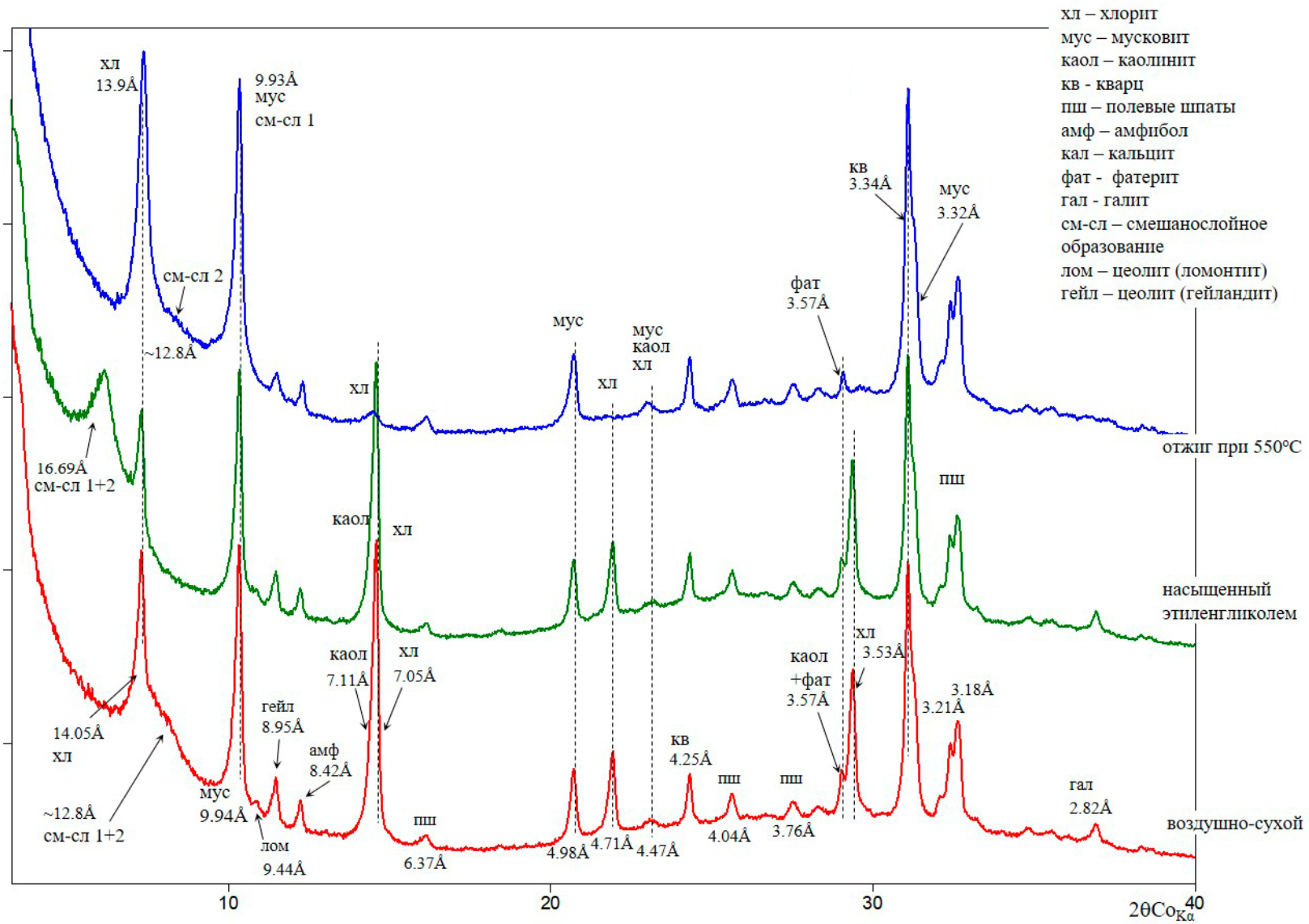

Рисунок 27 – Результаты фазового анализа образца ПМК-2401Т_40-42. Отмечены основные диагностические дифракционные максимумы минералов

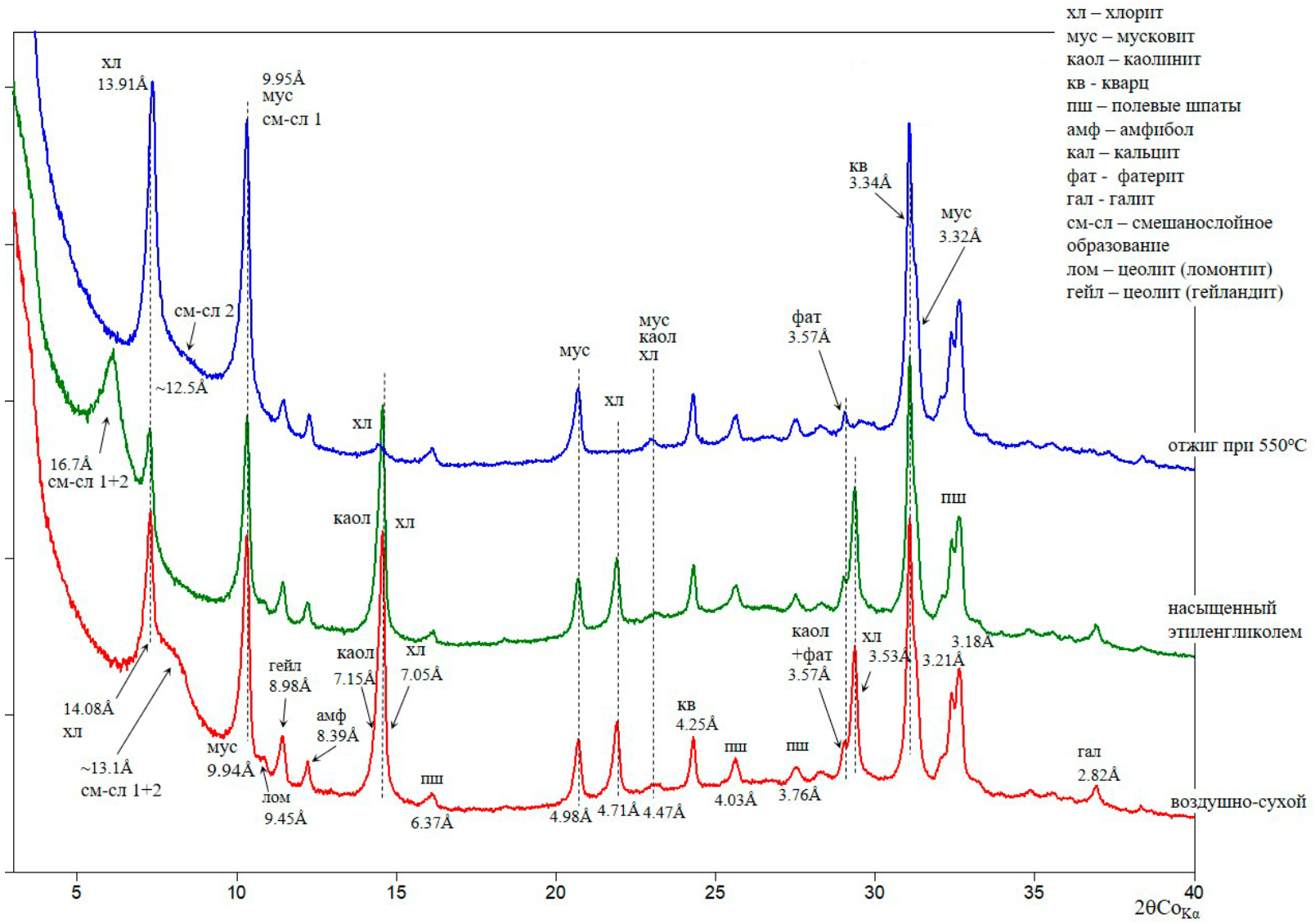

Рисунок 28 – Результаты фазового анализа образца ПМК-2401Т_43-45. Отмечены основные диагностические дифракционные максимумы минералов

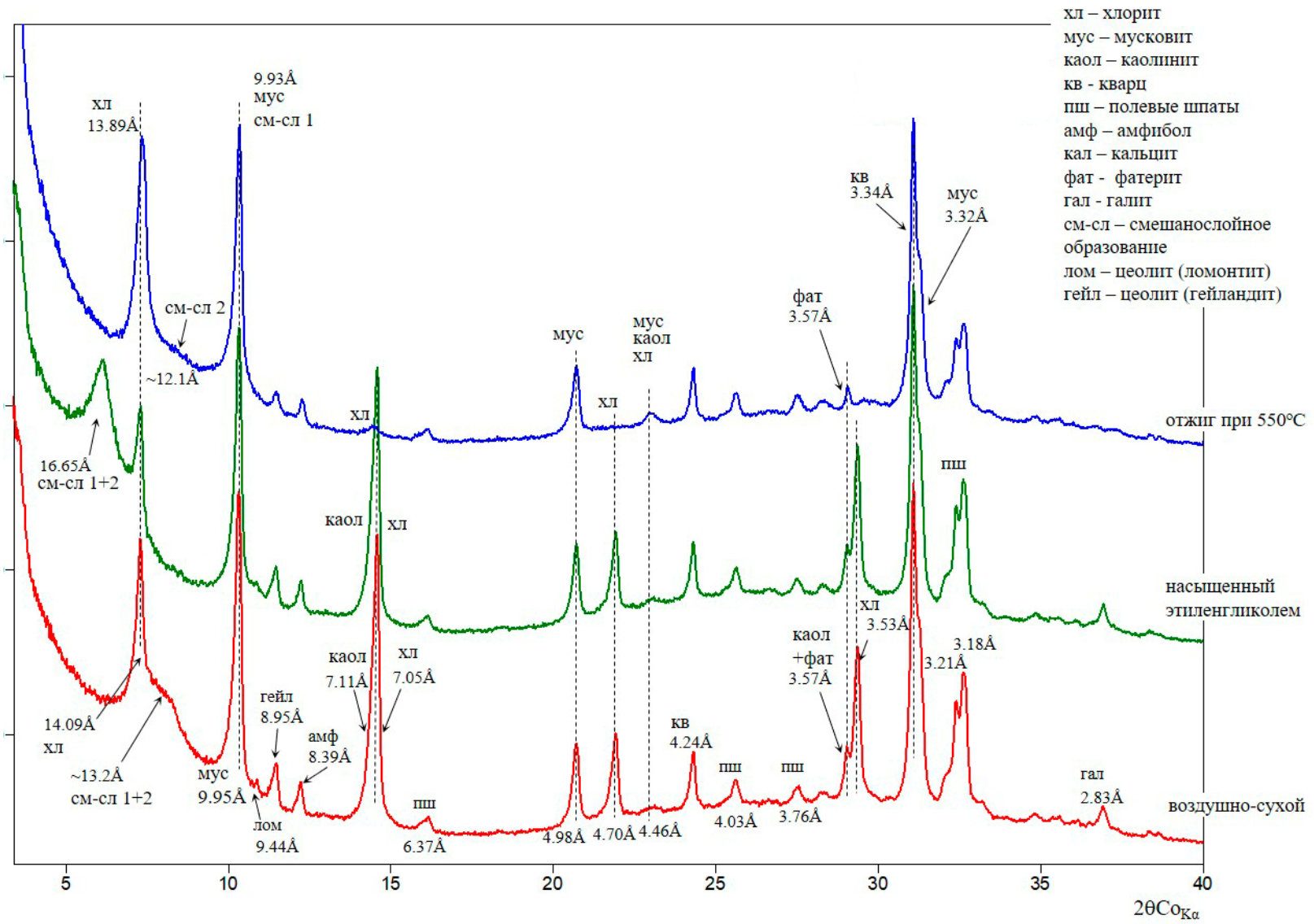

Рисунок 29 – Результаты фазового анализа образца ПМК-2401Т_56-59. Отмечены основные диагностические дифракционные максимумы минералов

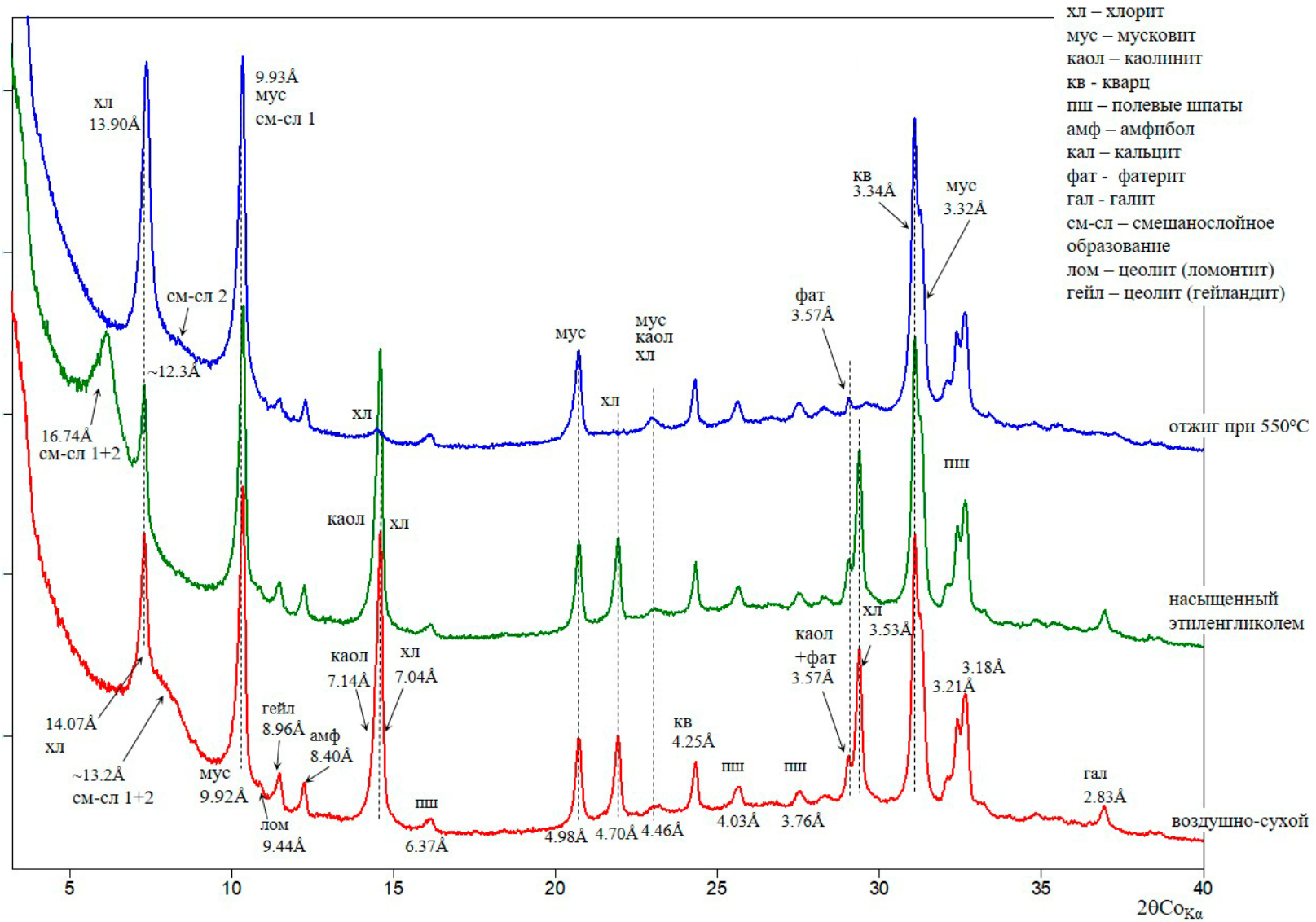

Рисунок 30 – Результаты фазового анализа образца ПМК-2401Т_70-73. Отмечены основные диагностические дифракционные максимумы минералов

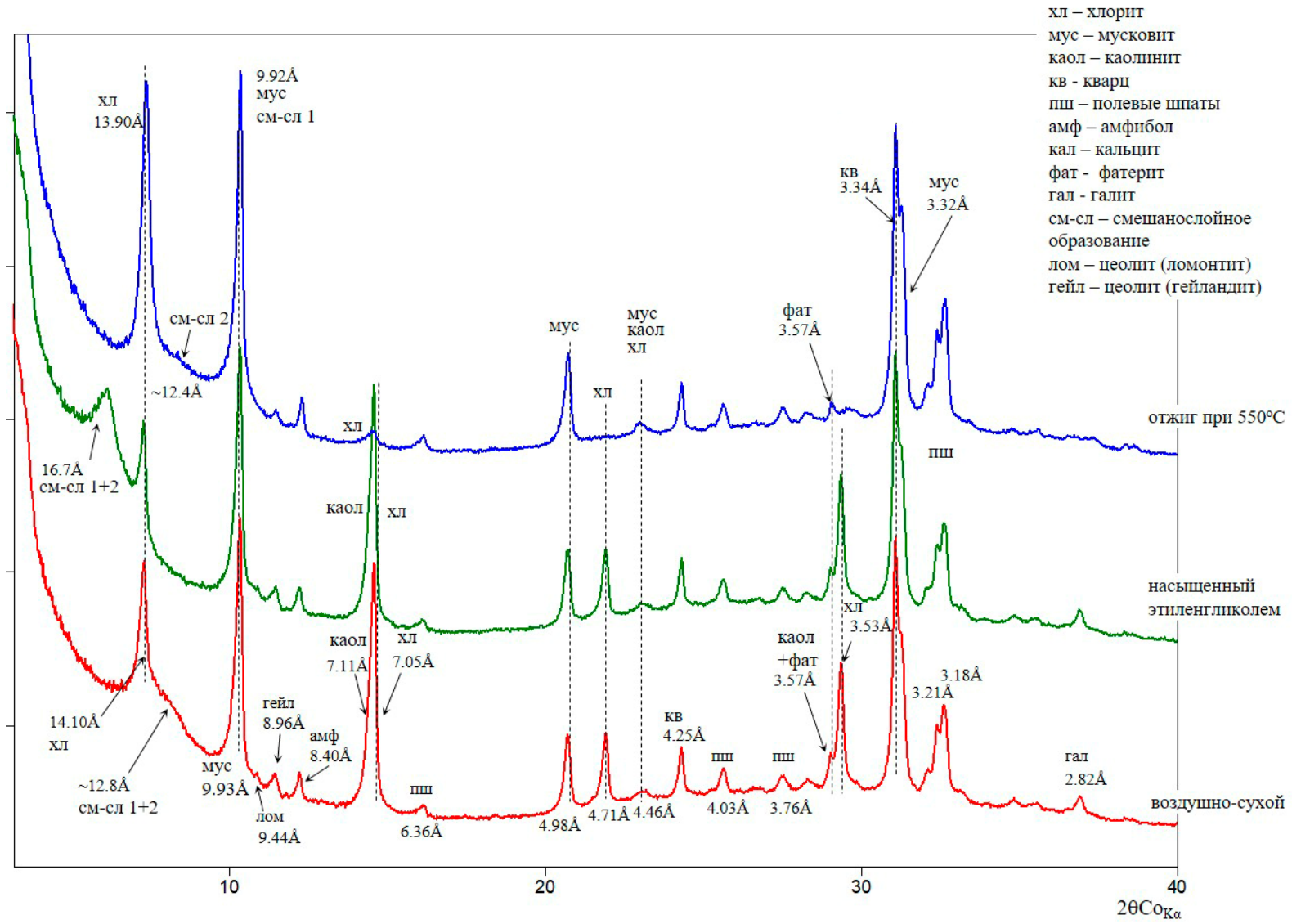

Рисунок 31 – Результаты фазового анализа образца ПМК-2401Т_83-86. Отмечены основные диагностические дифракционные максимумы минералов

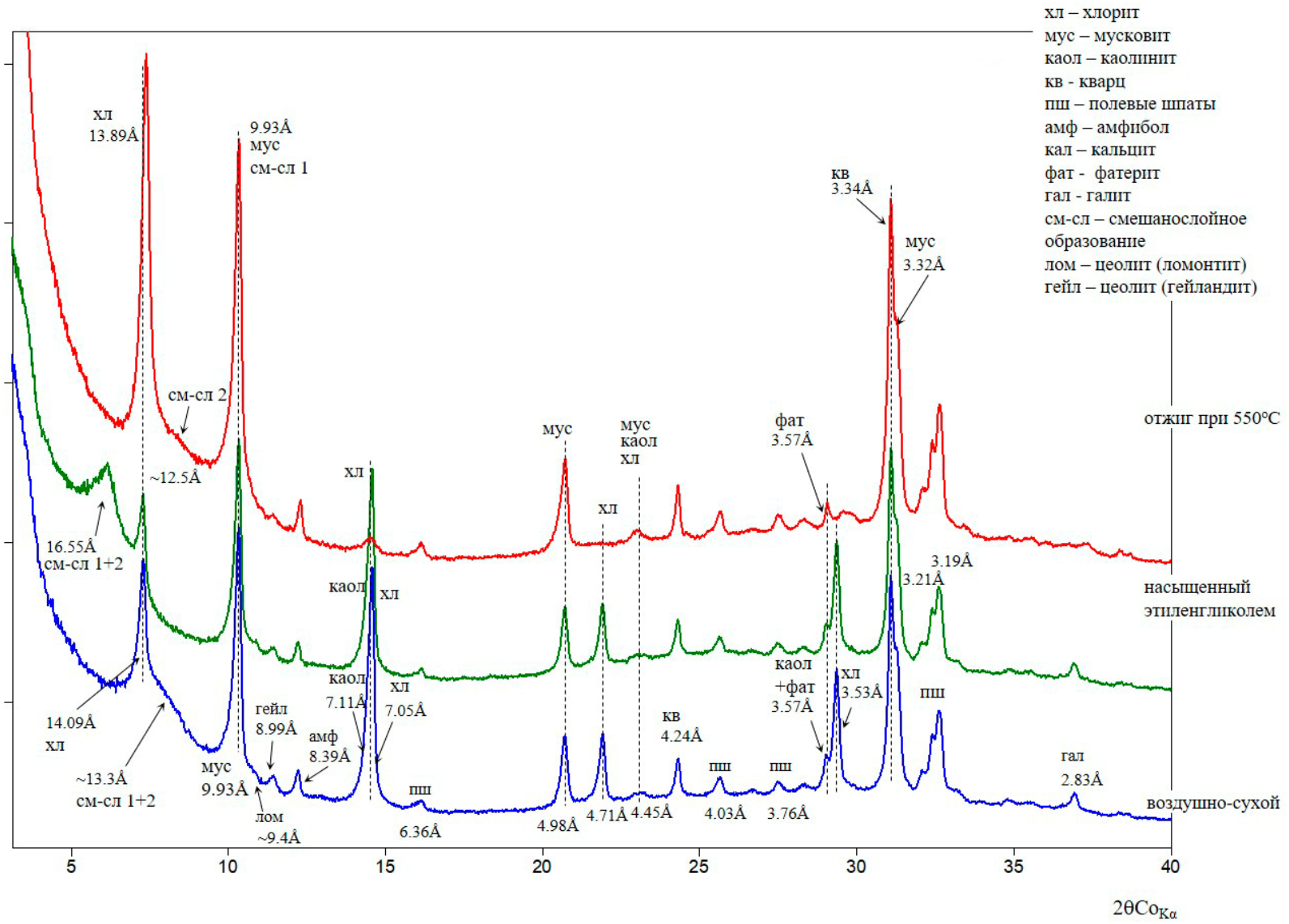

Рисунок 32 – Результаты фазового анализа образца ПМК-2401Т_89-92. Отмечены основные диагностические дифракционные максимумы минералов

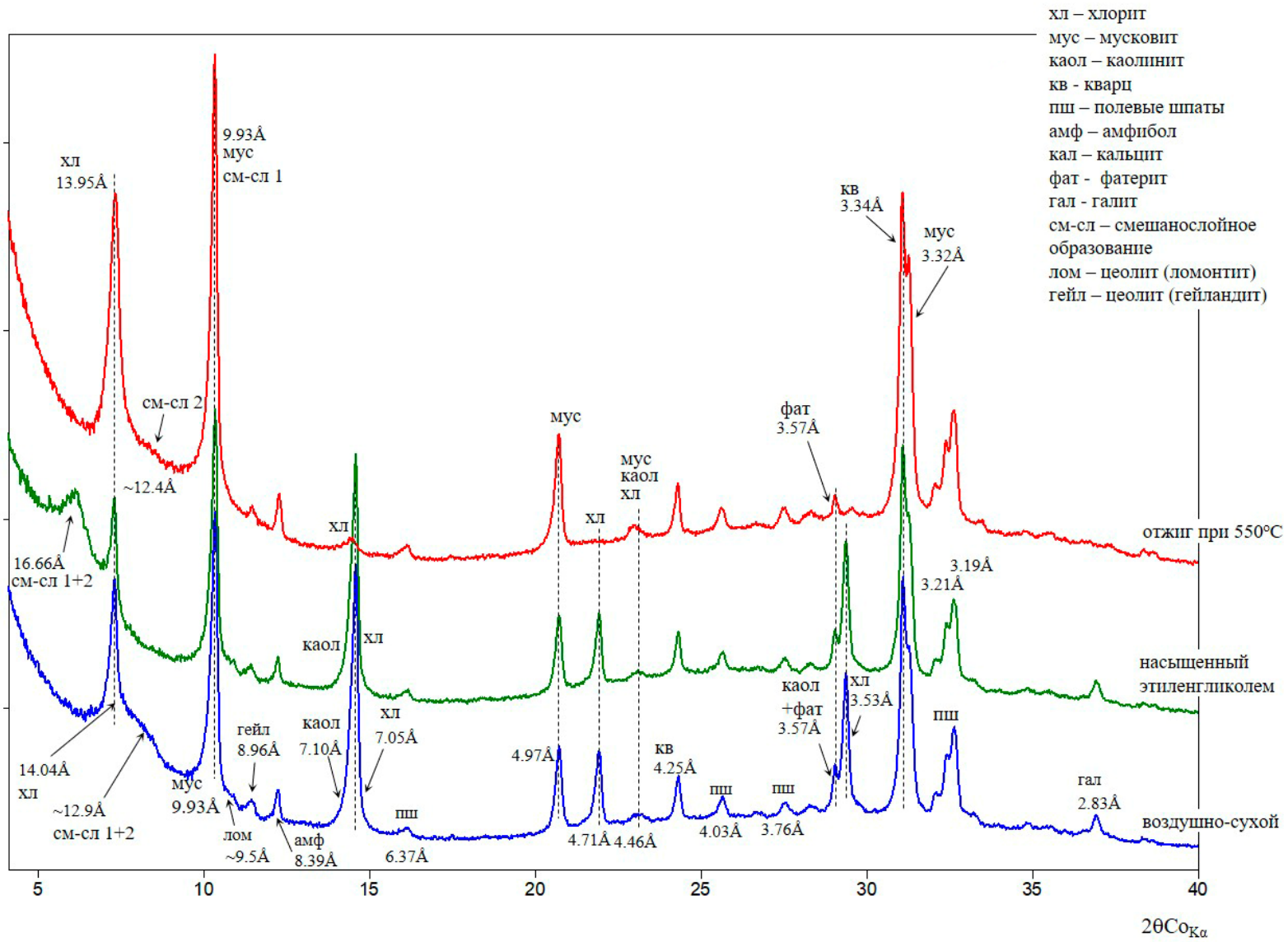

Рисунок 33 – Результаты фазового анализа образца ПМК-2401Т_98-102. Отмечены основные диагностические дифракционные максимумы минералов

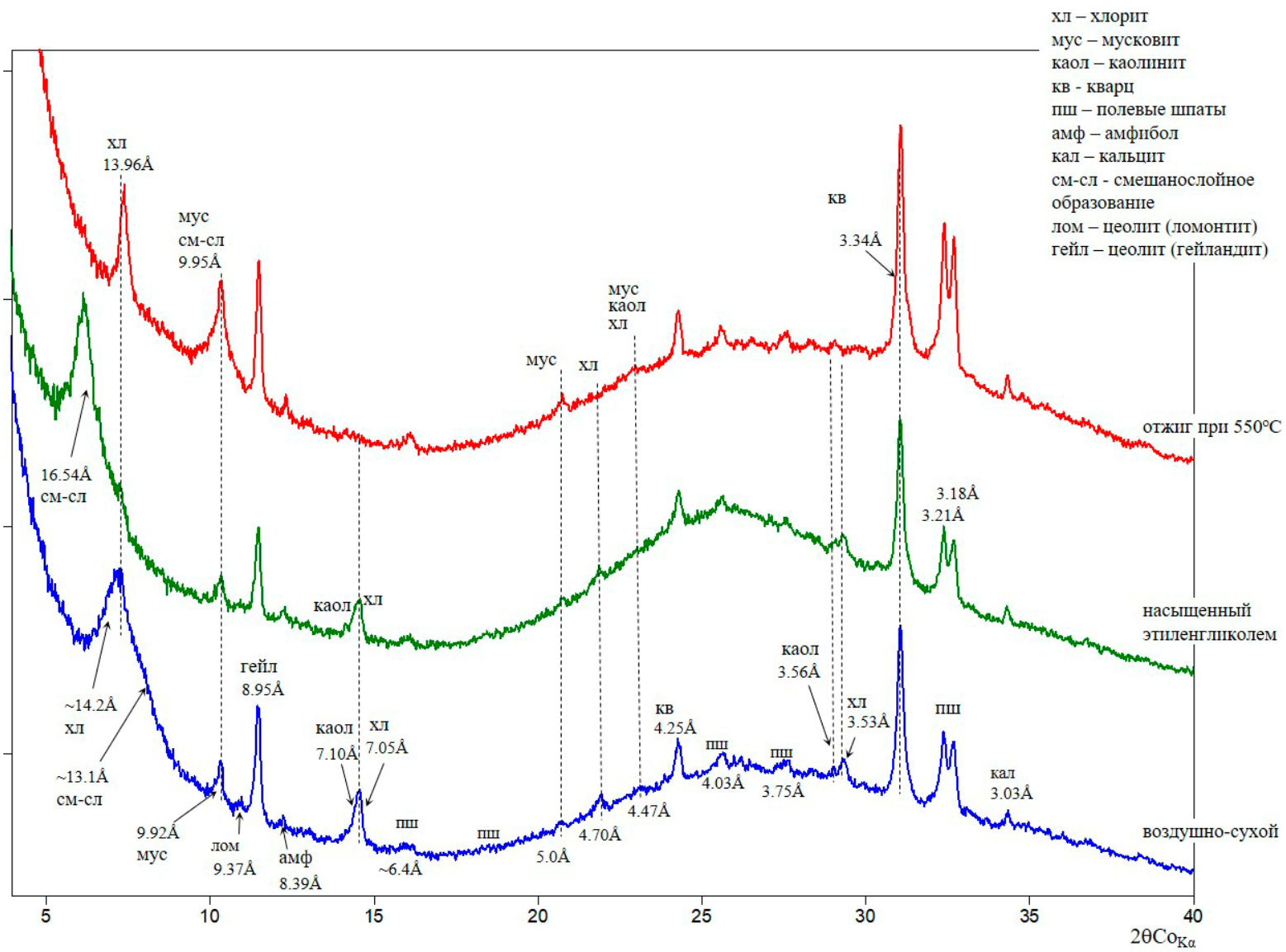

Рисунок 34 – Результаты фазового анализа образца ПМК-2420Т_7-10. Отмечены основные диагностические дифракционные максимумы минералов

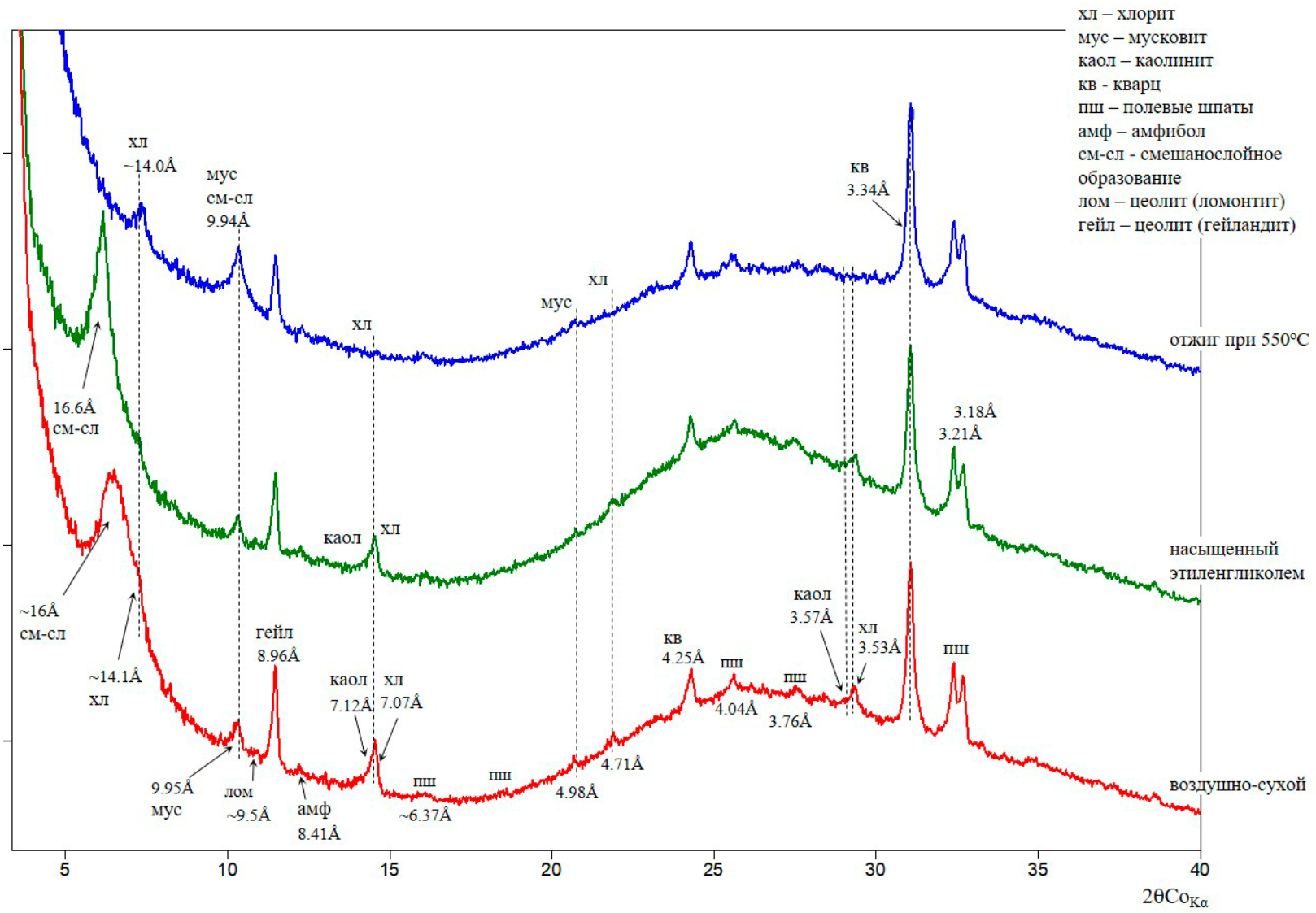

Рисунок 35 – Результаты фазового анализа образца ПМК-2420Т_28-31. Отмечены основные диагностические дифракционные максимумы минералов

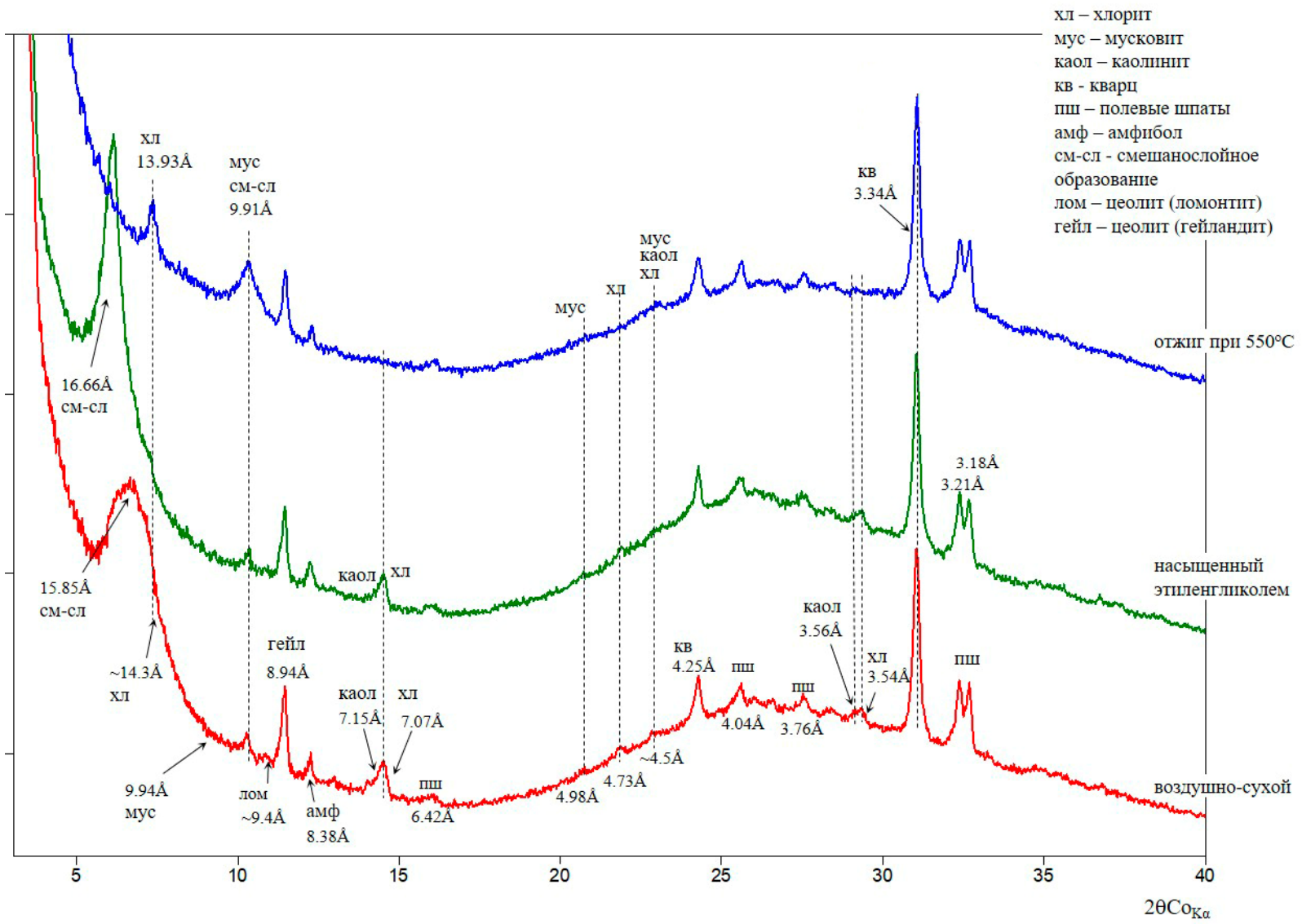

Рисунок 36 – Результаты фазового анализа образца ПМК-2420Т_78-81. Отмечены основные диагностические дифракционные максимумы минералов

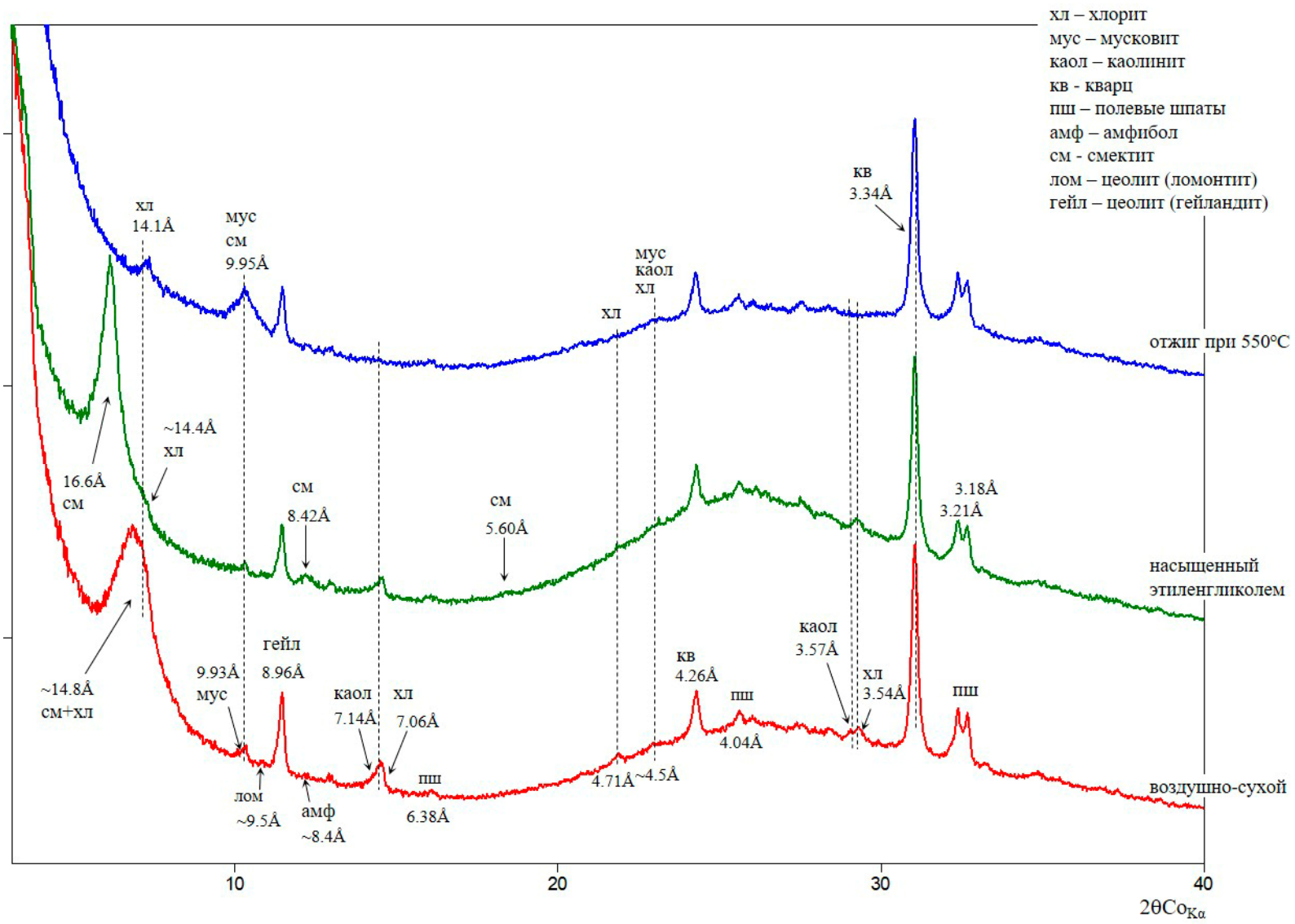

Рисунок 37 – Результаты фазового анализа образца ПМК-2420Т_160-163. Отмечены основные диагностические дифракционные максимумы минералов

ЗАКЛЮЧЕНИЕ

В рамках аналитических исследований глинистых минералов из образцов по Берингову морю исследовано 34 образца глинистых минералов, предоставленных заказчиком. Для каждого образца выполнено:

- подготовка ориентированных образцов глинистой фракции;
- проведение рентгенофазовых измерений - съемка в воздушно-сухом, насыщенном этиленгликолем и прокаленном при 550ºС состояниях;
- определение минеральных фаз;
- вычисление площадей и интенсивностей (высот) пиков, соответствующих минеральным фазам, по результатам съемок в воздушно-сухом и насыщенном этиленгликолем состояниях.

СПИСОК ИСПОЛЬЗОВАННЫХ ИСТОЧНИКОВ

1. Руководство по рентгеновскому исследованию минералов. Под ред. В.А. Франк-Каменецкого. - Л.: Недра, 1975. - 397 с.

2. Рентгенография основных типов породообразующих минералов. Под ред. В.А. Франк-Каменецкого. Л.: Недра, 1984. - 359 с.

3. Moore D.N., Reynold R.C. X-ray Diffraction and the Identification and Analysis of Clay Minerals. - Oxford University Press, 1997 - 378 p.

ПРИЛОЖЕНИЕ А

Дифракционные данные воздушно-сухих и насыщенных этиленгликолем ориентированных образцов

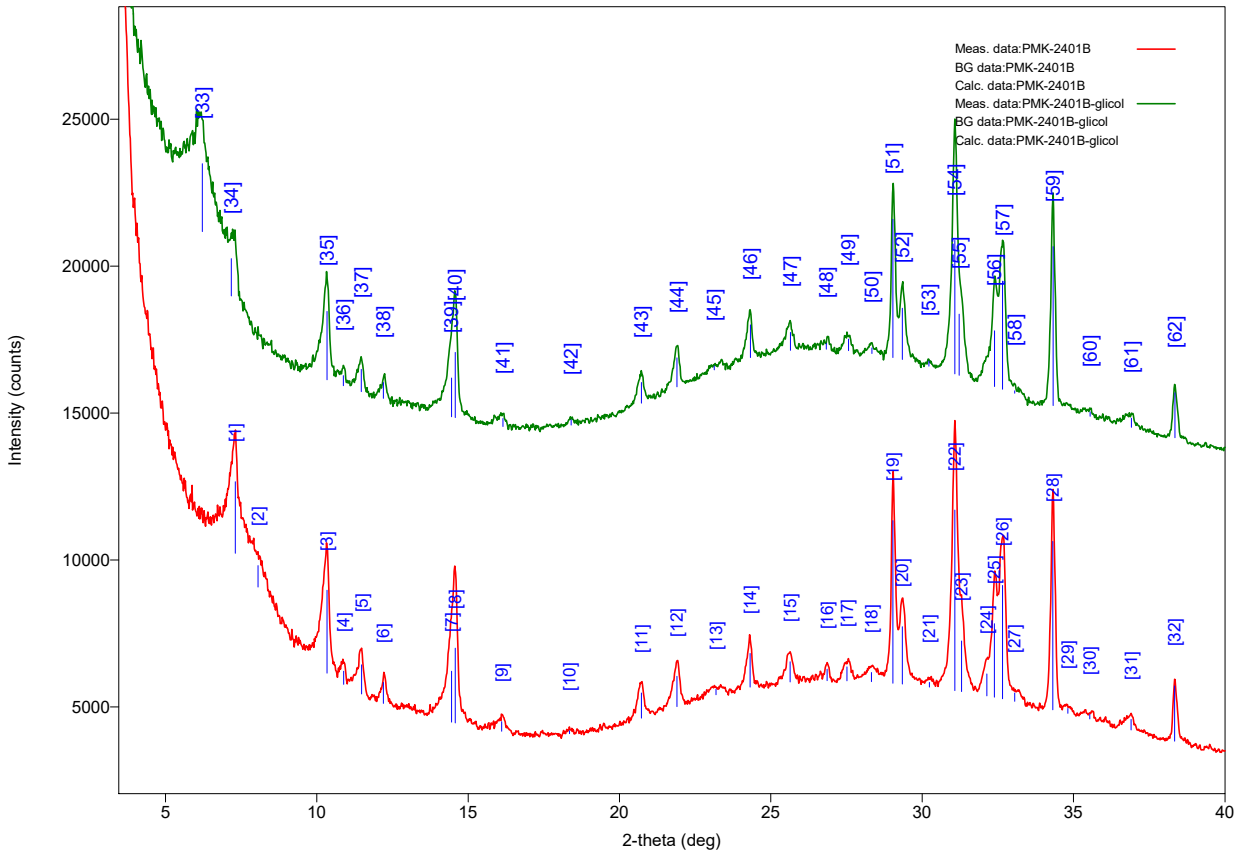

Рисунок А.1 – Дифрактограммы воздушно-сухого (нижняя) и насыщенного этиленгликолем (верхняя) образца ПМК-2401Б

Таблица А.1 – Дифракционные данные воздушно-сухого и насыщенного этиленгликолем образца ПМК-2401Б

№	2Θ, град	d,Å	Высота, импульсы	Интегральная интенсивность, импульсы*град	Относительная интегральная интенсивность, отн. ед	Относительная линейная интенсивность, отн. ед
1	7.310(9)	14.032(17)	2441(49)	1420(89)	98.34	39.74
2	8.064(17)	12.72(3)	729(27)	740(103)	51.25	11.87
3	10.337(5)	9.930(5)	2821(53)	1085(15)	75.16	45.92
4	10.891(7)	9.426(6)	452(21)	105(10)	7.27	7.36
5	11.477(5)	8.946(4)	998(32)	313(10)	21.68	16.25
6	12.203(4)	8.416(3)	712(27)	154(8)	10.66	11.59
7	14.454(8)	7.110(4)	1734(42)	867(306)	60.04	28.23
8	14.571(4)	7.054(2)	2539(50)	579(14)	40.10	41.34
9	16.11(3)	6.385(11)	330(18)	136(11)	9.42	5.38
10	18.35(7)	5.61(2)	100(10)	25(7)	1.75	1.63
11	20.724(11)	4.973(3)	859(29)	254(8)	17.60	13.98
12	21.901(7)	4.7089(15)	1034(32)	335(8)	23.20	16.84
13	23.19(2)	4.450(4)	187(14)	139(8)	9.63	3.05
14	24.316(8)	4.2471(14)	1142(34)	267(8)	18.50	18.58
15	25.636(17)	4.032(3)	684(26)	220(11)	15.24	11.13
16	26.86(3)	3.851(4)	393(20)	103(10)	7.13	6.39
17	27.517(6)	3.7611(8)	474(22)	161(6)	11.15	7.72
18	28.325(10)	3.6558(13)	309(18)	164(8)	11.36	5.03
19	29.0319(15)	3.56866(19)	5541(74)	861(12)	59.63	90.21
20	29.338(3)	3.5322(4)	1956(44)	581(13)	40.24	31.84
21	30.233(11)	3.4299(12)	152(12)	20(5)	1.39	2.47
22	31.079(2)	3.3388(3)	6143(78)	1444(121)	100.00	100.00

23	31.300(8)	3.3158(8)	1726(42)	580(122)	40.17	28.10
24	32.132(8)	3.2322(7)	747(27)	184(15)	12.74	12.16
25	32.384(2)	3.2077(2)	2500(50)	445(24)	30.82	40.70
26	32.654(4)	3.1819(4)	3859(62)	1028(28)	71.19	62.82
27	33.05(3)	3.145(2)	278(17)	171(27)	11.86	4.52
28	34.318(2)	3.03187(19)	5724(76)	917(10)	63.52	93.18
29	34.811(18)	2.9903(15)	164(13)	51(8)	3.53	2.67
30	35.53(2)	2.9314(16)	155(12)	72(7)	4.99	2.52
31	36.90(3)	2.826(2)	350(19)	132(9)	9.14	5.70
32	38.340(3)	2.7240(2)	1880(43)	254(6)	17.59	30.61
33	6.22(3)	16.49(9)	2307(48)	2344(149)	100.00	42.62
34	7.178(16)	14.29(3)	1271(36)	761(119)	32.47	23.48
35	10.341(6)	9.926(5)	2324(48)	851(16)	36.31	42.94
36	10.882(10)	9.433(9)	347(19)	107(13)	4.56	6.40
37	11.475(6)	8.948(5)	757(28)	227(10)	9.70	13.98
38	12.202(6)	8.416(4)	534(23)	104(9)	4.44	9.87
39	14.45(4)	7.111(18)	1321(36)	655(407)	27.94	24.40
40	14.578(4)	7.0503(19)	2219(47)	512(402)	21.84	41.00
41	16.15(3)	6.366(11)	268(16)	99(10)	4.23	4.95
42	18.406(11)	5.593(3)	179(13)	51(4)	2.19	3.30
43	20.723(12)	4.973(3)	710(27)	205(8)	8.75	13.11
44	21.899(8)	4.7093(16)	981(31)	258(7)	11.00	18.11
45	23.13(3)	4.461(5)	135(12)	51(11)	2.18	2.50
46	24.326(8)	4.2454(14)	1110(33)	242(10)	10.32	20.51
47	25.646(17)	4.030(3)	613(25)	222(10)	9.47	11.32
48	26.84(3)	3.854(4)	201(14)	83(8)	3.54	3.72
49	27.567(13)	3.7543(17)	393(20)	101(7)	4.31	7.26
50	28.340(18)	3.654(2)	190(14)	42(11)	1.79	3.51
51	29.031(3)	3.5688(3)	4706(69)	728(14)	31.06	86.94
52	29.338(5)	3.5323(5)	1745(42)	443(13)	18.90	32.24
53	30.223(13)	3.4311(14)	180(13)	12(4)	0.52	3.33
54	31.080(2)	3.3388(2)	4539(67)	704(9)	30.03	83.86
55	31.221(7)	3.3240(8)	2073(46)	965(19)	41.17	38.30
56	32.391(4)	3.2070(4)	1900(44)	411(45)	17.53	35.10
57	32.656(6)	3.1817(6)	3679(61)	1225(56)	52.26	67.96
58	33.06(7)	3.144(7)	85(9)	43(16)	1.84	1.57
59	34.322(4)	3.0316(3)	5413(74)	841(15)	35.88	100.00
60	35.54(3)	2.931(2)	148(12)	104(17)	4.44	2.74
61	36.91(4)	2.825(3)	312(18)	181(11)	7.74	5.76
62	38.344(2)	2.72370(14)	1538(39)	226(4)	9.64	28.41

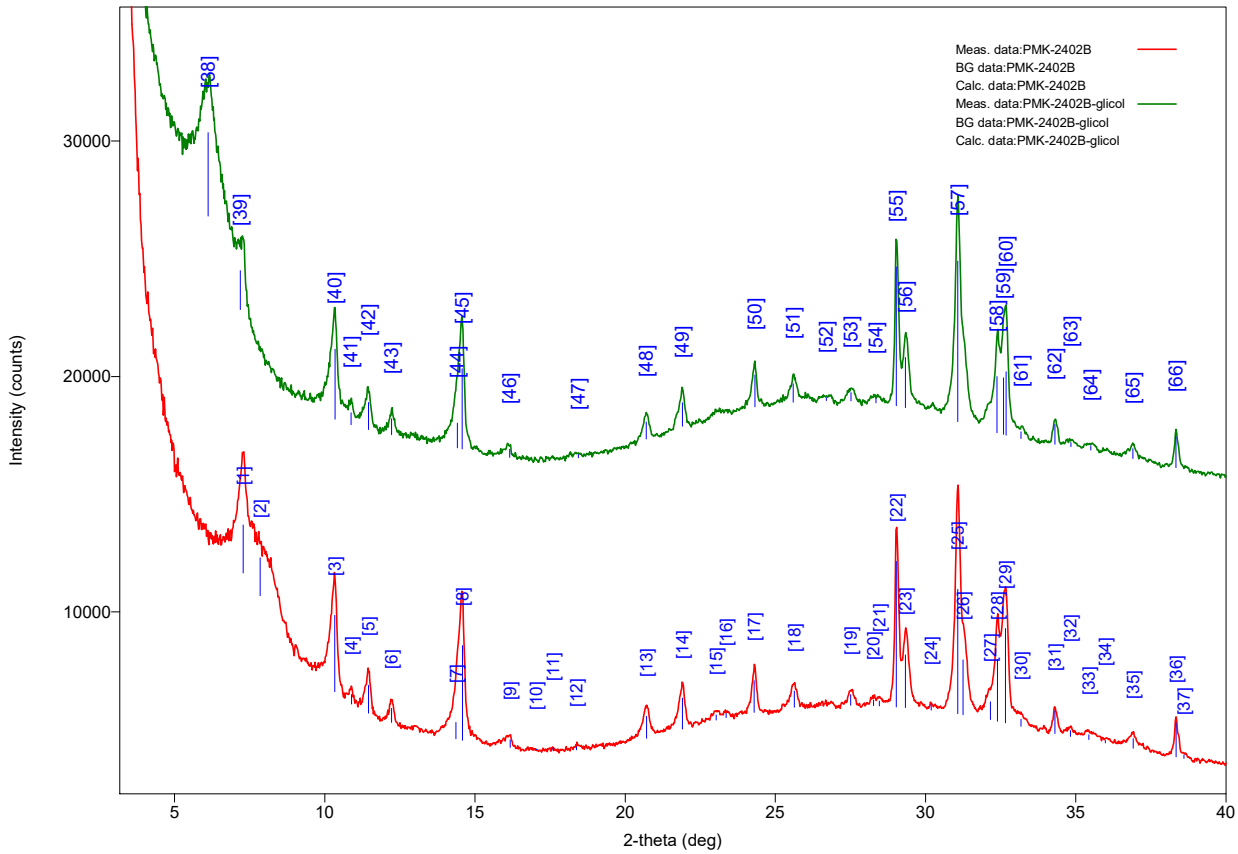

Рисунок А.2 – Дифрактограммы воздушно-сухого (нижняя) и насыщенного этиленгликолем (верхняя) образца ПМК-2402Б

Таблица А.2 – Дифракционные данные воздушно-сухого и насыщенного этиленгликолем образца ПМК-2402Б

№	2Θ, град	d,Å	Высота (импульсы)	Интегральная интенсивность, импульсы*град	Относительная интегральная интенсивность, отн. ед	Относительная линейная интенсивность, отн. ед
1	7.282(8)	14.086(16)	2039(45)	607(49)	25.95	33.00
2	7.84(3)	13.08(5)	1619(40)	2339(60)	100.00	26.21
3	10.331(6)	9.935(5)	3241(57)	1203(19)	51.43	52.46
4	10.895(18)	9.422(16)	392(20)	68(10)	2.90	6.34
5	11.455(8)	8.963(6)	1183(34)	308(11)	13.17	19.15
6	12.226(12)	8.400(8)	603(25)	114(9)	4.87	9.76
7	14.37(2)	7.152(11)	689(26)	394(45)	16.84	11.15
8	14.581(3)	7.0488(15)	4008(63)	1175(47)	50.23	64.88
9	16.167(6)	6.361(2)	320(18)	123(10)	5.26	5.18
10	17(13)	6(3)	0.1(3)	0(4)	0.00	0.00
11	17.597(11)	5.848(4)	89(9)	7(4)	0.30	1.45
12	18.38(2)	5.600(6)	121(11)	91(9)	3.89	1.95
13	20.709(9)	4.977(2)	937(31)	353(7)	15.09	15.17
14	21.904(7)	4.7081(14)	1305(36)	424(7)	18.13	21.13
15	23.03(3)	4.481(6)	223(15)	87(19)	3.72	3.61
16	23.36(3)	4.418(5)	181(13)	66(19)	2.82	2.93
17	24.294(8)	4.2509(13)	1346(37)	280(9)	11.97	21.78
18	25.630(16)	4.033(2)	686(26)	197(11)	8.42	11.11
19	27.50(2)	3.763(3)	451(21)	108(10)	4.62	7.31
20	28.270(19)	3.663(2)	249(16)	58(15)	2.48	4.03
21	28.465(16)	3.638(2)	209(14)	27(12)	1.17	3.38

22	29.0248(14)	3.56951(17)	6178(79)	927(11)	39.63	100.00
23	29.331(3)	3.5330(3)	2236(47)	641(11)	27.40	36.19
24	30.185(7)	3.4354(8)	232(15)	16(3)	0.68	3.75
25	31.074(3)	3.3393(3)	5290(73)	895(11)	38.26	85.62
26	31.249(5)	3.3211(5)	2331(48)	1236(11)	52.84	37.73
27	32.161(14)	3.2293(14)	751(27)	274(23)	11.71	12.16
28	32.3903(19)	3.20707(18)	2615(51)	455(28)	19.45	42.32
29	32.660(3)	3.1813(2)	4007(63)	1115(22)	47.67	64.86
30	33.177(18)	3.1331(17)	295(17)	192(22)	8.21	4.78
31	34.306(3)	3.0329(3)	945(31)	153(5)	6.54	15.29
32	34.826(12)	2.9890(10)	248(16)	87(12)	3.72	4.01
33	35.443(18)	2.9386(15)	206(14)	94(44)	4.02	3.34
34	35.98(9)	2.896(7)	97(10)	121(80)	5.17	1.57
35	36.911(10)	2.8256(7)	404(20)	190(20)	8.13	6.55
36	38.340(4)	2.7240(3)	1440(38)	198(12)	8.46	23.31
37	38.60(2)	2.7061(14)	145(12)	39(12)	1.67	2.34
38	6.11(2)	16.78(5)	3540(59)	3979(86)	100.00	51.95
39	7.181(8)	14.283(17)	1650(41)	597(42)	15.00	24.21
40	10.336(5)	9.930(5)	2972(55)	1303(23)	32.75	43.62
41	10.871(9)	9.443(8)	508(23)	206(23)	5.18	7.45
42	11.459(5)	8.960(4)	1146(34)	406(15)	10.20	16.82
43	12.224(16)	8.401(11)	661(26)	173(10)	4.35	9.69
44	14.41(4)	7.13(2)	1045(32)	481(309)	12.09	15.33
45	14.570(4)	7.0542(18)	3405(58)	921(305)	23.15	49.97
46	16.150(7)	6.368(3)	337(18)	112(10)	2.81	4.95
47	18.44(2)	5.583(7)	135(12)	125(13)	3.14	1.99
48	20.700(4)	4.9787(10)	716(27)	186(6)	4.67	10.51
49	21.903(9)	4.7084(19)	989(31)	251(10)	6.31	14.52
50	24.316(9)	4.2472(16)	1346(37)	310(10)	7.79	19.75
51	25.59(2)	4.038(3)	783(28)	316(11)	7.94	11.49
52	26.69(4)	3.875(5)	128(11)	44(7)	1.11	1.89
53	27.51(2)	3.761(3)	355(19)	93(8)	2.34	5.20
54	28.35(3)	3.653(4)	180(13)	58(7)	1.46	2.64
55	29.022(2)	3.5699(3)	5897(77)	877(16)	22.04	86.53
56	29.333(4)	3.5328(5)	2125(46)	558(17)	14.02	31.18
57	31.073(4)	3.3395(4)	6814(83)	2327(26)	58.49	100.00
58	32.375(9)	3.2086(9)	2396(49)	725(117)	18.22	35.17
59	32.595(7)	3.1875(7)	2407(49)	569(310)	14.30	35.32
60	32.680(7)	3.1794(6)	2692(52)	540(253)	13.57	39.50
61	33.18(2)	3.133(2)	285(17)	95(35)	2.39	4.19
62	34.308(9)	3.0328(7)	835(29)	132(6)	3.32	12.25
63	34.84(2)	2.9877(19)	185(14)	67(6)	1.68	2.72
64	35.50(2)	2.9338(18)	185(14)	71(6)	1.79	2.71
65	36.902(16)	2.8262(12)	418(20)	183(9)	4.60	6.13
66	38.338(5)	2.7241(4)	1309(36)	200(6)	5.03	19.21

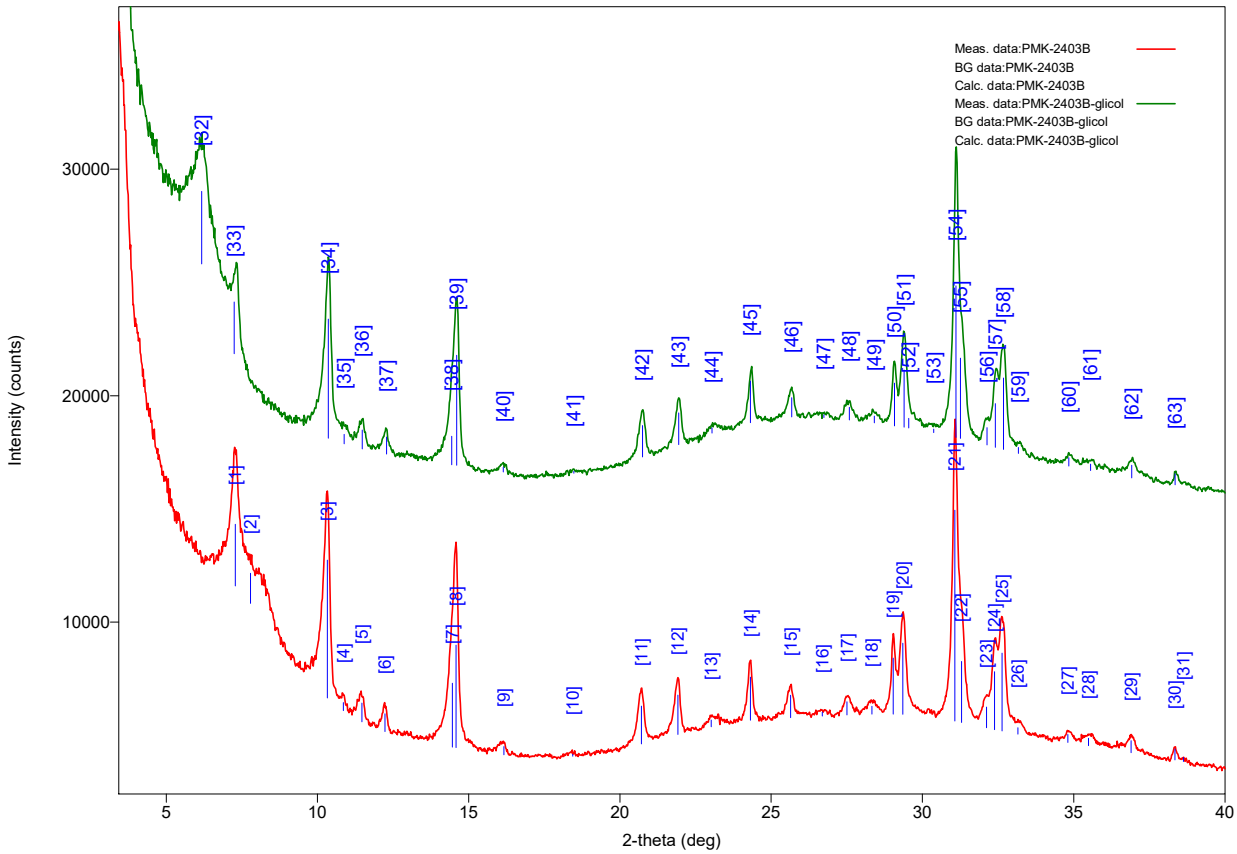

Рисунок А.3 – Дифрактограммы воздушно-сухого (нижняя) и насыщенного этиленгликолем (верхняя) образца ПМК-2403Б

Таблица А.3 – Дифракционные данные воздушно-сухого и насыщенного этиленгликолем образца ПМК-2403Б

№	2Θ, град	d,Å	Высота, импульсы	Интегральная интенсивность, импульсы*град	Относительная интегральная интенсивность, отн. ед	Относительная линейная интенсивность, отн. ед
1	7.28(3)	14.08(6)	2729(52)	835(242)	36.49	29.30
2	7.78(15)	13.2(3)	1322(36)	2010(204)	87.85	14.20
3	10.328(3)	9.938(3)	6082(78)	2209(22)	96.55	65.30
4	10.858(10)	9.454(9)	361(19)	79(13)	3.45	3.88
5	11.465(6)	8.955(4)	829(29)	275(13)	12.02	8.90
6	12.227(13)	8.399(9)	787(28)	188(11)	8.22	8.45
7	14.46(3)	7.107(16)	2819(53)	1316(596)	57.52	30.27
8	14.579(3)	7.0496(14)	4526(67)	1006(586)	43.97	48.59
9	16.16(3)	6.365(10)	369(19)	155(10)	6.79	3.97
10	18.44(3)	5.584(9)	90(9)	107(14)	4.68	0.96
11	20.708(6)	4.9768(14)	1669(41)	512(8)	22.39	17.92
12	21.915(5)	4.7059(11)	1737(42)	515(7)	22.51	18.65
13	23.01(3)	4.484(7)	293(17)	145(14)	6.34	3.15
14	24.311(7)	4.2479(11)	1913(44)	422(9)	18.44	20.54
15	25.647(4)	4.0302(6)	983(31)	322(10)	14.07	10.55
16	26.69(4)	3.875(5)	166(13)	99(11)	4.33	1.79
17	27.503(17)	3.763(2)	582(24)	211(9)	9.22	6.25
18	28.330(18)	3.655(2)	335(18)	143(10)	6.25	3.59
19	29.031(3)	3.5688(4)	2476(50)	429(14)	18.75	26.58
20	29.352(5)	3.5306(6)	3134(56)	897(18)	39.20	33.65
21	31.073(3)	3.3395(3)	9313(97)	2288(138)	100.00	100.00
22	31.293(5)	3.3166(6)	2694(52)	801(134)	35.01	28.92

23	32.119(13)	3.2334(13)	916(30)	329(42)	14.38	9.83
24	32.384(4)	3.2077(4)	2549(50)	536(60)	23.43	27.37
25	32.631(7)	3.1841(7)	3433(59)	898(59)	39.25	36.86
26	33.16(3)	3.135(3)	280(17)	137(33)	5.99	3.01
27	34.808(12)	2.9905(10)	361(19)	116(17)	5.07	3.88
28	35.49(3)	2.935(2)	329(18)	254(24)	11.11	3.53
29	36.899(10)	2.8264(7)	534(23)	269(9)	11.76	5.73
30	38.342(12)	2.7239(8)	496(22)	67(6)	2.93	5.33
31	38.634(10)	2.7041(7)	178(13)	13(3)	0.58	1.92
32	6.17(2)	16.62(6)	3202(57)	3476(87)	100.00	47.89
33	7.242(9)	14.162(18)	2292(48)	1018(55)	29.29	34.28
34	10.363(3)	9.904(3)	5254(72)	1971(34)	56.70	78.58
35	10.881(18)	9.434(16)	411(20)	255(40)	7.34	6.14
36	11.479(6)	8.944(4)	822(29)	302(16)	8.69	12.30
37	12.280(6)	8.363(4)	740(27)	221(9)	6.36	11.06
38	14.442(7)	7.116(4)	1255(35)	435(339)	12.51	18.77
39	14.601(3)	7.0391(14)	4862(70)	1391(14)	40.02	72.71
40	16.14(4)	6.370(17)	213(15)	57(13)	1.64	3.18
41	18.47(4)	5.573(11)	93(10)	36(11)	1.04	1.39
42	20.747(6)	4.9676(14)	1384(37)	384(9)	11.05	20.70
43	21.943(6)	4.6999(13)	1396(37)	368(9)	10.58	20.88
44	23.04(4)	4.478(8)	232(15)	87(12)	2.50	3.46
45	24.310(4)	4.2482(6)	1834(43)	382(9)	10.99	27.44
46	25.675(3)	4.0258(5)	848(29)	227(6)	6.53	12.68
47	26.74(3)	3.868(4)	128(11)	76(9)	2.19	1.92
48	27.585(5)	3.7519(7)	561(24)	187(6)	5.38	8.39
49	28.415(11)	3.6445(14)	301(17)	137(9)	3.94	4.51
50	29.0747(18)	3.5635(2)	1879(43)	283(10)	8.14	28.10
51	29.399(2)	3.5250(3)	2526(50)	561(20)	16.14	37.78
52	29.54(3)	3.508(3)	430(21)	374(33)	10.76	6.44
53	30.37(4)	3.415(4)	162(13)	130(26)	3.74	2.42
54	31.1079(17)	3.33580(17)	6686(82)	1026(8)	29.52	100.00
55	31.262(4)	3.3198(4)	3534(59)	1774(21)	51.04	52.86
56	32.133(6)	3.2321(5)	764(28)	177(10)	5.09	11.43
57	32.412(3)	3.2050(3)	1925(44)	401(19)	11.54	28.79
58	32.677(2)	3.1797(2)	3149(56)	881(24)	25.35	47.10
59	33.174(18)	3.1333(16)	259(16)	145(17)	4.18	3.88
60	34.846(15)	2.9873(13)	370(19)	143(24)	4.11	5.54
61	35.56(3)	2.929(3)	281(17)	240(29)	6.90	4.20
62	36.918(16)	2.8251(12)	558(24)	384(11)	11.05	8.34
63	38.353(12)	2.7231(8)	479(22)	84(7)	2.42	7.16

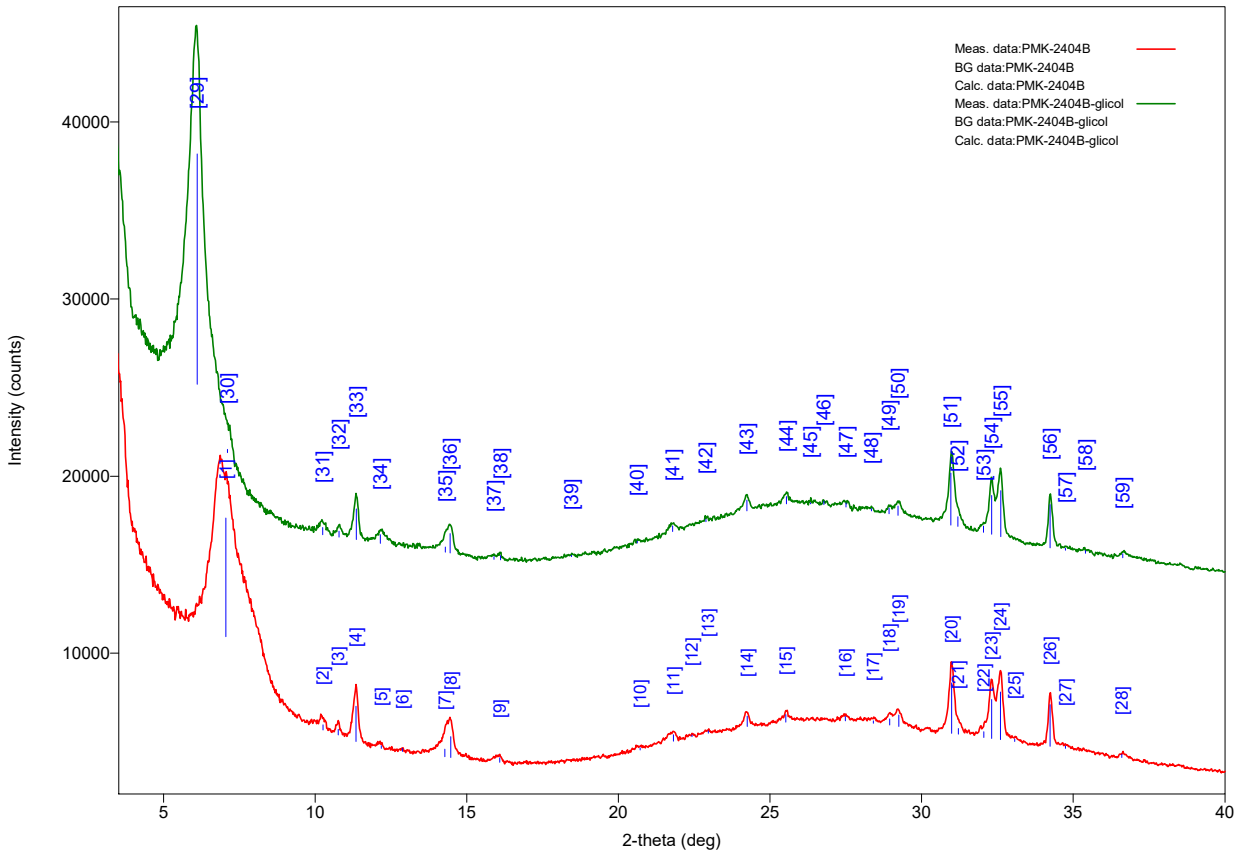

Рисунок А.4 – Дифрактограммы воздушно-сухого (нижняя) и насыщенного этиленгликолем (верхняя) образца ПМК-2404Б

Таблица А.4 – Дифракционные данные воздушно-сухого и насыщенного этиленгликолем образца ПМК-2404Б

№	2Θ, град	d,Å	Высота, импульсы	Интегральная интенсивность, импульсы*град	Относительная интегральная интенсивность, отн. ед	Относительная линейная интенсивность, отн. ед
1	7.050(11)	14.55(2)	6701(82)	7924(141)	100.00	100.00
2	10.25(4)	10.01(4)	283(17)	60(36)	0.76	4.22
3	10.76(3)	9.54(2)	318(18)	35(23)	0.44	4.75
4	11.337(5)	9.056(4)	1977(44)	434(12)	5.48	29.50
5	12.173(13)	8.436(9)	143(12)	23(9)	0.29	2.14
6	12.873(8)	7.979(5)	166(13)	6(2)	0.08	2.48
7	14.27(6)	7.20(3)	422(21)	303(41)	3.82	6.29
8	14.465(12)	7.105(6)	1180(34)	398(43)	5.02	17.61
9	16.08(3)	6.394(13)	256(16)	112(10)	1.41	3.82
10	20.71(3)	4.976(8)	118(11)	70(10)	0.88	1.76
11	21.81(2)	4.729(5)	368(19)	199(12)	2.51	5.50
12	22.42(3)	4.602(6)	93(10)	23(10)	0.29	1.39
13	22.960(18)	4.494(4)	127(11)	33(7)	0.42	1.89
14	24.240(3)	4.2603(4)	585(24)	134(3)	1.69	8.72
15	25.518(7)	4.0502(11)	436(21)	170(9)	2.15	6.50
16	27.480(12)	3.7659(16)	234(15)	66(8)	0.83	3.50
17	28.40(4)	3.646(5)	139(12)	129(16)	1.63	2.07
18	28.941(10)	3.5796(12)	355(19)	89(18)	1.12	5.30
19	29.244(9)	3.5434(11)	630(25)	228(27)	2.88	9.40
20	30.982(6)	3.3490(6)	2850(53)	663(24)	8.37	42.53
21	31.211(16)	3.3251(16)	316(18)	106(18)	1.34	4.72
22	32.053(16)	3.2399(16)	321(18)	93(19)	1.18	4.79

23	32.307(3)	3.2151(3)	2185(47)	425(21)	5.36	32.61
24	32.597(5)	3.1873(4)	2676(52)	737(22)	9.30	39.94
25	33.07(3)	3.143(3)	124(11)	46(17)	0.58	1.85
26	34.233(4)	3.0392(3)	2340(48)	343(7)	4.33	34.92
27	34.74(3)	2.996(2)	135(12)	105(9)	1.33	2.01
28	36.593(10)	2.8493(8)	188(14)	49(8)	0.62	2.81
29	6.105(6)	16.798(16)	13005(114)	10439(87)	100.00	100.00
30	7.1(2)	14.4(4)	191(14)	89(65)	0.85	1.47
31	10.24(3)	10.02(3)	408(20)	132(14)	1.26	3.13
32	10.784(18)	9.519(16)	338(18)	67(9)	0.64	2.60
33	11.346(5)	9.049(4)	1723(42)	421(9)	4.03	13.25
34	12.15(2)	8.453(15)	481(22)	245(12)	2.35	3.70
35	14.290(13)	7.192(6)	288(17)	65(43)	0.62	2.21
36	14.448(9)	7.113(5)	1091(33)	415(49)	3.98	8.39
37	15.893(19)	6.470(8)	155(12)	46(6)	0.44	1.19
38	16.114(5)	6.382(2)	250(16)	42(8)	0.40	1.92
39	18.45(4)	5.580(13)	72(8)	82(13)	0.79	0.55
40	20.62(3)	4.998(8)	109(10)	25(6)	0.24	0.84
41	21.78(3)	4.735(6)	309(18)	92(9)	0.88	2.37
42	22.88(4)	4.510(8)	151(12)	60(9)	0.57	1.16
43	24.235(15)	4.261(3)	594(24)	182(9)	1.74	4.57
44	25.538(11)	4.0470(17)	402(20)	95(7)	0.91	3.09
45	26.33(13)	3.928(19)	65(8)	121(20)	1.16	0.50
46	26.772(5)	3.8637(8)	210(14)	12(5)	0.11	1.62
47	27.50(2)	3.764(3)	233(15)	83(9)	0.80	1.79
48	28.34(2)	3.654(3)	117(11)	37(6)	0.35	0.90
49	28.928(13)	3.5812(16)	315(18)	76(15)	0.73	2.42
50	29.218(18)	3.546(2)	522(23)	168(16)	1.61	4.01
51	30.965(5)	3.3509(5)	2927(54)	712(20)	6.82	22.51
52	31.187(16)	3.3275(16)	544(23)	159(17)	1.52	4.19
53	32.044(10)	3.2408(9)	337(18)	70(10)	0.67	2.59
54	32.310(3)	3.2149(3)	2190(47)	414(12)	3.96	16.84
55	32.602(4)	3.1868(4)	2596(51)	621(16)	5.95	19.96
56	34.232(3)	3.0393(3)	2430(49)	383(18)	3.67	18.69
57	34.74(5)	2.996(4)	108(10)	88(25)	0.84	0.83
58	35.41(2)	2.9417(16)	134(12)	54(10)	0.52	1.03
59	36.630(13)	2.8465(10)	228(15)	168(10)	1.61	1.75

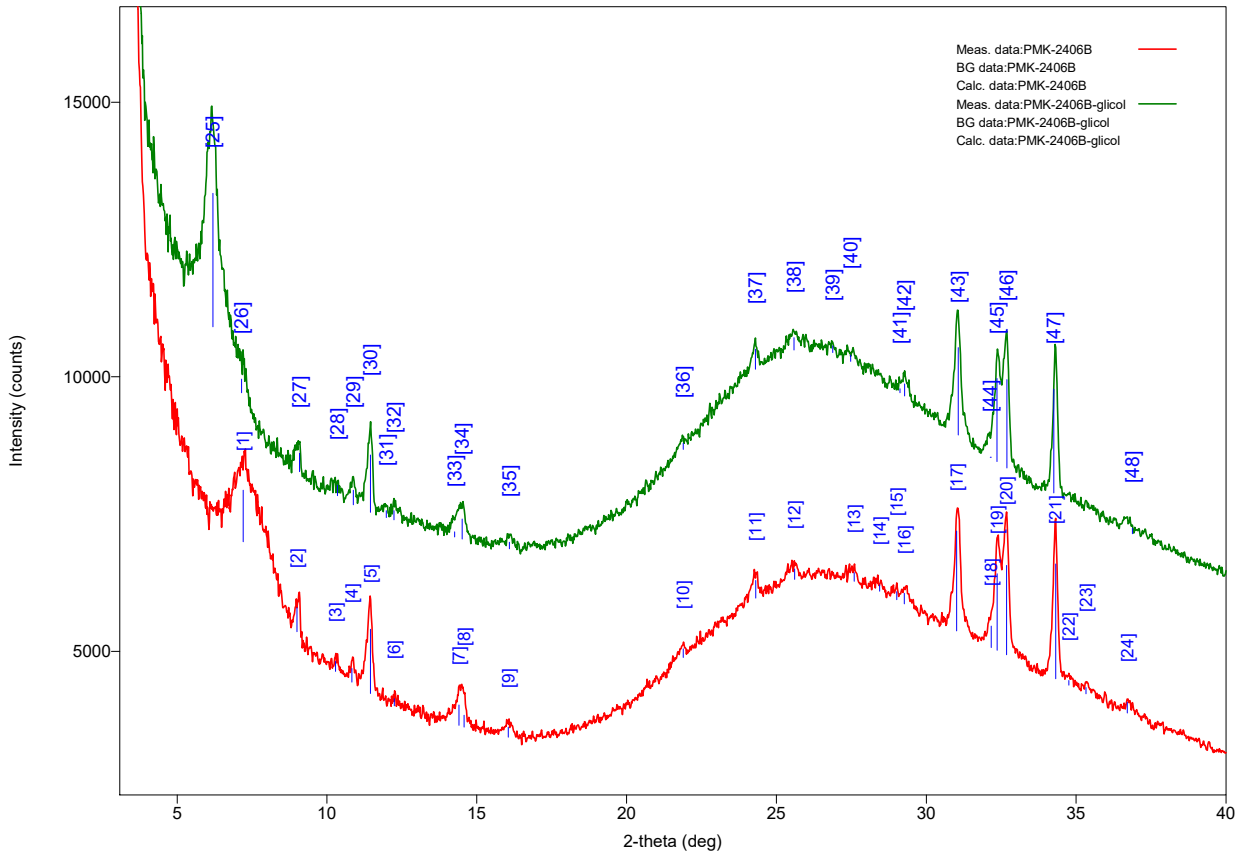

Рисунок А.5 – Дифрактограммы воздушно-сухого (нижняя) и насыщенного этиленгликолем (верхняя) образца ПМК-2406Б

Таблица А.5 – Дифракционные данные воздушно-сухого и насыщенного этиленгликолем образца ПМК-2406Б

№	2Θ, град	d,Å	Высота, импульсы	Интегральная интенсивность, импульсы*град	Относительная интегральная интенсивность, отн. ед	Относительная линейная интенсивность, отн. ед
1	7.21(2)	14.23(5)	938(31)	1207(31)	100.00	44.95
2	8.996(5)	11.406(6)	442(21)	75(6)	6.21	21.17
3	10.289(11)	9.975(10)	181(13)	28(4)	2.32	8.69
4	10.835(10)	9.474(8)	251(16)	41(6)	3.40	12.05
5	11.447(9)	8.970(7)	1170(34)	342(11)	28.33	56.07
6	12.248(19)	8.385(13)	128(11)	33(8)	2.73	6.14
7	14.41(4)	7.133(17)	375(19)	196(61)	16.24	17.95
8	14.58(3)	7.052(15)	216(15)	67(62)	5.58	10.36
9	16.05(6)	6.41(2)	184(14)	103(13)	8.53	8.81
10	21.89(2)	4.710(5)	156(13)	84(13)	6.96	7.50
11	24.31(5)	4.249(8)	326(18)	120(15)	9.94	15.62
12	25.61(9)	4.036(13)	190(14)	87(20)	7.21	9.13
13	27.60(2)	3.750(3)	154(12)	78(15)	6.46	7.40
14	28.45(3)	3.640(4)	116(11)	45(9)	3.73	5.58
15	29.02(3)	3.570(3)	143(12)	29(8)	2.40	6.87
16	29.27(6)	3.540(7)	190(14)	61(8)	5.05	9.10
17	31.016(5)	3.3455(6)	1823(43)	498(12)	41.25	87.41
18	32.17(8)	3.228(8)	387(20)	129(186)	10.69	18.54
19	32.368(14)	3.2092(13)	1394(37)	381(200)	31.57	66.81
20	32.682(8)	3.1792(8)	1627(40)	337(38)	27.93	77.98
21	34.317(6)	3.0320(5)	2086(46)	383(44)	31.73	100.00
22	34.8(2)	2.995(19)	83(9)	73(59)	6.06	3.98

23	35.33(9)	2.948(7)	111(11)	37(32)	3.08	5.30
24	36.71(3)	2.840(2)	201(14)	65(11)	5.39	9.63
25	6.193(8)	16.56(2)	2431(49)	1738(53)	100.00	100.00
26	7.15(3)	14.34(6)	248(16)	577(79)	33.20	10.20
27	9.08(2)	11.30(2)	341(18)	70(7)	4.02	14.04
28	10.351(14)	9.916(13)	191(14)	49(10)	2.82	7.84
29	10.87(3)	9.44(3)	263(16)	57(12)	3.29	10.83
30	11.453(10)	8.964(8)	1040(32)	278(21)	15.99	42.77
31	11.98(2)	8.573(16)	124(11)	35(13)	2.01	5.10
32	12.24(2)	8.393(16)	167(13)	114(16)	6.56	6.86
33	14.27(11)	7.20(5)	92(10)	89(42)	5.12	3.77
34	14.513(13)	7.082(6)	367(19)	160(36)	9.21	15.09
35	16.09(4)	6.393(14)	121(11)	98(16)	5.65	4.99
36	21.89(4)	4.712(9)	114(11)	115(19)	6.62	4.69
37	24.300(10)	4.2499(18)	361(19)	81(12)	4.66	14.85
38	25.59(5)	4.039(7)	225(15)	190(23)	10.94	9.28
39	26.88(10)	3.849(14)	120(11)	26(14)	1.50	4.96
40	27.48(5)	3.766(7)	115(11)	86(23)	4.95	4.71
41	29.12(9)	3.558(11)	74(9)	36(42)	2.08	3.03
42	29.28(3)	3.539(3)	222(15)	52(16)	2.99	9.15
43	31.065(7)	3.3403(8)	1587(40)	454(14)	26.12	65.28
44	32(5)	3.2(4)	0.6(8)	0(12)	0.00	0.02
45	32.354(9)	3.2106(9)	1511(39)	463(94)	26.64	62.17
46	32.689(9)	3.1785(8)	1607(40)	345(91)	19.85	66.10
47	34.2535(15)	3.03743(13)	1886(43)	323(6)	18.58	77.58
48	36.88(10)	2.828(7)	101(10)	544(82)	31.30	4.14

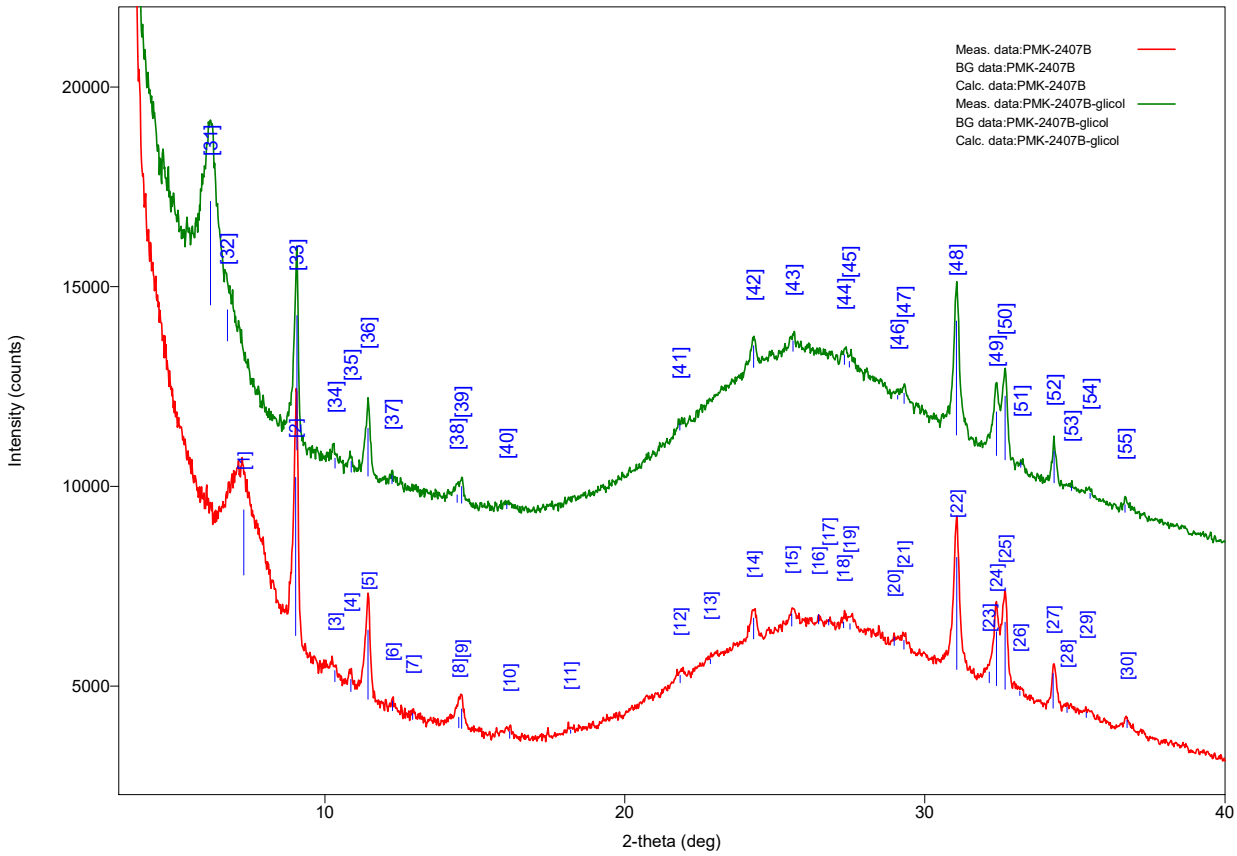

Рисунок А.6 – Дифрактограммы воздушно-сухого (нижняя) и насыщенного этиленгликолем (верхняя) образца ПМК-2407Б

Таблица А.6 – Дифракционные данные воздушно-сухого и насыщенного этиленгликолем образца ПМК-2407Б

№	2Θ, град	d,Å	Высота, импульсы	Интегральная интенсивность, импульсы*град	Относительная интегральная интенсивность, отн. ед	Относительная линейная интенсивность, отн. ед
1	7.29(2)	14.06(4)	1628(40)	2236(42)	100.00	41.15
2	9.021(3)	11.374(4)	3957(63)	784(15)	35.06	100.00
3	10.33(4)	9.94(4)	270(16)	143(24)	6.40	6.82
4	10.867(19)	9.446(16)	303(17)	55(15)	2.46	7.65
5	11.436(5)	8.978(4)	1735(42)	458(9)	20.48	43.83
6	12.25(3)	8.38(2)	236(15)	37(8)	1.65	5.96
7	12.92(4)	7.95(3)	157(13)	65(10)	2.91	3.96
8	14.464(19)	7.105(9)	259(16)	107(55)	4.79	6.55
9	14.558(8)	7.060(4)	485(22)	127(51)	5.68	12.27
10	16.160(14)	6.364(5)	173(13)	86(9)	3.85	4.37
11	18.19(8)	5.66(2)	86(9)	87(12)	3.89	2.19
12	21.84(2)	4.722(5)	179(13)	78(8)	3.49	4.52
13	22.85(6)	4.516(13)	108(10)	136(13)	6.08	2.73
14	24.287(13)	4.252(2)	525(23)	152(7)	6.80	13.28
15	25.563(16)	4.043(2)	308(18)	136(8)	6.08	7.79
16	26.451(4)	3.9097(6)	235(15)	16(2)	0.72	5.93
17	26.794(11)	3.8606(15)	139(12)	14(5)	0.63	3.52
18	27.28(4)	3.792(6)	144(12)	45(16)	2.01	3.65
19	27.50(9)	3.763(12)	143(12)	129(62)	5.77	3.61
20	28.976(8)	3.5754(9)	206(14)	8(4)	0.35	5.21
21	29.29(5)	3.537(5)	221(15)	87(12)	3.89	5.57
22	31.057(4)	3.3411(4)	2809(53)	754(8)	33.72	70.98

23	32.15(2)	3.2309(19)	267(16)	72(14)	3.22	6.74
24	32.381(3)	3.2079(3)	1351(37)	250(16)	11.18	34.15
25	32.673(5)	3.1801(5)	1675(41)	422(14)	18.87	42.33
26	33.17(3)	3.134(2)	111(11)	46(15)	2.06	2.81
27	34.275(10)	3.0355(9)	873(30)	150(6)	6.71	22.07
28	34.73(4)	2.997(3)	126(11)	70(12)	3.13	3.18
29	35.38(4)	2.944(3)	135(12)	67(11)	3.00	3.40
30	36.740(11)	2.8382(8)	192(14)	34(6)	1.52	4.85
31	6.189(12)	16.57(3)	2595(51)	1870(469)	100.00	77.28
32	6.75(14)	15.2(3)	774(28)	1211(467)	64.76	23.06
33	9.065(4)	11.319(5)	3358(58)	778(10)	41.60	100.00
34	10.334(18)	9.932(17)	251(16)	199(24)	10.64	7.46
35	10.873(9)	9.441(8)	264(16)	54(12)	2.89	7.86
36	11.437(7)	8.977(5)	1202(35)	292(9)	15.61	35.79
37	12.23(3)	8.40(2)	208(14)	40(7)	2.13	6.20
38	14.409(8)	7.132(8)	186(16)	47(7)	2.50	5.53
39	14.560(8)	7.059(4)	417(20)	205(19)	10.96	12.42
40	16.06(2)	6.404(9)	108(10)	44(10)	2.35	3.21
41	21.83(5)	4.724(12)	159(13)	44(10)	2.35	4.72
42	24.292(7)	4.2513(13)	542(23)	152(7)	8.13	16.15
43	25.60(3)	4.037(5)	260(16)	100(61)	5.35	7.73
44	27.32(3)	3.788(4)	238(15)	50(47)	2.67	7.07
45	27.5(2)	3.77(3)	137(12)	200(46)	10.69	4.08
46	29.10(8)	3.561(10)	98(10)	22(15)	1.18	2.91
47	29.309(13)	3.5356(16)	256(16)	73(20)	3.90	7.62
48	31.048(6)	3.3421(6)	2851(53)	771(11)	41.23	84.90
49	32.381(7)	3.2080(6)	1086(33)	251(16)	13.42	32.35
50	32.671(9)	3.1803(8)	1591(40)	427(20)	22.83	47.37
51	33.20(2)	3.131(2)	129(11)	14(7)	0.75	3.83
52	34.306(6)	3.0329(5)	791(28)	120(6)	6.42	23.55
53	34.89(3)	2.984(3)	94(10)	27(7)	1.44	2.80
54	35.51(3)	2.933(2)	130(11)	70(10)	3.74	3.88
55	36.672(17)	2.8434(13)	191(14)	161(12)	8.61	5.69

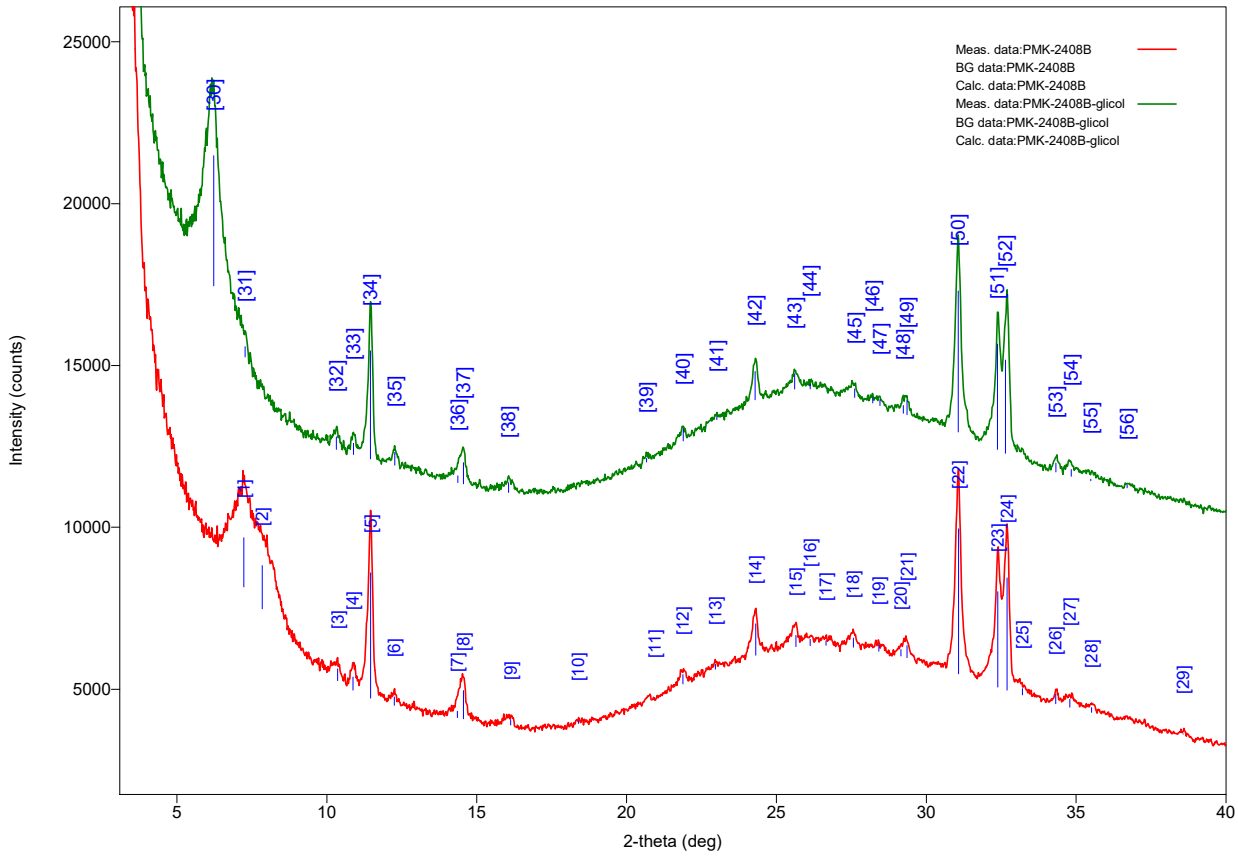

Рисунок А.7 – Дифрактограммы воздушно-сухого (нижняя) и насыщенного этиленгликолем (верхняя) образца ПМК-2408Б

Таблица А.7 – Дифракционные данные воздушно-сухого и насыщенного этиленгликолем образца ПМК-2408Б

№	2Ѳ, град	d,Å	Высота, импульсы	Интегральная интенсивность, импульсы*град	Относительная интегральная интенсивность, отн. ед	Относительная линейная интенсивность, отн. ед
1	7.23(2)	14.19(4)	1519(39)	1390(813)	77.08	33.97
2	7.84(3)	13.08(5)	1340(37)	1804(49)	100.00	29.95
3	10.36(4)	9.91(3)	365(19)	168(29)	9.29	8.16
4	10.87(3)	9.44(2)	404(20)	73(22)	4.07	9.03
5	11.462(3)	8.958(3)	3867(62)	970(19)	53.80	86.45
6	12.25(4)	8.38(3)	256(16)	99(13)	5.48	5.72
7	14.36(8)	7.16(4)	194(14)	98(47)	5.43	4.35
8	14.555(18)	7.061(9)	866(29)	238(40)	13.20	19.35
9	16.14(5)	6.37(2)	159(13)	52(9)	2.91	3.55
10	18.39(4)	5.598(12)	84(9)	19(13)	1.06	1.88
11	20.9(9)	4.9(2)	10(3)	14(31)	0.77	0.22
12	21.886(11)	4.712(2)	293(17)	91(13)	5.04	6.55
13	22.96(4)	4.494(8)	155(12)	60(16)	3.31	3.47
14	24.311(3)	4.2481(6)	965(31)	257(11)	14.23	21.58
15	25.654(9)	4.0291(15)	349(19)	91(41)	5.06	7.80
16	26.13(4)	3.957(6)	187(14)	255(87)	14.15	4.19
17	26.65(4)	3.880(6)	137(12)	77(31)	4.28	3.06
18	27.57(5)	3.754(7)	284(17)	79(29)	4.40	6.35
19	28.42(3)	3.644(3)	189(14)	101(32)	5.61	4.23
20	29.2(5)	3.55(6)	197.703057	61.423312	3.41	4.42
21	29.36(4)	3.530(4)	369(19)	116(15)	6.43	8.25

22	31.075(3)	3.3392(3)	4473(67)	1175(14)	65.15	100.00
23	32.389(5)	3.2072(4)	2952(54)	764(58)	42.38	66.00
24	32.701(3)	3.1774(3)	3468(59)	857(52)	47.50	77.52
25	33.21(3)	3.130(3)	193(14)	114(29)	6.34	4.31
26	34.32(3)	3.031(2)	290(17)	33(9)	1.85	6.49
27	34.79(3)	2.992(2)	242(16)	187(25)	10.37	5.41
28	35.52(3)	2.933(2)	150(12)	71(19)	3.95	3.36
29	38.57(19)	2.708(13)	8(3)	4(8)	0.24	0.19
30	6.220(7)	16.487(18)	4015(63)	3297(63)	100.00	92.22
31	7.274(16)	14.10(3)	320(18)	250(57)	7.58	7.34
32	10.32(3)	9.95(3)	394(20)	156(15)	4.73	9.06
33	10.89(2)	9.428(17)	349(19)	56(6)	1.70	8.03
34	11.450(4)	8.967(3)	3342(58)	717(13)	21.75	76.76
35	12.267(15)	8.372(10)	398(20)	90(11)	2.73	9.13
36	14.37(9)	7.15(4)	208(14)	109(60)	3.31	4.79
37	14.56(2)	7.060(10)	663(26)	175(53)	5.31	15.22
38	16.06(3)	6.402(14)	295(17)	153(15)	4.64	6.77
39	20.67(9)	4.99(2)	118(11)	88(21)	2.67	2.70
40	21.889(14)	4.711(3)	348(19)	90(16)	2.73	8.00
41	23.01(5)	4.484(10)	94(10)	72(27)	2.18	2.16
42	24.293(16)	4.251(3)	879(30)	194(15)	5.88	20.19
43	25.61(3)	4.036(4)	477(22)	152(23)	4.61	10.96
44	26.13(10)	3.957(15)	139(12)	79(24)	2.40	3.19
45	27.617(16)	3.748(2)	266(16)	86(12)	2.61	6.11
46	28.213(13)	3.6701(16)	178(13)	21(16)	0.64	4.10
47	28.46(3)	3.639(3)	176(13)	47(21)	1.43	4.04
48	29.231(13)	3.5449(16)	239(15)	14(23)	0.42	5.49
49	29.355(14)	3.5302(17)	430(21)	120(32)	3.64	9.87
50	31.068(4)	3.3400(4)	4354(66)	1181(15)	35.83	100.00
51	32.378(3)	3.2083(3)	3257(57)	1184(26)	35.91	74.81
52	32.6435(14)	3.18286(13)	2879(54)	448(14)	13.59	66.12
53	34.33(4)	3.031(4)	273(17)	42(13)	1.27	6.26
54	34.84(4)	2.988(3)	201(14)	243(18)	7.37	4.61
55	35.5(4)	2.93(3)	46(7)	18(49)	0.55	1.05
56	36.70(3)	2.841(3)	94(10)	21(12)	0.64	2.15

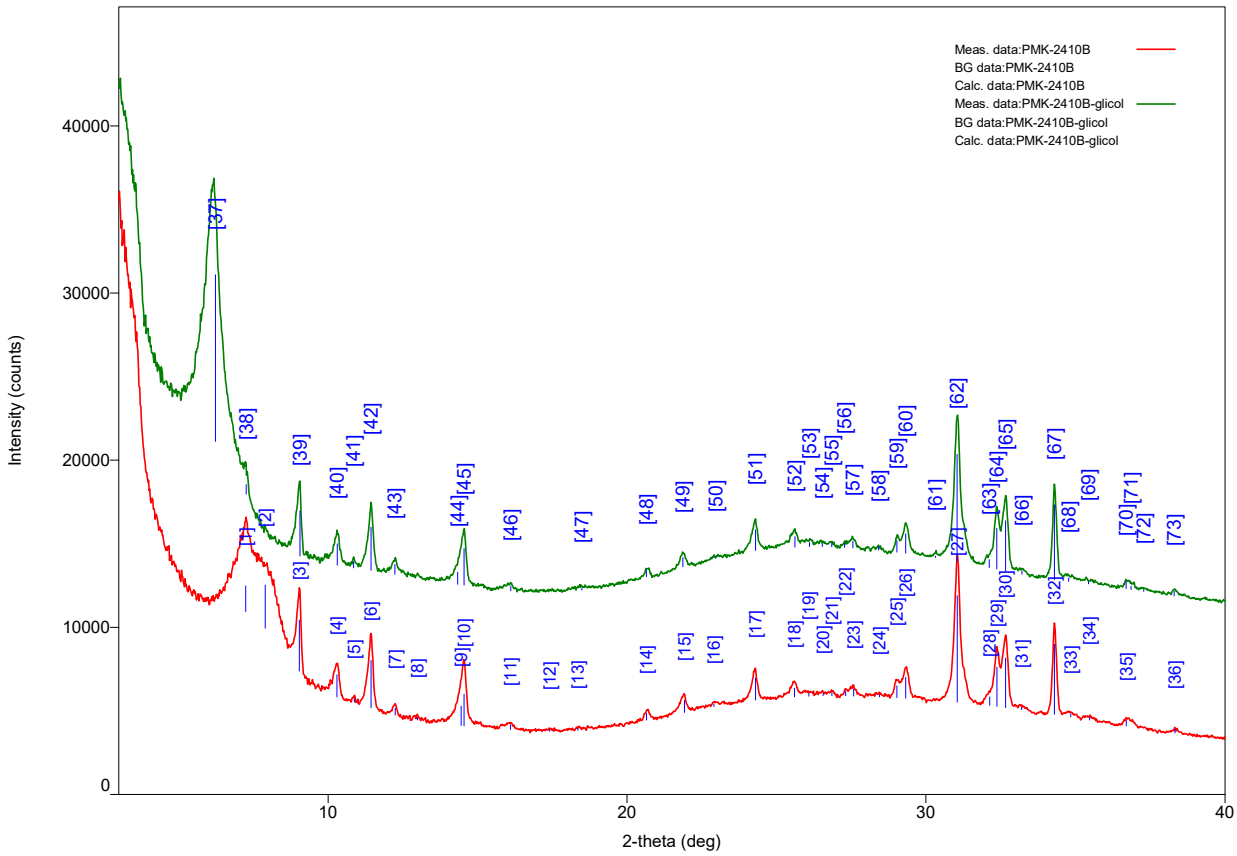

Рисунок А.8 – Дифрактограммы воздушно-сухого (нижняя) и насыщенного этиленгликолем (верхняя) образца ПМК-2410Б

Таблица А.8 – Дифракционные данные воздушно-сухого и насыщенного этиленгликолем образца ПМК-2410Б

№	2Θ, град	d,Å	Высота, импульсы	Интегральная интенсивность, импульсы*град	Относительная интегральная интенсивность, отн. ед	Относительная линейная интенсивность, отн. ед
1	7.252(10)	14.144(19)	1524(39)	797(68)	19.53	23.91
2	7.905(18)	12.98(3)	2568(51)	4081(66)	100.00	40.28
3	9.044(2)	11.345(3)	3043(55)	634(18)	15.54	47.73
4	10.300(10)	9.965(9)	1316(36)	426(16)	10.44	20.64
5	10.886(7)	9.430(6)	218(15)	18(7)	0.44	3.42
6	11.444(4)	8.972(3)	2846(53)	697(12)	17.08	44.65
7	12.251(18)	8.382(12)	419(20)	68(9)	1.67	6.58
8	12.995(14)	7.905(8)	149(12)	23(8)	0.56	2.34
9	14.453(14)	7.111(7)	1158(34)	603(496)	14.78	18.17
10	14.556(7)	7.061(3)	1891(43)	413(12)	10.12	29.66
11	16.11(3)	6.384(14)	261(16)	131(9)	3.21	4.09
12	17.42(3)	5.908(12)	96(10)	54(8)	1.32	1.51
13	18.36(2)	5.608(7)	117(11)	88(10)	2.16	1.83
14	20.656(17)	4.989(4)	404(20)	89(7)	2.18	6.34
15	21.918(10)	4.705(2)	719(27)	220(7)	5.39	11.28
16	22.91(2)	4.504(4)	141(12)	95(9)	2.33	2.22
17	24.304(4)	4.2492(6)	1311(36)	320(6)	7.84	20.56
18	25.598(14)	4.038(2)	520(23)	133(7)	3.26	8.15
19	26.09(2)	3.963(3)	188(14)	160(10)	3.92	2.95
20	26.562(16)	3.894(2)	138(12)	35(7)	0.86	2.16
21	26.861(9)	3.8511(13)	200(14)	41(5)	1.01	3.13
22	27.314(3)	3.7884(4)	287(17)	21(4)	0.52	4.51

23	27.583(6)	3.7522(8)	405(20)	118(7)	2.89	6.35
24	28.45(4)	3.640(5)	130(11)	58(9)	1.42	2.03
25	29.027(6)	3.5693(7)	704(27)	131(13)	3.21	11.05
26	29.329(11)	3.5333(13)	1238(35)	337(17)	8.26	19.42
27	31.047(4)	3.3422(4)	6374(80)	1862(21)	45.63	100.00
28	32.131(16)	3.2322(16)	509(23)	117(21)	2.87	7.98
29	32.375(4)	3.2086(4)	2362(49)	433(26)	10.61	37.05
30	32.663(7)	3.1810(6)	2952(54)	717(27)	17.57	46.32
31	33.20(3)	3.131(3)	130(11)	37(11)	0.91	2.05
32	34.298(2)	3.0336(2)	4194(65)	613(9)	15.02	65.80
33	34.846(17)	2.9873(14)	183(14)	71(7)	1.74	2.87
34	35.472(16)	2.9363(13)	153(12)	51(5)	1.25	2.40
35	36.704(6)	2.8410(5)	323(18)	125(8)	3.06	5.07
36	38.328(9)	2.7248(6)	232(15)	41(5)	1.00	3.63
37	6.233(10)	16.45(3)	9970(100)	8333(160)	100.00	100.00
38	7.27(2)	14.12(4)	567(24)	258(58)	3.10	5.69
39	9.066(10)	11.318(13)	2685(52)	614(35)	7.37	26.93
40	10.307(11)	9.958(10)	1286(36)	430(15)	5.16	12.90
41	10.860(8)	9.453(7)	360(19)	39(6)	0.47	3.61
42	11.437(4)	8.977(3)	2577(51)	678(11)	8.14	25.84
43	12.241(15)	8.390(10)	578(24)	199(12)	2.39	5.80
44	14.3379	7.16756	719.635632	131.111398	1.57	7.22
45	14.558(5)	7.060(3)	2202(47)	779(23)	9.35	22.08
46	16.112(10)	6.383(4)	276(17)	129(10)	1.55	2.77
47	18.50(5)	5.565(14)	121(11)	242(21)	2.90	1.21
48	20.647(7)	4.9914(18)	374(19)	66(9)	0.79	3.75
49	21.870(17)	4.715(4)	532(23)	121(11)	1.45	5.34
50	22.97(14)	4.49(3)	56(8)	13(9)	0.16	0.56
51	24.302(8)	4.2495(14)	1228(35)	331(9)	3.97	12.32
52	25.618(15)	4.035(2)	613(25)	225(25)	2.70	6.15
53	26.10(3)	3.961(5)	239(15)	164(31)	1.97	2.40
54	26.54(2)	3.897(3)	183(14)	71(18)	0.85	1.84
55	26.851(14)	3.8525(19)	204(14)	49(10)	0.59	2.04
56	27.279(9)	3.7933(12)	249(16)	15(5)	0.18	2.49
57	27.56(2)	3.756(3)	392(20)	124(10)	1.49	3.93
58	28.42(2)	3.644(3)	208(14)	44(8)	0.53	2.08
59	29.034(5)	3.5685(6)	689(26)	104(9)	1.25	6.91
60	29.323(10)	3.5340(12)	1169(34)	293(14)	3.52	11.73
61	30.31(5)	3.421(5)	95(10)	7(6)	0.08	0.95
62	31.039(3)	3.3430(4)	6411(80)	2049(17)	24.59	64.31
63	32.118(12)	3.2335(12)	468(22)	95(15)	1.14	4.69
64	32.371(4)	3.2089(4)	2435(49)	441(22)	5.29	24.42
65	32.668(6)	3.1806(6)	3000(55)	756(26)	9.07	30.09
66	33.21(3)	3.130(2)	163(13)	56(15)	0.67	1.64
67	34.295(3)	3.0339(2)	4473(67)	686(15)	8.23	44.86
68	34.77(3)	2.993(2)	202(14)	106(18)	1.27	2.02
69	35.44(3)	2.939(3)	151(12)	121(9)	1.45	1.52
70	36.692(8)	2.8418(6)	453(21)	102(18)	1.22	4.55
71	36.863(10)	2.8291(7)	202(14)	36(14)	0.43	2.03
72	37.29(4)	2.798(3)	115(11)	86(17)	1.03	1.15
73	38.296(14)	2.7270(10)	301(17)	91(9)	1.09	3.02

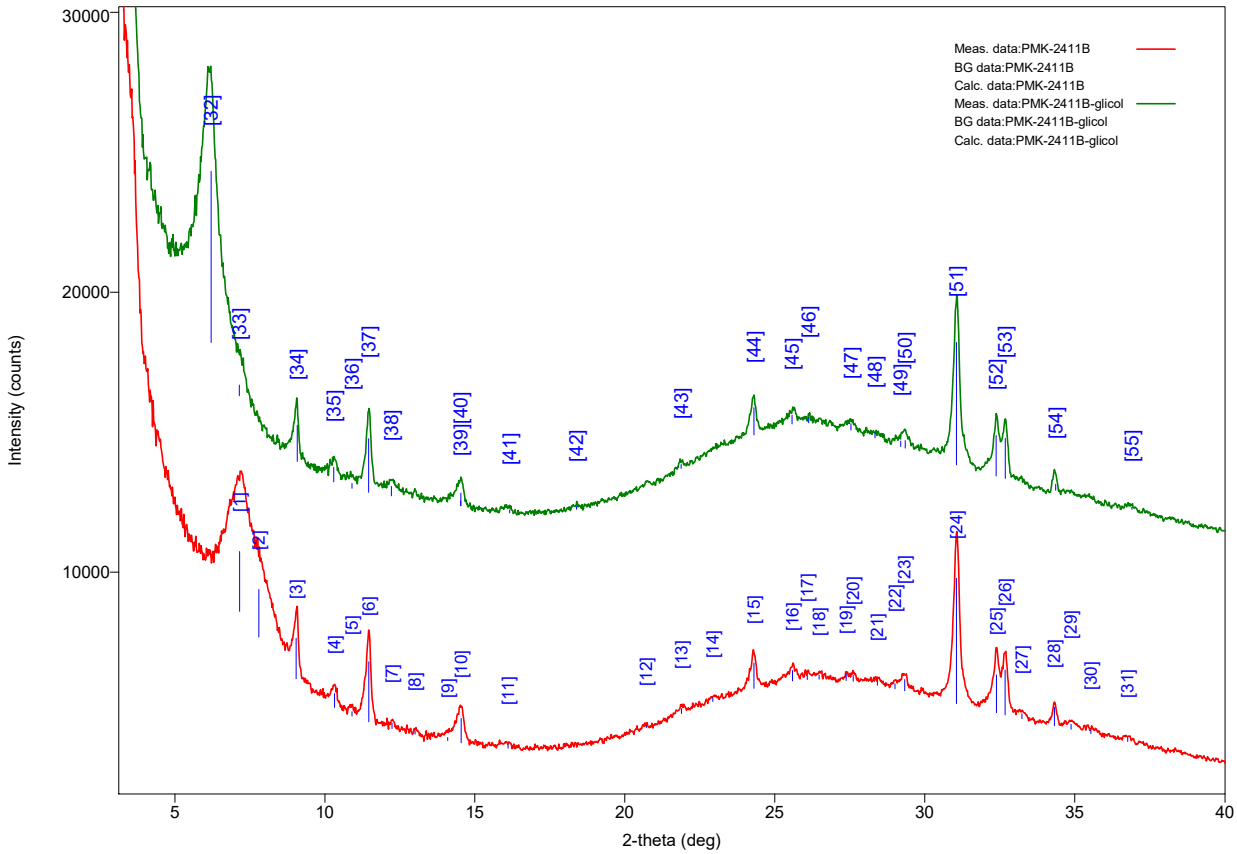

Рисунок А.9 – Дифрактограммы воздушно-сухого (нижняя) и насыщенного этиленгликолем (верхняя) образца ПМК-2411Б

Таблица А.9 – Дифракционные данные воздушно-сухого и насыщенного этиленгликолем образца ПМК-2411Б

№	2Θ, град	d,Å	Высота, импульсы	Интегральная интенсивность, импульсы*град	Относительная интегральная интенсивность, отн. ед	Относительная линейная интенсивность, отн. ед
1	7.16(3)	14.32(6)	2134(46)	2090(856)	72.75	47.74
2	7.80(13)	13.2(2)	1705(41)	2873(833)	100.00	38.14
3	9.045(8)	11.344(10)	1449(38)	345(32)	12.02	32.42
4	10.32(2)	9.94(2)	488(22)	162(13)	5.64	10.93
5	10.91(4)	9.41(3)	146(12)	20(7)	0.70	3.27
6	11.467(5)	8.954(4)	2150(46)	583(10)	20.29	48.10
7	12.24(5)	8.39(3)	197(14)	46(8)	1.60	4.40
8	13.01(2)	7.896(12)	112(11)	15(8)	0.52	2.50
9	14.10(3)	7.288(14)	116(11)	49(23)	1.72	2.59
10	14.549(11)	7.064(5)	878(30)	364(31)	12.67	19.65
11	16.11(6)	6.38(2)	131(11)	95(11)	3.31	2.92
12	20.71(2)	4.975(6)	77(9)	51(10)	1.78	1.73
13	21.88(3)	4.712(7)	171(13)	83(8)	2.90	3.82
14	22.93(3)	4.500(6)	116(11)	45(7)	1.57	2.60
15	24.304(12)	4.249(2)	892(30)	260(8)	9.06	19.97
16	25.587(17)	4.039(3)	363(19)	154(16)	5.36	8.12
17	26.077(19)	3.965(3)	145(12)	39(12)	1.36	3.24
18	26.48(3)	3.906(5)	141(12)	97(20)	3.38	3.15
19	27.378(10)	3.7797(14)	240(15)	26(6)	0.90	5.37
20	27.612(16)	3.748(2)	216(15)	50(8)	1.74	4.84
21	28.42(4)	3.644(6)	142(12)	99(9)	3.45	3.18
22	29.009(18)	3.571(2)	173(13)	34(10)	1.18	3.87

23	29.325(18)	3.534(2)	402(20)	130(14)	4.52	8.99
24	31.056(4)	3.3412(4)	4469(67)	1309(10)	45.56	100.00
25	32.384(5)	3.2076(5)	1352(37)	335(25)	11.66	30.24
26	32.675(7)	3.1799(6)	1600(40)	528(25)	18.38	35.80
27	33.23(2)	3.1278(18)	169(13)	84(15)	2.92	3.78
28	34.313(8)	3.0323(7)	651(26)	109(5)	3.79	14.56
29	34.87(2)	2.985(2)	182(13)	87(12)	3.03	4.08
30	35.53(4)	2.931(3)	132(11)	112(14)	3.90	2.96
31	36.76(2)	2.8370(18)	135(12)	54(5)	1.88	3.03
32	6.211(5)	16.511(14)	6116(78)	5843(82)	100.00	100.00
33	7.153(19)	14.34(4)	385(20)	443(67)	7.59	6.30
34	9.081(12)	11.299(15)	1292(36)	317(17)	5.43	21.12
35	10.294(19)	9.971(18)	530(23)	316(32)	5.41	8.66
36	10.91(4)	9.41(3)	170(13)	40(17)	0.68	2.77
37	11.463(7)	8.957(6)	1915(44)	513(25)	8.78	31.31
38	12.22(3)	8.40(2)	342(18)	377(49)	6.45	5.59
39	14.5(2)	7.08(11)	171(13)	77(124)	1.32	2.79
40	14.53(4)	7.072(18)	455(21)	167(144)	2.86	7.44
41	16.16(2)	6.364(8)	108(10)	51(14)	0.87	1.76
42	18.39(6)	5.597(19)	96(10)	122(19)	2.09	1.57
43	21.87(2)	4.714(4)	141(12)	35(11)	0.60	2.30
44	24.303(10)	4.2494(17)	978(31)	311(15)	5.32	15.98
45	25.574(18)	4.041(3)	318(18)	185(19)	3.17	5.20
46	26.13(2)	3.958(3)	190(14)	86(18)	1.47	3.11
47	27.54(2)	3.758(3)	233(15)	86(17)	1.47	3.81
48	28.34(9)	3.654(11)	179(13)	96(23)	1.64	2.92
49	29.19(5)	3.550(6)	193(14)	202(50)	3.46	3.16
50	29.35(2)	3.531(2)	267(16)	50(39)	0.86	4.36
51	31.056(6)	3.3412(6)	4367(66)	1348(19)	23.07	71.40
52	32.372(12)	3.2088(12)	1443(38)	479(45)	8.20	23.59
53	32.682(5)	3.1792(5)	1433(38)	293(37)	5.01	23.42
54	34.359(17)	3.0284(14)	222(15)	46(10)	0.79	3.63
55	36.90(6)	2.826(4)	72(8)	23(18)	0.39	1.17

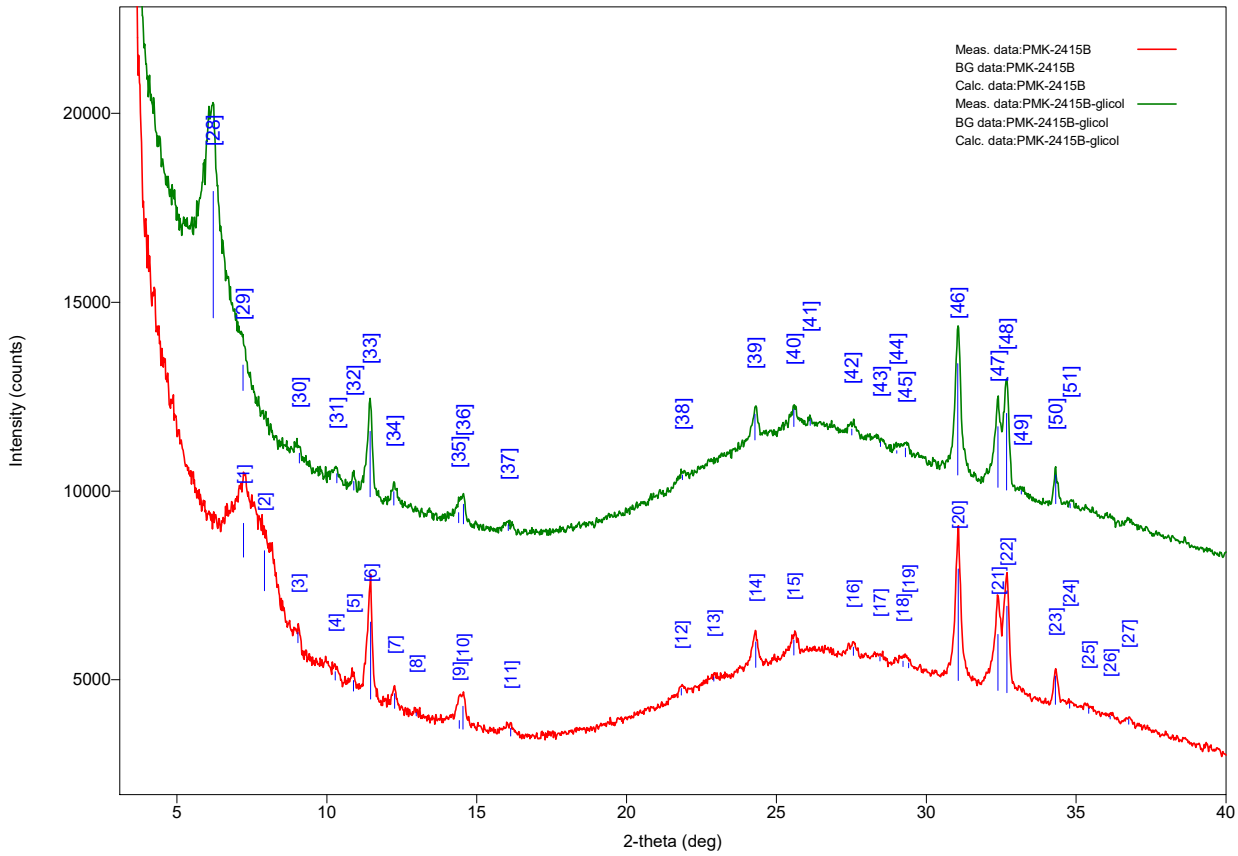

Рисунок А.10 – Дифрактограммы воздушно-сухого (нижняя) и насыщенного этиленгликолем (верхняя) образца ПМК-2415Б

Таблица А.10 – Дифракционные данные воздушно-сухого и насыщенного этиленгликолем образца ПМК-2415Б

№	2Θ, град	d,Å	Высота, импульсы	Интегральная интенсивность, импульсы*град	Относительная интегральная интенсивность, отн. ед	Относительная линейная интенсивность, отн. ед
1	7.22(5)	14.21(10)	894(30)	640(564)	56.63	30.23
2	7.92(10)	12.96(16)	1064(33)	1130(535)	100.00	35.99
3	9.04(3)	11.35(4)	266(16)	47(19)	4.16	8.99
4	10.28(3)	9.98(3)	221(15)	143(14)	12.68	7.46
5	10.888(12)	9.428(10)	278(17)	60(8)	5.31	9.39
6	11.460(7)	8.959(5)	2037(45)	490(14)	43.36	68.91
7	12.26(3)	8.376(18)	390(20)	85(8)	7.54	13.20
8	12.981(19)	7.913(11)	89(9)	19(6)	1.68	3.02
9	14.413(12)	7.130(6)	201(14)	24(45)	2.12	6.81
10	14.544(18)	7.066(9)	605(25)	334(53)	29.56	20.48
11	16.14(4)	6.373(16)	202(14)	155(10)	13.75	6.84
12	21.830(12)	4.724(2)	177(13)	54(6)	4.78	5.98
13	22.91(2)	4.504(4)	110(10)	47(8)	4.16	3.71
14	24.306(6)	4.2489(11)	674(26)	200(7)	17.70	22.81
15	25.58(3)	4.041(4)	401(20)	165(9)	14.60	13.56
16	27.57(3)	3.754(3)	213(15)	64(6)	5.65	7.21
17	28.46(4)	3.639(5)	110(10)	50(5)	4.42	3.72
18	29.22(3)	3.546(4)	142(12)	50(7)	4.42	4.82
19	29.41(3)	3.524(3)	125(11)	27(36)	2.39	4.22
20	31.067(3)	3.3401(3)	2956(54)	731(8)	64.69	100.00
21	32.391(6)	3.2070(5)	1480(38)	403(26)	35.66	50.07
22	32.687(6)	3.1788(6)	2283(48)	646(29)	57.17	77.23

23	34.313(8)	3.0323(7)	753(27)	117(10)	10.35	25.46
24	34.78(4)	2.993(3)	106(10)	54(13)	4.78	3.58
25	35.42(3)	2.940(3)	128(11)	73(11)	6.46	4.32
26	36.14(4)	2.884(3)	77(9)	36(7)	3.19	2.60
27	36.758(19)	2.8369(14)	128(11)	32(4)	2.83	4.33
28	6.204(8)	16.53(2)	3343(58)	2708(409)	100.00	100.00
29	7.20(4)	14.25(7)	673(26)	1027(412)	37.92	20.14
30	9.08(2)	11.30(3)	254(16)	103(12)	3.80	7.60
31	10.331(19)	9.935(18)	243(16)	64(9)	2.36	7.28
32	10.894(9)	9.423(8)	227(15)	24(10)	0.89	6.79
33	11.444(7)	8.972(5)	1729(42)	436(14)	16.10	51.70
34	12.24(3)	8.393(19)	355(19)	106(13)	3.91	10.63
35	14.40(7)	7.14(4)	269(16)	95(217)	3.51	8.06
36	14.56(3)	7.058(15)	521(23)	119(221)	4.39	15.57
37	16.06(2)	6.404(8)	155(12)	43(12)	1.59	4.65
38	21.87(3)	4.716(6)	122(11)	33(13)	1.22	3.65
39	24.282(16)	4.253(3)	684(26)	166(13)	6.13	20.46
40	25.580(11)	4.0405(16)	447(21)	116(14)	4.28	13.37
41	26.124(16)	3.958(2)	160(13)	13(5)	0.48	4.79
42	27.52(10)	3.761(14)	152(12)	37(24)	1.37	4.56
43	28.47(5)	3.637(7)	116(11)	172(51)	6.35	3.46
44	29.02(8)	3.570(9)	72(8)	20(32)	0.74	2.16
45	29.31(7)	3.536(8)	227(15)	171(50)	6.31	6.78
46	31.055(7)	3.3413(7)	2954(54)	780(13)	28.80	88.35
47	32.396(7)	3.2065(7)	1611(40)	455(13)	16.80	48.18
48	32.685(8)	3.1789(7)	2029(45)	443(19)	16.36	60.69
49	33.17(5)	3.133(4)	91(10)	30(15)	1.11	2.71
50	34.318(9)	3.0319(8)	762(28)	106(10)	3.91	22.79
51	34.80(10)	2.991(9)	108(10)	90(16)	3.32	3.24

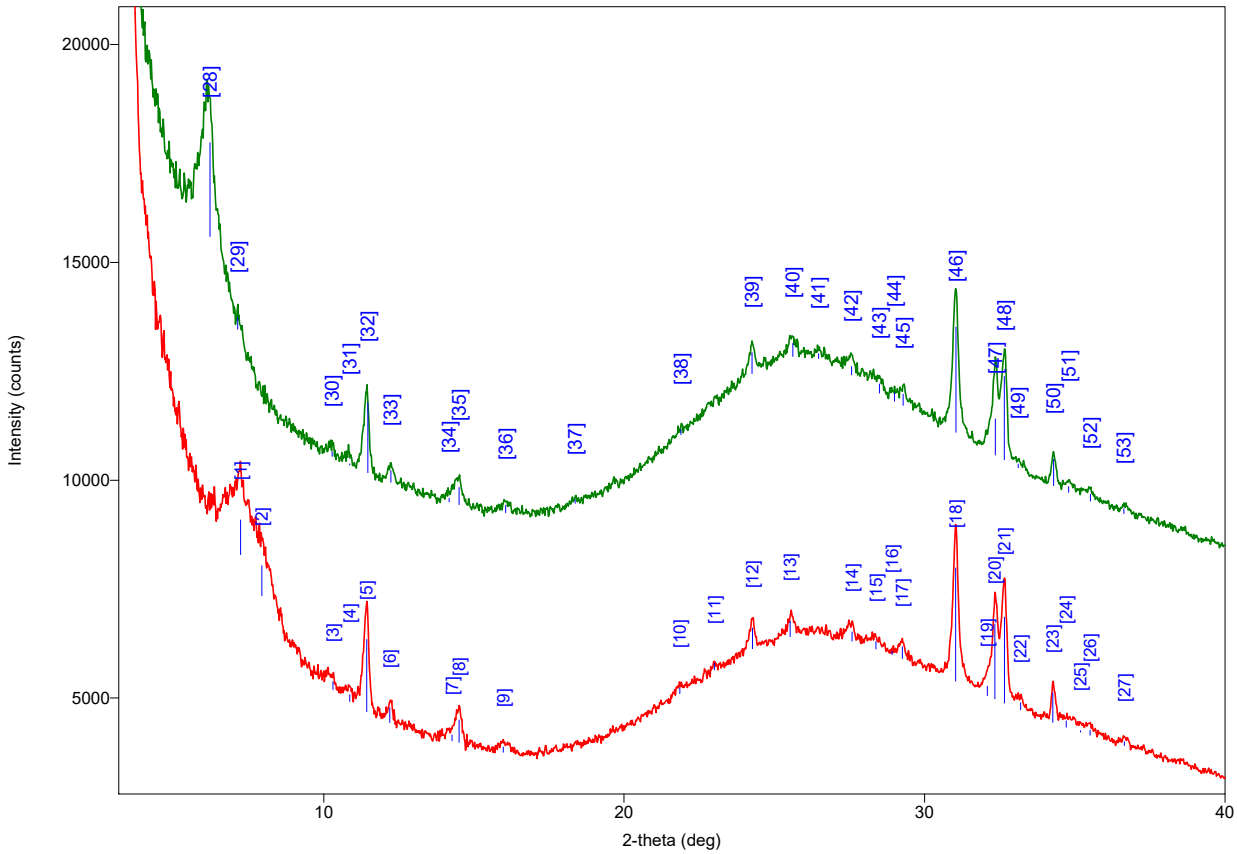

Рисунок А.11 – Дифрактограммы воздушно-сухого (нижняя) и насыщенного этиленгликолем (верхняя) образца ПМК-2417Б

Таблица А.11 – Дифракционные данные воздушно-сухого и насыщенного этиленгликолем образца ПМК-2417Б

№	2Θ, град	d,Å	Высота, импульсы	Интегральная интенсивность, импульсы*град	Относительная интегральная интенсивность, отн. ед	Относительная линейная интенсивность, отн. ед
1	7.23(3)	14.19(6)	797(28)	707(422)	68.11	30.66
2	7.94(5)	12.92(8)	689(26)	1038(47)	100.00	26.49
3	10.306(16)	9.959(15)	185(14)	69(10)	6.65	7.10
4	10.87(3)	9.45(2)	156(12)	61(23)	5.88	5.99
5	11.430(6)	8.982(5)	1655(41)	431(25)	41.52	63.67
6	12.198(8)	8.419(6)	345(19)	84(9)	8.09	13.26
7	14.27(19)	7.20(10)	133(12)	50(58)	4.82	5.11
8	14.503(19)	7.087(9)	510(23)	117(51)	11.27	19.60
9	15.98(2)	6.435(10)	119(11)	50(7)	4.82	4.57
10	21.86(5)	4.718(11)	139(12)	79(18)	7.61	5.35
11	23.010(12)	4.485(2)	154(12)	15(8)	1.45	5.91
12	24.278(6)	4.2537(11)	477(22)	108(7)	10.40	18.34
13	25.53(4)	4.048(6)	359(19)	139(15)	13.39	13.81
14	27.589(15)	3.751(2)	211(15)	52(9)	5.01	8.11
15	28.38(9)	3.649(11)	173(13)	238(48)	22.93	6.66
16	28.92(6)	3.582(7)	76(9)	13(26)	1.25	2.93
17	29.25(5)	3.542(6)	267(16)	65(19)	6.26	10.27
18	31.035(6)	3.3434(6)	2599(51)	677(12)	65.22	100.00
19	32.09(7)	3.236(7)	215(15)	90(15)	8.67	8.27
20	32.343(9)	3.2116(8)	1718(41)	392(61)	37.76	66.12
21	32.665(5)	3.1808(5)	1967(44)	461(52)	44.41	75.68
22	33.20(2)	3.1311(19)	166(13)	58(14)	5.59	6.40

23	34.272(12)	3.0359(11)	687(26)	79(14)	7.61	26.42
24	34.72(10)	2.998(8)	150(12)	362(32)	34.87	5.76
25	35.19(4)	2.959(3)	28(5)	1(5)	0.10	1.08
26	35.51(2)	2.9329(16)	115(11)	18(9)	1.73	4.44
27	36.66(13)	2.845(10)	92(10)	18(6)	1.73	3.55
28	6.209(8)	16.52(2)	2154(46)	1318(30)	100.00	89.16
29	7.134(10)	14.378(19)	271(16)	38(10)	2.88	11.24
30	10.28(6)	9.99(6)	109(10)	193(40)	14.65	4.50
31	10.9(4)	9.4(4)	22(5)	4(17)	0.30	0.93
32	11.4653(15)	8.9550(11)	1616(40)	358(12)	27.16	66.89
33	12.23(4)	8.40(3)	263(16)	74(12)	5.61	10.88
34	14.2(3)	7.25(15)	86(9)	43(38)	3.26	3.57
35	14.51(3)	7.085(15)	396(20)	151(30)	11.46	16.40
36	16.05(7)	6.41(3)	174(13)	85(16)	6.45	7.20
37	18.37(7)	5.60(2)	82(9)	24(12)	1.82	3.40
38	21.89(3)	4.711(6)	121(11)	48(13)	3.64	5.00
39	24.25(4)	4.258(7)	476(22)	133(16)	10.09	19.70
40	25.610(15)	4.036(2)	295(17)	89(13)	6.75	12.20
41	26.47(8)	3.907(12)	111(11)	17(11)	1.29	4.59
42	27.57(9)	3.754(11)	193(14)	46(24)	3.50	7.98
43	28.50(4)	3.634(5)	212(15)	447(84)	33.92	8.77
44	29.00(4)	3.572(5)	196(14)	31(31)	2.35	8.12
45	29.29(3)	3.538(3)	258(16)	95(34)	7.21	10.67
46	31.048(6)	3.3421(6)	2416(49)	597(14)	45.31	100.00
47	32.359(13)	3.2101(13)	829(29)	125(12)	9.48	34.33
48	32.651(7)	3.1821(7)	1915(44)	784(26)	59.48	79.30
49	33.12(17)	3.139(16)	87(9)	32(27)	2.43	3.59
50	34.292(19)	3.0341(16)	604(25)	108(14)	8.19	24.98
51	34.80(3)	2.991(2)	129(11)	39(16)	2.96	5.32
52	35.52(4)	2.932(4)	162(13)	141(32)	10.70	6.72
53	36.63(5)	2.846(4)	109(10)	133(26)	10.09	4.52

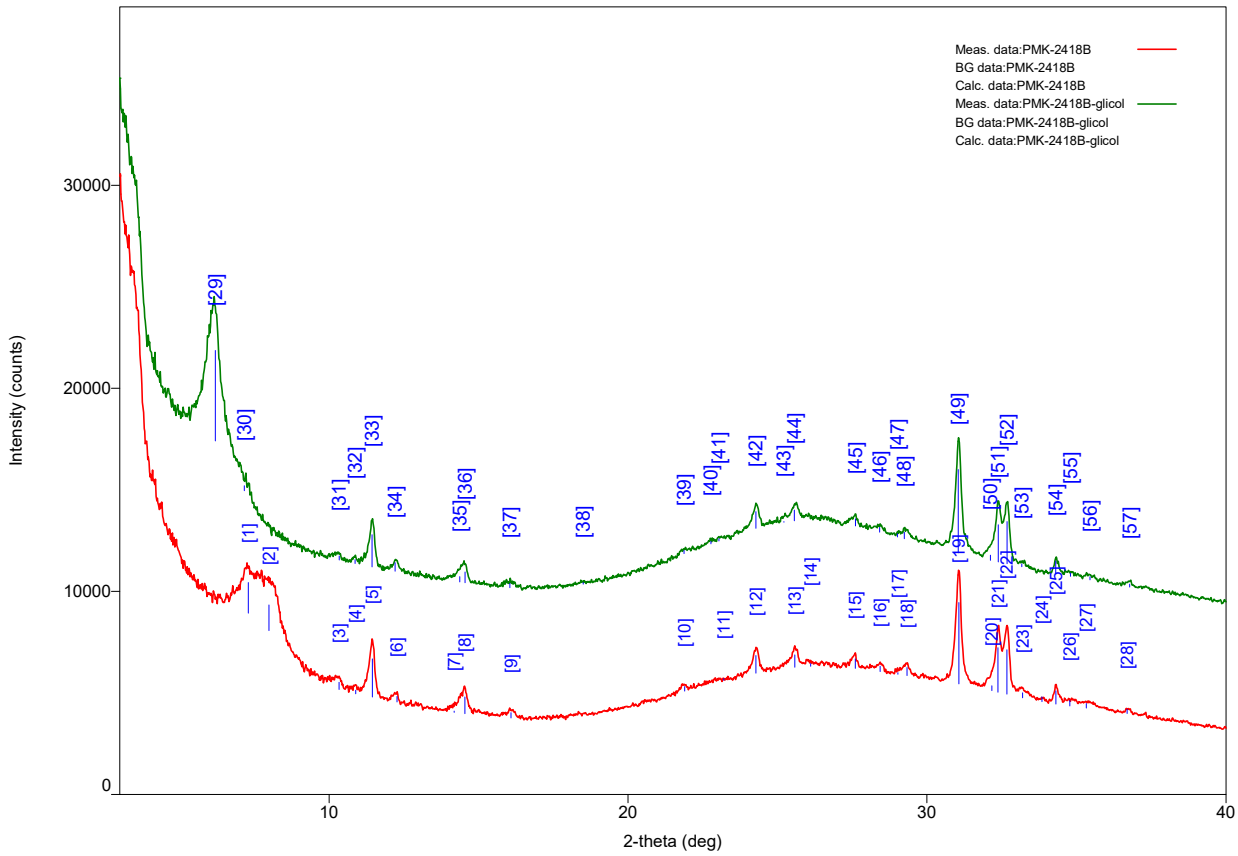

Рисунок А.12 – Дифрактограммы воздушно-сухого (нижняя) и насыщенного этиленгликолем (верхняя) образца ПМК-2418Б

Таблица А.12 – Дифракционные данные воздушно-сухого и насыщенного этиленгликолем образца ПМК-2418Б

№	2Θ, град	d,Å	Высота, импульсы	Интегральная интенсивность, импульсы*град	Относительная интегральная интенсивность, отн. ед	Относительная линейная интенсивность, отн. ед
1	7.301(6)	14.049(11)	1504(39)	1734(25)	100.00	37.56
2	7.998(5)	12.825(8)	1252(35)	847(128)	48.85	31.27
3	10.34(4)	9.93(3)	363(19)	229(20)	13.21	9.07
4	10.892(13)	9.425(12)	177(13)	46(11)	2.65	4.42
5	11.449(6)	8.967(5)	1874(43)	577(15)	33.28	46.78
6	12.274(8)	8.367(6)	253(16)	50(6)	2.88	6.32
7	14.18(2)	7.244(13)	69(8)	14(39)	0.81	1.73
8	14.546(9)	7.066(4)	817(29)	379(13)	21.86	20.38
9	16.087(10)	6.393(4)	271(16)	152(12)	8.77	6.76
10	21.891(16)	4.711(3)	228(15)	71(10)	4.09	5.70
11	23.21(13)	4.45(2)	103(10)	146(32)	8.42	2.58
12	24.281(18)	4.253(3)	865(29)	263(19)	15.18	21.59
13	25.58(2)	4.041(3)	602(25)	185(25)	10.67	15.04
14	26.11(9)	3.960(14)	125(11)	176(41)	10.15	3.11
15	27.604(8)	3.7494(11)	455(21)	125(14)	7.21	11.37
16	28.43(5)	3.642(6)	266(16)	117(22)	6.75	6.64
17	29.0(3)	3.57(3)	72(9)	22(30)	1.27	1.81
18	29.34(2)	3.532(3)	396(20)	127(23)	7.32	9.90
19	31.064(5)	3.3404(5)	4006(63)	1053(13)	60.74	100.00
20	32.17(4)	3.228(4)	247(16)	78(10)	4.50	6.17
21	32.381(8)	3.2080(7)	2187(47)	531(59)	30.62	54.61
22	32.674(5)	3.1800(5)	2183(47)	506(50)	29.18	54.51

23	33.20(2)	3.131(2)	241(16)	185(42)	10.67	6.01
24	33.85(7)	3.073(7)	248(16)	21(27)	1.21	6.19
25	34.315(6)	3.0322(5)	643(25)	115(16)	6.63	16.06
26	34.78(5)	2.992(4)	266(16)	126(86)	7.27	6.64
27	35.33(3)	2.948(2)	225(15)	222(189)	12.80	5.62
28	36.69(8)	2.842(6)	206(14)	29(8)	1.67	5.15
29	6.200(11)	16.54(3)	4457(67)	3308(68)	100.00	100.00
30	7.17(4)	14.30(8)	259(16)	107(39)	3.25	5.82
31	10.348(11)	9.919(11)	205(14)	73(12)	2.21	4.61
32	10.88(2)	9.437(18)	180(13)	24(6)	0.73	4.05
33	11.444(5)	8.971(4)	1582(40)	464(9)	14.03	35.50
34	12.211(8)	8.410(5)	416(20)	121(7)	3.66	9.33
35	14.38(7)	7.15(3)	271(16)	145(40)	4.38	6.07
36	14.555(18)	7.061(9)	532(23)	141(38)	4.26	11.94
37	16.05(4)	6.408(17)	209(14)	112(10)	3.39	4.69
38	18.51(6)	5.563(18)	82(9)	113(14)	3.42	1.85
39	21.88(3)	4.713(6)	156(12)	66(8)	2.00	3.50
40	22.77(3)	4.531(7)	109(10)	43(9)	1.30	2.45
41	23.04(2)	4.478(4)	96(10)	12(6)	0.36	2.15
42	24.286(12)	4.252(2)	819(29)	266(9)	8.04	18.38
43	25.21(14)	4.10(2)	20(5)	3(10)	0.09	0.46
44	25.57(2)	4.042(3)	529(23)	362(20)	10.94	11.88
45	27.616(10)	3.7478(13)	352(19)	97(11)	2.94	7.89
46	28.42(4)	3.644(5)	233(15)	103(10)	3.11	5.23
47	29.013(15)	3.5709(18)	157(13)	23(22)	0.71	3.52
48	29.248(13)	3.5428(16)	319(18)	140(27)	4.23	7.16
49	31.053(4)	3.3416(5)	4100(64)	1190(10)	35.97	91.98
50	32.122(18)	3.2332(18)	243(16)	53(21)	1.60	5.45
51	32.389(5)	3.2072(4)	1823(43)	429(29)	12.97	40.91
52	32.679(7)	3.1795(6)	2079(46)	616(27)	18.62	46.64
53	33.17(4)	3.133(3)	141(12)	81(26)	2.45	3.17
54	34.305(8)	3.0330(7)	614(25)	111(7)	3.36	13.77
55	34.80(3)	2.991(2)	151(12)	62(11)	1.87	3.39
56	35.46(3)	2.937(3)	146(12)	92(13)	2.78	3.27
57	36.78(4)	2.835(3)	144(12)	113(11)	3.42	3.24

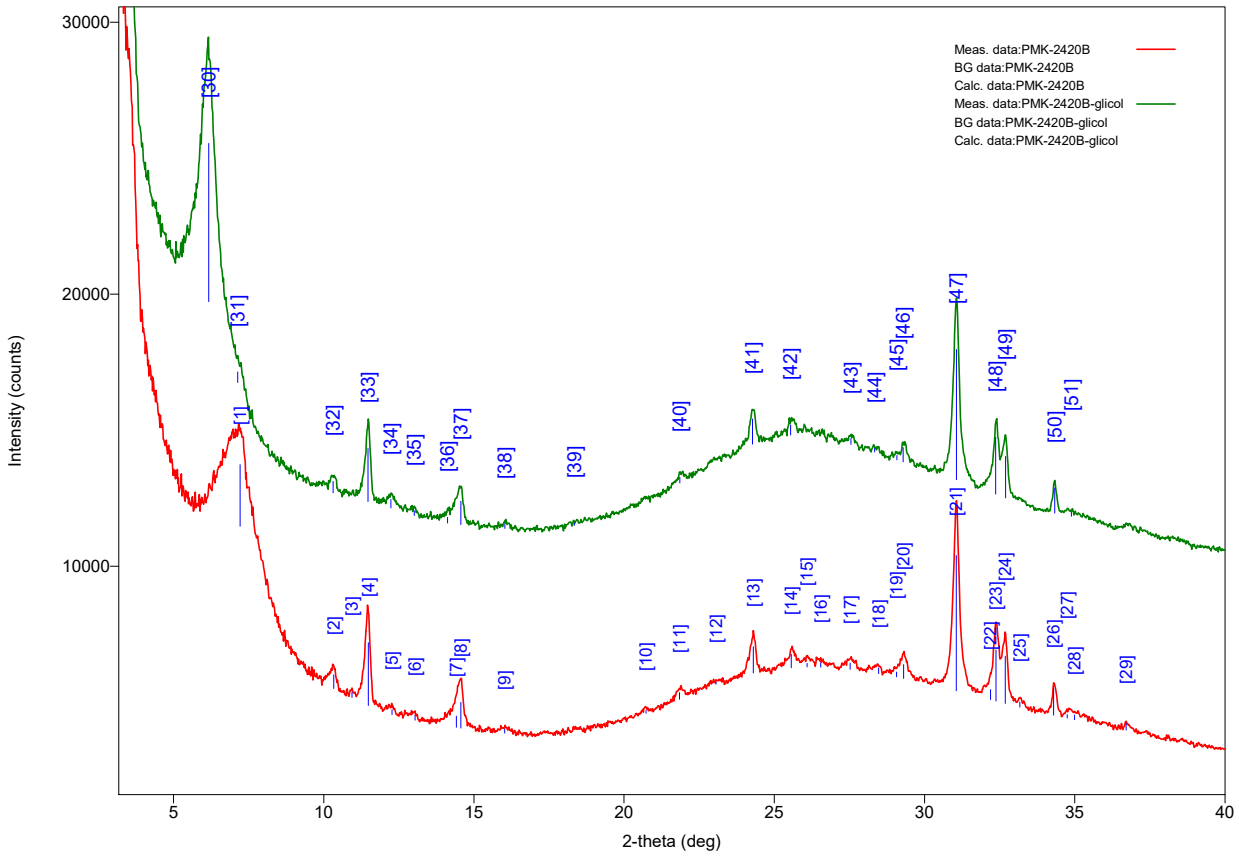

Рисунок А.13 – Дифрактограммы воздушно-сухого (нижняя) и насыщенного этиленгликолем (верхняя) образца ПМК-2420Б

Таблица А.13 – Дифракционные данные воздушно-сухого и насыщенного этиленгликолем образца ПМК-2420Б

№	2Θ, град	d,Å	Высота, импульсы	Интегральная интенсивность, импульсы*град	Относительная интегральная интенсивность, отн. ед	Относительная линейная интенсивность, отн. ед
1	7.218(13)	14.21(3)	2269(48)	2844(53)	100.00	45.66
2	10.333(18)	9.934(18)	509(23)	161(14)	5.66	10.24
3	10.937(15)	9.386(13)	208(14)	89(18)	3.13	4.18
4	11.4811(19)	8.9427(14)	2306(48)	552(12)	19.41	46.42
5	12.27(4)	8.37(2)	175(13)	46(6)	1.62	3.52
6	13.036(16)	7.880(9)	164(13)	75(9)	2.64	3.31
7	14.41(4)	7.131(17)	408(20)	290(32)	10.20	8.22
8	14.569(4)	7.0544(19)	950(31)	241(28)	8.47	19.12
9	16.02(8)	6.42(3)	137(12)	74(13)	2.60	2.76
10	20.73(3)	4.972(8)	100(10)	113(47)	3.97	2.02
11	21.85(4)	4.720(8)	247(16)	69(20)	2.44	4.98
12	23.06(14)	4.47(3)	80(9)	151(63)	5.31	1.62
13	24.305(13)	4.249(2)	968(31)	265(14)	9.32	19.47
14	25.561(9)	4.0434(14)	488(22)	186(41)	6.55	9.82
15	26.08(8)	3.964(11)	125(11)	26(14)	0.91	2.52
16	26.54(6)	3.896(9)	151(12)	148(71)	5.20	3.04
17	27.530(15)	3.759(2)	230(15)	79(16)	2.78	4.64
18	28.48(3)	3.637(4)	206(14)	72(19)	2.53	4.14
19	29.07(10)	3.564(13)	183(14)	149(91)	5.24	3.69
20	29.30(3)	3.537(4)	498(22)	141(77)	4.96	10.02
21	31.056(4)	3.3412(4)	4968(70)	1506(15)	52.95	100.00
22	32.20(3)	3.225(3)	365(19)	135(53)	4.75	7.34

23	32.372(10)	3.2088(9)	1870(43)	379(99)	13.33	37.65
24	32.692(6)	3.1783(5)	1738(42)	456(69)	16.03	34.99
25	33.17(2)	3.1337(18)	187(14)	48(12)	1.69	3.76
26	34.297(8)	3.0337(7)	990(31)	164(15)	5.77	19.92
27	34.75(4)	2.995(3)	128(11)	30(64)	1.05	2.58
28	35.0(3)	2.98(2)	173(13)	200(67)	7.03	3.47
29	36.71(2)	2.8409(17)	252(16)	46(9)	1.62	5.08
30	6.171(5)	16.617(14)	5821(76)	4608(34)	100.00	100.00
31	7.135(18)	14.38(4)	391(20)	474(72)	10.29	6.73
32	10.31(3)	9.95(3)	412(20)	155(15)	3.36	7.08
33	11.479(6)	8.944(5)	1957(44)	514(16)	11.16	33.63
34	12.23(5)	8.40(3)	313(18)	146(56)	3.17	5.38
35	13.01(6)	7.89(4)	171(13)	64(53)	1.39	2.93
36	14.12(7)	7.28(4)	211(15)	212(59)	4.60	3.63
37	14.562(14)	7.058(7)	861(29)	301(42)	6.54	14.79
38	16.03(2)	6.416(9)	161(13)	46(12)	1.00	2.77
39	18.34(7)	5.61(2)	82(9)	102(24)	2.21	1.41
40	21.86(7)	4.718(15)	213(15)	121(19)	2.63	3.66
41	24.272(19)	4.255(3)	931(31)	253(15)	5.49	16.00
42	25.546(15)	4.046(2)	377(19)	278(22)	6.03	6.48
43	27.56(7)	3.756(9)	220(15)	57(17)	1.24	3.78
44	28.34(3)	3.654(4)	126(11)	29(9)	0.63	2.16
45	29.08(16)	3.562(18)	157(13)	44(116)	0.95	2.69
46	29.29(3)	3.538(3)	515(23)	102(106)	2.21	8.85
47	31.059(5)	3.3409(5)	4778(69)	1417(16)	30.76	82.08
48	32.369(7)	3.2091(7)	2082(46)	557(30)	12.09	35.77
49	32.698(10)	3.1777(9)	1522(39)	313(26)	6.79	26.14
50	34.329(11)	3.0309(9)	921(30)	125(18)	2.71	15.82
51	34.89(7)	2.984(6)	153(12)	104(21)	2.26	2.62

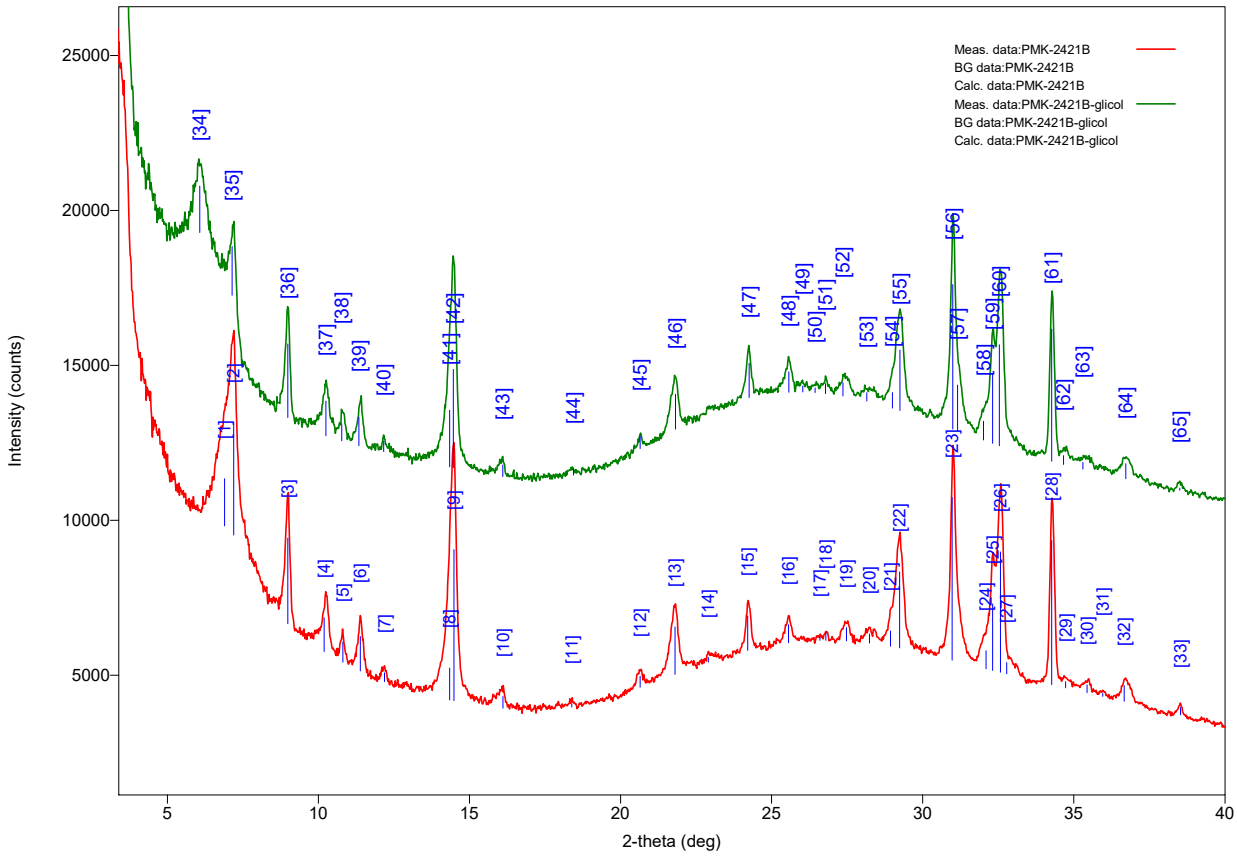

Рисунок А.14 – Дифрактограммы воздушно-сухого (нижняя) и насыщенного этиленгликолем (верхняя) образца ПМК-2421Б

Таблица А.14 – Дифракционные данные воздушно-сухого и насыщенного этиленгликолем образца ПМК-2421Б

№	2Θ, град	d,Å	Высота, импульсы	Интегральная интенсивность, импульсы*град	Относительная интегральная интенсивность, отн. ед	Относительная линейная интенсивность, отн. ед
1	6.89(5)	14.89(10)	1521(39)	1027(735)	61.35	28.97
2	7.195(6)	14.256(12)	3627(60)	1674(711)	100.00	69.07
3	8.984(5)	11.421(6)	2756(52)	640(19)	38.23	52.49
4	10.182(3)	10.080(3)	1091(33)	313(10)	18.71	20.77
5	10.806(5)	9.499(4)	658(26)	129(12)	7.71	12.52
6	11.380(11)	9.022(8)	1111(33)	270(17)	16.13	21.16
7	12.18(3)	8.43(2)	288(17)	51(15)	3.05	5.49
8	14.34(15)	7.17(7)	1031(32)	707(485)	42.23	19.64
9	14.479(7)	7.098(3)	4881(70)	1559(485)	93.13	92.94
10	16.111(8)	6.383(3)	383(20)	162(22)	9.68	7.30
11	18.38(4)	5.601(11)	110(10)	147(26)	8.78	2.10
12	20.65(4)	4.992(8)	356(19)	94(14)	5.61	6.78
13	21.798(12)	4.731(3)	1533(39)	617(17)	36.86	29.19
14	22.90(3)	4.505(6)	153(12)	62(18)	3.70	2.92
15	24.207(12)	4.266(2)	1115(33)	241(14)	14.40	21.23
16	25.56(3)	4.044(5)	584(24)	185(16)	11.05	11.13
17	26.60(3)	3.888(5)	103(10)	21(22)	1.25	1.97
18	26.79(4)	3.862(6)	239(15)	28(21)	1.67	4.56
19	27.477(9)	3.7664(12)	418(20)	114(8)	6.81	7.96
20	28.24(3)	3.666(4)	286(17)	145(14)	8.66	5.44
21	28.93(3)	3.581(3)	487(22)	125(21)	7.47	9.27
22	29.230(9)	3.5449(11)	2455(50)	874(22)	52.21	46.75

23	30.977(4)	3.3496(4)	5251(72)	1439(18)	85.96	100.00
24	32.09(4)	3.236(4)	581(24)	198(655)	11.83	11.07
25	32.313(10)	3.2145(9)	2152(46)	366(95)	21.86	40.98
26	32.572(5)	3.1897(5)	3885(62)	906(89)	54.12	73.99
27	32.77(8)	3.170(8)	360(19)	292(86)	17.44	6.85
28	34.265(4)	3.0364(3)	4647(68)	733(26)	43.79	88.50
29	34.73(4)	2.997(4)	198(14)	154(33)	9.20	3.78
30	35.438(18)	2.9390(14)	253(16)	86(11)	5.14	4.82
31	35.96(3)	2.898(3)	95(10)	18(10)	1.08	1.81
32	36.666(9)	2.8438(6)	509(23)	199(17)	11.89	9.69
33	38.53(3)	2.711(2)	242(16)	36(10)	2.15	4.60
34	6.071(17)	16.89(5)	1497(39)	907(29)	94.78	32.14
35	7.142(3)	14.361(5)	1579(40)	347(10)	36.26	33.90
36	8.986(5)	11.419(7)	2367(49)	538(14)	56.22	50.82
37	10.247(13)	10.016(13)	1118(33)	555(18)	58.01	24.00
38	10.773(5)	9.528(5)	551(23)	106(8)	11.08	11.83
39	11.342(3)	9.052(3)	914(30)	201(7)	21.00	19.63
40	12.15(3)	8.45(2)	336(18)	59(10)	6.17	7.22
41	14.344(13)	7.164(7)	1822(43)	957(79)	100.00	39.12
42	14.468(5)	7.104(2)	3167(56)	878(84)	91.75	68.00
43	16.10(4)	6.387(15)	377(19)	116(14)	12.12	8.09
44	18.44(3)	5.583(10)	188(14)	81(14)	8.46	4.04
45	20.65(2)	4.992(5)	395(20)	68(10)	7.11	8.47
46	21.816(14)	4.727(3)	1114(33)	369(18)	38.56	23.93
47	24.248(14)	4.259(2)	1111(33)	249(20)	26.02	23.85
48	25.56(2)	4.043(4)	657(26)	193(44)	20.17	14.11
49	26.02(5)	3.973(7)	196(14)	153(74)	15.99	4.21
50	26.44(5)	3.911(7)	149(12)	45(13)	4.70	3.20
51	26.779(16)	3.863(2)	319(18)	106(28)	11.08	6.86
52	27.361(11)	3.7821(15)	428(21)	167(12)	17.45	9.20
53	28.15(2)	3.678(3)	266(16)	162(12)	16.93	5.71
54	28.99(3)	3.573(3)	502(22)	385(112)	40.23	10.78
55	29.239(12)	3.5439(14)	1945(44)	621(99)	64.89	41.77
56	30.994(5)	3.3478(6)	4657(68)	924(53)	96.55	100.00
57	31.15(4)	3.331(5)	1469(38)	532(54)	55.59	31.55
58	32.01(5)	3.244(4)	606(25)	388(136)	40.54	13.00
59	32.311(4)	3.2147(4)	2220(47)	940(145)	98.22	47.67
60	32.540(2)	3.1927(2)	3259(57)	540(33)	56.43	69.98
61	34.267(5)	3.0363(4)	4264(65)	740(18)	77.32	91.57
62	34.662(18)	3.0027(15)	281(17)	95(16)	9.93	6.04
63	35.30(3)	2.950(3)	221(15)	159(18)	16.61	4.74
64	36.72(4)	2.840(3)	487(22)	296(20)	30.92	10.45
65	38.50(14)	2.713(10)	74(9)	21(10)	2.19	1.58

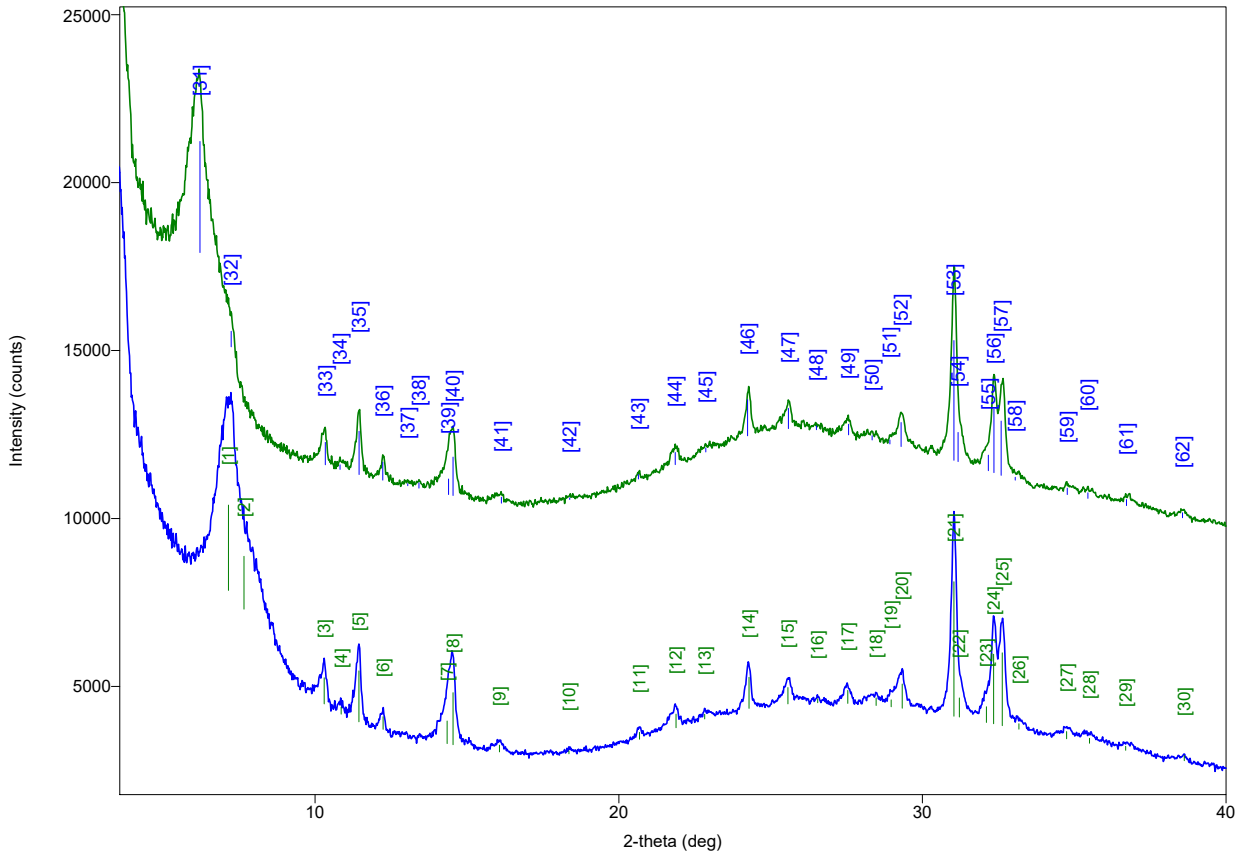

Рисунок А.15 – Дифрактограммы воздушно-сухого (нижняя) и насыщенного этиленгликолем (верхняя) образца ПМК-2423Б

Таблица А.15 – Дифракционные данные воздушно-сухого и насыщенного этиленгликолем образца ПМК-2423Б

№	2Θ, град	d,Å	Высота, импульсы	Интегральная интенсивность, импульсы*град	Относительная интегральная интенсивность, отн. ед	Относительная линейная интенсивность, отн. ед
1	7.141(12)	14.36(2)	2539(50)	1680(142)	65.24	63.44
2	7.65(4)	13.40(8)	1574(40)	2575(106)	100.00	39.33
3	10.293(8)	9.971(7)	776(28)	268(10)	10.41	19.38
4	10.853(12)	9.458(11)	203(14)	44(7)	1.71	5.08
5	11.438(6)	8.976(4)	1517(39)	420(10)	16.31	37.90
6	12.235(18)	8.394(12)	374(19)	69(9)	2.68	9.36
7	14.34(3)	7.166(16)	664(26)	389(43)	15.11	16.59
8	14.536(8)	7.070(4)	1548(39)	439(42)	17.05	38.69
9	16.07(3)	6.399(13)	194(14)	80(9)	3.11	4.86
10	18.36(4)	5.607(13)	91(10)	29(6)	1.13	2.27
11	20.682(7)	4.9831(16)	211(15)	40(5)	1.55	5.28
12	21.881(5)	4.7130(11)	408(20)	197(7)	7.65	10.20
13	22.835(16)	4.519(3)	135(12)	52(8)	2.02	3.37
14	24.288(8)	4.2519(13)	930(30)	214(7)	8.31	23.24
15	25.575(18)	4.041(3)	487(22)	236(10)	9.17	12.18
16	26.549(17)	3.896(3)	123(11)	27(6)	1.05	3.08
17	27.541(7)	3.7578(9)	385(20)	111(5)	4.31	9.62
18	28.480(15)	3.6364(19)	226(15)	130(8)	5.05	5.64
19	28.969(13)	3.5762(16)	209(14)	50(10)	1.94	5.22
20	29.336(6)	3.5324(7)	725(27)	274(17)	10.64	18.12
21	31.040(3)	3.3430(3)	4002(63)	853(56)	33.13	100.00
22	31.22(2)	3.325(2)	573(24)	343(59)	13.32	14.33

23	32.113(13)	3.2340(13)	462(21)	164(19)	6.37	11.54
24	32.351(2)	3.2109(2)	2070(45)	398(23)	15.46	51.73
25	32.629(3)	3.1842(3)	2163(47)	653(20)	25.36	54.04
26	33.18(3)	3.133(2)	160(13)	108(17)	4.19	4.01
27	34.76(3)	2.995(3)	218(15)	195(21)	7.57	5.46
28	35.50(4)	2.934(3)	151(12)	125(19)	4.85	3.77
29	36.700(19)	2.8412(14)	124(11)	80(9)	3.11	3.09
30	38.623(9)	2.7048(6)	162(13)	35(3)	1.36	4.04
31	6.203(7)	16.532(18)	3306(57)	2575(87)	100.00	92.85
32	7.228(16)	14.19(3)	456(21)	638(94)	24.78	12.81
33	10.330(15)	9.936(15)	672(26)	182(14)	7.07	18.88
34	10.82(2)	9.491(19)	135(12)	33(10)	1.28	3.79
35	11.442(9)	8.973(7)	1288(36)	342(13)	13.28	36.17
36	12.226(16)	8.400(11)	540(23)	118(11)	4.58	15.15
37	13.0(2)	7.87(12)	65(8)	31(70)	1.20	1.84
38	13.42(4)	7.66(2)	165(13)	22(32)	0.85	4.63
39	14.39(3)	7.142(17)	462(22)	336(62)	13.05	12.99
40	14.542(11)	7.067(5)	1140(34)	310(81)	12.04	32.01
41	16.13(3)	6.376(12)	176(13)	86(11)	3.34	4.94
42	18.39(9)	5.60(3)	49(7)	55(20)	2.14	1.38
43	20.65(7)	4.991(16)	137(12)	18(9)	0.70	3.84
44	21.86(3)	4.718(7)	362(19)	132(15)	5.13	10.18
45	22.86(12)	4.51(2)	115(11)	67(18)	2.60	3.24
46	24.249(9)	4.2587(16)	1074(33)	236(13)	9.17	30.17
47	25.59(3)	4.040(4)	596(24)	202(24)	7.84	16.74
48	26.51(5)	3.901(7)	114(11)	86(34)	3.34	3.20
49	27.57(5)	3.754(6)	315(18)	96(19)	3.73	8.85
50	28.34(11)	3.654(14)	125(11)	60(17)	2.33	3.51
51	28.93(4)	3.581(5)	120(11)	16(17)	0.62	3.38
52	29.30(3)	3.537(4)	714(27)	286(28)	11.11	20.06
53	31.038(6)	3.3431(6)	3561(60)	717(86)	27.84	100.00
54	31.17(6)	3.329(6)	868(29)	428(68)	16.62	24.39
55	32.17(15)	3.228(14)	467(22)	259(163)	10.06	13.11
56	32.359(10)	3.2101(9)	1886(43)	550(163)	21.36	52.97
57	32.600(3)	3.1870(3)	1613(40)	279(31)	10.83	45.31
58	33.06(5)	3.144(5)	86(9)	30(23)	1.17	2.42
59	34.77(3)	2.994(3)	196(14)	297(51)	11.53	5.49
60	35.45(4)	2.938(3)	168(13)	43(16)	1.67	4.71
61	36.73(2)	2.8393(17)	185(14)	141(26)	5.48	5.20
62	38.57(9)	2.708(6)	148(12)	48(8)	1.86	4.15

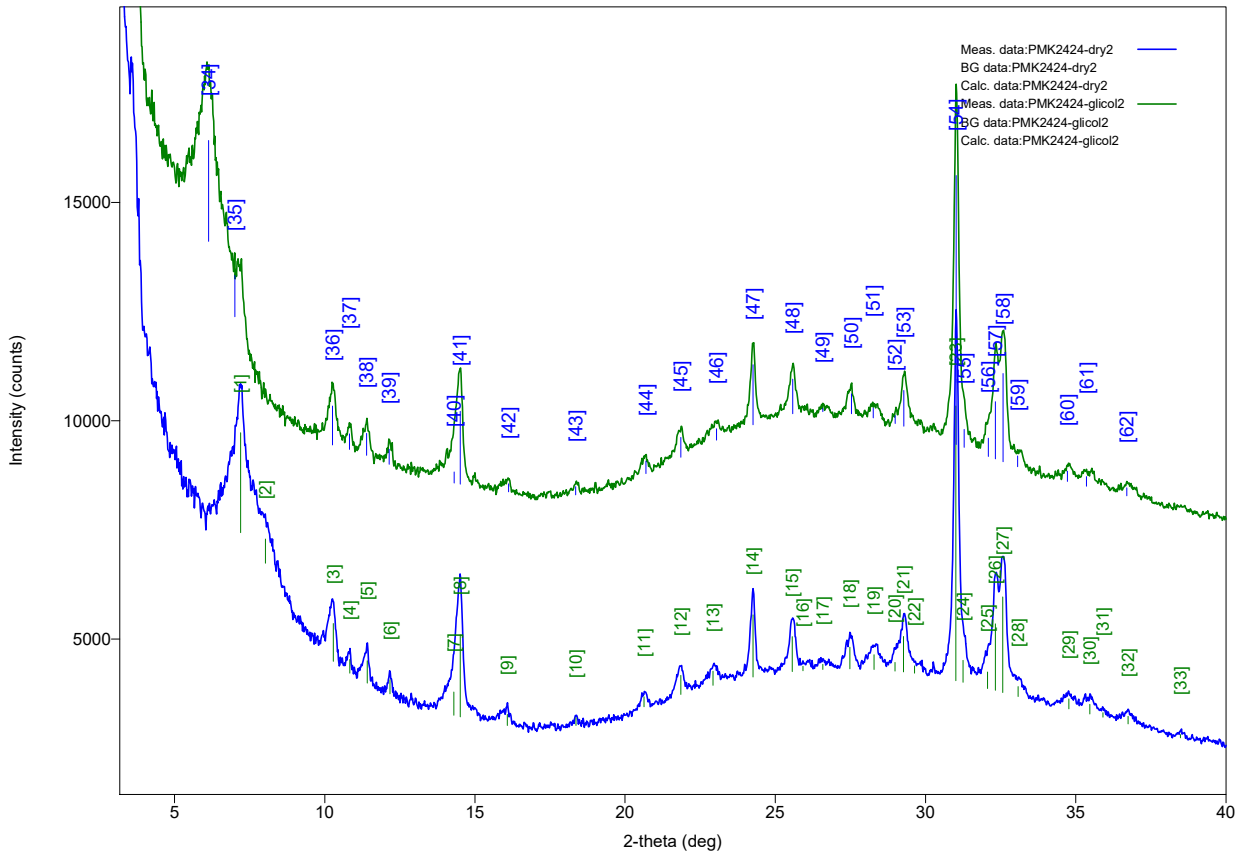

Рисунок А.16 – Дифрактограммы воздушно-сухого (нижняя) и насыщенного этиленгликолем (верхняя) образца ПМК-2424Б

Таблица А.16 – Дифракционные данные воздушно-сухого и насыщенного этиленгликолем образца ПМК-ПМК-2424Б

№	2Θ, град	d,Å	Высота, импульсы	Интегральная интенсивность, импульсы*град	Относительная интегральная интенсивность, отн. ед	Относительная линейная интенсивность, отн. ед
1	7.199(9)	14.248(18)	2285(48)	1981(78)	100.00	36.34
2	8.028(14)	12.78(2)	551(23)	331(74)	16.71	8.76
3	10.291(13)	9.973(12)	866(29)	305(13)	15.40	13.77
4	10.836(10)	9.474(9)	311(18)	55(6)	2.77	4.95
5	11.416(11)	8.994(8)	505(22)	132(8)	6.66	8.02
6	12.167(19)	8.440(13)	320(18)	50(7)	2.52	5.09
7	14.29(5)	7.19(3)	537(23)	363(56)	18.32	8.53
8	14.513(6)	7.081(3)	1884(43)	531(55)	26.80	29.95
9	16.08(3)	6.397(13)	253(16)	160(9)	8.08	4.02
10	18.366(9)	5.605(3)	177(13)	34(5)	1.72	2.81
11	20.63(3)	4.995(6)	227(15)	53(7)	2.68	3.62
12	21.850(16)	4.720(3)	440(21)	144(7)	7.27	6.99
13	22.923(15)	4.501(3)	314(18)	189(8)	9.54	5.00
14	24.256(7)	4.2575(12)	1418(38)	324(6)	16.36	22.54
15	25.563(7)	4.0432(10)	799(28)	222(18)	11.21	12.71
16	25.92(6)	3.989(9)	104(10)	77(26)	3.89	1.66
17	26.58(3)	3.891(5)	117(11)	60(11)	3.03	1.85
18	27.479(9)	3.7661(12)	498(22)	174(6)	8.78	7.91
19	28.290(15)	3.6603(19)	340(18)	189(7)	9.54	5.41
20	28.978(12)	3.5751(15)	196(14)	49(10)	2.47	3.12
21	29.271(7)	3.5401(8)	808(28)	266(13)	13.43	12.84

22	29.64(4)	3.497(5)	167(13)	108(12)	5.45	2.65
23	31.014(2)	3.3457(2)	6288(79)	1326(49)	66.93	100.00
24	31.252(18)	3.3209(19)	508(23)	186(48)	9.39	8.07
25	32.062(19)	3.2390(18)	375(19)	179(24)	9.04	5.97
26	32.323(3)	3.2136(3)	1527(39)	353(36)	17.82	24.28
27	32.575(4)	3.1894(3)	2185(47)	713(23)	35.99	34.76
28	33.085(18)	3.1416(16)	225(15)	124(19)	6.26	3.57
29	34.77(3)	2.994(2)	230(15)	170(15)	8.58	3.65
30	35.47(3)	2.937(2)	221(15)	143(12)	7.22	3.51
31	35.901(10)	2.9023(8)	106(10)	8(3)	0.40	1.68
32	36.74(3)	2.8381(19)	174(13)	111(7)	5.60	2.76
33	38.49(3)	2.714(2)	72(8)	68(9)	3.43	1.15
34	6.132(15)	16.72(4)	2310(48)	1799(136)	100.00	37.55
35	7.01(3)	14.63(6)	940(31)	754(115)	41.91	15.28
36	10.263(11)	10.000(11)	890(30)	400(14)	22.23	14.46
37	10.826(9)	9.482(8)	359(19)	86(9)	4.78	5.83
38	11.394(9)	9.011(7)	502(22)	161(8)	8.95	8.15
39	12.15(2)	8.453(15)	344(19)	72(8)	4.00	5.59
40	14.31(13)	7.18(6)	250(16)	275(88)	15.29	4.07
41	14.514(7)	7.081(3)	1665(41)	583(84)	32.41	27.06
42	16.124(10)	6.378(4)	184(14)	59(9)	3.29	2.99
43	18.35(3)	5.610(10)	179(13)	84(8)	4.67	2.90
44	20.689(8)	4.981(2)	281(17)	92(7)	5.11	4.56
45	21.855(13)	4.719(3)	454(21)	183(8)	10.17	7.38
46	23.04(3)	4.479(5)	261(16)	230(12)	12.78	4.24
47	24.259(6)	4.2570(11)	1374(37)	330(5)	18.34	22.34
48	25.581(13)	4.040(2)	797(28)	269(7)	14.95	12.95
49	26.58(3)	3.891(4)	72(8)	18(8)	1.00	1.17
50	27.536(6)	3.7584(8)	458(21)	108(8)	6.00	7.45
51	28.26(2)	3.664(3)	220(15)	86(7)	4.78	3.57
52	28.994(16)	3.5733(19)	177(13)	41(10)	2.29	2.88
53	29.273(14)	3.5399(17)	815(29)	245(10)	13.62	13.24
54	31.019(3)	3.3451(3)	6153(78)	1433(24)	79.66	100.00
55	31.283(9)	3.3176(9)	413(20)	66(21)	3.67	6.71
56	32.094(12)	3.2359(12)	419(20)	101(16)	5.61	6.81
57	32.323(4)	3.2135(4)	1312(36)	244(30)	13.56	21.32
58	32.586(7)	3.1883(7)	2017(45)	676(29)	37.58	32.78
59	33.065(19)	3.1434(17)	247(16)	157(20)	8.73	4.02
60	34.721(10)	2.9978(8)	231(15)	77(8)	4.28	3.76
61	35.358(18)	2.9455(15)	225(15)	217(12)	12.06	3.66
62	36.700(16)	2.8413(12)	187(14)	139(9)	7.73	3.04

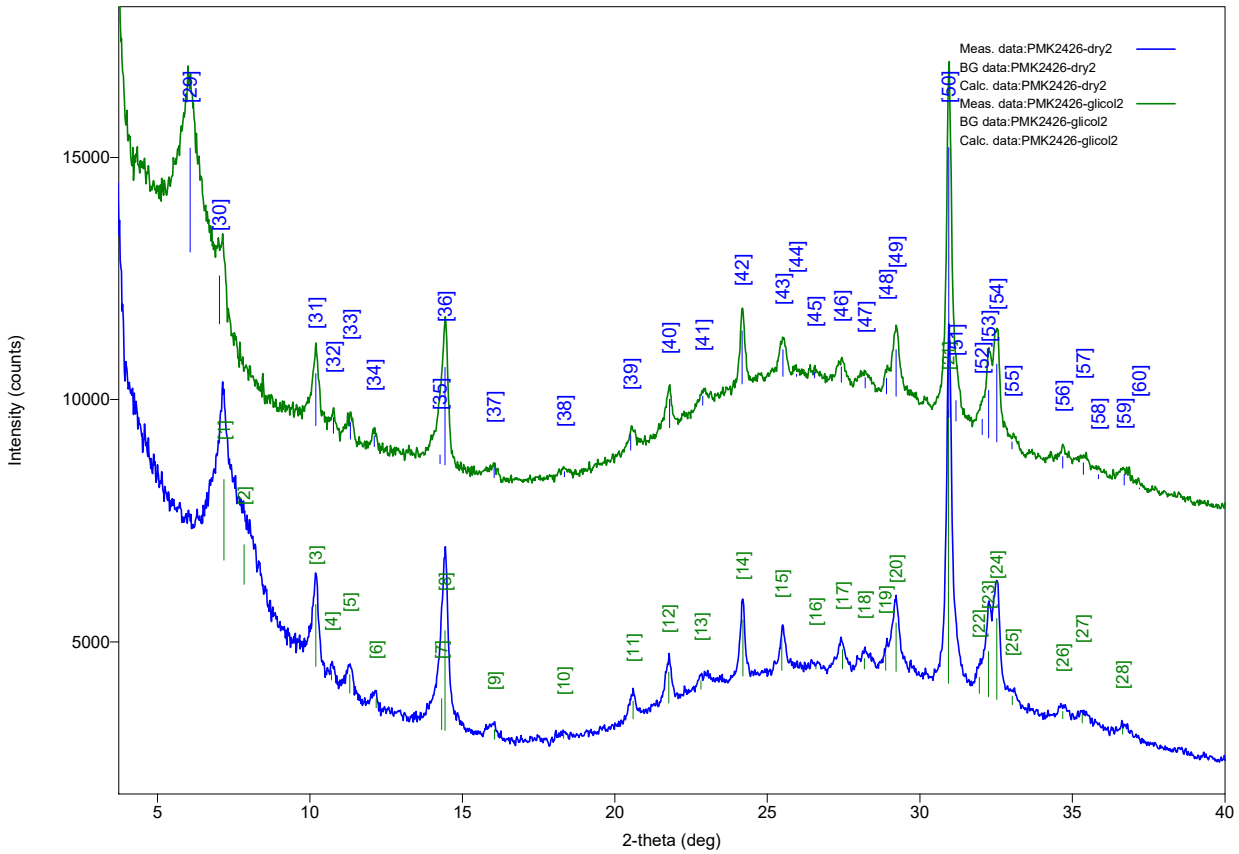

Рисунок А.17 – Дифрактограммы воздушно-сухого (нижняя) и насыщенного этиленгликолем (верхняя) образца ПМК-2426Б

Таблица А.17 – Дифракционные данные воздушно-сухого и насыщенного этиленгликолем образца ПМК-2426Б

№	2Θ, град	d,Å	Высота, импульсы	Интегральная интенсивность, импульсы*град	Относительная интегральная интенсивность, отн. ед	Относительная линейная интенсивность, отн. ед
1	7.186(9)	14.274(18)	1669(41)	1188(155)	85.96	29.60
2	7.84(5)	13.08(8)	818(29)	1136(133)	82.19	14.50
3	10.189(9)	10.073(9)	1275(36)	422(16)	30.53	22.61
4	10.713(11)	9.582(10)	195(14)	29(8)	2.10	3.46
5	11.31(2)	9.079(19)	378(19)	111(14)	8.03	6.71
6	12.170(10)	8.438(7)	188(14)	36(6)	2.60	3.33
7	14.31(5)	7.18(2)	643(25)	476(263)	34.44	11.41
8	14.432(7)	7.121(3)	2061(45)	656(268)	47.47	36.54
9	16.049(14)	6.408(6)	198(14)	76(7)	5.50	3.52
10	18.32(12)	5.62(4)	77(9)	32(12)	2.32	1.36
11	20.59(3)	5.004(7)	370(19)	115(12)	8.32	6.56
12	21.76(2)	4.738(4)	636(25)	198(12)	14.33	11.28
13	22.83(2)	4.520(5)	169(13)	105(12)	7.60	2.99
14	24.193(11)	4.2683(19)	1158(34)	233(10)	16.86	20.54
15	25.475(18)	4.057(3)	679(26)	186(10)	13.46	12.05
16	26.59(5)	3.890(8)	72(8)	41(10)	2.97	1.27
17	27.460(15)	3.769(2)	396(20)	128(9)	9.26	7.03
18	28.18(5)	3.674(6)	214(15)	94(10)	6.80	3.80
19	28.876(18)	3.587(2)	345(19)	114(29)	8.25	6.12
20	29.220(16)	3.5462(19)	1005(32)	311(20)	22.50	17.83
21	30.935(3)	3.3540(4)	5639(75)	1382(11)	100.00	100.00
22	31.947(11)	3.2504(11)	328(18)	83(154)	6.01	5.82

23	32.247(6)	3.2209(6)	926(30)	202(28)	14.61	16.42
24	32.522(11)	3.1944(11)	1674(41)	520(48)	37.62	29.69
25	33.03(5)	3.147(5)	177(13)	94(40)	6.80	3.14
26	34.68(6)	3.001(5)	148(12)	52(8)	3.75	2.63
27	35.33(3)	2.948(2)	173(13)	111(16)	8.03	3.07
28	36.65(2)	2.8454(18)	121(11)	47(13)	3.40	2.14
29	6.07(2)	16.89(6)	2146(46)	2050(74)	100.00	38.55
30	7.034(13)	14.58(3)	989(31)	603(52)	29.41	17.77
31	10.188(10)	10.074(10)	1073(33)	401(11)	19.56	19.28
32	10.774(11)	9.528(9)	322(18)	60(7)	2.93	5.79
33	11.329(7)	9.063(6)	349(19)	92(8)	4.49	6.27
34	12.11(3)	8.48(2)	214(15)	34(8)	1.66	3.85
35	14.267(17)	7.203(9)	175(13)	25(15)	1.22	3.13
36	14.430(5)	7.122(3)	2012(45)	754(22)	36.78	36.14
37	16.042(11)	6.410(4)	206(14)	67(7)	3.27	3.71
38	18.35(6)	5.611(19)	101(10)	93(11)	4.54	1.82
39	20.522(7)	5.0216(16)	313(18)	102(6)	4.98	5.62
40	21.791(12)	4.732(3)	588(24)	179(7)	8.73	10.56
41	22.87(4)	4.511(7)	187(14)	66(8)	3.22	3.37
42	24.170(8)	4.2724(14)	1094(33)	220(7)	10.73	19.64
43	25.508(10)	4.0517(16)	551(23)	193(9)	9.41	9.89
44	25.96(8)	3.983(12)	40(6)	21(7)	1.02	0.72
45	26.55(3)	3.896(4)	109(10)	39(7)	1.90	1.96
46	27.425(12)	3.7734(16)	320(18)	114(6)	5.56	5.75
47	28.206(19)	3.671(2)	214(15)	97(7)	4.73	3.84
48	28.901(9)	3.5845(10)	315(18)	52(9)	2.54	5.66
49	29.221(9)	3.5460(11)	966(31)	324(13)	15.80	17.35
50	30.942(3)	3.3532(3)	5567(75)	1232(64)	60.10	100.00
51	31.18(2)	3.328(2)	424(21)	114(62)	5.56	7.61
52	32.04(2)	3.241(2)	322(18)	95(24)	4.63	5.79
53	32.255(6)	3.2202(6)	979(31)	185(36)	9.02	17.59
54	32.518(9)	3.1948(9)	1605(40)	511(37)	24.93	28.82
55	33.02(6)	3.148(6)	148(12)	114(51)	5.56	2.65
56	34.68(2)	3.001(2)	235(15)	144(26)	7.02	4.22
57	35.36(3)	2.945(3)	239(15)	204(30)	9.95	4.30
58	35.853(19)	2.9061(15)	82(9)	16(8)	0.78	1.48
59	36.69(3)	2.842(2)	222(15)	192(19)	9.37	3.98
60	37.20(12)	2.805(9)	14(4)	6(9)	0.29	0.25

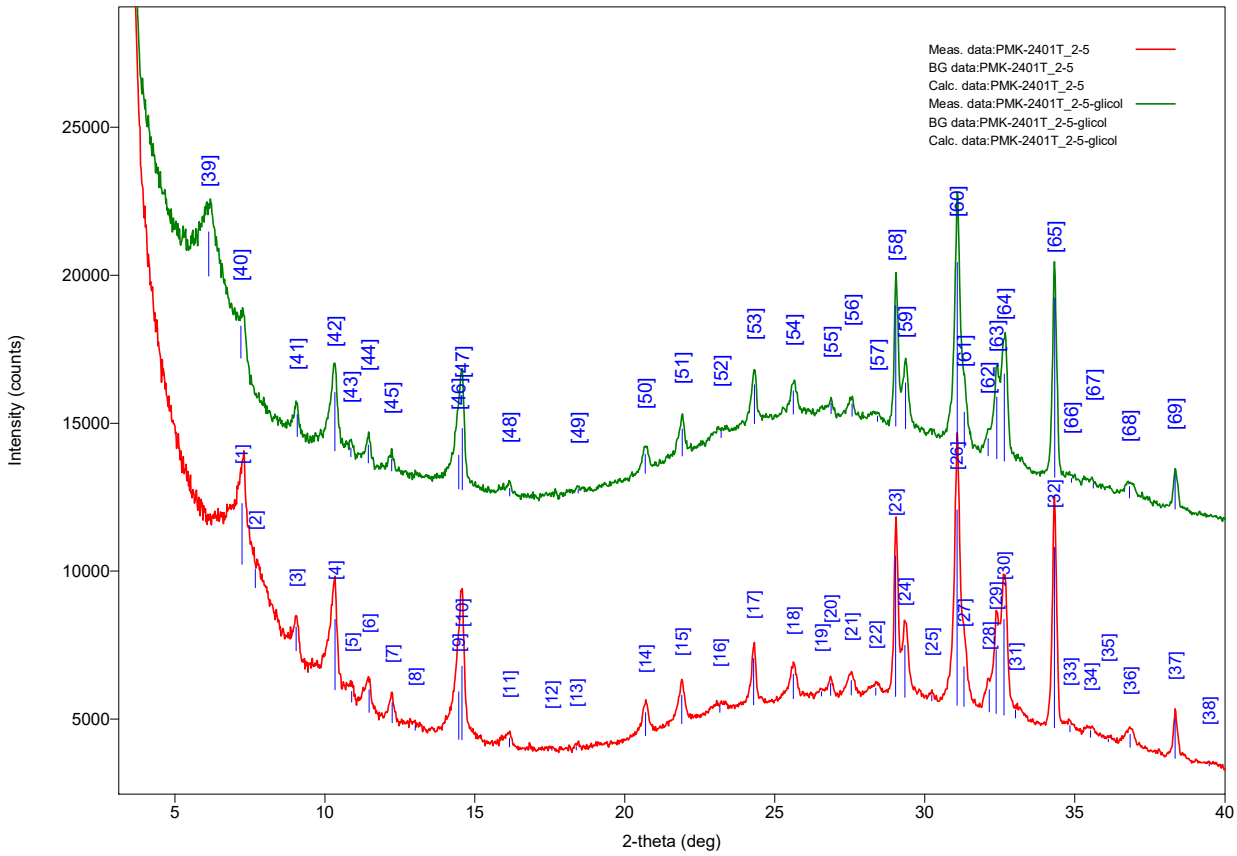

Рисунок А.18 – Дифрактограммы воздушно-сухого (нижняя) и насыщенного этиленгликолем (верхняя) образца ПМК-2401Т_2-5

Таблица А.18 – Дифракционные данные воздушно-сухого и насыщенного этиленгликолем образца ПМК-2401Т_2-5

№	2Θ, град	d,Å	Высота, импульсы	Интегральная интенсивность, импульсы*град	Относительная интегральная интенсивность, отн. ед	Относительная линейная интенсивность, отн. ед
1	7.239(8)	14.169(16)	2054(45)	1083(106)	67.98	31.17
2	7.69(6)	13.34(9)	621(25)	774(109)	48.59	9.42
3	9.047(7)	11.341(8)	801(28)	170(14)	10.67	12.15
4	10.339(7)	9.927(6)	2381(49)	946(19)	59.38	36.14
5	10.899(11)	9.419(10)	360(19)	114(14)	7.16	5.46
6	11.474(8)	8.948(6)	762(28)	277(13)	17.39	11.56
7	12.249(5)	8.384(3)	679(26)	159(9)	10.00	10.30
8	13.02(3)	7.891(16)	157(13)	83(13)	5.21	2.38
9	14.466(18)	7.105(9)	1611(40)	851(117)	53.44	24.45
10	14.572(5)	7.053(2)	2486(50)	561(113)	35.22	37.73
11	16.16(2)	6.365(10)	295(17)	109(10)	6.84	4.48
12	17.57(3)	5.858(11)	53(7)	18(8)	1.13	0.81
13	18.38(3)	5.600(9)	104(10)	100(11)	6.28	1.57
14	20.685(11)	4.982(3)	782(28)	271(7)	17.01	11.86
15	21.895(9)	4.710(2)	955(31)	335(8)	21.03	14.49
16	23.16(3)	4.455(5)	200(14)	171(10)	10.73	3.04
17	24.290(7)	4.2516(11)	1566(40)	326(6)	20.46	23.76
18	25.618(13)	4.035(2)	831(29)	301(8)	18.91	12.61
19	26.559(18)	3.894(3)	146(12)	38(6)	2.39	2.21
20	26.856(8)	3.8519(12)	413(20)	76(5)	4.77	6.27
21	27.543(12)	3.7575(17)	487(22)	147(6)	9.23	7.40

22	28.361(19)	3.651(2)	238(15)	100(7)	6.28	3.61
23	29.027(2)	3.5693(2)	4752(69)	748(12)	46.95	72.10
24	29.340(4)	3.5320(4)	1763(42)	489(12)	30.70	26.76
25	30.230(13)	3.4303(15)	179(13)	17(7)	1.07	2.72
26	31.070(3)	3.3398(4)	6590(81)	1593(94)	100.00	100.00
27	31.303(8)	3.3155(8)	1335(37)	351(90)	22.03	20.26
28	32.146(13)	3.2308(13)	737(27)	193(24)	12.12	11.18
29	32.379(3)	3.2081(3)	2151(46)	344(27)	21.59	32.64
30	32.639(6)	3.1833(5)	3240(57)	809(29)	50.78	49.17
31	33.02(4)	3.147(3)	258(16)	167(33)	10.49	3.92
32	34.3130(17)	3.03232(14)	6102(78)	974(9)	61.14	92.59
33	34.836(13)	2.9882(11)	214(15)	85(8)	5.34	3.25
34	35.524(15)	2.9321(12)	226(15)	113(10)	7.09	3.42
35	36.12(3)	2.885(2)	93(10)	47(10)	2.95	1.41
36	36.843(7)	2.8306(5)	435(21)	196(6)	12.30	6.60
37	38.345(4)	2.7236(3)	1305(36)	191(7)	11.99	19.80
38	39.5(3)	2.649(17)	59(8)	205(34)	12.88	0.89
39	6.13(3)	16.74(9)	1499(39)	1497(66)	98.16	24.28
40	7.202(15)	14.24(3)	1081(33)	439(36)	28.79	17.52
41	9.082(18)	11.30(2)	741(27)	232(12)	15.22	12.01
42	10.332(7)	9.934(6)	1974(44)	783(16)	51.34	31.97
43	10.874(11)	9.440(9)	302(17)	93(13)	6.10	4.89
44	11.449(14)	8.967(11)	613(25)	143(10)	9.38	9.92
45	12.23(2)	8.397(14)	400(20)	87(9)	5.70	6.48
46	14.47(3)	7.104(13)	1146(34)	612(480)	40.13	18.56
47	14.578(5)	7.050(3)	2071(46)	545(473)	35.74	33.55
48	16.160(11)	6.364(4)	252(16)	204(13)	13.38	4.08
49	18.44(2)	5.582(6)	145(12)	85(11)	5.57	2.34
50	20.677(16)	4.984(4)	637(25)	219(8)	14.36	10.31
51	21.917(5)	4.7053(11)	914(30)	294(7)	19.28	14.80
52	23.21(2)	4.446(4)	200(14)	194(12)	12.72	3.24
53	24.316(4)	4.2471(7)	1328(36)	349(7)	22.89	21.52
54	25.612(15)	4.036(2)	785(28)	260(9)	17.05	12.72
55	26.877(7)	3.8488(10)	346(19)	102(6)	6.69	5.61
56	27.575(6)	3.7533(8)	409(20)	95(6)	6.23	6.63
57	28.421(14)	3.6438(18)	177(13)	70(7)	4.59	2.86
58	29.035(2)	3.5683(3)	4068(64)	614(11)	40.26	65.89
59	29.353(4)	3.5305(5)	1550(39)	392(11)	25.70	25.11
60	31.079(3)	3.3388(3)	6173(79)	1525(120)	100.00	100.00
61	31.310(10)	3.3148(10)	1194(35)	304(116)	19.93	19.34
62	32.110(19)	3.2343(19)	579(24)	159(34)	10.43	9.37
63	32.398(6)	3.2063(5)	2082(46)	535(70)	35.08	33.73
64	32.646(8)	3.1826(7)	2947(54)	632(71)	41.44	47.74
65	34.3303(6)	3.03084(5)	6065(78)	891(10)	58.43	98.25
66	34.89(2)	2.9837(19)	125(11)	40(12)	2.62	2.03
67	35.61(3)	2.925(2)	169(13)	133(20)	8.72	2.74
68	36.82(4)	2.833(3)	383(20)	251(11)	16.46	6.20
69	38.342(5)	2.7239(3)	1161(34)	185(5)	12.13	18.81

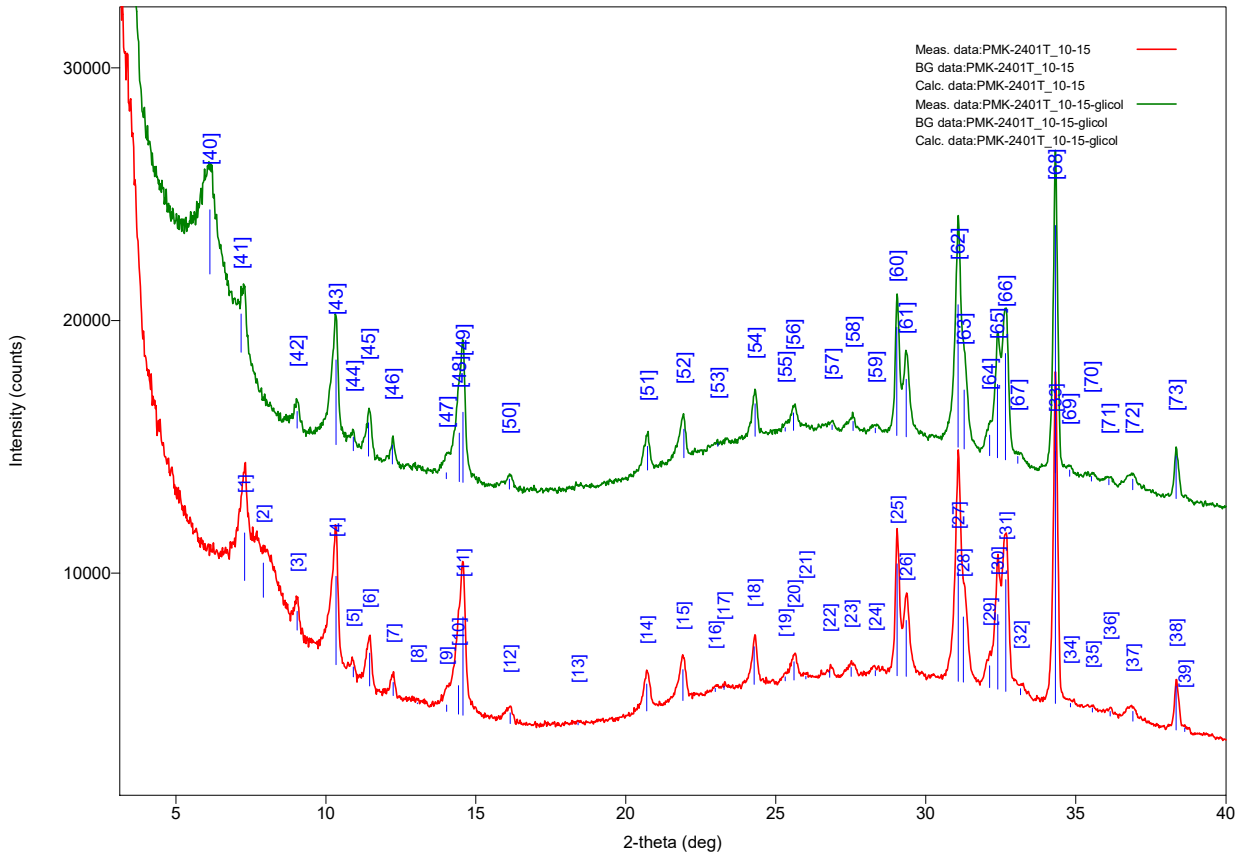

Рисунок А.19 – Дифрактограммы воздушно-сухого (нижняя) и насыщенного этиленгликолем (верхняя) образца ПМК-2401Т_10-15

Таблица А.19 – Дифракционные данные воздушно-сухого и насыщенного этиленгликолем образца ПМК-2401Т_10-15

№	2Θ, град	d,Å	Высота, импульсы	Интегральная интенсивность, импульсы*град	Относительная интегральная интенсивность, отн. ед	Относительная линейная интенсивность, отн. ед
1	7.294(9)	14.061(17)	1883(43)	546(48)	27.28	18.90
2	7.92(4)	12.95(6)	1353(37)	2001(61)	100.00	13.57
3	9.044(8)	11.345(10)	746(27)	128(15)	6.40	7.48
4	10.346(5)	9.921(5)	3502(59)	1254(19)	62.66	35.14
5	10.913(9)	9.406(7)	385(20)	84(11)	4.20	3.86
6	11.462(7)	8.958(6)	1293(36)	300(12)	14.98	12.97
7	12.245(14)	8.387(9)	523(23)	89(9)	4.45	5.25
8	13.06(7)	7.87(4)	27(5)	5(6)	0.27	0.27
9	14.025(10)	7.327(5)	251(16)	51(13)	2.55	2.52
10	14.418(11)	7.128(5)	1135(34)	438(54)	21.89	11.39
11	14.568(3)	7.0549(17)	3886(62)	1293(56)	64.61	38.99
12	16.15(2)	6.368(8)	425(21)	197(10)	9.84	4.27
13	18.41(7)	5.59(2)	87(9)	133(16)	6.65	0.88
14	20.702(8)	4.9783(18)	1063(33)	332(8)	16.59	10.66
15	21.906(7)	4.7076(15)	1218(35)	435(8)	21.74	12.22
16	22.977(16)	4.491(3)	128(11)	31(12)	1.55	1.28
17	23.27(2)	4.435(4)	131(11)	37(12)	1.85	1.32
18	24.274(4)	4.2544(7)	1484(39)	341(8)	17.05	14.89
19	25.315(16)	4.082(2)	161(13)	30(8)	1.50	1.62
20	25.605(5)	4.0366(8)	719(27)	229(11)	11.44	7.22
21	26.002(19)	3.976(3)	108(10)	24(6)	1.20	1.08

22	26.795(12)	3.8604(17)	236(15)	81(7)	4.07	2.37
23	27.512(9)	3.7617(12)	356(19)	133(8)	6.65	3.57
24	28.321(16)	3.656(2)	200(14)	98(9)	4.90	2.01
25	29.038(2)	3.5679(3)	4433(67)	740(13)	36.98	44.48
26	29.345(4)	3.5314(5)	2202(47)	640(15)	31.98	22.09
27	31.0823(18)	3.33848(19)	4446(67)	743(19)	37.13	44.61
28	31.249(5)	3.3211(6)	2580(51)	1276(19)	63.76	25.88
29	32.127(7)	3.2326(6)	859(29)	222(12)	11.09	8.62
30	32.3905(19)	3.20704(18)	2963(54)	548(20)	27.38	29.73
31	32.665(2)	3.1808(2)	4421(66)	1217(24)	60.81	44.35
32	33.15(2)	3.1353(18)	240(15)	119(18)	5.95	2.41
33	34.320(2)	3.03173(18)	9967(100)	1629(14)	81.40	100.00
34	34.82(3)	2.989(3)	142(12)	102(12)	5.10	1.43
35	35.55(3)	2.930(2)	143(12)	75(12)	3.75	1.44
36	36.142(14)	2.8836(11)	185(14)	65(7)	3.25	1.86
37	36.902(8)	2.8262(6)	381(20)	182(7)	9.09	3.83
38	38.344(3)	2.7237(2)	1717(41)	258(14)	12.89	17.22
39	38.63(2)	2.7043(15)	145(12)	36(12)	1.80	1.46
40	6.14(2)	16.69(6)	2531(50)	2078(68)	100.00	25.87
41	7.181(13)	14.28(3)	1508(39)	787(40)	37.88	15.41
42	9.047(18)	11.34(2)	656(26)	144(16)	6.93	6.70
43	10.347(5)	9.920(5)	3347(58)	1245(15)	59.92	34.21
44	10.914(9)	9.405(8)	532(23)	147(10)	7.09	5.43
45	11.427(4)	8.985(3)	1322(36)	318(10)	15.30	13.51
46	12.219(4)	8.405(3)	742(27)	142(8)	6.83	7.59
47	14.013(13)	7.333(7)	239(15)	49(20)	2.36	2.44
48	14.447(15)	7.114(7)	1926(44)	1020(291)	49.09	19.68
49	14.575(4)	7.0518(19)	2768(53)	615(283)	29.60	28.29
50	16.122(16)	6.379(6)	396(20)	150(10)	7.22	4.05
51	20.720(10)	4.974(2)	931(31)	239(10)	11.51	9.52
52	21.929(9)	4.703(2)	1130(34)	359(10)	17.28	11.55
53	23.07(3)	4.473(6)	111(11)	72(12)	3.47	1.13
54	24.310(9)	4.2481(16)	1291(36)	301(9)	14.49	13.20
55	25.31(2)	4.082(3)	142(12)	33(31)	1.59	1.45
56	25.593(18)	4.038(3)	696(26)	262(37)	12.61	7.12
57	26.873(12)	3.8495(16)	183(14)	69(5)	3.32	1.87
58	27.575(6)	3.7532(8)	368(19)	105(5)	5.05	3.76
59	28.31(4)	3.657(5)	179(13)	49(9)	2.36	1.83
60	29.0349(19)	3.5683(2)	4284(65)	715(12)	34.41	43.79
61	29.344(3)	3.5316(4)	2276(48)	646(13)	31.09	23.27
62	31.069(3)	3.3399(3)	5646(75)	1377(105)	66.27	57.71
63	31.275(6)	3.3184(6)	2331(48)	875(108)	42.12	23.83
64	32.126(8)	3.2328(8)	810(28)	195(17)	9.38	8.28
65	32.383(2)	3.2078(2)	2900(54)	521(29)	25.07	29.64
66	32.649(4)	3.1823(4)	4210(65)	1111(31)	53.47	43.04
67	33.07(2)	3.1431(19)	277(17)	146(22)	7.03	2.83
68	34.3151(14)	3.03214(12)	9783(99)	1645(10)	79.17	100.00
69	34.792(12)	2.9918(10)	242(16)	70(8)	3.37	2.47
70	35.51(2)	2.9329(16)	180(13)	106(10)	5.10	1.84
71	36.098(13)	2.8870(10)	205(14)	65(7)	3.13	2.09
72	36.891(9)	2.8270(6)	414(20)	233(8)	11.21	4.23
73	38.339(4)	2.7241(3)	1682(41)	274(6)	13.19	17.19

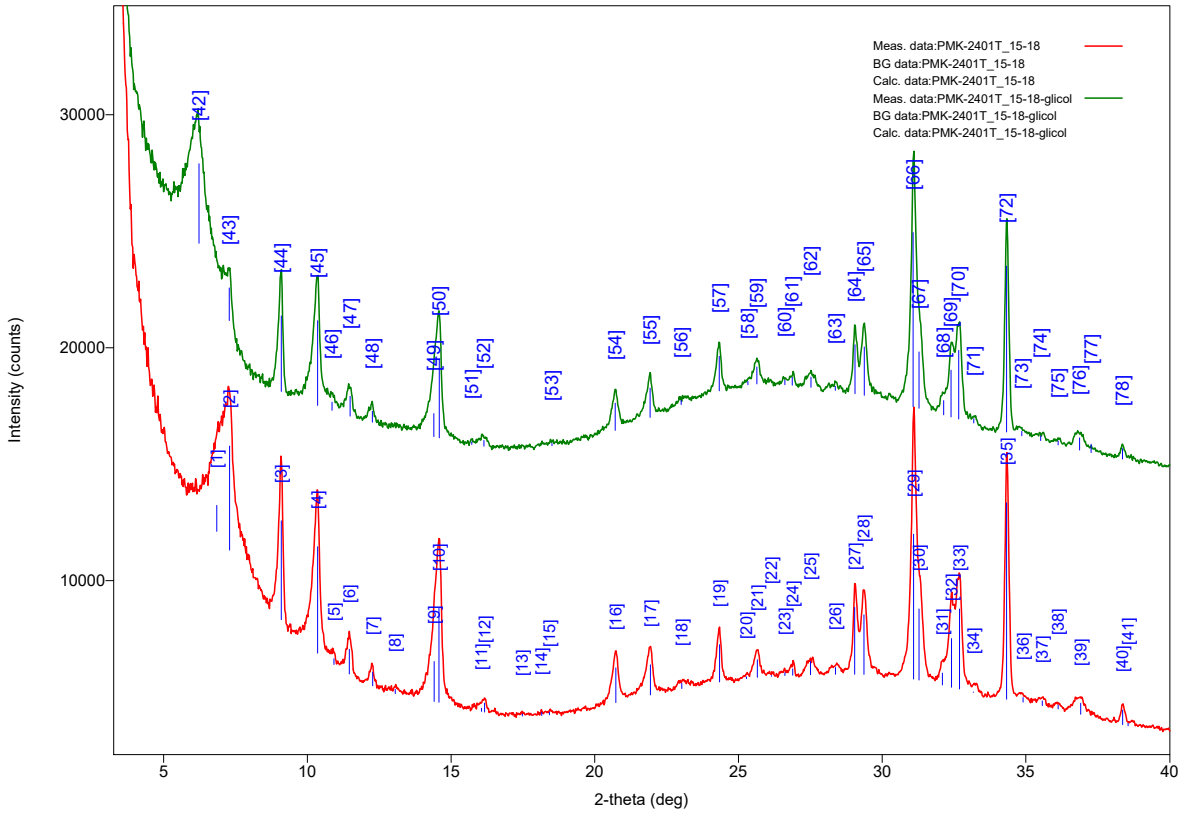

Рисунок А.20 – Дифрактограммы воздушно-сухого (нижняя) и насыщенного этиленгликолем (верхняя) образца ПМК-2401Т_15-18

Таблица А.20 – Дифракционные данные воздушно-сухого и насыщенного этиленгликолем образца ПМК-2401Т_15-18

№	2Θ, град	d,Å	Высота, импульсы	Интегральная интенсивность, импульсы*град	Относительная интегральная интенсивность, отн. ед	Относительная линейная интенсивность, отн. ед
1	6.84(5)	14.99(11)	1115(33)	706(971)	20.64	13.24
2	7.290(8)	14.070(16)	4461(67)	3421(1011)	100.00	52.99
3	9.091(4)	11.287(5)	4254(65)	862(22)	25.20	50.53
4	10.358(5)	9.909(5)	4570(68)	1675(25)	48.96	54.28
5	10.931(13)	9.392(11)	251(16)	45(13)	1.32	2.99
6	11.464(14)	8.956(11)	1063(33)	282(22)	8.24	12.62
7	12.270(7)	8.370(5)	576(24)	107(10)	3.13	6.84
8	13.05(3)	7.869(17)	179(13)	66(22)	1.93	2.12
9	14.41(2)	7.132(10)	1715(41)	931(157)	27.21	20.38
10	14.584(9)	7.047(4)	4042(64)	978(131)	28.59	48.01
11	16.07(8)	6.40(3)	141(12)	50(29)	1.46	1.67
12	16.167(13)	6.361(5)	379(19)	59(11)	1.72	4.50
13	17.48(14)	5.89(5)	91(10)	53(23)	1.55	1.08
14	18.151(13)	5.671(4)	143(12)	8(11)	0.23	1.70
15	18.42(6)	5.588(17)	107(10)	55(25)	1.61	1.27
16	20.728(14)	4.972(3)	1494(39)	510(18)	14.90	17.74
17	21.936(4)	4.7014(8)	1297(36)	470(13)	13.74	15.41
18	23.03(3)	4.481(6)	215(15)	142(25)	4.15	2.56
19	24.340(3)	4.2430(5)	1598(40)	354(11)	10.35	18.98
20	25.27(7)	4.089(12)	69(8)	21(17)	0.61	0.82
21	25.659(11)	4.0283(17)	764(28)	204(23)	5.96	9.08
22	26.1(3)	3.95(5)	37(6)	26(37)	0.76	0.44
23	26.61(3)	3.887(5)	117(11)	21(15)	0.61	1.39

24	26.88(7)	3.848(10)	272(16)	63(23)	1.84	3.23
25	27.503(10)	3.7629(14)	566(24)	194(21)	5.67	6.73
26	28.373(19)	3.650(2)	293(17)	88(19)	2.57	3.48
27	29.044(7)	3.5672(9)	2874(54)	503(63)	14.70	34.14
28	29.362(8)	3.5294(9)	2555(51)	737(71)	21.55	30.35
29	31.097(5)	3.3370(5)	6223(79)	1041(92)	30.43	73.92
30	31.282(7)	3.3177(7)	3057(55)	1447(89)	42.30	36.31
31	32.094(16)	3.2359(15)	503(22)	137(212)	4.01	5.98
32	32.408(10)	3.2053(9)	2085(46)	435(111)	12.72	24.77
33	32.686(5)	3.1788(5)	3442(59)	1112(126)	32.51	40.89
34	33.2(19)	3.13(16)	14(4)	20(57)	0.58	0.17
35	34.329(3)	3.0310(2)	8419(92)	1337(22)	39.08	100.00
36	34.89(3)	2.983(3)	198(14)	85(23)	2.48	2.36
37	35.57(3)	2.929(2)	208(14)	84(13)	2.46	2.47
38	36.12(3)	2.886(2)	166(13)	37(9)	1.08	1.97
39	36.90(2)	2.8263(17)	473(22)	237(14)	6.93	5.62
40	38.363(17)	2.7224(12)	619(25)	77(17)	2.25	7.35
41	38.55(9)	2.710(6)	113(11)	245(35)	7.16	1.35
42	6.234(13)	16.45(3)	3414(58)	3079(62)	100.00	45.69
43	7.281(12)	14.09(2)	1395(37)	430(26)	13.97	18.67
44	9.090(4)	11.288(5)	3247(57)	673(16)	21.86	43.45
45	10.361(5)	9.906(4)	3628(60)	1313(37)	42.64	48.56
46	10.86(2)	9.454(17)	351(19)	215(43)	6.98	4.70
47	11.494(6)	8.933(5)	851(29)	278(13)	9.03	11.39
48	12.265(5)	8.373(4)	461(21)	100(8)	3.25	6.18
49	14.402(18)	7.136(9)	995(32)	505(76)	16.40	13.31
50	14.589(4)	7.0448(17)	3394(58)	1011(74)	32.84	45.42
51	15.721(12)	6.540(5)	118(11)	9(3)	0.29	1.58
52	16.14(3)	6.371(11)	251(16)	98(11)	3.18	3.36
53	18.51(4)	5.561(12)	100(10)	154(16)	5.00	1.33
54	20.709(10)	4.977(2)	1172(34)	430(8)	13.97	15.68
55	21.922(9)	4.7043(19)	1262(36)	460(8)	14.94	16.89
56	23.00(5)	4.486(9)	181(13)	95(11)	3.09	2.43
57	24.334(5)	4.2441(8)	1485(39)	358(6)	11.63	19.88
58	25.33(2)	4.080(4)	144(12)	36(11)	1.17	1.93
59	25.643(15)	4.031(2)	740(27)	209(10)	6.79	9.90
60	26.611(19)	3.887(3)	197(14)	46(9)	1.49	2.63
61	26.871(9)	3.8497(13)	338(18)	63(9)	2.05	4.52
62	27.523(11)	3.7602(14)	437(21)	164(8)	5.33	5.84
63	28.367(19)	3.651(2)	179(13)	63(8)	2.05	2.39
64	29.053(4)	3.5661(4)	2091(46)	376(12)	12.21	27.99
65	29.370(6)	3.5284(7)	2073(46)	547(15)	17.77	27.74
66	31.076(3)	3.3391(4)	7472(86)	1706(88)	55.41	100.00
67	31.285(6)	3.3174(7)	2421(49)	720(90)	23.38	32.40
68	32.132(12)	3.2322(11)	603(25)	151(20)	4.90	8.07
69	32.398(4)	3.2063(4)	1998(45)	403(42)	13.09	26.74
70	32.659(8)	3.1814(7)	2940(54)	788(49)	25.59	39.34
71	33.19(3)	3.132(3)	193(14)	42(12)	1.36	2.59
72	34.327(2)	3.03112(18)	7107(84)	1105(30)	35.89	95.12
73	34.85(4)	2.987(4)	188(14)	87(29)	2.83	2.51
74	35.51(2)	2.9329(16)	197(14)	94(11)	3.05	2.64
75	36.116(18)	2.8856(14)	175(13)	50(7)	1.62	2.34
76	36.864(8)	2.8290(6)	519(23)	258(9)	8.38	6.95
77	37.264(5)	2.7997(4)	352(19)	22(4)	0.71	4.71
78	38.359(8)	2.7227(6)	447(21)	120(8)	3.90	5.98

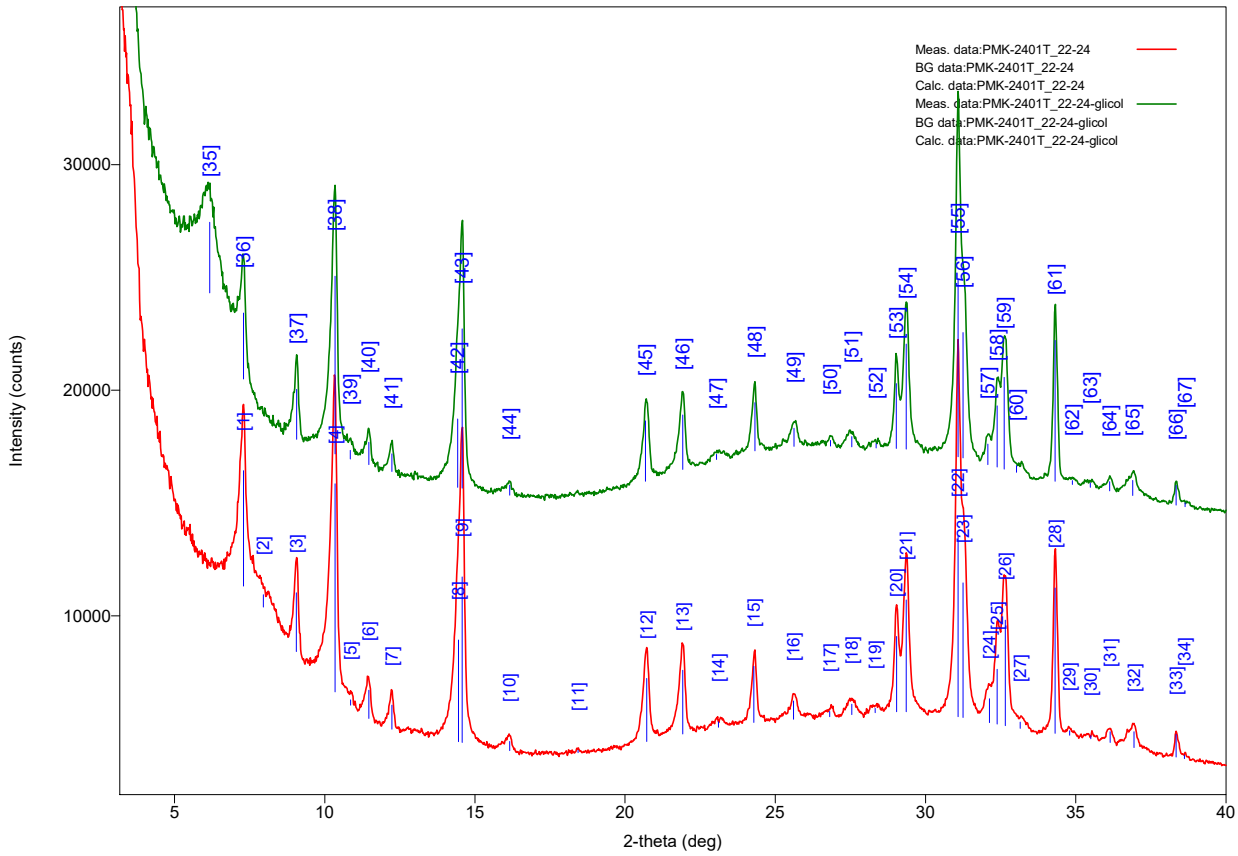

Рисунок А.21 – Дифрактограммы воздушно-сухого (нижняя) и насыщенного этиленгликолем (верхняя) образца ПМК-2401Т_22-24

Таблица А.21 – Дифракционные данные воздушно-сухого и насыщенного этиленгликолем образца ПМК-2401Т_22-24

№	2Θ, град	d,Å	Высота, импульсы	Интегральная интенсивность, импульсы*град	Относительная интегральная интенсивность, отн. ед	Относительная линейная интенсивность, отн. ед
1	7.295(7)	14.059(13)	5121(72)	2045(73)	65.67	55.56
2	7.95(3)	12.90(5)	550(23)	603(96)	19.36	5.96
3	9.059(8)	11.326(10)	2595(51)	483(25)	15.51	28.16
4	10.337(3)	9.929(3)	9218(96)	3114(29)	100.00	100.00
5	10.86(2)	9.454(18)	234(15)	76(21)	2.44	2.54
6	11.467(4)	8.953(3)	1244(35)	322(13)	10.34	13.50
7	12.238(11)	8.391(8)	1066(33)	228(13)	7.32	11.56
8	14.446(3)	7.1143(15)	4509(67)	1852(683)	59.47	48.92
9	14.5773(18	7.0505(9)	7336(86)	1500(13)	48.17	79.59
10	16.159(16)	6.364(6)	403(20)	120(9)	3.85	4.37
11	18.433(15)	5.585(5)	110(10)	28(6)	0.90	1.19
12	20.723(4)	4.9733(10)	2802(53)	805(9)	25.85	30.39
13	21.916(4)	4.7056(9)	2819(53)	866(8)	27.81	30.58
14	23.11(4)	4.466(8)	233(15)	110(12)	3.53	2.53
15	24.280(3)	4.2533(5)	2485(50)	518(9)	16.63	26.95
16	25.605(14)	4.037(2)	812(28)	333(10)	10.69	8.81
17	26.81(2)	3.858(3)	241(16)	80(7)	2.57	2.61
18	27.540(18)	3.758(2)	466(22)	160(9)	5.14	5.05
19	28.32(2)	3.657(3)	192(14)	56(6)	1.80	2.08
20	29.033(2)	3.5686(3)	3334(58)	632(13)	20.30	36.17
21	29.358(3)	3.5298(4)	4951(70)	1338(17)	42.97	53.72

22	31.0811(13	3.33862(14)	8005(89)	1123(24)	36.06	86.85
23	31.252(4)	3.3208(4)	5976(77)	2777(24)	89.18	64.84
24	32.126(7)	3.2328(7)	1062(33)	302(14)	9.70	11.52
25	32.383(2)	3.2078(2)	2426(49)	436(24)	14.00	26.32
26	32.653(2)	3.1819(2)	4669(68)	1341(29)	43.06	50.65
27	33.16(2)	3.1349(18)	271(16)	142(20)	4.56	2.94
28	34.311(2)	3.0325(2)	6437(80)	1030(10)	33.08	69.83
29	34.795(14)	2.9916(11)	207(14)	45(7)	1.45	2.24
30	35.50(3)	2.934(2)	127(11)	39(7)	1.25	1.38
31	36.146(6)	2.8833(5)	468(22)	109(5)	3.50	5.07
32	36.939(8)	2.8235(6)	710(27)	301(9)	9.67	7.70
33	38.344(5)	2.7237(3)	994(32)	127(8)	4.08	10.78
34	38.618(15)	2.7051(10)	156(12)	27(7)	0.87	1.69
35	6.172(18)	16.61(5)	3119(56)	3835(187)	100.00	39.64
36	7.296(8)	14.057(16)	2931(54)	824(32)	21.49	37.25
37	9.062(8)	11.323(10)	2202(47)	453(21)	11.81	27.99
38	10.342(3)	9.925(3)	7869(89)	2578(28)	67.22	100.00
39	10.851(15)	9.460(13)	383(20)	185(29)	4.82	4.87
40	11.469(4)	8.952(3)	998(32)	270(12)	7.04	12.68
41	12.235(11)	8.394(8)	786(28)	138(11)	3.60	9.99
42	14.427(10)	7.124(5)	3035(55)	1190(311)	31.03	38.57
43	14.5746(18	7.0518(8)	7067(84)	1705(308)	44.46	89.81
44	16.159(7)	6.364(3)	447(21)	157(8)	4.10	5.68
45	20.674(2)	4.9849(6)	2671(52)	721(10)	18.80	33.94
46	21.919(5)	4.7050(11)	2411(49)	738(9)	19.24	30.63
47	23.04(3)	4.478(7)	225(15)	90(10)	2.35	2.85
48	24.320(5)	4.2464(9)	2143(46)	470(8)	12.26	27.23
49	25.627(18)	4.033(3)	793(28)	312(10)	8.14	10.08
50	26.841(11)	3.8539(15)	253(16)	74(7)	1.93	3.21
51	27.540(6)	3.7579(9)	452(21)	154(10)	4.02	5.74
52	28.354(14)	3.6521(18)	183(14)	49(6)	1.28	2.33
53	29.031(3)	3.5688(3)	2882(54)	536(13)	13.98	36.63
54	29.360(4)	3.5296(4)	4652(68)	1194(18)	31.13	59.11
55	31.0837(13	3.33834(13)	7864(89)	1135(26)	29.60	99.94
56	31.250(4)	3.3210(4)	5560(75)	2576(22)	67.17	70.65
57	32.071(11)	3.2382(11)	904(30)	255(26)	6.65	11.49
58	32.381(5)	3.2080(5)	2716(52)	647(67)	16.87	34.51
59	32.616(3)	3.1854(3)	4061(64)	817(65)	21.30	51.60
60	33.03(2)	3.1471(18)	303(17)	115(14)	3.00	3.85
61	34.3124(19	3.03237(16)	6249(79)	993(9)	25.89	79.41
62	34.888(18)	2.9839(15)	168(13)	55(8)	1.43	2.13
63	35.483(16)	2.9354(13)	193(14)	78(8)	2.03	2.45
64	36.125(7)	2.8849(5)	404(20)	104(6)	2.71	5.13
65	36.895(7)	2.8267(5)	666(26)	342(9)	8.92	8.46
66	38.341(6)	2.7239(4)	869(29)	112(9)	2.92	11.05
67	38.64(2)	2.7037(16)	164(13)	76(11)	1.98	2.08

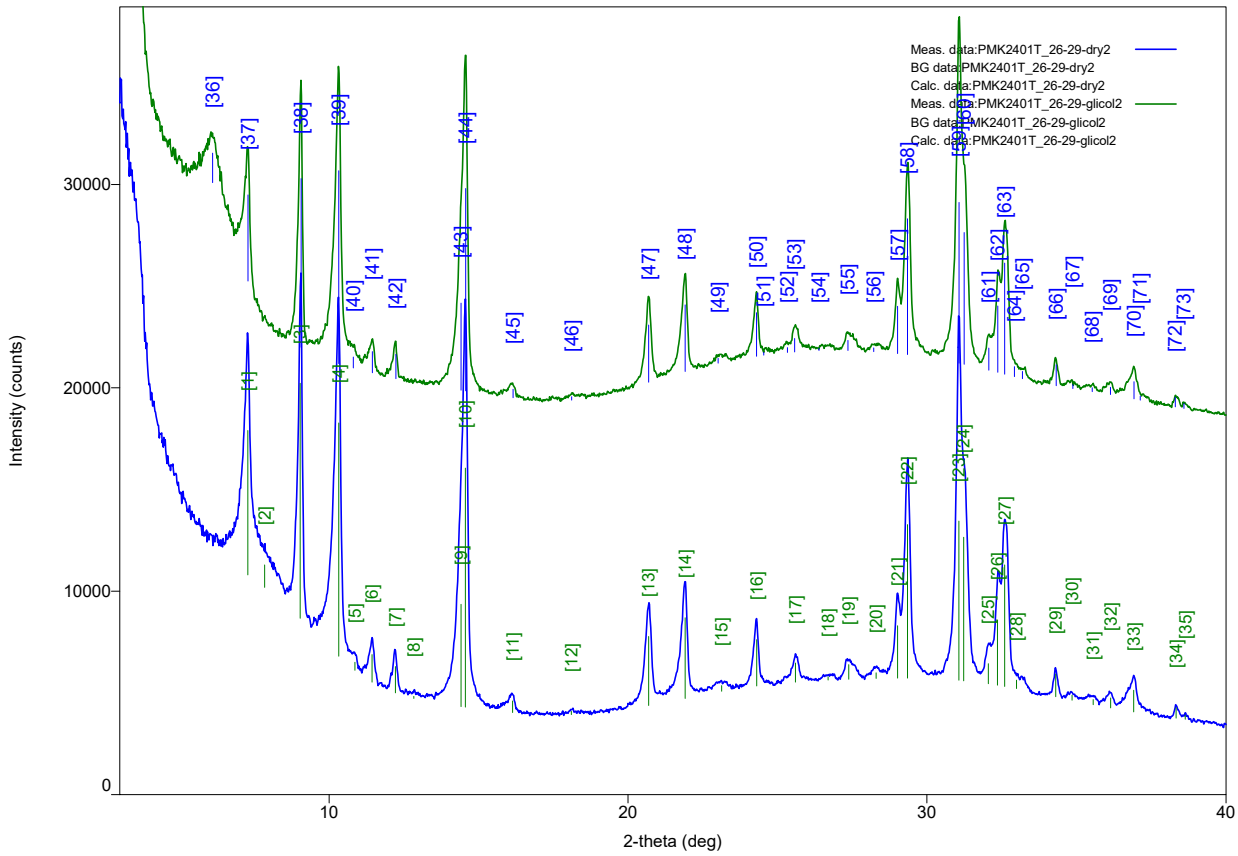

Рисунок А.22 – Дифрактограммы воздушно-сухого (нижняя) и насыщенного этиленгликолем (верхняя) образца ПМК-2401Т_26-29

Таблица А.22 – Дифракционные данные воздушно-сухого и насыщенного этиленгликолем образца ПМК-2401Т_26-29

№	2Θ, град	d,Å	Высота, импульсы	Интегральная интенсивность, импульсы*град	Относительная интегральная интенсивность, отн. ед	Относительная линейная интенсивность, отн. ед
1	7.285(9)	14.080(17)	7095(84)	2823(185)	70.89	60.33
2	7.85(5)	13.07(9)	1111(33)	1642(260)	41.24	9.45
3	9.035(3)	11.357(3)	11559(108)	2201(39)	55.27	98.29
4	10.324(3)	9.942(3)	11478(107)	3982(36)	100.00	97.59
5	10.868(15)	9.446(13)	397(20)	123(25)	3.09	3.38
6	11.444(9)	8.971(7)	1360(37)	373(13)	9.37	11.57
7	12.217(7)	8.406(5)	1304(36)	275(10)	6.91	11.09
8	12.84(3)	8.00(2)	103(10)	44(9)	1.10	0.87
9	14.418(11)	7.128(5)	5020(71)	2077(91)	52.16	42.69
10	14.5647(14)	7.0565(7)	11761(108)	2667(91)	66.98	100.00
11	16.143(17)	6.371(7)	573(24)	225(12)	5.65	4.87
12	18.11(4)	5.685(12)	153(12)	64(8)	1.61	1.30
13	20.696(4)	4.9798(9)	3397(58)	1061(9)	26.64	28.89
14	21.908(3)	4.7072(7)	3968(63)	1302(10)	32.70	33.74
15	23.134(15)	4.461(3)	287(17)	283(13)	7.11	2.44
16	24.305(2)	4.2490(4)	2273(48)	518(7)	13.01	19.33
17	25.603(14)	4.037(2)	935(31)	322(8)	8.09	7.95
18	26.69(2)	3.875(3)	162(13)	65(9)	1.63	1.37
19	27.390(8)	3.7781(11)	709(27)	263(9)	6.60	6.03
20	28.301(14)	3.6588(17)	280(17)	75(11)	1.88	2.38
21	29.0198(19)	3.5701(2)	2566(51)	547(14)	13.74	21.82

22	29.352(2)	3.5305(3)	7542(87)	2060(19)	51.73	64.13
23	31.0647(14)	3.34033(14)	7829(88)	1085(27)	27.25	66.57
24	31.228(4)	3.3233(4)	7052(84)	3241(25)	81.39	59.96
25	32.057(11)	3.2396(11)	992(32)	281(33)	7.06	8.44
26	32.354(3)	3.2105(3)	3189(56)	636(53)	15.97	27.12
27	32.597(5)	3.1873(4)	5967(77)	1553(64)	39.00	50.74
28	33.00(2)	3.150(2)	410(20)	218(27)	5.47	3.49
29	34.309(3)	3.0326(2)	1116(33)	152(6)	3.82	9.49
30	34.851(14)	2.9870(12)	239(15)	57(8)	1.43	2.03
31	35.559(18)	2.9293(14)	256(16)	144(12)	3.61	2.18
32	36.144(7)	2.8835(6)	496(22)	159(9)	3.99	4.21
33	36.921(7)	2.8248(5)	1071(33)	497(9)	12.48	9.11
34	38.338(9)	2.7241(6)	513(23)	72(5)	1.81	4.36
35	38.639(10)	2.7037(7)	208(14)	23(4)	0.58	1.77
36	6.11(3)	16.78(8)	1451(38)	920(55)	28.44	14.58
37	7.292(5)	14.067(9)	4230(65)	1266(24)	39.13	42.51
38	9.067(3)	11.316(4)	8297(91)	1635(27)	50.54	83.38
39	10.328(3)	9.938(3)	9490(97)	3235(51)	100.00	95.36
40	10.809(19)	9.497(17)	537(23)	352(62)	10.88	5.40
41	11.448(5)	8.969(4)	1049(32)	354(19)	10.94	10.54
42	12.241(3)	8.3894(18)	1200(35)	234(11)	7.23	12.06
43	14.422(7)	7.126(4)	4294(66)	1693(189)	52.33	43.15
44	14.5685(14)	7.0547(7)	9951(100)	2087(185)	64.51	100.00
45	16.157(6)	6.365(2)	419(20)	142(11)	4.39	4.21
46	18.11(2)	5.682(8)	162(13)	173(14)	5.35	1.63
47	20.692(4)	4.9807(9)	2815(53)	774(9)	23.93	28.29
48	21.917(3)	4.7054(7)	3273(57)	970(8)	29.98	32.90
49	23.016(12)	4.484(2)	237(15)	117(8)	3.62	2.38
50	24.299(5)	4.2500(9)	2137(46)	475(8)	14.68	21.47
51	24.55(7)	4.208(11)	129(11)	181(25)	5.61	1.29
52	25.33(3)	4.080(5)	242(16)	120(30)	3.71	2.43
53	25.572(5)	4.0417(8)	652(26)	153(25)	4.73	6.55
54	26.39(7)	3.919(10)	110(11)	158(24)	4.88	1.11
55	27.360(6)	3.7822(8)	501(22)	193(16)	5.97	5.04
56	28.225(15)	3.6685(19)	180(13)	66(7)	2.04	1.81
57	29.022(3)	3.5699(4)	2323(48)	502(18)	15.52	23.34
58	29.355(3)	3.5303(4)	6687(82)	1744(25)	53.91	67.20
59	31.0723(15)	3.33954(16)	7901(89)	1250(38)	38.64	79.40
60	31.241(4)	3.3219(4)	6481(81)	3097(33)	95.73	65.13
61	32.073(11)	3.2380(10)	1083(33)	359(34)	11.10	10.89
62	32.365(3)	3.2096(3)	3261(57)	657(54)	20.31	32.77
63	32.596(3)	3.1873(3)	5458(74)	1164(62)	35.98	54.85
64	32.921(12)	3.1568(11)	487(22)	112(22)	3.46	4.89
65	33.197(18)	3.1313(17)	350(19)	80(14)	2.47	3.52
66	34.321(4)	3.0316(4)	1028(32)	170(8)	5.26	10.33
67	34.879(19)	2.9846(16)	203(14)	98(10)	3.03	2.04
68	35.528(18)	2.9318(14)	197(14)	89(9)	2.75	1.97
69	36.134(10)	2.8842(8)	360(19)	104(12)	3.21	3.62
70	36.929(9)	2.8242(7)	845(29)	290(28)	8.96	8.49
71	37.14(5)	2.809(4)	191(14)	234(37)	7.23	1.92
72	38.304(11)	2.7264(8)	476(22)	90(6)	2.78	4.79
73	38.599(9)	2.7064(6)	245(16)	32(4)	0.99	2.46

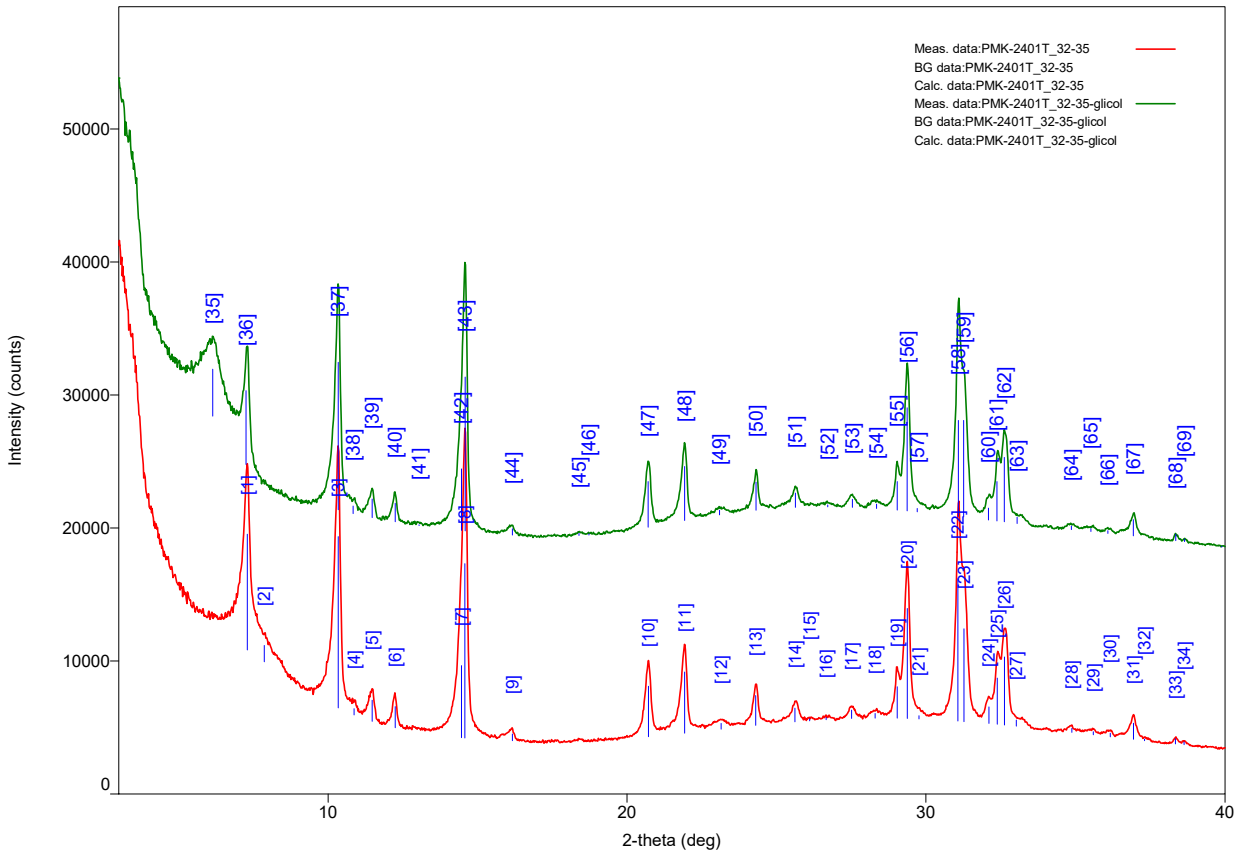

Рисунок А.23 – Дифрактограммы воздушно-сухого (нижняя) и насыщенного этиленгликолем (верхняя) образца ПМК-2401Т_32-35

Таблица А.23 – Дифракционные данные воздушно-сухого и насыщенного этиленгликолем образца ПМК-2401Т_32-35

№	2Θ, град	d,Å	Высота, импульсы	Интегральная интенсивность, импульсы*град	Относительная интегральная интенсивность, отн. ед	Относительная линейная интенсивность, отн. ед
1	7.307(6)	14.037(12)	8704(93)	3841(143)	90.31	66.45
2	7.87(3)	13.03(5)	1222(35)	1660(202)	39.03	9.33
3	10.344(3)	9.922(3)	12889(114)	4253(40)	100.00	98.40
4	10.878(15)	9.437(13)	474(22)	165(31)	3.88	3.62
5	11.480(5)	8.943(4)	1594(40)	470(20)	11.05	12.17
6	12.244(7)	8.387(5)	1594(40)	319(11)	7.50	12.17
7	14.469(8)	7.103(4)	5411(74)	2261(297)	53.16	41.31
8	14.5850(15)	7.0468(7)	13098(114)	2850(293)	67.01	100.00
9	16.166(6)	6.362(2)	520(23)	300(14)	7.05	3.97
10	20.718(4)	4.9745(9)	3788(62)	1115(11)	26.22	28.92
11	21.929(3)	4.7028(7)	4600(68)	1469(12)	34.54	35.12
12	23.150(17)	4.458(3)	423(21)	516(19)	12.13	3.23
13	24.308(7)	4.2485(13)	2254(47)	603(9)	14.18	17.21
14	25.621(11)	4.0342(17)	1029(32)	388(16)	9.12	7.85
15	26.12(3)	3.959(4)	126(11)	34(11)	0.80	0.96
16	26.66(2)	3.880(3)	155(12)	55(9)	1.29	1.19
17	27.513(9)	3.7616(13)	631(25)	181(9)	4.26	4.81
18	28.299(18)	3.659(2)	339(18)	166(10)	3.90	2.59
19	29.042(2)	3.5674(3)	2364(49)	449(17)	10.56	18.05
20	29.375(3)	3.5279(3)	8266(91)	2151(37)	50.58	63.11
21	29.77(3)	3.482(3)	247(16)	94(37)	2.21	1.89

22	31.071(2)	3.3397(2)	10701(103)	2658(110)	62.50	81.70
23	31.270(3)	3.3190(3)	6966(83)	2037(113)	47.90	53.18
24	32.109(7)	3.2344(7)	1260(36)	360(29)	8.46	9.62
25	32.384(3)	3.2077(2)	3471(59)	629(52)	14.79	26.50
26	32.629(5)	3.1842(4)	5118(72)	1198(47)	28.17	39.07
27	33.02(2)	3.147(2)	460(21)	297(38)	6.98	3.51
28	34.879(7)	2.9846(6)	295(17)	67(8)	1.58	2.25
29	35.595(15)	2.9264(12)	229(15)	144(10)	3.39	1.75
30	36.166(8)	2.8818(6)	270(16)	88(7)	2.07	2.06
31	36.948(7)	2.8229(5)	1229(35)	391(7)	9.19	9.38
32	37.31(2)	2.7961(16)	128(11)	110(10)	2.59	0.98
33	38.347(13)	2.7235(9)	376(19)	57(6)	1.34	2.87
34	38.629(16)	2.7044(11)	210(14)	37(4)	0.87	1.60
35	6.15(2)	16.68(6)	3526(59)	4544(97)	100.00	30.46
36	7.257(6)	14.133(11)	5540(74)	1884(66)	41.46	47.86
37	10.347(3)	9.920(3)	11096(105)	3436(50)	75.62	95.85
38	10.841(19)	9.469(17)	562(24)	263(51)	5.79	4.86
39	11.479(5)	8.944(4)	1388(37)	406(19)	8.93	11.99
40	12.247(8)	8.386(6)	1399(37)	294(13)	6.47	12.09
41	13.04(3)	7.88(2)	65(8)	8(9)	0.18	0.56
42	14.47(3)	7.104(13)	4625(68)	1945(679)	42.81	39.95
43	14.5891(16)	7.0448(8)	11576(108)	2386(668)	52.51	100.00
44	16.169(6)	6.360(2)	456(21)	160(10)	3.52	3.94
45	18.39(3)	5.597(10)	166(13)	51(7)	1.12	1.43
46	18.73(3)	5.498(10)	87(9)	26(8)	0.57	0.75
47	20.711(3)	4.9761(7)	3415(58)	972(8)	21.39	29.50
48	21.932(3)	4.7022(7)	4063(64)	1238(8)	27.24	35.10
49	23.10(4)	4.468(7)	331(18)	224(13)	4.93	2.86
50	24.318(4)	4.2468(8)	2105(46)	525(10)	11.55	18.18
51	25.637(15)	4.032(2)	1064(33)	456(12)	10.04	9.19
52	26.71(8)	3.872(11)	147(12)	84(15)	1.85	1.27
53	27.542(5)	3.7577(6)	597(24)	173(10)	3.81	5.16
54	28.344(16)	3.653(2)	329(18)	119(11)	2.62	2.84
55	29.039(2)	3.5679(3)	2139(46)	376(14)	8.27	18.48
56	29.374(2)	3.5280(3)	7756(88)	1944(53)	42.78	67.00
57	29.71(5)	3.489(6)	263(16)	228(63)	5.02	2.27
58	31.0884(12)	3.33785(12)	7204(85)	1080(33)	23.77	62.23
59	31.262(3)	3.3198(3)	7265(85)	3426(30)	75.40	62.75
60	32.089(9)	3.2364(8)	890(30)	243(25)	5.35	7.69
61	32.379(2)	3.2082(2)	2962(54)	547(33)	12.04	25.59
62	32.621(4)	3.1850(4)	4844(70)	1409(44)	31.01	41.84
63	33.046(15)	3.1452(14)	454(21)	280(25)	6.16	3.92
64	34.864(18)	2.9859(15)	256(16)	110(10)	2.42	2.21
65	35.51(2)	2.933(2)	201(14)	109(9)	2.40	1.73
66	36.086(15)	2.8879(11)	195(14)	46(5)	1.01	1.69
67	36.939(10)	2.8235(7)	1228(35)	439(9)	9.66	10.61
68	38.350(5)	2.7233(3)	494(22)	57(4)	1.25	4.26
69	38.649(7)	2.7031(5)	210(15)	20(3)	0.44	1.82
70	39.90(14)	2.622(9)	49(7)	45(16)	0.99	0.42

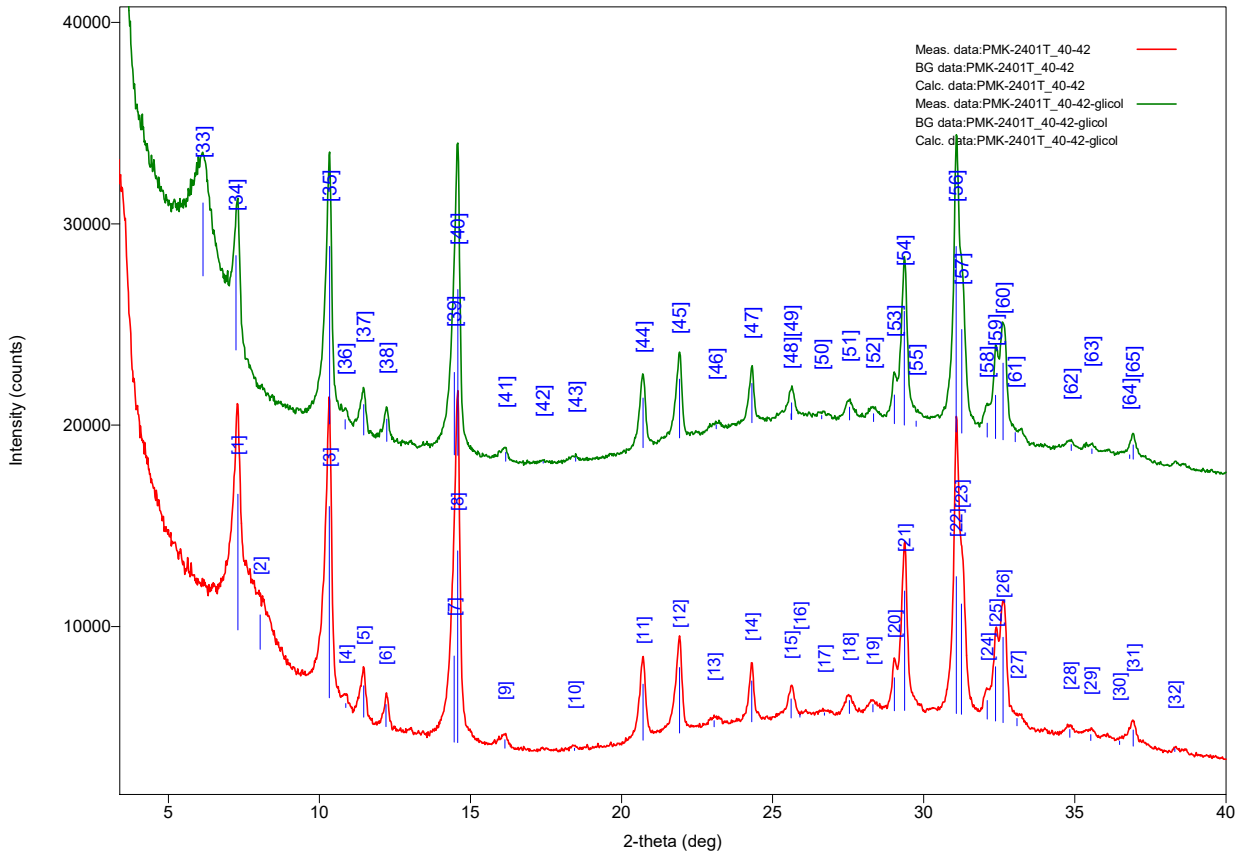

Рисунок А.24 – Дифрактограммы воздушно-сухого (нижняя) и насыщенного этиленгликолем (верхняя) образца ПМК-2401Т_40-42

Таблица А.24 – Дифракционные данные воздушно-сухого и насыщенного этиленгликолем образца ПМК-2401Т_40-42

№	2Θ, град	d,Å	Высота, импульсы	Интегральная интенсивность, импульсы*град	Относительная интегральная интенсивность, отн. ед	Относительная линейная интенсивность, отн. ед
1	7.298(6)	14.054(12)	6748(82)	3326(118)	100.00	70.87
2	8.041(17)	12.76(3)	1706(41)	2265(145)	68.10	17.91
3	10.330(4)	9.936(3)	9490(97)	3137(33)	94.32	99.68
4	10.87(3)	9.44(3)	202(14)	67(16)	2.01	2.12
5	11.468(4)	8.953(3)	1557(39)	383(17)	11.52	16.35
6	12.200(4)	8.418(3)	1092(33)	190(14)	5.71	11.47
7	14.46(4)	7.11(2)	4275(65)	1821(975)	54.75	44.90
8	14.576(3)	7.0512(14)	9520(98)	2118(959)	63.68	100.00
9	16.14(2)	6.373(8)	428(21)	182(10)	5.47	4.49
10	18.44(5)	5.581(14)	108(10)	106(13)	3.19	1.13
11	20.706(4)	4.9773(9)	2787(53)	823(8)	24.75	29.27
12	21.914(3)	4.7060(6)	3252(57)	1058(7)	31.81	34.16
13	23.07(3)	4.474(6)	307(18)	215(11)	6.46	3.23
14	24.306(2)	4.2488(4)	2027(45)	460(8)	13.83	21.29
15	25.609(9)	4.0360(14)	952(31)	252(8)	7.58	9.99
16	25.90(5)	3.992(7)	157(13)	264(22)	7.94	1.65
17	26.71(2)	3.872(3)	131(11)	54(11)	1.62	1.37
18	27.536(5)	3.7585(7)	640(25)	210(8)	6.31	6.73
19	28.316(9)	3.6570(11)	350(19)	118(8)	3.55	3.67
20	29.032(2)	3.5686(3)	1639(40)	297(12)	8.93	17.21
21	29.365(3)	3.5290(3)	5928(77)	1607(18)	48.33	62.27

22	31.0840(15)	3.33831(16)	6797(82)	941(24)	28.29	71.39
23	31.248(4)	3.3213(5)	5472(74)	2544(23)	76.49	57.48
24	32.103(8)	3.2350(8)	929(30)	247(22)	7.43	9.76
25	32.375(3)	3.2085(3)	2693(52)	529(48)	15.90	28.28
26	32.629(6)	3.1842(6)	4237(65)	1134(55)	34.10	44.51
27	33.09(4)	3.141(4)	361(19)	230(59)	6.92	3.79
28	34.840(15)	2.9879(12)	377(19)	152(16)	4.57	3.96
29	35.53(2)	2.9315(17)	305(17)	227(43)	6.83	3.21
30	36.48(9)	2.858(7)	171(13)	243(63)	7.31	1.80
31	36.930(10)	2.8241(7)	800(28)	288(29)	8.66	8.40
32	38.31(5)	2.726(3)	146(12)	37(9)	1.11	1.53
33	6.14(2)	16.69(5)	3630(60)	4245(86)	100.00	39.34
34	7.243(6)	14.162(11)	4683(68)	1570(51)	36.98	50.75
35	10.337(3)	9.929(3)	8826(94)	2935(28)	69.14	95.66
36	10.853(12)	9.458(11)	474(22)	213(27)	5.02	5.14
37	11.467(4)	8.954(3)	1498(39)	459(14)	10.81	16.23
38	12.227(9)	8.399(6)	1113(33)	273(10)	6.43	12.06
39	14.468(15)	7.103(7)	4097(64)	1768(339)	41.65	44.40
40	14.579(2)	7.0497(10)	8244(91)	1760(334)	41.46	89.35
41	16.166(5)	6.3617(19)	441(21)	183(9)	4.31	4.78
42	17.40(2)	5.912(7)	87(9)	30(4)	0.71	0.95
43	18.476(13)	5.572(4)	187(14)	77(6)	1.81	2.02
44	20.710(4)	4.9763(9)	2472(50)	662(9)	15.59	26.79
45	21.918(3)	4.7052(7)	2915(54)	832(8)	19.60	31.59
46	23.14(4)	4.460(8)	208(14)	75(11)	1.77	2.25
47	24.318(3)	4.2468(4)	1944(44)	442(7)	10.41	21.07
48	25.615(18)	4.035(3)	277(17)	244(27)	5.75	3.00
49	25.628(4)	4.0330(6)	823(29)	201(28)	4.73	8.92
50	26.62(2)	3.885(3)	172(13)	119(11)	2.80	1.87
51	27.550(6)	3.7566(7)	633(25)	225(7)	5.30	6.86
52	28.337(10)	3.6543(12)	393(20)	187(9)	4.41	4.26
53	29.029(3)	3.5690(3)	1426(38)	298(15)	7.02	15.45
54	29.358(3)	3.5298(3)	5647(75)	1486(25)	35.01	61.20
55	29.75(6)	3.484(7)	273(17)	252(23)	5.94	2.96
56	31.0693(16)	3.33985(17)	9227(96)	2000(75)	47.11	100.00
57	31.257(3)	3.3203(3)	5139(72)	1912(80)	45.04	55.69
58	32.099(7)	3.2354(6)	693(26)	178(17)	4.19	7.51
59	32.373(2)	3.2088(2)	2147(46)	374(28)	8.81	23.27
60	32.629(5)	3.1843(5)	3804(62)	1279(60)	30.13	41.22
61	33.03(4)	3.147(3)	459(21)	432(71)	10.18	4.98
62	34.882(12)	2.9844(10)	293(17)	120(11)	2.83	3.17
63	35.563(14)	2.9290(11)	228(15)	105(12)	2.47	2.47
64	36.81(4)	2.833(3)	188(14)	336(14)	7.92	2.04
65	36.933(5)	2.8239(3)	709(27)	152(5)	3.58	7.68

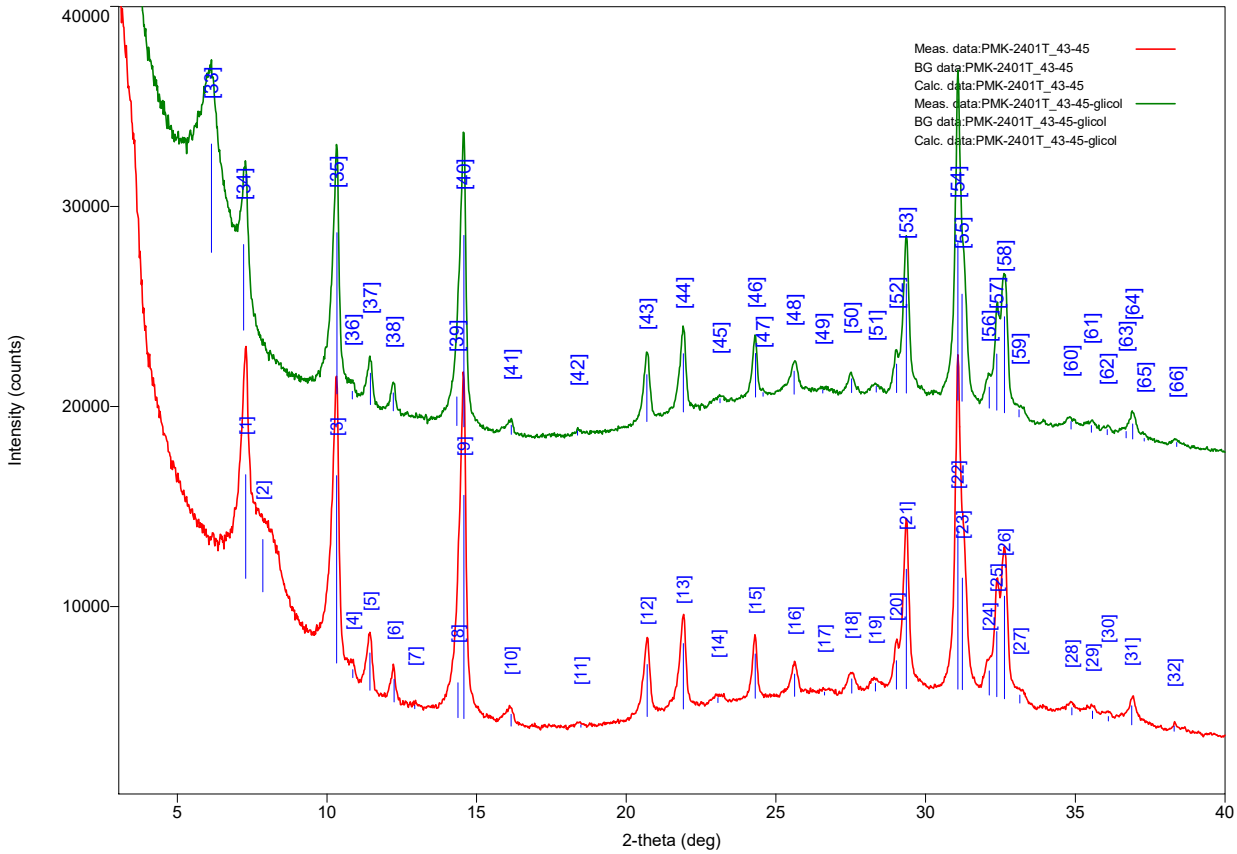

Рисунок А.25 – Дифрактограммы воздушно-сухого (нижняя) и насыщенного этиленгликолем (верхняя) образца ПМК-2401Т_43-45

Таблица А.25 – Дифракционные данные воздушно-сухого и насыщенного этиленгликолем образца ПМК-2401Т_43-45

№	2Θ, град	d,Å	Высота, импульсы	Интегральная интенсивность, импульсы*град	Относительная интегральная интенсивность, отн. ед	Относительная линейная интенсивность, отн. ед
1	7.287(6)	14.075(11)	5186(72)	1549(78)	38.13	46.43
2	7.86(3)	13.05(4)	2618(51)	4062(75)	100.00	23.44
3	10.326(3)	9.940(3)	9365(97)	3420(30)	84.19	83.85
4	10.866(11)	9.447(10)	412(20)	97(17)	2.39	3.69
5	11.440(6)	8.975(5)	1868(43)	461(14)	11.35	16.72
6	12.242(3)	8.3891(18)	1151(34)	256(10)	6.30	10.31
7	12.94(5)	7.94(3)	162(13)	64(12)	1.58	1.45
8	14.38(2)	7.149(10)	1730(42)	844(131)	20.78	15.49
9	14.573(2)	7.0528(10)	11170(106)	3273(129)	80.58	100.00
10	16.15(2)	6.368(9)	590(24)	350(15)	8.62	5.28
11	18.48(3)	5.569(8)	126(11)	140(17)	3.45	1.13
12	20.698(4)	4.9791(10)	2606(51)	821(9)	20.22	23.33
13	21.911(4)	4.7067(8)	3277(57)	1076(9)	26.49	29.34
14	23.07(3)	4.474(6)	248(16)	104(10)	2.56	2.22
15	24.309(4)	4.2484(7)	2215(47)	477(7)	11.75	19.83
16	25.631(4)	4.0326(6)	1117(33)	402(10)	9.90	10.00
17	26.62(3)	3.885(4)	159(13)	165(16)	4.06	1.42
18	27.539(5)	3.7581(7)	717(27)	260(8)	6.40	6.42
19	28.321(9)	3.6563(12)	390(20)	169(9)	4.16	3.49
20	29.025(3)	3.5695(4)	1420(38)	317(15)	7.80	12.72
21	29.355(3)	3.5302(3)	5960(77)	1643(22)	40.45	53.36

22	31.0762(13	3.33912(13)	8035(90)	1145(22)	28.20	71.94
23	31.230(4)	3.3231(4)	5572(75)	2614(22)	64.35	49.89
24	32.129(6)	3.2324(6)	1202(35)	348(14)	8.57	10.76
25	32.3768(16	3.20837(16)	3266(57)	560(24)	13.79	29.24
26	32.6396(19	3.18323(18)	5133(72)	1479(29)	36.41	45.96
27	33.148(15)	3.1357(14)	407(20)	260(22)	6.40	3.65
28	34.885(18)	2.9841(15)	369(19)	196(25)	4.83	3.30
29	35.58(2)	2.9277(18)	373(19)	241(20)	5.93	3.34
30	36.106(19)	2.8864(15)	224(15)	82(16)	2.02	2.01
31	36.887(10)	2.8273(8)	955(31)	544(10)	13.39	8.55
32	38.30(4)	2.727(2)	250(16)	117(10)	2.88	2.23
33	6.139(18)	16.70(5)	5419(74)	6608(118)	100.00	56.59
34	7.216(7)	14.214(13)	4268(65)	1757(74)	26.59	44.57
35	10.335(4)	9.931(4)	8047(90)	2835(38)	42.90	84.03
36	10.848(18)	9.463(16)	393(20)	151(33)	2.29	4.11
37	11.457(5)	8.961(4)	1567(40)	418(18)	6.33	16.36
38	12.219(14)	8.404(9)	895(30)	157(15)	2.38	9.35
39	14.342(15)	7.166(8)	1437(38)	676(64)	10.23	15.00
40	14.579(2)	7.0495(10)	9576(98)	2613(66)	39.54	100.00
41	16.161(5)	6.364(2)	452(21)	145(11)	2.19	4.72
42	18.374(10)	5.603(3)	217(15)	76(7)	1.15	2.27
43	20.691(4)	4.9809(10)	2353(49)	668(9)	10.11	24.57
44	21.911(4)	4.7067(9)	2904(54)	886(10)	13.41	30.33
45	23.14(4)	4.460(8)	209(14)	76(11)	1.15	2.18
46	24.314(4)	4.2475(6)	2178(47)	475(8)	7.19	22.74
47	24.570(8)	4.2039(13)	178(13)	19(5)	0.29	1.86
48	25.613(9)	4.0353(15)	1147(34)	519(12)	7.85	11.98
49	26.57(3)	3.893(4)	170(13)	147(15)	2.22	1.78
50	27.527(7)	3.7597(9)	682(26)	172(9)	2.60	7.13
51	28.349(11)	3.6527(14)	288(17)	88(9)	1.33	3.01
52	29.030(4)	3.5689(5)	1418(38)	344(12)	5.21	14.81
53	29.358(4)	3.5299(4)	5471(74)	1368(12)	20.70	57.13
54	31.0756(14	3.33919(14)	7875(89)	1131(25)	17.12	82.24
55	31.219(4)	3.3243(4)	5356(73)	2550(24)	38.59	55.93
56	32.124(5)	3.2330(5)	1045(32)	275(12)	4.16	10.91
57	32.3752(18	3.20852(17)	2816(53)	463(21)	7.01	29.41
58	32.637(2)	3.1835(2)	4807(69)	1441(29)	21.81	50.19
59	33.119(17)	3.1384(15)	361(19)	227(22)	3.44	3.77
60	34.86(2)	2.9863(17)	372(19)	214(20)	3.24	3.89
61	35.54(2)	2.9308(19)	335(18)	199(14)	3.01	3.49
62	36.07(2)	2.8890(16)	251(16)	77(12)	1.17	2.62
63	36.70(19)	2.841(14)	318(18)	189(159)	2.86	3.32
64	36.918(12)	2.8251(9)	754(27)	180(112)	2.72	7.87
65	37.31(11)	2.797(8)	130(11)	99(72)	1.50	1.36
66	38.39(2)	2.7208(16)	206(14)	100(9)	1.51	2.15

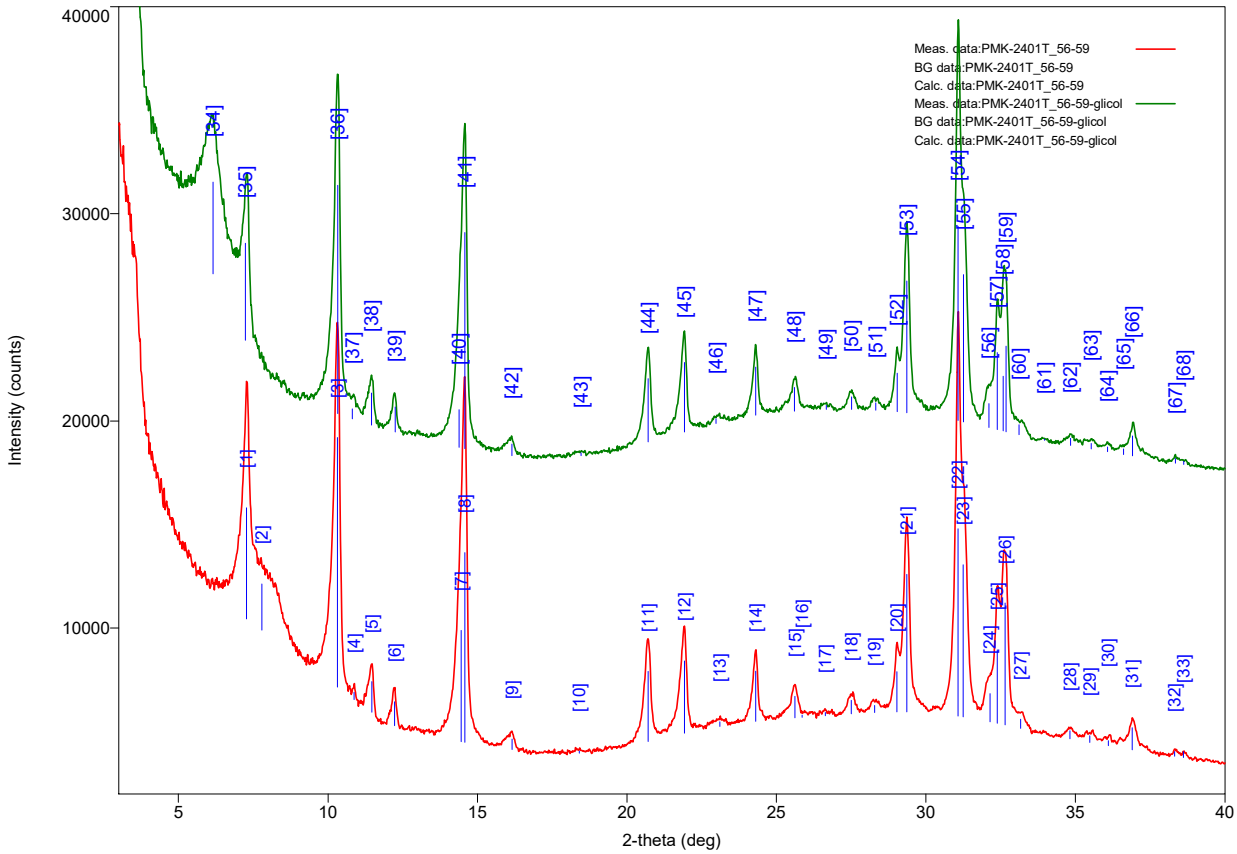

Рисунок А.26 – Дифрактограммы воздушно-сухого (нижняя) и насыщенного этиленгликолем (верхняя) образца ПМК-2401Т_56-59

Таблица А.26 – Дифракционные данные воздушно-сухого и насыщенного этиленгликолем образца ПМК-2401Т_56-59

№	2Θ, град	d,Å	Высота, импульсы	Интегральная интенсивность, импульсы*град	Относительная интегральная интенсивность, отн. ед	Относительная линейная интенсивность, отн. ед
1	7.277(5)	14.094(10)	5357(73)	1576(79)	39.48	44.50
2	7.79(3)	13.17(5)	2228(47)	3652(62)	91.48	18.51
3	10.320(3)	9.946(3)	12037(110)	3992(31)	100.00	100.00
4	10.878(7)	9.437(6)	352(19)	32(9)	0.80	2.93
5	11.467(10)	8.954(8)	1478(38)	328(19)	8.22	12.28
6	12.234(13)	8.394(9)	1150(34)	225(15)	5.64	9.56
7	14.454(8)	7.110(4)	5383(73)	2404(181)	60.22	44.72
8	14.5795(18)	7.0494(9)	9158(96)	1920(177)	48.10	76.08
9	16.157(15)	6.365(6)	505(22)	177(11)	4.43	4.20
10	18.40(2)	5.594(7)	112(11)	103(12)	2.59	0.93
11	20.710(4)	4.9764(9)	3369(58)	1056(10)	26.45	27.99
12	21.919(4)	4.7049(8)	3486(59)	1183(10)	29.64	28.96
13	23.110(17)	4.465(3)	216(15)	152(11)	3.81	1.79
14	24.310(5)	4.2481(9)	2426(49)	593(9)	14.85	20.15
15	25.623(3)	4.0339(5)	1030(32)	350(11)	8.77	8.56
16	25.86(6)	3.998(9)	97(10)	152(19)	3.81	0.81
17	26.630(16)	3.884(2)	150(12)	40(9)	1.00	1.25
18	27.500(13)	3.7633(18)	645(25)	202(8)	5.06	5.36
19	28.283(16)	3.661(2)	338(18)	122(7)	3.06	2.81
20	29.033(3)	3.5685(4)	1932(44)	436(19)	10.92	16.05
21	29.359(3)	3.5297(4)	6634(81)	1848(26)	46.29	55.11

22	31.0759(13)	3.33916(14)	9033(95)	1344(31)	33.67	75.05
23	31.249(4)	3.3211(4)	7342(86)	3441(30)	86.20	61.00
24	32.140(7)	3.2314(7)	1353(37)	436(21)	10.92	11.24
25	32.3843(18)	3.20765(17)	3533(59)	608(32)	15.23	29.35
26	32.648(2)	3.18243(19)	5881(77)	1775(33)	44.47	48.86
27	33.164(12)	3.1342(11)	441(21)	237(20)	5.94	3.67
28	34.816(12)	2.9899(10)	395(20)	115(14)	2.88	3.28
29	35.48(2)	2.9356(18)	326(18)	214(28)	5.36	2.70
30	36.104(19)	2.8865(15)	248(16)	108(21)	2.71	2.06
31	36.898(14)	2.8265(10)	1054(32)	477(15)	11.95	8.76
32	38.32(3)	2.7256(17)	227(15)	52(6)	1.30	1.88
33	38.613(9)	2.7055(6)	279(17)	26(4)	0.65	2.32
34	6.16(2)	16.65(6)	4424(67)	5579(108)	100.00	40.21
35	7.238(6)	14.171(12)	4688(68)	1725(66)	30.92	42.60
36	10.325(3)	9.941(3)	11004(105)	3573(43)	64.04	100.00
37	10.81(3)	9.50(2)	476(22)	368(34)	6.60	4.32
38	11.454(5)	8.964(4)	1539(39)	462(20)	8.28	13.99
39	12.250(8)	8.383(5)	1205(35)	246(12)	4.41	10.95
40	14.383(10)	7.145(5)	1819(43)	739(114)	13.25	16.53
41	14.5824(18)	7.0480(9)	10420(102)	3100(115)	55.57	94.69
42	16.15(2)	6.368(8)	553(24)	319(11)	5.72	5.02
43	18.47(8)	5.57(2)	123(11)	91(11)	1.63	1.12
44	20.714(4)	4.9755(10)	3055(55)	929(10)	16.65	27.76
45	21.920(4)	4.7048(9)	3346(58)	1098(10)	19.68	30.41
46	22.983(14)	4.490(3)	214(15)	87(12)	1.56	1.94
47	24.312(6)	4.2479(10)	2323(48)	586(10)	10.50	21.11
48	25.605(11)	4.0366(17)	1132(34)	457(10)	8.19	10.29
49	26.665(17)	3.879(2)	197(14)	86(10)	1.54	1.79
50	27.515(7)	3.7613(9)	617(25)	181(8)	3.24	5.61
51	28.322(11)	3.6562(14)	362(19)	114(10)	2.04	3.29
52	29.037(4)	3.5680(4)	1850(43)	451(20)	8.09	16.81
53	29.360(3)	3.5296(4)	6349(80)	1667(30)	29.88	57.70
54	31.0769(15)	3.33905(16)	9378(97)	1571(55)	28.16	85.23
55	31.252(4)	3.3208(4)	7103(84)	3320(49)	59.51	64.55
56	32.110(6)	3.2343(6)	1162(34)	319(27)	5.72	10.56
57	32.387(4)	3.2074(4)	3717(61)	745(59)	13.36	33.78
58	32.579(8)	3.1890(7)	2637(51)	545(203)	9.77	23.97
59	32.679(9)	3.1795(9)	4121(64)	964(194)	17.28	37.45
60	33.11(4)	3.139(3)	477(22)	324(85)	5.81	4.34
61	33.96(4)	3.062(4)	53(7)	7(7)	0.13	0.48
62	34.839(18)	2.9880(15)	330(18)	179(15)	3.21	2.99
63	35.53(3)	2.932(2)	259(16)	181(17)	3.25	2.35
64	36.076(18)	2.8887(14)	223(15)	70(11)	1.25	2.03
65	36.61(3)	2.848(2)	271(16)	125(26)	2.24	2.46
66	36.912(9)	2.8255(7)	966(31)	311(28)	5.57	8.78
67	38.343(14)	2.7238(10)	223(15)	24(10)	0.43	2.03
68	38.62(4)	2.705(3)	139(12)	52(8)	0.93	1.26

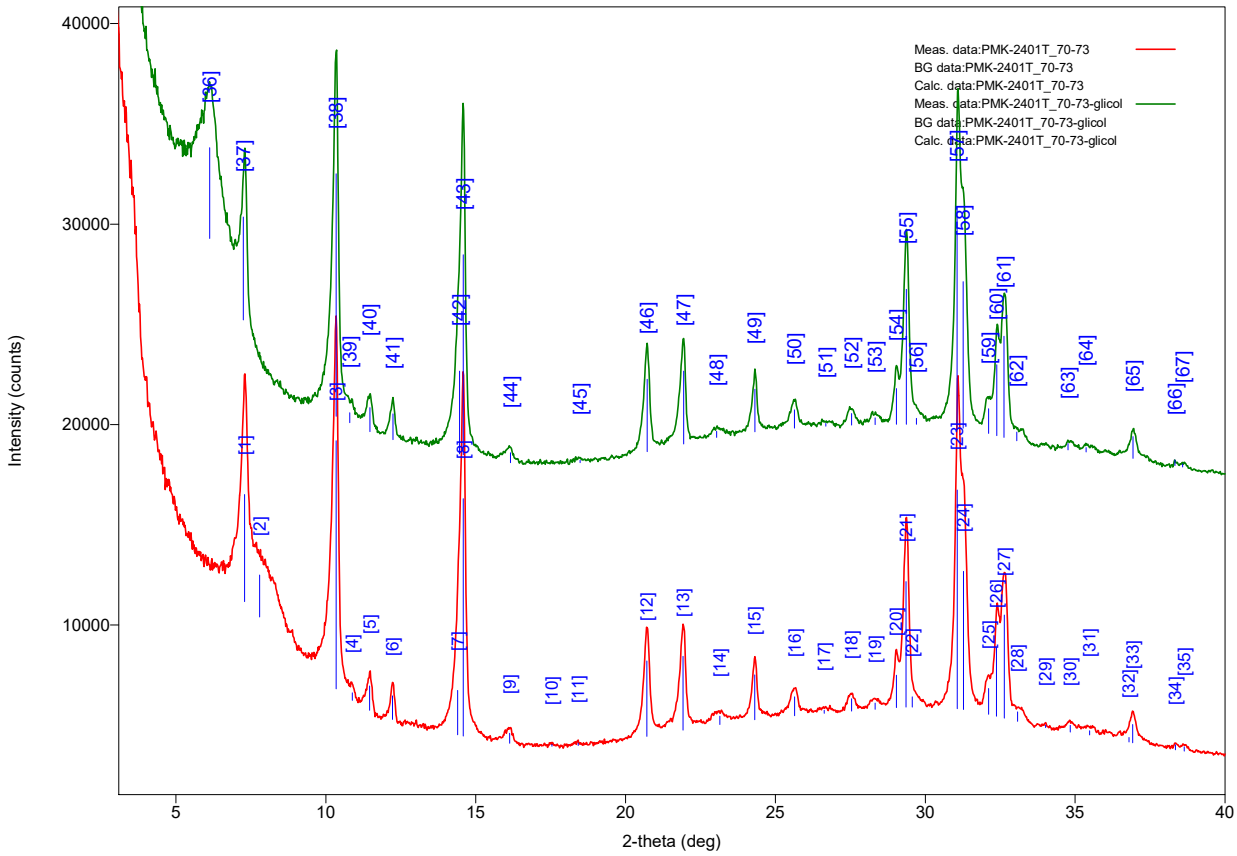

Рисунок А.27 – Дифрактограммы воздушно-сухого (нижняя) и насыщенного этиленгликолем (верхняя) образца ПМК-2401Т_70-73

Таблица А.27 – Дифракционные данные воздушно-сухого и насыщенного этиленгликолем образца ПМК-2401Т_70-73

№	2Θ, град	d,Å	Высота, импульсы	Интегральная интенсивность, импульсы*град	Относительная интегральная интенсивность, отн. ед	Относительная линейная интенсивность, отн. ед
1	7.292(8)	14.066(16)	5339(73)	1453(114)	34.66	43.15
2	7.79(5)	13.16(8)	2087(46)	3231(95)	77.06	16.86
3	10.3450(18	9.9217(17)	12373(111)	4193(22)	100.00	100.00
4	10.878(10)	9.437(8)	379(19)	114(16)	2.72	3.06
5	11.462(10)	8.958(8)	1218(35)	288(14)	6.87	9.85
6	12.227(10)	8.399(7)	1177(34)	188(15)	4.48	9.51
7	14.400(14)	7.137(7)	2216(47)	830(138)	19.79	17.91
8	14.5906(19	7.0441(9)	11844(109)	3057(135)	72.91	95.72
9	16.13(2)	6.374(8)	495(22)	193(12)	4.60	4.00
10	17.54(5)	5.866(18)	92(10)	33(7)	0.79	0.75
11	18.419(17)	5.589(5)	116(11)	30(6)	0.72	0.94
12	20.715(4)	4.9751(8)	3760(61)	1099(9)	26.21	30.39
13	21.921(4)	4.7045(8)	3682(61)	1148(10)	27.38	29.76
14	23.146(15)	4.459(3)	403(20)	394(14)	9.40	3.25
15	24.307(7)	4.2487(11)	2241(47)	572(8)	13.64	18.11
16	25.641(11)	4.0311(18)	929(30)	402(11)	9.59	7.51
17	26.63(3)	3.884(4)	146(12)	114(12)	2.72	1.18
18	27.542(9)	3.7577(12)	614(25)	192(8)	4.58	4.96
19	28.328(14)	3.6555(18)	310(18)	131(8)	3.12	2.51
20	29.035(3)	3.5683(3)	1622(40)	314(15)	7.49	13.11
21	29.362(3)	3.5294(3)	6263(79)	1473(26)	35.13	50.62

22	29.57(5)	3.505(6)	503(22)	290(22)	6.92	4.06
23	31.070(3)	3.3397(3)	10911(104)	2713(166)	64.70	88.19
24	31.276(3)	3.3183(3)	6891(83)	1860(168)	44.36	55.70
25	32.118(8)	3.2336(8)	1285(36)	352(29)	8.39	10.39
26	32.381(2)	3.2080(2)	3433(59)	589(43)	14.05	27.74
27	32.633(5)	3.1838(5)	5136(72)	1277(45)	30.46	41.51
28	33.087(15)	3.1414(14)	477(22)	256(24)	6.11	3.86
29	34.013(13)	3.0583(11)	122(11)	18(6)	0.43	0.98
30	34.84(2)	2.9876(17)	322(18)	151(24)	3.60	2.61
31	35.49(4)	2.935(3)	226(15)	170(36)	4.05	1.83
32	36.80(12)	2.834(9)	227(15)	408(50)	9.73	1.83
33	36.924(11)	2.8246(8)	901(30)	232(29)	5.53	7.28
34	38.347(11)	2.7235(7)	257(16)	36(7)	0.86	2.08
35	38.646(18)	2.7032(12)	214(15)	61(9)	1.46	1.73
36	6.125(18)	16.74(5)	4529(67)	5300(93)	100.00	37.43
37	7.248(5)	14.151(9)	5130(72)	1476(47)	27.85	42.40
38	10.344(3)	9.923(3)	12101(110)	3760(55)	70.94	100.00
39	10.80(4)	9.51(3)	488(22)	433(47)	8.17	4.03
40	11.473(7)	8.949(5)	1183(34)	380(25)	7.17	9.78
41	12.243(7)	8.388(5)	1280(36)	309(9)	5.83	10.58
42	14.458(18)	7.108(9)	4127(64)	1807(515)	34.09	34.11
43	14.5832(17	7.0477(8)	9971(100)	2129(506)	40.18	82.40
44	16.16(2)	6.363(8)	496(22)	261(11)	4.92	4.10
45	18.48(6)	5.570(19)	128(11)	166(15)	3.13	1.06
46	20.721(4)	4.9738(8)	3607(60)	1030(10)	19.43	29.80
47	21.935(4)	4.7017(8)	3635(60)	1072(8)	20.23	30.04
48	23.036(11)	4.480(2)	305(17)	207(12)	3.91	2.52
49	24.320(6)	4.2464(11)	2118(46)	498(8)	9.40	17.50
50	25.639(5)	4.0314(8)	915(30)	352(9)	6.64	7.56
51	26.68(3)	3.877(4)	135(12)	100(11)	1.89	1.12
52	27.541(6)	3.7578(8)	582(24)	184(7)	3.47	4.81
53	28.327(10)	3.6556(13)	332(18)	125(8)	2.36	2.75
54	29.041(3)	3.5675(3)	1781(42)	366(15)	6.91	14.72
55	29.372(3)	3.5282(3)	6734(82)	1684(42)	31.77	55.65
56	29.71(3)	3.489(4)	294(17)	150(48)	2.83	2.43
57	31.0649(18	3.34031(19)	10969(105)	2686(89)	50.68	90.65
58	31.265(2)	3.3195(3)	7305(85)	2100(93)	39.62	60.37
59	32.115(7)	3.2338(7)	1232(35)	340(23)	6.42	10.18
60	32.3829(19	3.20778(18)	3529(59)	595(36)	11.23	29.17
61	32.631(4)	3.1840(4)	5047(71)	1190(37)	22.45	41.71
62	33.058(17)	3.1440(15)	429(21)	247(25)	4.66	3.55
63	34.771(11)	2.9936(9)	303(17)	120(21)	2.26	2.51
64	35.37(2)	2.9446(19)	214(15)	158(24)	2.98	1.77
65	36.930(13)	2.8241(9)	1084(33)	388(9)	7.32	8.96
66	38.327(13)	2.7249(9)	275(17)	18(4)	0.34	2.27
67	38.59(5)	2.707(3)	147(12)	28(7)	0.53	1.21

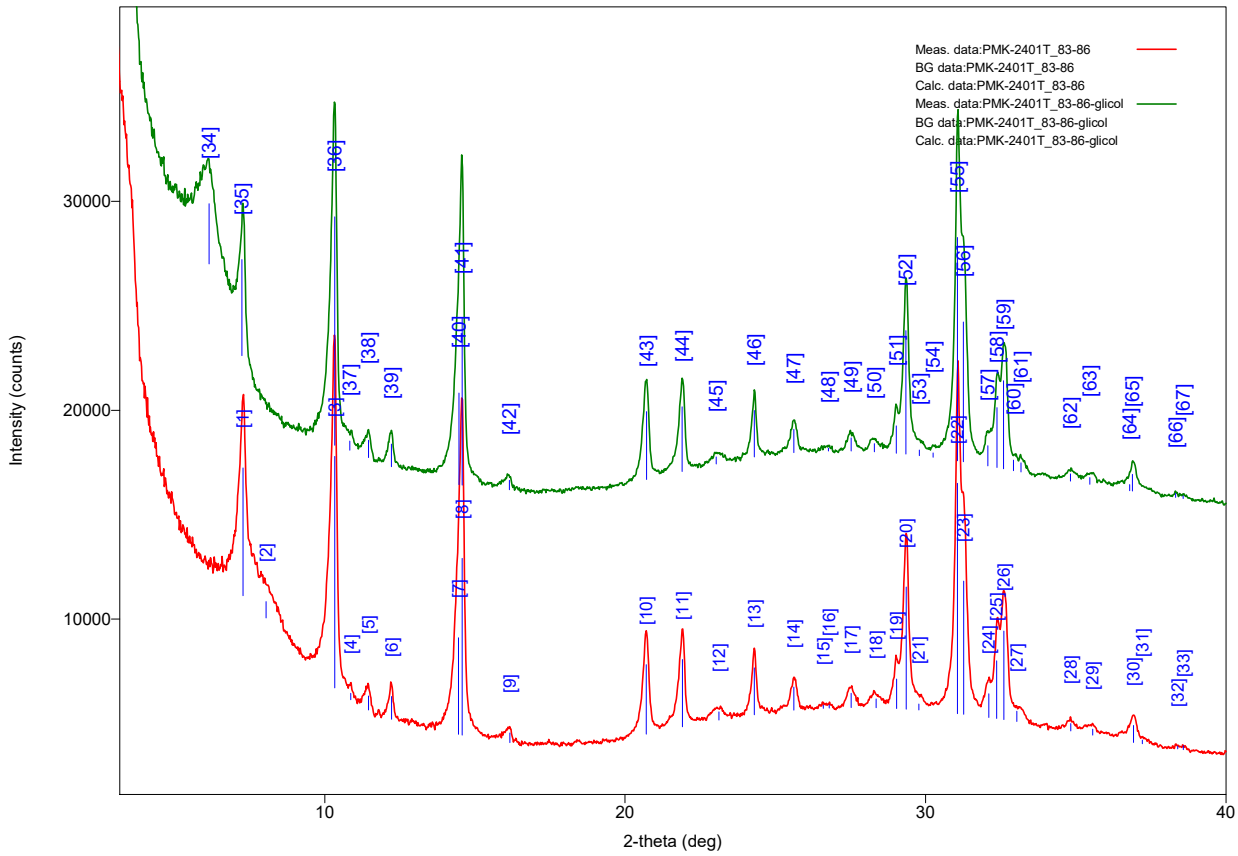

Рисунок А.28 – Дифрактограммы воздушно-сухого (нижняя) и насыщенного этиленгликолем (верхняя) образца ПМК-2401Т_83-86

Таблица А.28 – Дифракционные данные воздушно-сухого и насыщенного этиленгликолем образца ПМК-2401Т_83-86

№	2Θ, град	d,Å	Высота, импульсы	Интегральная интенсивность, импульсы*град	Относительная интегральная интенсивность, отн. ед	Относительная линейная интенсивность, отн. ед
1	7.274(9)	14.101(18)	6120(78)	3170(62)	82.62	55.21
2	8.042(15)	12.76(2)	794(28)	563(42)	14.67	7.17
3	10.334(3)	9.932(3)	11085(105)	3837(34)	100.00	100.00
4	10.868(17)	9.445(14)	316(18)	77(20)	2.01	2.85
5	11.461(6)	8.959(5)	675(26)	187(18)	4.87	6.09
6	12.227(10)	8.399(7)	1088(33)	226(12)	5.89	9.82
7	14.45(3)	7.111(17)	4631(68)	1936(691)	50.46	41.78
8	14.573(3)	7.0526(16)	8464(92)	1768(679)	46.08	76.35
9	16.162(5)	6.363(2)	467(22)	209(10)	5.45	4.22
10	20.707(4)	4.9772(10)	3323(58)	990(11)	25.80	29.98
11	21.911(4)	4.7067(9)	3223(57)	1000(9)	26.06	29.07
12	23.120(13)	4.464(2)	393(20)	289(11)	7.53	3.55
13	24.301(6)	4.2497(10)	2240(47)	531(8)	13.84	20.21
14	25.619(10)	4.0344(16)	1100(33)	342(9)	8.91	9.93
15	26.60(2)	3.889(3)	153(12)	34(7)	0.89	1.38
16	26.793(16)	3.861(2)	156(13)	15(6)	0.39	1.41
17	27.530(6)	3.7593(8)	677(26)	228(7)	5.94	6.10
18	28.355(11)	3.6520(13)	426(21)	202(11)	5.26	3.85
19	29.035(4)	3.5683(5)	1417(38)	382(22)	9.96	12.78
20	29.355(3)	3.5302(4)	5842(76)	1466(33)	38.21	52.70
21	29.78(2)	3.481(3)	292(17)	135(33)	3.52	2.63

22	31.0621(18)	3.34060(19)	11030(105)	2582(90)	67.29	99.50
23	31.267(3)	3.3193(3)	6373(80)	1985(93)	51.73	57.49
24	32.106(7)	3.2347(7)	1135(34)	345(28)	8.99	10.24
25	32.367(2)	3.2094(2)	2768(53)	461(41)	12.01	24.97
26	32.608(5)	3.1863(5)	4236(65)	1088(40)	28.36	38.21
27	33.034(15)	3.1463(14)	488(22)	285(31)	7.43	4.40
28	34.837(10)	2.9881(8)	358(19)	125(14)	3.26	3.23
29	35.56(2)	2.9291(16)	274(17)	180(16)	4.69	2.47
30	36.920(6)	2.8249(4)	811(28)	308(13)	8.03	7.32
31	37.22(2)	2.8031(18)	185(14)	203(16)	5.29	1.67
32	38.39(3)	2.720(2)	129(11)	28(6)	0.73	1.17
33	38.585(12)	2.7073(8)	196(14)	15(5)	0.39	1.77
34	6.155(17)	16.66(5)	2881(54)	3016(67)	82.72	26.36
35	7.241(6)	14.165(11)	4599(68)	1588(39)	43.56	42.08
36	10.3329(18)	9.9332(18)	10930(105)	3646(32)	100.00	100.00
37	10.832(15)	9.477(13)	438(21)	254(35)	6.97	4.00
38	11.458(4)	8.961(3)	813(29)	257(12)	7.05	7.44
39	12.222(10)	8.403(7)	1079(33)	252(11)	6.91	9.88
40	14.47(4)	7.105(18)	4381(66)	2064(1054)	56.61	40.08
41	14.572(3)	7.0530(15)	7979(89)	1735(1045)	47.59	73.00
42	16.15(3)	6.369(10)	447(21)	218(12)	5.98	4.09
43	20.711(3)	4.9761(8)	3253(57)	943(9)	25.87	29.76
44	21.902(3)	4.7085(7)	3094(56)	932(7)	25.57	28.31
45	23.03(3)	4.481(6)	331(18)	178(11)	4.88	3.02
46	24.306(5)	4.2489(9)	2232(47)	504(9)	13.82	20.42
47	25.618(11)	4.0347(17)	1121(33)	371(9)	10.18	10.26
48	26.771(15)	3.864(2)	151(12)	54(10)	1.48	1.38
49	27.528(9)	3.7595(11)	628(25)	208(8)	5.71	5.74
50	28.297(12)	3.6594(15)	391(20)	149(9)	4.09	3.57
51	29.024(3)	3.5696(4)	1314(36)	330(13)	9.05	12.02
52	29.348(2)	3.5310(3)	5917(77)	1495(19)	41.01	54.13
53	29.79(2)	3.480(2)	265(16)	131(24)	3.59	2.42
54	30.248(7)	3.4284(8)	209(14)	14(3)	0.38	1.91
55	31.0605(14)	3.34077(15)	10692(103)	2399(71)	65.80	97.83
56	31.261(2)	3.3199(2)	6685(82)	2233(75)	61.25	61.17
57	32.073(11)	3.2379(11)	970(31)	342(35)	9.38	8.88
58	32.373(3)	3.2088(3)	2864(54)	675(58)	18.51	26.21
59	32.603(3)	3.1867(3)	4217(65)	912(64)	25.01	38.58
60	32.929(11)	3.1561(11)	494(22)	114(22)	3.12	4.52
61	33.178(18)	3.1330(16)	443(21)	109(18)	2.99	4.05
62	34.821(14)	2.9894(12)	338(18)	161(12)	4.42	3.10
63	35.468(18)	2.9366(15)	326(18)	205(12)	5.62	2.98
64	36.79(4)	2.834(3)	289(17)	413(17)	11.33	2.65
65	36.891(6)	2.8270(4)	801(28)	176(14)	4.83	7.33
66	38.321(17)	2.7253(12)	192(14)	23(6)	0.64	1.75
67	38.58(3)	2.708(2)	123(11)	29(5)	0.80	1.13

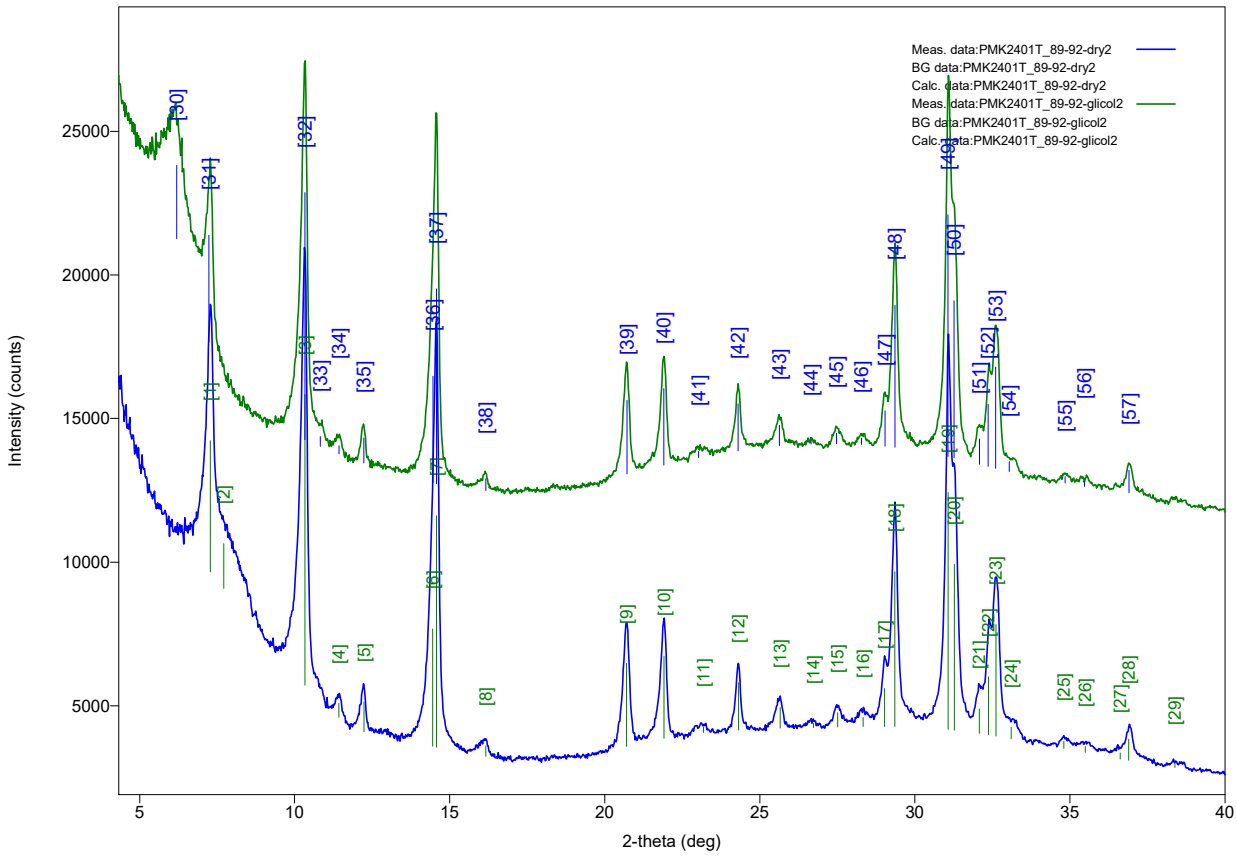

Рисунок А.29 – Дифрактограммы воздушно-сухого (нижняя) и насыщенного этиленгликолем (верхняя) образца ПМК-2401Т_89-92

Таблица А.29 – Дифракционные данные воздушно-сухого и насыщенного этиленгликолем образца ПМК-2401Т_89-92

№	2Θ, град	d,Å	Высота, импульсы	Интегральная интенсивность, импульсы*град	Относительная интегральная интенсивность, отн. ед	Относительная линейная интенсивность, отн. ед
1	7.277(7)	14.094(13)	4570(68)	1386(98)	38.09	45.16
2	7.71(4)	13.30(6)	1549(39)	2349(66)	64.55	15.31
3	10.332(4)	9.934(4)	10121(101)	3639(33)	100.00	100.00
4	11.42(2)	8.987(18)	488(22)	120(14)	3.30	4.82
5	12.236(11)	8.393(8)	1042(32)	242(11)	6.65	10.29
6	14.45(2)	7.111(10)	4089(64)	1709(390)	46.96	40.40
7	14.577(3)	7.0507(12)	8056(90)	1748(380)	48.04	79.59
8	16.16(2)	6.362(8)	359(19)	134(9)	3.68	3.55
9	20.703(4)	4.9779(9)	2882(54)	848(9)	23.30	28.47
10	21.910(4)	4.7069(8)	2862(53)	841(8)	23.11	28.28
11	23.18(4)	4.451(7)	203(14)	81(10)	2.22	2.00
12	24.314(6)	4.2474(10)	1636(40)	346(7)	9.51	16.17
13	25.658(5)	4.0284(8)	713(27)	217(6)	5.96	7.05
14	26.729(14)	3.8699(19)	139(12)	45(8)	1.24	1.38
15	27.512(7)	3.7617(10)	493(22)	170(8)	4.67	4.87
16	28.328(14)	3.6555(17)	309(18)	159(12)	4.37	3.05
17	29.025(5)	3.5695(6)	1315(36)	364(24)	10.00	12.99
18	29.350(4)	3.5309(4)	5388(73)	1496(34)	41.11	53.24
19	31.073(2)	3.3395(3)	8252(91)	1847(117)	50.76	81.53
20	31.274(4)	3.3185(4)	5772(76)	2023(122)	55.59	57.03
21	32.079(9)	3.2373(9)	847(29)	252(22)	6.92	8.37

22	32.372(3)	3.2089(3)	2023(45)	452(44)	12.42	19.99
23	32.613(5)	3.1858(5)	3880(62)	1156(48)	31.77	38.33
24	33.11(2)	3.139(2)	400(20)	258(33)	7.09	3.95
25	34.808(14)	2.9905(12)	253(16)	110(12)	3.03	2.50
26	35.49(3)	2.935(2)	210(14)	195(20)	5.36	2.08
27	36.63(6)	2.847(4)	209(14)	226(27)	6.21	2.06
28	36.900(8)	2.8264(6)	735(27)	222(16)	6.10	7.26
29	38.39(6)	2.721(4)	119(11)	57(10)	1.57	1.18
30	6.20(2)	16.55(6)	2555(51)	2996(74)	100.00	29.69
31	7.234(7)	14.180(14)	3728(61)	1395(56)	46.56	43.33
32	10.337(3)	9.930(3)	8604(93)	2940(26)	98.13	100.00
33	10.83(2)	9.479(19)	337(18)	215(20)	7.18	3.92
34	11.436(19)	8.978(15)	285(17)	151(13)	5.04	3.31
35	12.224(11)	8.401(8)	873(30)	156(11)	5.21	10.15
36	14.46(4)	7.108(18)	3706(61)	1659(720)	55.37	43.07
37	14.575(2)	7.0516(11)	6783(82)	1393(709)	46.50	78.84
38	16.166(12)	6.361(5)	414(20)	169(8)	5.64	4.82
39	20.715(6)	4.9751(13)	2564(51)	710(12)	23.71	29.79
40	21.900(4)	4.7090(9)	2665(52)	765(8)	25.53	30.97
41	23.025(14)	4.482(3)	220(15)	131(12)	4.37	2.56
42	24.296(7)	4.2505(13)	1635(40)	423(7)	14.12	19.00
43	25.631(15)	4.033(2)	715(27)	287(8)	9.58	8.31
44	26.65(2)	3.881(3)	96(10)	21(9)	0.70	1.12
45	27.48(5)	3.767(7)	357(19)	95(18)	3.17	4.15
46	28.28(6)	3.661(7)	209(14)	57(14)	1.90	2.43
47	29.038(5)	3.5679(6)	1226(35)	306(17)	10.21	14.25
48	29.358(4)	3.5299(5)	4943(70)	1216(23)	40.59	57.44
49	31.0666(19)	3.3401(2)	8419(92)	1961(78)	65.45	97.85
50	31.264(3)	3.3196(3)	5482(74)	1695(82)	56.58	63.71
51	32.089(9)	3.2364(9)	872(30)	256(20)	8.54	10.13
52	32.364(3)	3.2096(3)	2164(47)	380(42)	12.68	25.15
53	32.604(5)	3.1866(4)	3523(59)	860(44)	28.70	40.95
54	33.044(15)	3.1454(14)	351(19)	175(16)	5.84	4.08
55	34.84(3)	2.988(2)	227(15)	102(17)	3.40	2.64
56	35.47(4)	2.936(3)	168(13)	103(17)	3.44	1.95
57	36.906(17)	2.8260(13)	789(28)	261(8)	8.71	9.17

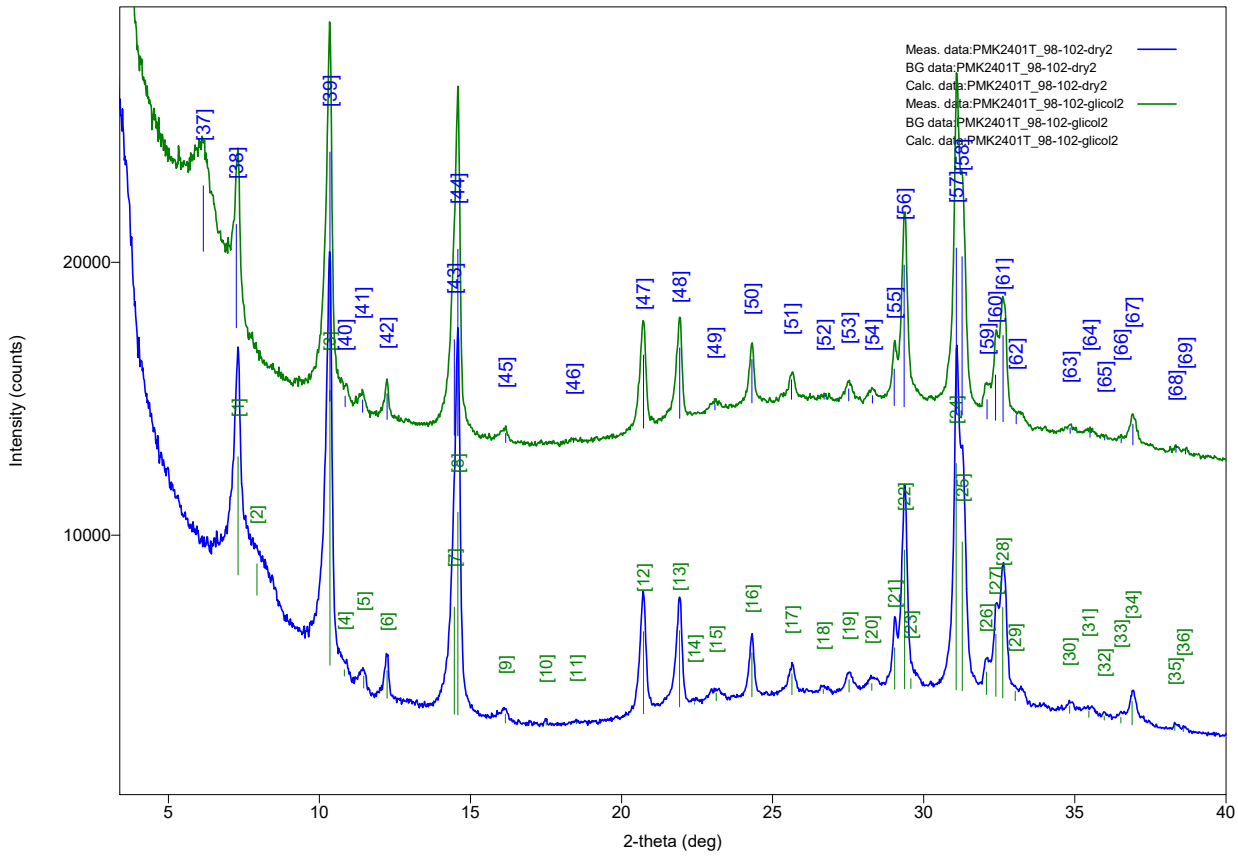

Рисунок А.30 – Дифрактограммы воздушно-сухого (нижняя) и насыщенного этиленгликолем (верхняя) образца ПМК-2401Т_98-102

Таблица А.30 – Дифракционные данные воздушно-сухого и насыщенного этиленгликолем образца ПМК-2401Т_98-102

№	2Θ, град	d,Å	Высота, импульсы	Интегральная интенсивность, импульсы*град	Относительная интегральная интенсивность, отн. ед	Относительная линейная интенсивность, отн. ед
1	7.305(6)	14.041(12)	4338(66)	1341(104)	39.52	43.05
2	7.93(4)	12.94(6)	1147(34)	1834(73)	54.05	11.38
3	10.341(2)	9.925(2)	10078(100)	3393(30)	100.00	100.00
4	10.82(2)	9.487(18)	225(15)	121(27)	3.57	2.24
5	11.460(7)	8.959(6)	442(21)	107(10)	3.15	4.38
6	12.240(10)	8.390(7)	1018(32)	180(12)	5.31	10.10
7	14.47(5)	7.10(2)	3920(63)	1635(71)	48.19	38.90
8	14.5836(19)	7.0475(9)	7424(86)	1542(71)	45.45	73.67
9	16.16(3)	6.365(11)	323(18)	167(10)	4.92	3.20
10	17.50(4)	5.879(12)	87(9)	42(7)	1.24	0.87
11	18.50(6)	5.564(16)	64(8)	26(8)	0.77	0.64
12	20.722(3)	4.9735(8)	3003(55)	848(8)	24.99	29.80
13	21.916(3)	4.7056(7)	2790(53)	834(8)	24.58	27.69
14	22.41(4)	4.603(7)	49(7)	15(4)	0.44	0.49
15	23.135(11)	4.461(2)	277(17)	179(8)	5.28	2.75
16	24.316(5)	4.2472(8)	1609(40)	364(5)	10.73	15.97
17	25.637(14)	4.032(2)	765(28)	294(7)	8.66	7.59
18	26.679(15)	3.877(2)	154(12)	54(6)	1.59	1.53
19	27.527(5)	3.7597(7)	452(21)	148(7)	4.36	4.48
20	28.286(11)	3.6608(13)	260(16)	121(7)	3.57	2.58

21	29.037(2)	3.5680(2)	1515(39)	256(9)	7.54	15.03
22	29.362(2)	3.5294(3)	5079(71)	1287(14)	37.93	50.40
23	29.568(10)	3.5053(12)	370(19)	218(10)	6.42	3.67
24	31.070(3)	3.3398(3)	8304(91)	2057(91)	60.62	82.40
25	31.275(3)	3.3184(3)	5458(74)	1496(94)	44.09	54.16
26	32.072(10)	3.2380(10)	829(29)	230(20)	6.78	8.23
27	32.388(4)	3.2073(4)	2276(48)	553(60)	16.30	22.59
28	32.618(3)	3.1853(3)	3321(58)	689(56)	20.31	32.95
29	33.024(15)	3.1472(14)	344(19)	177(15)	5.22	3.42
30	34.827(16)	2.9889(14)	274(17)	138(16)	4.07	2.72
31	35.47(3)	2.937(2)	227(15)	179(23)	5.28	2.25
32	35.975(13)	2.8965(10)	138(12)	21(6)	0.62	1.37
33	36.52(3)	2.854(2)	202(14)	109(26)	3.21	2.00
34	36.894(10)	2.8268(7)	848(29)	312(25)	9.20	8.42
35	38.310(6)	2.7260(4)	194(14)	35(4)	1.03	1.93
36	38.590(7)	2.7070(5)	154(12)	20(3)	0.59	1.53
37	6.16(2)	16.66(6)	2395(49)	3466(71)	100.00	26.21
38	7.248(5)	14.151(10)	3794(62)	1164(50)	33.58	41.54
39	10.345(2)	9.922(2)	9135(96)	2966(25)	85.57	100.00
40	10.851(13)	9.460(12)	385(20)	203(28)	5.86	4.21
41	11.431(7)	8.981(6)	451(21)	140(11)	4.05	4.93
42	12.237(11)	8.392(8)	942(31)	201(8)	5.80	10.31
43	14.46(2)	7.107(11)	3511(59)	1494(489)	43.10	38.43
44	14.5831(18)	7.0477(9)	6838(83)	1397(481)	40.31	74.86
45	16.16(3)	6.364(10)	333(18)	142(9)	4.10	3.64
46	18.41(3)	5.591(9)	94(10)	45(9)	1.30	1.03
47	20.725(4)	4.9727(10)	2672(52)	724(9)	20.89	29.25
48	21.927(4)	4.7032(8)	2580(51)	721(7)	20.80	28.25
49	23.08(3)	4.471(6)	203(14)	73(8)	2.11	2.22
50	24.316(6)	4.2472(10)	1580(40)	350(6)	10.10	17.29
51	25.621(18)	4.034(3)	715(27)	220(8)	6.35	7.83
52	26.71(3)	3.873(4)	118(11)	45(8)	1.29	1.29
53	27.521(19)	3.760(3)	439(21)	138(7)	3.98	4.81
54	28.30(2)	3.658(3)	276(17)	91(7)	2.63	3.03
55	29.017(5)	3.5704(6)	1341(37)	273(26)	7.88	14.68
56	29.351(5)	3.5307(6)	5207(72)	1462(32)	42.18	57.00
57	31.084(2)	3.3383(2)	6090(78)	1036(116)	29.89	66.67
58	31.269(4)	3.3190(4)	5804(76)	2628(115)	75.82	63.54
59	32.095(10)	3.2358(9)	708(27)	192(17)	5.54	7.76
60	32.375(3)	3.2085(3)	1668(41)	308(34)	8.89	18.26
61	32.622(6)	3.1849(6)	3155(56)	925(36)	26.69	34.53
62	33.06(2)	3.1435(19)	321(18)	218(26)	6.29	3.51
63	34.85(2)	2.9872(16)	201(14)	90(7)	2.60	2.20
64	35.50(2)	2.9339(19)	187(14)	95(8)	2.74	2.05
65	35.99(3)	2.895(2)	82(9)	21(5)	0.61	0.90
66	36.53(2)	2.8539(15)	158(13)	56(9)	1.62	1.74
67	36.919(12)	2.8249(9)	764(28)	246(8)	7.10	8.37
68	38.346(7)	2.7236(5)	223(15)	32(5)	0.92	2.45
69	38.662(12)	2.7022(8)	151(12)	33(6)	0.95	1.65

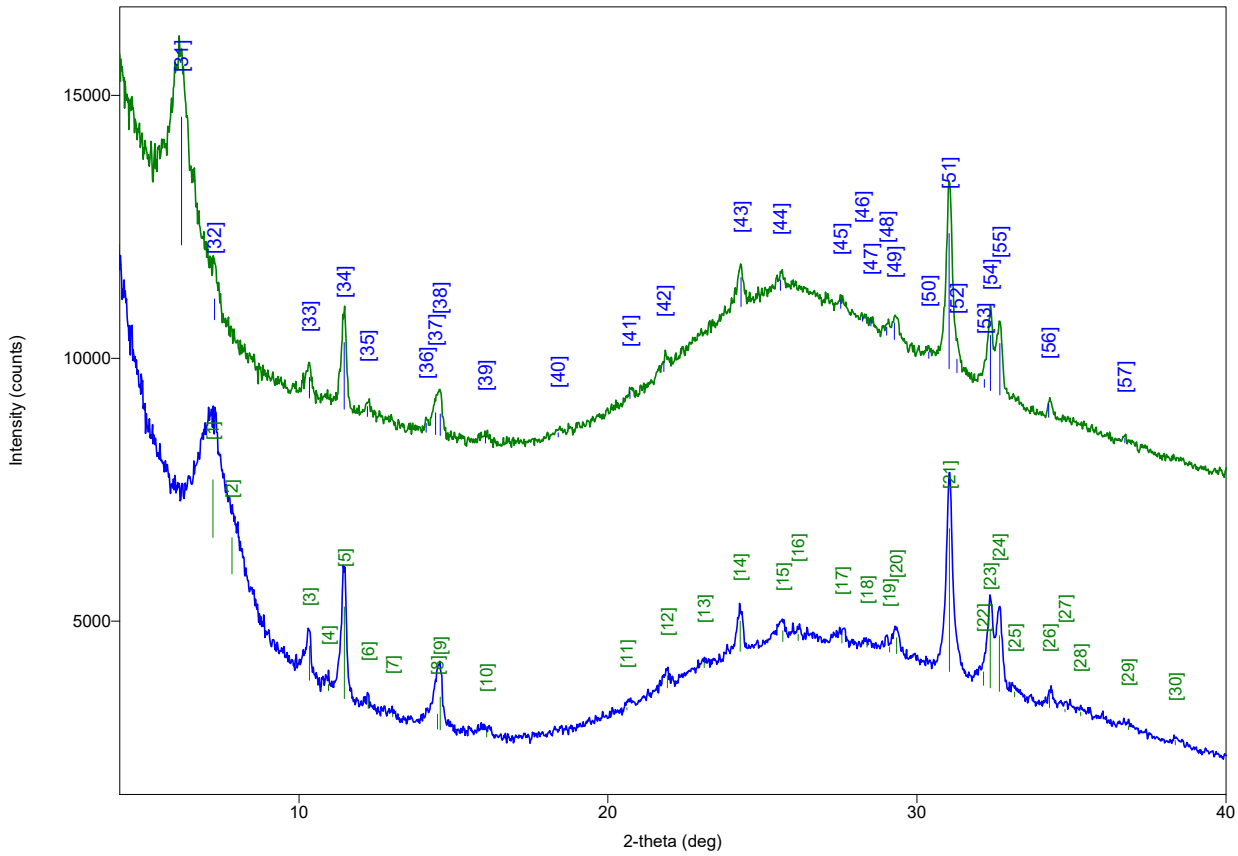

Рисунок А.31 – Дифрактограммы воздушно-сухого (нижняя) и насыщенного этиленгликолем (верхняя) образца ПМК-2420Т_7-10

Таблица А.31 – Дифракционные данные воздушно-сухого и насыщенного этиленгликолем образца ПМК-2420Т_7-10

№	2Θ, град	d,Å	Высота, импульсы	Интегральная интенсивность, импульсы*град	Относительная интегральная интенсивность, отн. ед	Относительная линейная интенсивность, отн. ед
1	7.21(3)	14.22(5)	1098(33)	970(277)	91.94	40.39
2	7.84(8)	13.09(14)	687(26)	1055(247)	100.00	25.28
3	10.346(14)	9.921(14)	646(25)	195(9)	18.47	23.76
4	10.954(14)	9.372(12)	121(11)	18(8)	1.71	4.46
5	11.469(5)	8.952(4)	1744(42)	436(8)	41.33	64.17
6	12.240(9)	8.390(6)	157(13)	22(4)	2.09	5.78
7	13.04(3)	7.88(2)	61(8)	25(7)	2.37	2.24
8	14.48(5)	7.10(2)	284(17)	185(34)	17.54	10.45
9	14.573(17)	7.052(8)	623(25)	179(34)	16.97	22.93
10	16.08(4)	6.397(16)	109(10)	90(9)	8.53	4.02
11	20.61(16)	5.00(4)	39(6)	105(21)	9.95	1.44
12	21.927(10)	4.703(2)	230(15)	97(8)	9.19	8.48
13	23.11(3)	4.465(5)	95(10)	73(10)	6.92	3.48
14	24.277(7)	4.2538(12)	578(24)	156(12)	14.79	21.27
15	25.659(9)	4.0283(14)	200(14)	64(9)	6.07	7.34
16	26.15(7)	3.954(10)	115(11)	156(25)	14.79	4.24
17	27.57(3)	3.754(4)	164(13)	72(15)	6.82	6.02
18	28.39(6)	3.648(8)	70(8)	23(16)	2.18	2.58
19	29.1(4)	3.56(5)	97(10)	84(33)	7.96	3.57
20	29.338(15)	3.5322(18)	300(17)	75(18)	7.11	11.04
21	31.053(4)	3.3415(4)	2718(52)	793(9)	75.17	100.00

22	32.16(11)	3.230(10)	256(16)	92(60)	8.72	9.41
23	32.374(10)	3.2086(9)	1103(33)	207(58)	19.61	40.57
24	32.663(10)	3.1810(10)	1061(33)	266(14)	25.21	39.03
25	33.17(4)	3.134(4)	95(10)	42(17)	3.98	3.48
26	34.291(8)	3.0342(7)	293(17)	35(4)	3.32	10.77
27	34.80(5)	2.992(4)	43(7)	17(6)	1.61	1.59
28	35.30(17)	2.950(14)	74(9)	242(21)	22.94	2.74
29	36.84(3)	2.831(2)	70(8)	24(6)	2.27	2.59
30	38.36(2)	2.7225(15)	82(9)	46(6)	4.36	3.03
31	6.201(14)	16.54(4)	2429(49)	2765(59)	100.00	94.43
32	7.271(14)	14.11(3)	393(20)	86(22)	3.11	15.30
33	10.34(2)	9.93(2)	394(20)	109(10)	3.94	15.31
34	11.461(6)	8.959(4)	1270(36)	299(8)	10.81	49.36
35	12.22(4)	8.40(3)	186(14)	71(9)	2.57	7.22
36	14.116(8)	7.279(4)	171(13)	18(4)	0.65	6.65
37	14.422(16)	7.126(8)	417(20)	134(10)	4.85	16.21
38	14.569(12)	7.054(6)	409(20)	75(186)	2.71	15.92
39	16.038(18)	6.412(7)	130(11)	53(7)	1.92	5.04
40	18.39(11)	5.60(3)	75(9)	126(14)	4.56	2.92
41	20.710(17)	4.976(4)	133(12)	23(5)	0.83	5.17
42	21.815(17)	4.727(4)	180(13)	82(10)	2.97	7.01
43	24.30(2)	4.249(4)	552(23)	199(10)	7.20	21.45
44	25.58(4)	4.041(7)	199(14)	126(11)	4.56	7.72
45	27.537(12)	3.7583(17)	156(13)	39(6)	1.41	6.08
46	28.24(2)	3.667(3)	75(9)	18(6)	0.65	2.92
47	28.507(14)	3.6330(18)	116(11)	12(5)	0.43	4.50
48	29.020(12)	3.5700(15)	151(12)	26(11)	0.94	5.88
49	29.275(11)	3.5397(14)	319(18)	85(15)	3.07	12.41
50	30.387(12)	3.4130(13)	115(11)	13(5)	0.47	4.46
51	31.040(5)	3.3429(5)	2572(51)	697(34)	25.21	100.00
52	31.291(16)	3.3168(17)	256(16)	58(29)	2.10	9.95
53	32.18(4)	3.228(4)	147(12)	37(19)	1.34	5.73
54	32.380(5)	3.2080(5)	1045(32)	206(21)	7.45	40.62
55	32.682(8)	3.1792(8)	983(31)	266(15)	9.62	38.22
56	34.262(11)	3.0367(10)	256(16)	62(7)	2.24	9.95
57	36.73(6)	2.839(4)	84(9)	25(6)	0.90	3.27

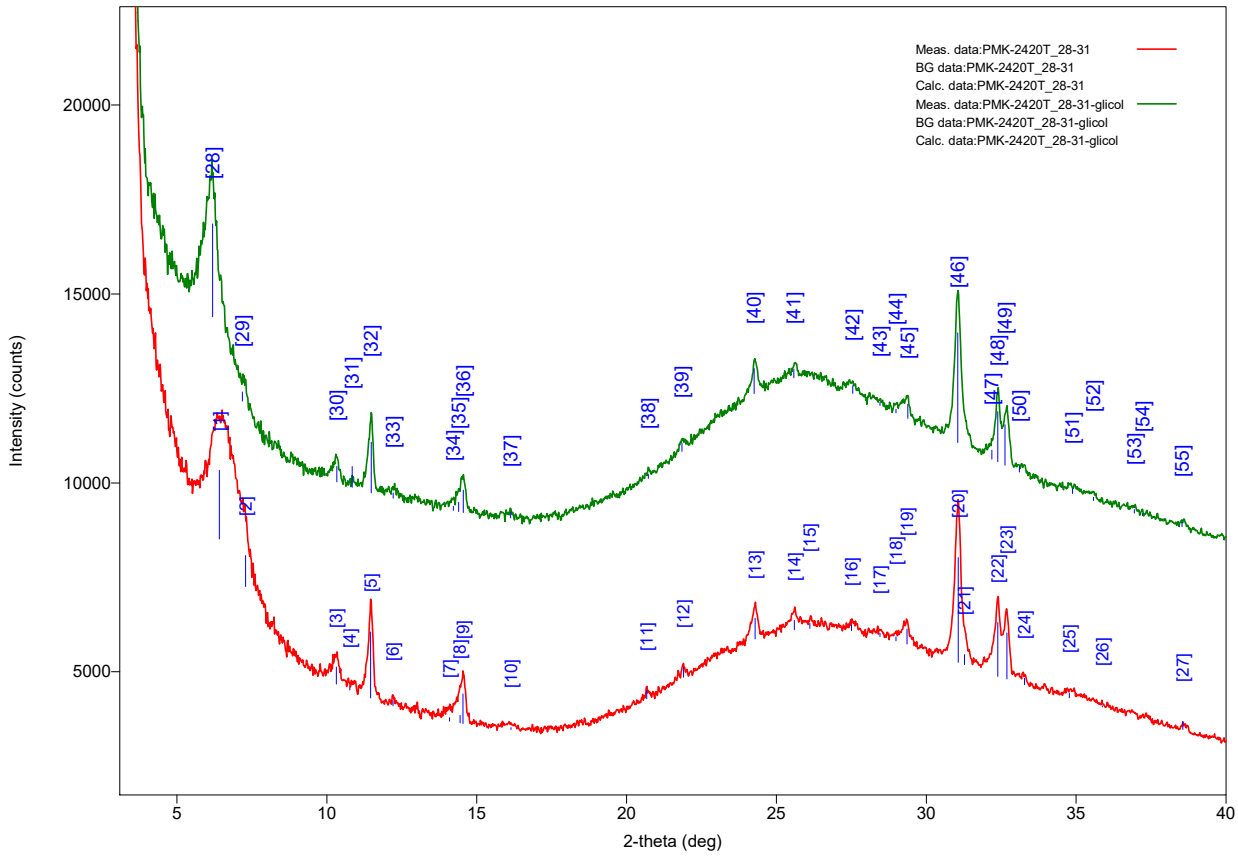

Рисунок А.32 – Дифрактограммы воздушно-сухого (нижняя) и насыщенного этиленгликолем (верхняя) образца ПМК-2420Т_28-31

Таблица А.32 – Дифракционные данные воздушно-сухого и насыщенного этиленгликолем образца ПМК-2420Т_28-31

№	2Θ, град	d,Å	Высота, импульсы	Интегральная интенсивность, импульсы*град	Относительная интегральная интенсивность, отн. ед	Относительная линейная интенсивность, отн. ед
1	6.41(2)	15.99(6)	1814(43)	1923(222)	100.00	65.43
2	7.288(15)	14.07(3)	822(29)	1127(251)	58.59	29.64
3	10.32(3)	9.95(3)	453(21)	164(38)	8.53	16.33
4	10.77(19)	9.54(16)	60(8)	39(32)	2.03	2.18
5	11.462(7)	8.957(5)	1747(42)	429(14)	22.30	63.00
6	12.207(16)	8.412(11)	132(11)	20(5)	1.03	4.77
7	14.1(2)	7.29(10)	96(10)	342(51)	17.78	3.45
8	14.44(6)	7.12(3)	203(14)	83(32)	4.32	7.32
9	14.541(15)	7.068(7)	784(28)	205(186)	10.66	28.26
10	16.14(5)	6.37(2)	49(7)	16(10)	0.83	1.76
11	20.68(3)	4.984(6)	222(15)	31(7)	1.63	8.02
12	21.897(13)	4.710(3)	250(16)	46(9)	2.39	9.01
13	24.29(2)	4.251(4)	551(23)	141(17)	7.33	19.85
14	25.597(14)	4.038(2)	251(16)	66(18)	3.43	9.05
15	26.12(6)	3.959(9)	136(12)	203(43)	10.56	4.92
16	27.50(3)	3.763(4)	144(12)	46(12)	2.40	5.20
17	28.46(5)	3.639(6)	81(9)	25(11)	1.30	2.91
18	28.99(5)	3.574(6)	103(10)	37(21)	1.92	3.71
19	29.35(4)	3.530(4)	398(20)	124(14)	6.45	14.34
20	31.067(7)	3.3401(7)	2773(53)	723(14)	37.59	100.00
21	31.272(16)	3.3187(17)	268(16)	158(28)	8.21	9.66

22	32.388(10)	3.2073(10)	1417(38)	408(42)	21.21	51.12
23	32.686(7)	3.1788(6)	1216(35)	285(36)	14.82	43.86
24	33.28(2)	3.124(2)	166(13)	61(27)	3.17	5.99
25	34.78(9)	2.993(8)	126(11)	91(28)	4.73	4.53
26	35.9(7)	2.90(6)	30(6)	381(93)	19.81	1.09
27	38.559(12)	2.7091(8)	210(14)	24(7)	1.25	7.56
28	6.189(8)	16.57(2)	2465(50)	1818(26)	100.00	84.97
29	7.18(2)	14.28(4)	247(16)	181(14)	9.96	8.50
30	10.33(2)	9.94(2)	412(20)	140(15)	7.70	14.21
31	10.844(2)	9.466(2)	548(23)	11(5)	0.61	18.88
32	11.483(7)	8.941(5)	1345(37)	326(36)	17.93	46.37
33	12.21(9)	8.41(6)	143(12)	163(56)	8.97	4.94
34	14.2151	7.22916	110.864286	13.363562	0.74	3.82
35	14.3985	7.13758	245.716086	51.726820	2.85	8.47
36	14.552(16)	7.063(8)	589.037849	143.173552	7.88	20.30
37	16.14(3)	6.372(11)	148(12)	48(10)	2.64	5.09
38	20.73(11)	4.97(3)	112(11)	165(25)	9.08	3.87
39	21.85(3)	4.720(7)	220(15)	64(16)	3.52	7.59
40	24.255(15)	4.258(3)	659(26)	168(13)	9.24	22.72
41	25.58(2)	4.040(3)	232(15)	140(18)	7.70	7.99
42	27.55(4)	3.757(5)	195(14)	74(16)	4.07	6.71
43	28.46(5)	3.639(6)	81(9)	46(21)	2.53	2.78
44	28.99(4)	3.573(4)	102(10)	18(17)	0.99	3.51
45	29.383(11)	3.5269(13)	369(19)	144(20)	7.92	12.73
46	31.054(7)	3.3414(7)	2901(54)	923(16)	50.77	100.00
47	32.19(5)	3.227(5)	233(15)	56(28)	3.08	8.03
48	32.382(14)	3.2079(13)	1332(36)	275(24)	15.13	45.92
49	32.624(3)	3.1847(3)	1071(33)	213(6)	11.72	36.91
50	33.11(2)	3.139(2)	135(12)	43(8)	2.37	4.65
51	34.88(16)	2.984(13)	123(11)	106(203)	5.83	4.23
52	35.58(3)	2.928(2)	91(10)	27(18)	1.49	3.14
53	36.95(3)	2.823(2)	91(10)	30(28)	1.66	3.13
54	37.2(8)	2.80(5)	49(7)	128(195)	7.04	1.67
55	38.53(3)	2.711(2)	114(11)	24(10)	1.32	3.92

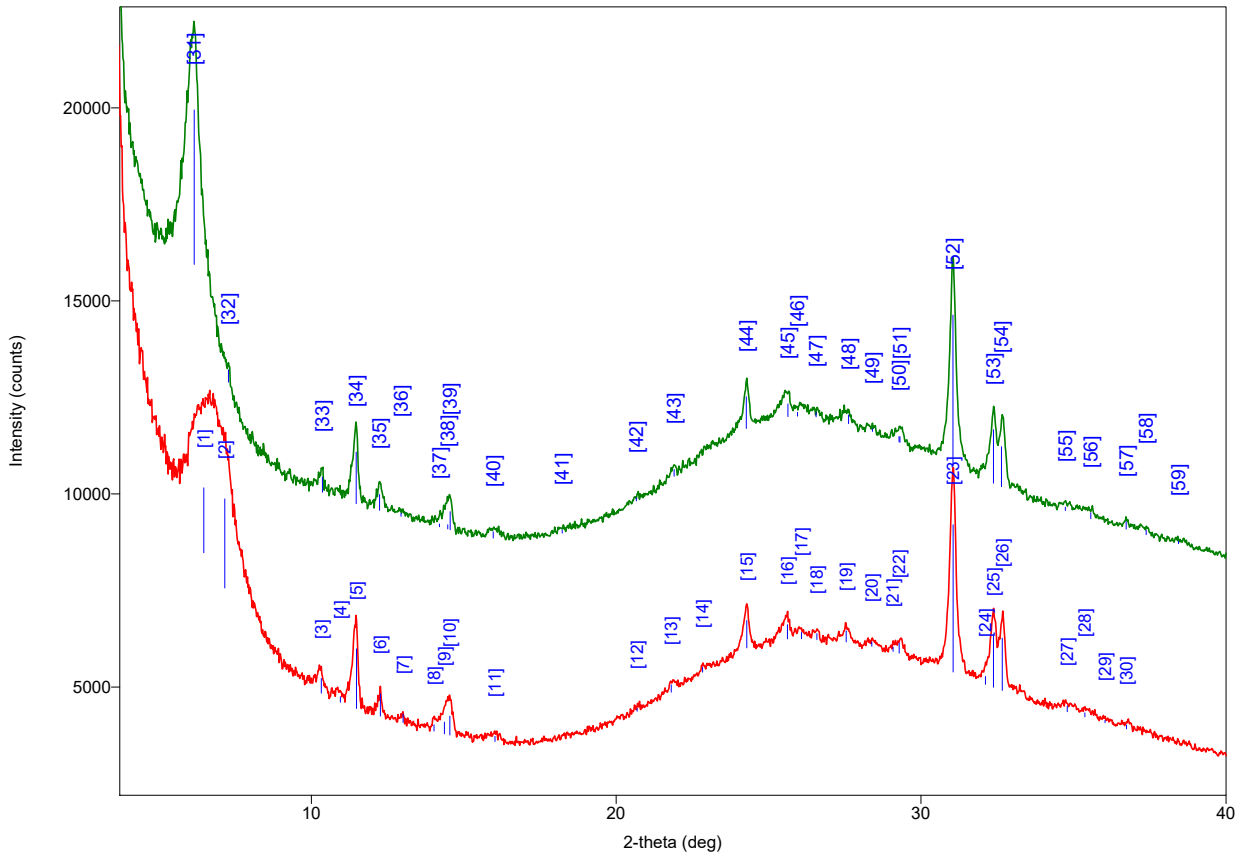

Рисунок А.33 – Дифрактограммы воздушно-сухого (нижняя) и насыщенного этиленгликолем (верхняя) образца ПМК-2420Т_78-81

Таблица А.33 – Дифракционные данные воздушно-сухого и насыщенного этиленгликолем образца образца ПМК-2420Т_78-81

№	2Θ, град	d,Å	Высота, импульсы	Интегральная интенсивность, импульсы*град	Относительная интегральная интенсивность, отн. ед	Относительная линейная интенсивность, отн. ед
1	6.47(4)	15.85(10)	1684(41)	1862(2428)	62.59	44.17
2	7.15(3)	14.34(6)	2305(48)	2975(113)	100.00	60.44
3	10.327(9)	9.939(9)	377(19)	108(10)	3.63	9.89
4	10.95(3)	9.38(2)	146(12)	52(13)	1.75	3.82
5	11.481(2)	8.9427(19)	1544(39)	389(18)	13.08	40.50
6	12.262(9)	8.375(6)	572(24)	79(6)	2.66	15.00
7	13.009(15)	7.896(9)	218(15)	21(4)	0.71	5.72
8	14.020(9)	7.329(5)	161(13)	17(7)	0.57	4.23
9	14.37(3)	7.153(14)	301(17)	163(176)	5.48	7.89
10	14.543(15)	7.067(7)	492(22)	142(12)	4.77	12.89
11	16.02(6)	6.42(2)	132(11)	95(11)	3.19	3.47
12	20.68(9)	4.98(2)	68(8)	67(11)	2.25	1.79
13	21.799(12)	4.731(3)	183(14)	89(7)	2.99	4.80
14	22.835(13)	4.518(3)	133(12)	34(5)	1.14	3.48
15	24.281(10)	4.2531(18)	706(27)	170(8)	5.71	18.52
16	25.61(2)	4.036(3)	365(19)	116(18)	3.90	9.57
17	26.08(3)	3.964(5)	163(13)	71(13)	2.39	4.27
18	26.58(2)	3.890(3)	153(12)	47(6)	1.58	4.01
19	27.541(8)	3.7579(11)	288(17)	102(7)	3.43	7.54
20	28.39(2)	3.648(3)	114(11)	32(5)	1.08	2.99
21	29.082(15)	3.5627(18)	116(11)	15(10)	0.50	3.05

22	29.287(12)	3.5383(14)	266(16)	69(12)	2.32	6.98
23	31.050(4)	3.3419(4)	3813(62)	1117(9)	37.55	100.00
24	32.11(3)	3.234(3)	198(14)	46(25)	1.55	5.20
25	32.371(10)	3.2090(10)	1336(37)	376(32)	12.64	35.03
26	32.664(10)	3.1809(9)	1357(37)	319(24)	10.72	35.59
27	34.80(6)	2.991(5)	156(12)	206(22)	6.93	4.10
28	35.38(2)	2.944(2)	108(10)	37(6)	1.24	2.82
29	36.03(2)	2.8920(17)	61(8)	5(4)	0.17	1.59
30	36.74(5)	2.838(4)	100(10)	84(15)	2.82	2.62
31	6.156(6)	16.659(16)	3993(63)	2786(28)	100.00	100.00
32	7.280(11)	14.09(2)	322(18)	17(6)	0.62	8.05
33	10.36(2)	9.91(2)	397(20)	88(11)	3.16	9.95
34	11.469(8)	8.952(6)	1334(37)	360(13)	12.92	33.40
35	12.24(2)	8.393(15)	409(20)	96(19)	3.45	10.25
36	12.94(8)	7.94(5)	76(9)	219(60)	7.86	1.91
37	14.20(8)	7.24(4)	72(8)	33(58)	1.18	1.81
38	14.47(11)	7.10(5)	105(10)	49(294)	1.76	2.63
39	14.55(2)	7.064(11)	467(22)	166(59)	5.96	11.70
40	15.97(7)	6.44(3)	160(13)	85(24)	3.05	4.01
41	18.23(10)	5.65(3)	76(9)	144(46)	5.17	1.90
42	20.66(4)	4.988(9)	79(9)	21(14)	0.75	1.98
43	21.900(18)	4.709(4)	170(13)	36(9)	1.29	4.26
44	24.27(2)	4.255(4)	815(29)	208(26)	7.47	20.42
45	25.629(11)	4.0329(16)	322(18)	104(15)	3.73	8.07
46	25.9(3)	3.98(4)	98(10)	299(101)	10.73	2.44
47	26.55(8)	3.895(12)	125(11)	108(82)	3.88	3.13
48	27.62(2)	3.747(3)	223(15)	89(14)	3.19	5.59
49	28.41(5)	3.645(6)	73(9)	19(10)	0.68	1.83
50	29.28(8)	3.539(10)	142(12)	52(12)	1.87	3.57
51	29.31(3)	3.536(4)	143(12)	28(11)	1.01	3.57
52	31.043(6)	3.3426(6)	3894(62)	1203(14)	43.18	97.54
53	32.371(9)	3.2089(9)	1385(37)	577(27)	20.71	34.68
54	32.636(3)	3.1836(3)	1033(32)	158(13)	5.67	25.88
55	34.73(10)	2.997(9)	91(10)	28(14)	1.01	2.28
56	35.57(4)	2.929(3)	152(12)	167(32)	5.99	3.80
57	36.729(11)	2.8391(8)	197(14)	34(13)	1.22	4.94
58	37.38(3)	2.791(2)	114(11)	66(26)	2.37	2.85
59	38.4(2)	2.717(16)	68(8)	121(45)	4.35	1.71

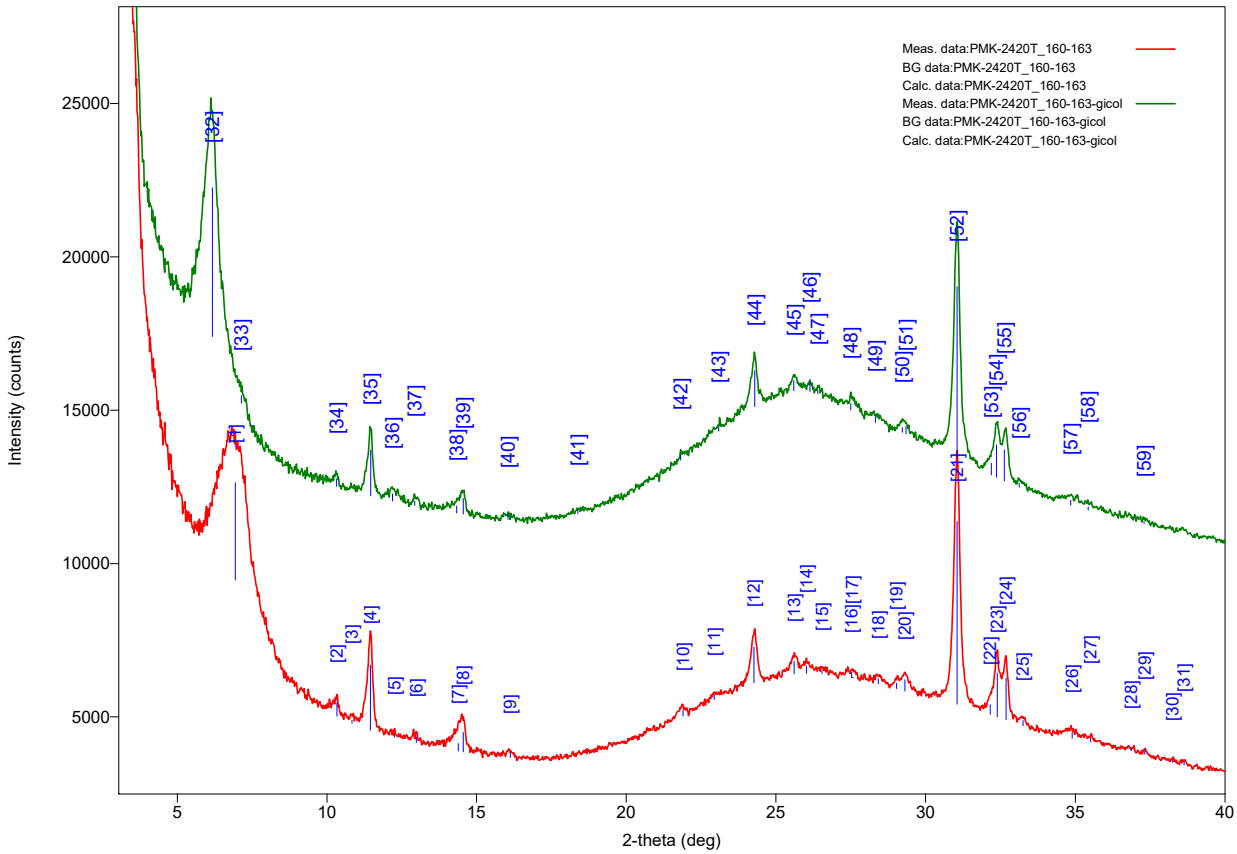

Рисунок А.34 – Дифрактограммы воздушно-сухого (нижняя) и насыщенного этиленгликолем (верхняя) образца ПМК-2420Т_160-163

Таблица А.34 – Дифракционные данные воздушно-сухого и насыщенного этиленгликолем образца ПМК-2420Т_160-163

№	2Θ, град	d,Å	Высота, импульсы	Интегральная интенсивность, импульсы*град	Относительная интегральная интенсивность, отн. ед	Относительная линейная интенсивность, отн. ед
1	6.942(15)	14.77(3)	3168(56)	3834(60)	100.00	53.18
2	10.339(10)	9.928(10)	447(21)	128(9)	3.34	7.50
3	10.84(2)	9.47(2)	92(10)	20(8)	0.52	1.54
4	11.454(4)	8.964(3)	2115(46)	601(8)	15.68	35.51
5	12.25(2)	8.383(16)	84(9)	26(8)	0.68	1.41
6	12.992(12)	7.907(7)	183(14)	63(8)	1.64	3.06
7	14.39(7)	7.14(4)	244(16)	201(47)	5.24	4.09
8	14.557(17)	7.060(8)	625(25)	214(47)	5.58	10.49
9	16.12(4)	6.378(18)	137(12)	87(11)	2.27	2.30
10	21.90(6)	4.709(13)	185(14)	164(13)	4.28	3.10
11	22.94(5)	4.499(10)	137(12)	65(8)	1.70	2.29
12	24.263(7)	4.2563(13)	1171(34)	349(8)	9.10	19.65
13	25.610(15)	4.036(2)	404(20)	143(11)	3.74	6.78
14	26.025(18)	3.973(3)	230(15)	83(12)	2.16	3.85
15	26.54(4)	3.897(5)	108(10)	60(11)	1.56	1.81
16	27.53(2)	3.759(3)	164(13)	72(7)	1.88	2.75
17	27.54(2)	3.757(5)	10(7)	4(2)	0.1	1.0
18	28.42(2)	3.644(3)	169(13)	76(7)	1.98	2.83
19	29.029(12)	3.5690(14)	175(13)	30(10)	0.78	2.93
20	29.315(17)	3.535(2)	365(19)	149(14)	3.89	6.13
21	31.050(3)	3.3419(3)	5957(77)	1685(10)	43.95	100.00

22	32.163(12)	3.2292(12)	314(18)	69(12)	1.80	5.28
23	32.395(4)	3.2067(4)	1423(38)	297(17)	7.75	23.89
24	32.687(5)	3.1788(5)	1367(37)	359(16)	9.36	22.95
25	33.25(6)	3.126(5)	164(13)	46(9)	1.20	2.75
26	34.89(5)	2.983(4)	198(14)	122(29)	3.18	3.32
27	35.51(5)	2.933(4)	104(10)	53(26)	1.38	1.74
28	36.87(6)	2.829(5)	67(8)	22(5)	0.57	1.13
29	37.33(2)	2.7953(14)	145(12)	15(3)	0.39	2.43
30	38.25(9)	2.730(6)	52(7)	22(6)	0.58	0.87
31	38.64(3)	2.704(2)	113(11)	21(6)	0.55	1.89
32	6.173(6)	16.613(16)	4855(70)	3703(32)	100.00	86.94
33	7.1(5)	14.4(10)	243(20)	87(17)	2.36	4.35
34	10.33(4)	9.94(4)	234(15)	82(15)	2.21	4.19
35	11.469(9)	8.952(7)	1489(39)	418(20)	11.29	26.67
36	12.19(7)	8.42(5)	235(15)	106(28)	2.86	4.21
37	12.930(16)	7.944(9)	157(13)	30(8)	0.81	2.81
38	14.34(2)	7.168(12)	227(10)	46(5)	1.25	4.07
39	14.55(2)	7.061(11)	507(23)	145(1)	3.93	9.08
40	16.05(4)	6.406(16)	189(14)	43(10)	1.16	3.38
41	18.39(17)	5.60(5)	99(10)	152(32)	4.10	1.77
42	21.815(17)	4.727(4)	177(13)	19(10)	0.51	3.16
43	23.09(5)	4.470(9)	125(11)	170(41)	4.59	2.23
44	24.293(18)	4.251(3)	1170(34)	382(18)	10.32	20.96
45	25.60(7)	4.038(10)	335(18)	109(24)	2.94	6.00
46	26.140(14)	3.955(2)	303(17)	36(13)	0.97	5.42
47	26.40(3)	3.917(4)	117(11)	15(7)	0.41	2.09
48	27.503(19)	3.763(3)	216(15)	57(14)	1.54	3.87
49	28.33(4)	3.656(5)	176(13)	199(55)	5.37	3.15
50	29.22(6)	3.546(8)	153(12)	35(40)	0.95	2.75
51	29.35(6)	3.531(7)	234(15)	62(56)	1.67	4.20
52	31.047(5)	3.3422(5)	5584(75)	1659(20)	44.80	100.00
53	32.2(2)	3.23(2)	386(20)	162(217)	4.37	6.91
54	32.37(3)	3.209(2)	1057(33)	332(222)	8.97	18.93
55	32.631(5)	3.1841(5)	1005(32)	168(22)	4.54	18.00
56	33.13(3)	3.137(3)	116(11)	27(12)	0.73	2.08
57	34.85(6)	2.987(5)	162(13)	161(55)	4.35	2.91
58	35.43(12)	2.939(10)	103(10)	181(83)	4.89	1.85
59	37.30(7)	2.797(5)	57(8)	47(28)	1.27	1.03